

الجمهورية الجزائرية الديمقراطية الشعبية

وزارة التعليم العالي والبحث العلمي

جامعة منتوري - قسنطينة

قسم الكيمياء

كلية العلوم الدقيقة

أطروحة

مقدمة لنيل شهادة دكتوراه في العلوم

شعبة: الكيمياء العضوية

فرع: كيمياء النبات

عنوان البحث

**تقييم كيميائي وحيوي لنوعين نباتيين من عائلتي  
الخيميات والبقليات**

تحت إشراف :  
الدكتور صالح عكال

تقديم الطالبة :  
الواعر سهيلة

لجنة المناقشة

رئيسا	أستاذ بجامعة منتوري - قسنطينة	د. كمال مجروبي
مقررا	أستاذ بجامعة منتوري - قسنطينة	د. صالح عكال
ممتحنا	أستاذ بجامعة العربي بن مهيدي - ام البواقي	د. لعمارة قدور
ممتحنا	أستاذ محاضر بجامعة العربي بن مهيدي - ام البواقي	د. غراف نورالدين
ممتحنا	أستاذ محاضر بجامعة فرحات عباس - سطيف	د. خنوف الصديق

السنة الدراسية: 2009/2008

## الإهداء

أهدي ثمرة جهدي هذا إلى :  
أمي وأبي حفظهما الله  
وإلى روح أخي العزيز محمد رحمه الله  
وباقى إخوتي:  
عليمة، فاتح، فيروز، هشام، جلال  
وإلى كل الأهل والأحباب.

## تشكرات

الحمد والشكر لله العلي العظيم الذي وفقني وأعانني على إنجاز هذا العمل المتواضع .  
أتقدم بأسمى معاني الشكر و العرفان بالجميل إلى أستاذي الفاضل الدكتور عكال صالح الذي أدار هذا البحث ولم يقصر ولم يدخر أدنى جهد في سبيل السير الحسن لهذا العمل.  
كما أعبّر عن عظيم امتناني و تقديري لأستاذي الدكتور مجروبي كمال على النصائح و المساعدات التي قدمها لي خلال إنجاز هذا العمل كما أشكره على قبوله رئاسة لجنة المناقشة.  
وأوجه خالص شكري إلى الأساتذة: الدكتور لعمارة قدور من جامعة أم البواقي و الدكتور خنوف الصديق من جامعة سطيف على قبولهما المشاركة في مناقشة هذه الرسالة .  
كما لا يفوتني أن أتقدم بالشكر الجزيل إلى أستاذي القدير الدكتور غراف نورالدين من جامعة أم البواقي علي كل النصائح و المساعدات التي قدمها لي خلال مشواري الدراسي، كما أشكر له قبوله الحسن للمشاركة في مناقشة هذه الرسالة .  
وأتقدم بكل معني الشكر إلى الدكتور لعور حسين على مساعداته و تعاونه معنا سواء في التعرف على النباتات المدروسة أو التحاليل البيولوجية المجرات.  
وأوجه شكري الجزيل إلى الأستاذ بن احمد رياض والأستاذ لخضر جري على ما قدماه لي من عون و مساعدة. كما لا أنسى شكر الهاني، مصطفى لفحل و خالي كمال على مساعداتهم و نصحهم لي في الإعلام الألي.  
و لا يسعني في الأخير إلا أن أثني على الزملاء وما أكثرهم ممن ساهم من قريب أو بعيد في تقديم عون أو مساعدة، وأخصهم بالذكر رفيقات دربي سليمة وأحلام، كما لا أنسى أسيا، نجوى، منى، منيرة، نريمان، حسينة، نعيمة، حنان، لمياء، مالك، صابرو رؤوف .  
و زملاء الأسرة المخبرية : نبيلة1، نبيلة2، نجاه، نجاح، راضية، مونية وزين العبيدين.

## الفهرس

### قائمة المحتصرات

2.....	مقدمة
4.....	المراجع

## الفصل الأول

### دراسة المركبات الفلافونيدية

6.....	I.أ- دراسة المركبات الفلافونيدية
6.....	أ- 1. تعريف الفلافونيدات
7.....	أ- 2. تصنيف الفلافونيدات
7.....	أ- 2- 1. الفلافون
7.....	أ- 2- 2. الفلافونول
7.....	أ- 2- 3. الفلافانول
9.....	أ- 2- 1. نيوفلافون
9.....	أ- 2- 5. إيزوفلافون
9.....	أ- 2- 5- 1. توزيع الإيزوفلافونات في العائلة البقولية
10.....	أ- 2- 5- 2. الإصطناع الحيوي للإيزوفلافونات عند البقوليات
12.....	أ- 3. توزيع الفلافونيدات
13.....	أ- 4. الفعالية البيولوجية للفلافونيدات
13.....	أ- 4. 1. الفعالية ضد مكروبية
13.....	أ- 4- 1- 1. الفعالية ضد البكتيرية
14.....	أ- 4- 1- 2. الفعالية ضد الفطرية
14.....	أ- 4. 2. الفعالية ضد الفيروسات
15.....	أ- 5. 3. الفعالية المضادة للأكسدة
18.....	I. ب- الدراسة الكيميائية للفلافونيدات
18.....	ب- 1. الاستخلاص
18.....	ب- 2. الفصل والتنقية
19.....	ب- 3. التعيين البنوي للفلافونيدات
19.....	ب- 3. 1. ثابت الانحباس
19.....	ب- 3. 2. مطيافية الأشعة فوق البنفسجية (UV)
19.....	ب- 3. 2. 1. طيف الامتصاص في الوسط الميثانولي
20.....	ب- 3. 2. 2. طيف الامتصاص في وجود الكواشف
25.....	ب- 3. 3. مطيافية الرنين النووي المغناطيسي للبروتون $^1\text{H}$ NMR
28.....	ب- 3. 4. مطيافية الرنين النووي المغناطيسي للبروتون $^{13}\text{C}$ NMR
28.....	ب- 3. 5. مطيافية الرنين النووي المغناطيسي ثنائية البعد

29	ب-3.6. مطيافية الكتلة
31	ب-3.7. الإمهاء الحمضية
33	المراجع

## الفصل الثاني

### الدراسة الكيماوية للريبتين *Retama sphaerocarpa* , *Ammoides atlantica*

40	II.أ- الدراسة الكيماوية لنبات <i>Retama sphaerocarpa</i>
40	أ-1 التصنيف النظامي للنبته
40	أ-2. وصف النوع
42	أ-3. توزع النوع
42	أ-4. المسح البيولوجي للنبته
45	أ-5. المسح الكيماوي للجنس <i>Retama</i>
49	II.ب- الدراسة الكيماوية لنبات <i>Ammoides atlantica</i>
49	ب-1 التصنيف النظامي للنبته
49	ب-2. وصف النوع
50	ب-3. المسح البيولوجي للجنس <i>Ammoides</i>
51	ب-4. المسح الكيماوي للجنس <i>Ammoides</i>
53	المراجع

## الفصل الثالث

### المادة النباتية: الاستخلاص، الفصل، التنقية و الالدراسة البيولوجية

56	III.أ- الدراسة الكيماوية العملية لنبات <i>Retama sphaerocarpa</i>
56	أ- 1. المادة النباتية
56	أ- 2. الاستخلاص
58	أ- 3. طرق الفصل والتنقية
62	أ- 4. الفعالية ضد البكتيرية
64	III.ب- الدراسة الكيماوية العملية لنبات <i>Ammoides atlantica</i>
64	ب - 1. المادة النباتية
64	ب - 2. الاستخلاص
66	ب-3. طرق الفصل والتنقية
69	المراجع

## الفصل الرابع

### التعيين البنيوي للمركبات المفصولة

71	.....	Retama sphaerocarpa	من النبتة	المفصولة	للمركبات	التعيين	البنيوي	للمركبات	المفصولة	من النبتة	Retama sphaerocarpa	.....	71
71	.....	F <sub>3</sub>	للمركب	التحليل	البنيوي	للمركب	F <sub>3</sub>	.....	71				
78	.....	F <sub>1</sub>	للمركب	التحليل	البنيوي	للمركب	F <sub>1</sub>	.....	78				
82	.....	F <sub>9</sub>	للمركب	التحليل	البنيوي	للمركب	F <sub>9</sub>	.....	82				
91	.....	F <sub>10</sub> G	للمركب	التحليل	البنيوي	للمركب	F <sub>10</sub> G	.....	91				
96	.....	Ammoides atlantica	من النبتة	المفصولة	للمركبات	التعيين	البنيوي	للمركبات	المفصولة	من النبتة	Ammoides atlantica	.....	96
96	.....	AF <sub>6</sub>	للمركب	التحليل	البنيوي	للمركب	AF <sub>6</sub>	.....	96				
100	.....	AF <sub>7</sub>	للمركب	التحليل	البنيوي	للمركب	AF <sub>7</sub>	.....	100				
103	.....	AF <sub>10</sub>	للمركب	التحليل	البنيوي	للمركب	AF <sub>10</sub>	.....	103				
110	.....	AF <sub>11</sub>	للمركب	التحليل	البنيوي	للمركب	AF <sub>11</sub>	.....	110				
115	.....	AF <sub>12</sub>	للمركب	التحليل	البنيوي	للمركب	AF <sub>12</sub>	.....	115				
119	.....	المراجع	.....	119									
121	.....	الخاتمة	.....	121									
125	.....	المراجع	.....	125									

الملخصات.

## قائمة المختصرات

CC :	Column Chromatography.
TLC :	Thin-Layer Chromatography .
PC :	Paper Chromatography.
$^{13}\text{C}$ -NMR :	$^{13}\text{C}$ Nuclear Magnetic Resonance.
$^1\text{H}$ -NMR :	$^1\text{H}$ Nuclear Magnetic Resonance.
HMBC :	Heteronuclear Multiple Bond Correlation.
HMQC :	Heteronuclear Multiple Quantum Correlation.
HSQC:	Heteronuclear Single Quantum Correlation
COSY :	Correlation Spectroscopy .
$J$ :	Coupling constant.
Hz :	Hertz.
ppm :	parts per million.
s :	singlet.
d :	doublet.
dd :	doublet of doublet.
Rf :	Ration to solvent front.
EI :	Electron Impact ionization.
ES :	Electro Spray.
FAB :	Fast Atom Bombardment.
GC-MS :	Gaz chromatography-Mass Spectrometry.
HPLC :	High Performance Liquid Chromatography.
UV :	Ultraviolet.
ROS :	Reactive Oxygen species.
CoA :	Co-enzyme.

# المقدمة



**المقدمة :** من المشاهد في واقعنا اليومي زيادة اهتمام الناس بالطب والعلاج الطبيعي، والتداوي بالأغذية الطبيعية والأعشاب والنباتات الطبية والوصفات الشعبية المحرمة من أهل الخبرة .

قديمًا كانت تستعمل الأعشاب كمصدر رئيسي في معظم العقاقير ، [2,1] فمملكة النبات تزود الطب بصفة مستمرة إذ تستعمل في شكلها الخام على شكل شايات و شراب ومنقوع و مراهم و دهان أو مساحيق . ويعود ظهور طب الأعشاب إلى حوالي 60000 سنة باكتشاف قبر في مغارة شمال العراق سنة (1960)، [3] إذ أسفرت التحاليل المجرات على التربة المحيطة بالهيكل العظمي على وجود حبوب طلع لثماني نباتات سبعة منها طبية لا تزال تستعمل في كل أنحاء العالم [4] .

مع تطور الكيمياء و الطب الغربي اعتمد على التداوي بالعقاقير والأدوية المصنعة [5] إلا أن صناعة بعض هذه الأدوية غير معروفة أو غير عملية اقتصاديا، ناهيك عن السلبيات الناجمة عنها من مضاعفات وأمراض سرطانية و أعراض جانبية، عانى منها الكثير من المرضى، لذا تتواصل الأبحاث عن النباتات الطبية للتصدي للأمراض الحالية . فمشتقات الأعشاب تمثل نسبة عالية من الأدوية المسوقة المستعملة حاليا في علاج إرتفاع ضغط الدم و الربو و الأوجاع ...

فـ. 25 % من الوصفات الطبية تحوي على الأقل أهم دواء ذو أصل نباتي [6] .

وفي هذا السياق وبغية المساهمة في تطور هذه الأبحاث عمدنا إلى دراسة فيتوكيميائية لمنتوجات الأيض الثانوي الفلافونيدي للنبتين طبيتين تنحدران من قاموس ا لثروة النباتية الجزائرية، أولاهم *Retama sphaerocarpa* من العائلة البقولية (Fabaceae) التي تعتبر من أرقى وأوسع العائلات الزهرية بعد العائلة المركبة (Compositae) لاحتوائها على أكثر من 650 جنس وقرابة 17000 نوع [7]. وقد عمد المختصون إلى تقسيمها إلى ثلاث عائلات تحتية : *Caesalpinioideae*، *Mimosoideae*، *Papilionoideae* وهذه الأخيرة هي الأكثر اتساعاً باحتوائها على 10400 نوع [7].

تحظى العائلة بأهمية اقتصادية عظيمة لاحتوائها على نباتات صيدلانية، فلاحية، صناعية وأخرى للزينة . كما تجدر الإشارة إلى أنها تحتوي على عدد مهم من النباتات السامة حيث تضم رتبها أكثر من 16000 نوع سام [7]. لذا كانت هدفاً للكثير من الدراسات الفيتوكيميائية،

العائلة البقولية في الجزائر تضم حوالي 53 جنساً و 337 نوعاً [8]، فالجنس رتم (*Retama*) الذي نحن بصدد دراسته ممثل في الجزائر بثلاثة أنواع : *Retama reatam*، *Retama monosperma*، *Retama sphaerocarpa*. أما النبتة الثانية فهي *Ammoides atlantica* النبتة الأصلية المنحدرة من العائلة

الخيمية المعروفة بأهميتها الصناعية حيث تستعمل كطعام و توابل و دواء ونباتات للزينة . تقسم هذه العائلة إلى ثلاث عائلات تحتية : Apioideae, Saniculoideae, Hydrocotyloideae و تضم حوالي 200 جنس و 2900 نوع تنمو معظمها في نصف الكرة الشمالية، أما في الجزائر فهي ممثلة بـ55 جنس و130 نوع [8]. من بينها جنس *Ammoides* الذي يخلم النوعين *Ammoides atlantica* و *Ammoides pusilla* .

أما من الناحية الكيميائية فتشير الأبحاث إلى غنى هذه العائلة بالكومارينات ، [9] الفلافونيدات [11,10]، و القلويدات البييريدينية [12] . فبحثنا هذا يعد الأول من نوعه في دراسة المحتوى الفلافونيدي للنبته *Ammoides atlantica* و كتكملة لرسالة الماجستير في دراسة للنبته *Retama sphaerocarpa* وقد قسمنا هذا البحث إلى مقدمة وأربع فصول و خاتمة، ففي الفصل الأول استعرضنا منتوجات الأيض الثانوي الفلافونيدي من تعريف وتصنيف وأهمية بيولوجية لتليها كيفية الفصل والطرق التحليلية المتبعة للتعرف عليها . أما الفصل الثاني فخصصناه للتعريف بالنبتين والتنويه بمزاياها البيولوجية بالإضافة إلى إحصاء الفلافونيدات المفصولة من جنسيهما. لتأتي الطريقة العملية المتبعة خلال هذه الدراسة من فصل و تنقية للمركبات الفلافونيدية بالإضافة إلى دراسة بيولوجية لمستخلصات النبتة *Retama sphaerocarpa* في الفصل الثالث ، في حين خصص الفصل الرابع للتعين البنوي للمركبات المفصولة باستعمال مختلف الطرق الفيزيوكيميائية .

## المراجع

- [1] Cooper,E. (2004). Drug discovery,CAM and natural products, Evid. based complement altern. med.1, 215-217.
- [2] Tsao, G.C.I., Zeltzer, L.K., (2005). Complementary and alternative medicine approaches for pediatric pain, a review of the state-of-the-science, Evid. based complement altern med.2.149-159.
- [3] Solecki, R., Shanidar, I.V. (1975). A neanderthal flower burial in northern Iraq , Science, 190,880-881 .
- [4] Bensky, D., Gamble, A. (1993). Chinese herbal medicine,materia medica, Revised edition, seattle, W.A., Eastland press, Inc. 13-17.
- [5] Farnsworth, N.R. and Morris, R.W. (1976). Higher plants-the sleeping giant of drug development, Am. J. pharm. Sci. support public health. 148,46-52.
- [6] Bashar, S., Hassan, A. and Omar, S. (2005).Tradition and perspectives of Arab herbal medicine, a review, The Author . Published by oxford university, 1-5.
- [7] Bruneton, J. (2001). Plantes toxiques et végétaux dangeureux pour l’homme et les animaux.
- [8] Quezel, P. and Santa, S. (1963). Nouvelle flore de l’Algérie et des régions désertiques méridionales.
- [9] El hazimi, H. (1995). Natural product, 149-190.
- [10] Harborne, J.B. (1988). The flavonoids ,advances in research since 1980, eds. chapman and hall, New york .
- [11] Bep, O.B. (1986). Medical plants in tropical west Africa, eds. Cambridge university press.
- [12] Mann, J. (1987). Secondary metabolism, eds. Clarendon press, Oxford.

# الفصل الأول

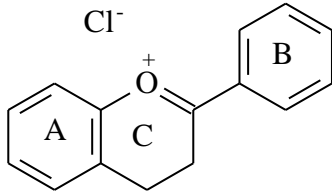
دراسة المركبات الفلافونيدية

## I - أ - دراسة المركبات الفلافونيدية :

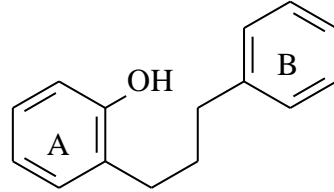
### أ - 1 - تعريف الفلافونيدات :

يعود أصل كلمة فلافونيد إلى (Flavus) وهي كلمة لاتينية تعني اللون الأصفر [1]. فالفلافونيدات هي صبغات نباتية تسمى أحيانا أنتوزانثينات (Anthoxantines) تنتشر في مختلف أجزاء النبتة من أزهار وأوراق وسيقان وجذور ... وتجدر الإشارة إلى أن هناك صبغات نباتية أخرى تسمى أنتوسيانينات (Anthocyanines) وهي وثيقة الصلة من الناحية الكيميائية بالفلافونيدات. والنواة الأم للأنتوسيانينات هي كلوريد 2 فنيل بتروبير اليوم المعروفة بكلوريد فلافيليوم (1)، ويتم عزل هذه الأملاح على هيئة أملاح كلوريد [2] تؤمن الحماية للنسيج الخلوي للنبات من تأثير الأشعة فوق البنفسجية [1]. وتعدّ الفلافونيدات من المركبات البولي فينولية، فهي تتكون من حلقتي بنزين تربطهما سلسلة بثلاث ذرات كربون الصيغة (2) التي تشكل عموماً حلقة غير متجانسة بعد الالتحام مع OH الفينولي للحلقة A [3].

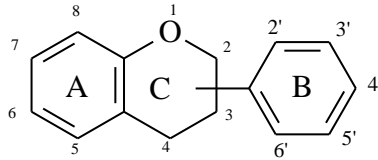
تعتمد الصيغة الكيميائية للفلافونيدات على هيكل ذو 15 ذرة كربون ممثلة بحلقة كرومان (Chromane) وحلقة بنزينية وهي ثاني حلقة عطرية ترتبط في المواقع 2، 3، 4 الصيغة (3).



الصيغة (1)



الصيغة (2)



الصيغة (3)

## أ - 2 - تصنيف الفلافونيدات :

تصنف الفلافونيدات إلى عدة أقسام، حسب درجة تأكسد الحلقة البيرانية التي يمكن أن تفتح أو تتحلق لتعطي حلقة فيران [4].

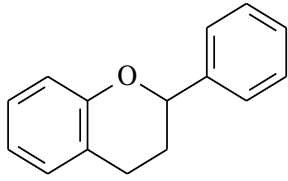
أ - 2 - 1 - الفلافون: يمكن للحلقة B المشار إليها سابقا أن تتواجد في الموضع 2، وإذا كانت الرابطة 2-3 غير مشبعة واستبدل الموقع 4 بمجموعة كربوكسيل، سمي المركب حينئذ فلافون، وتتضمن هذه المركبات مجموعات بديلة تكون في الغالب مجموعة هيدروكسيل أو ميتوكسيل وقد يحوي بناؤها على وحدات سكرية على هيئة سكر أحادي أو ثنائي أو أكثر، وقد ترتبط هذه الوحدات بذرة أكسجين المكونة لمجموعة الهيدروكسيل أو ترتبط مباشرة بإحدى ذرات الكربون للهيكال الفلافونيدي و من أشهر هذه السكريات نجد : الهكسوزات (Hexoses (D-glucose، D-galactose أو (D-allose والبنتوزات (Pentoses (D-xylose، D-arabinose، L-rhamnose، D-xylose).

أ - 2 - 2 - الفلافونول: إذا وجدت مجموعة هيدروكسيل (OH) حرة أو مستبدلة (OR) في الموقع (3) لمركب الفلافون حيث يتم تثبيت مجموعة الهيدروكسيل في مرحلة الشالكون سمي المركب بالفلافونول وهو يشكل نواة أساسية للعديد من المركبات الطبيعية.

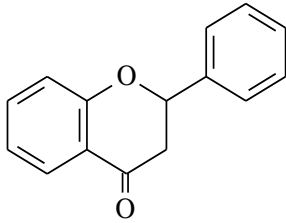
تنتشر كل من الفلافونات و الفلافونولات بشكل واسع في الطب يعة إذ تمثل حوالي 80 % من الفلافونيدات حيث تكون الحلقة A مستبدلة بأكثر من 90% بواسطة مجموعة هيدروكسيل حرة في الموضعين C-5, C-7 أو ممثلة أو مرتبطة بسكريات، كما أن هناك استبدالات أخرى تتم بواسطة مجموعات هيدروكسيلية حرة بنسب متفاوتة في الموضعين C-6, C-8 وقد تكون مرتبطة بمثل أو بمجموعات سكرية أو بجذور أخرى كما يمكن لهذا الارتباط أن يكون من نوع C-C.

الحلقة B تكون مستبدلة بحوالي 80 % في الموقع C-4' ويتم ذلك قبل مرحلة تكوين الشالكون، أو ثنائية الاستبدال في الموضعين C-3', C-4' بعد غلق الحلقة (C) أي بعد تكوين الشالكون، وتكون ثلاثية الاستبدال في الموضعين C-3', C-4' و C-5' بنسبة ضعيفة. أما الموضعين C-2' و C-6' فننادرا ما تكون مستبدلة [1].

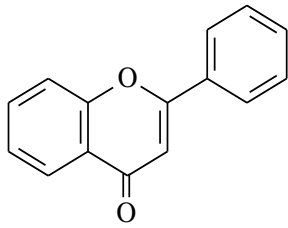
أ - 2 - 3 - الفلافانول: إذا كانت الرابطة 2-3 في هيكل الفلافون مشبعة يسمى المركب فلافانول. كما هو موضح في الشكل (1) الذي يبين مختلف الهياكل الأساسية للفلافونيدات.



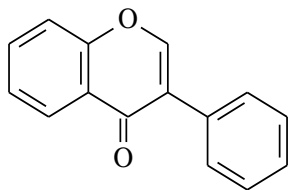
Flavane



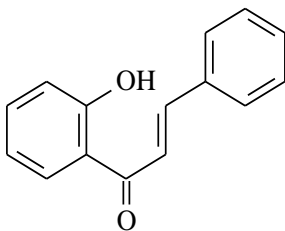
Flavanone



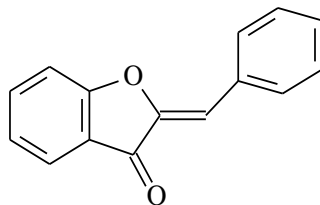
Flavone



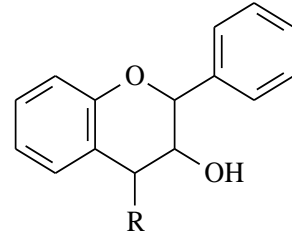
Isoflavone



Chalcone

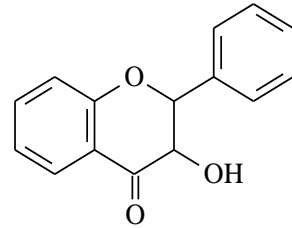


Aurone

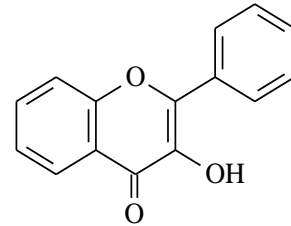


R=H : Flavan-3-ol

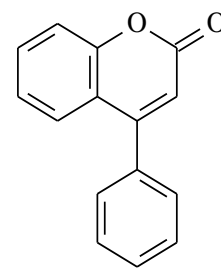
R=OH : Flavan-3,4-di-ol



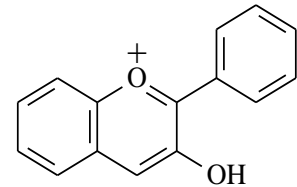
Dihydroflavonol



Flavonol



Neoflavone (4-phenyl-coumarine)



Anthocyanidol

الشكل (1) : الهياكل الأساسية لمختلف الفلافونيدات

أ - 2 - 4 - نيوفلافون: إذا وجد استبدال بين مجموعة الكربوكسيل والمجموعة B في هيكل الفلافون سُمي المركب نيوفلافون والذي تمّ عزله من عدّة أنواع للعائلة البقولية [5]. فهو يشكّل مع الإيزوفلافون الفلافونيدات الشاذّة وذلك لقلّة انتشارها في الطبيعة خلافاً عن الفلافونات والفلافونولات المنتشرة على نطاق واسع [2].

أ - 2 - 5 - إيزوفلافون: وهي لا تختلف في بنائها عن الفلافونات إلا باختلاف ارتباط الحلقة B حيث تتواجد في الموضع رقم 3. ويعود تاريخ إكتشاف أول إيزوفلافون formononetin كمركب طبيعي إلى منتصف القرن التاسع عشر [6]. من جذور النبتة البقولية *Ononis spinosa L*. ومع نهاية 2004 تمّ إحصاء ما يزيد عن 1600 إيزوفلافون أغلبها مفصول من العائلة البقولية [8] التي تعتبر ثالث أهم عائلة زهرتي.

كما يشهد محدودية الإيزوفلافونات عند العائلات غير البقولية إذ فصل منها أول إيزوفلافون في أواخر القرن التاسع عشر من النوع *Iris florentina* (Iridaceae) [9]. وفي ماي 2007 تمّ إحصاء 225 إيزوفلافون مفصول من 59 عائلة غير بقولية مع العلم أن أغلب هذه المركبات تمّ الكشف عنها لدى العائلة البقولية [10].

#### أ - 2 - 5 - 1 - توزيع الإيزوفلافونات في العائلة البقولية:

تتمركز الإيزوفلافونات في تحت العائلة الفراشية (papilionoideae)، و قبل سنة 1982 تمّ الكشف عن الإيزوفلافونات عن — ثلاث أنواع فقط من العائ — لات التحتي — الأخرى *Albizia procera*, *Prosopis juliflora* (Mimosoideae) [11] *Apuleia leiocarpa* (Caesalpinioideae) ومؤخراً تمّ إكتشاف isoflavone C-glycoside عند *Cassia javanica* و *Senna siamea* من العائلة [13,12]Caesalpinioideae ومن بين 423 إيزوفلافون جديد التي أحصاها Veitch في بحثه، إيزوفلافون واحد فقط لا ينتمي إلى تحت العائلة الفراشية [14]. وهذا الغناء الهائل للإيزوفلافونات يعد من الخصائص الكيميائية للعائلة الفراشية.

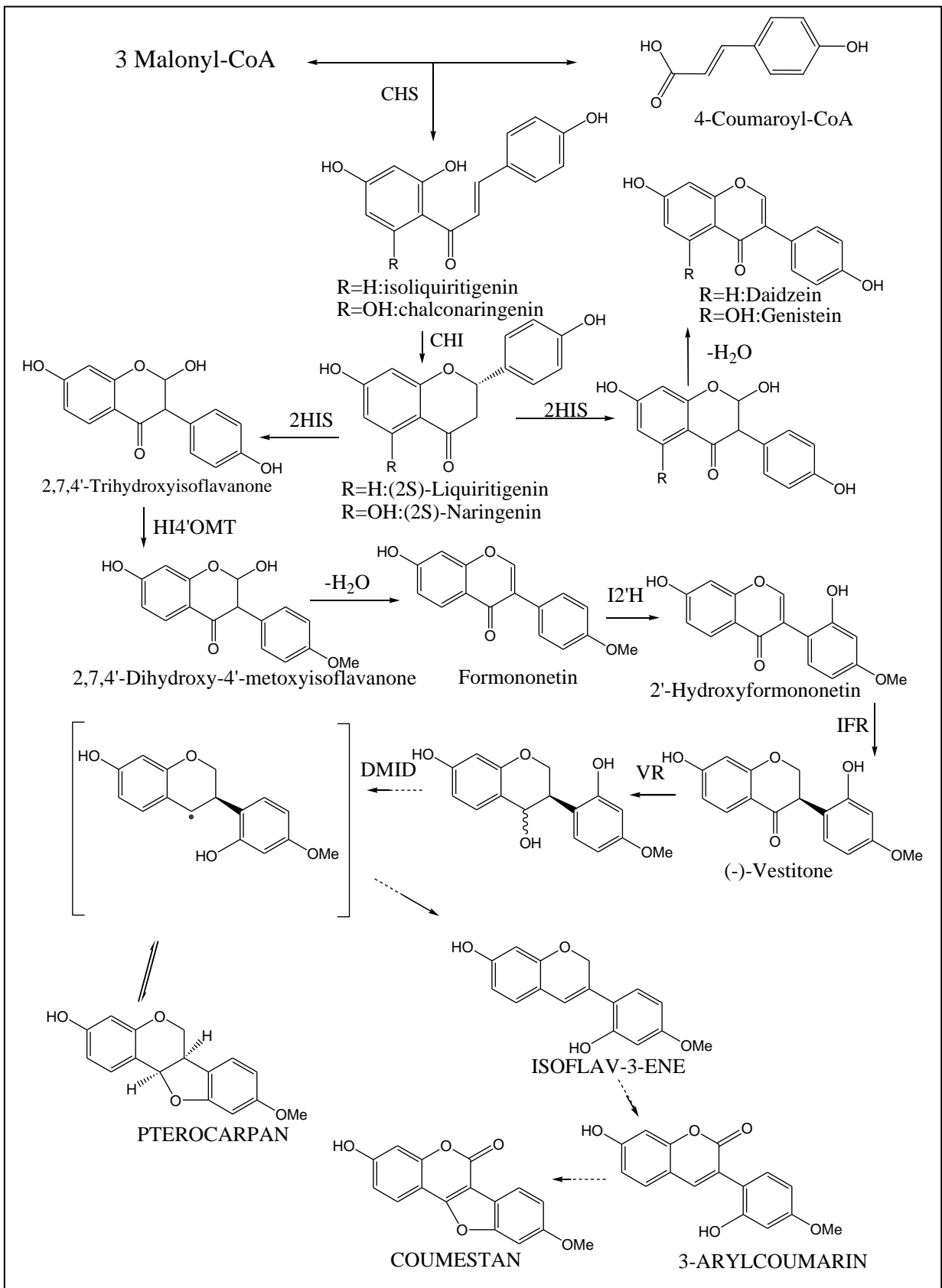


## أ - 2-5-2 - الاصطناع الحيوي للإيزوفلافونات عند البقوليات:

يعتمد الاصطناع الحيوي للإيزوفلافونات عند البقوليات على البشائر الفلافونيدية الأساسية إما isoliquiritigenin(2'4'4'-trihydroxychalcone، chalconaringenin(2',4',6',4'-tetrahydroxychalcone الناتجة عن اتحاد ثلاث وحدات من malonyl-CoA و 4-coumaroyl بتحفيز من chalcone syntase ليخضع هذا الأخير إلى تحويل فراغي نوعي ليعطي الفلافانون (flavanone) بتحفيز من chalcone isomerase (CHI) والذي يمثل أهم الفروع الفلافونيدية، وإعادة الترتيب لهذا الفلافانون بحضور إنزيم 2-hydroxyisoflavanone synthase (2HIS) يقود إلى مختلف الهياكل الإيزوفلافونيدية [15,16,17] حسب الشكل (2) وذلك بتحفيز من الإنزيمات المدونة في الجدول (1)

### جدول (1) : قائمة الإنزيمات المستخدمة في الاصطناع الحيوي للإيزوفلافونيدات

الرمز	الإنزيم
CHS	Chalcone synthase
CHI	Chalcone isomerase
2HIS	2-hydroxyisoflavanone syntase
HI4'OMT	hydroxyisoflavanone 4'-O-methyltransferase
I2'H	Isoflavone 2'-hydroxylase
IFR	Isoflavone reductase
VR	Vestitone reductase
DMID	7,2'-dihydroxy-4'-methoxyisoflavanol dehydratase



الشكل (2) : مخطط يوضح الاصطناع الحيوي لمختلف الإيزوفلافونيدات لدى البقوليات

### أ - 3 - توزيع الفلافونيدات :

تتوزع الفلافونيدات عند الطحالب بشكل ضعيف، فهي تتواجد عند الحزازيات والكبديات على شكل إتيروزيدات C أو O فلافون ، كما تتواجد عند مستورات الأزهار الوعائية على شكل ثنائي فلافونيد وبروأونتوسيانيد ول. وعند السرخسيات تكون Hétéroside-O-flavonols على غرار بعضها الآخر الذي يكتفي بتصنيع الشالكونات والبروأونتوسيانيدولات . هذه الأخيرة كثيرة الانتشار عند عاريات البذور كما لوحظ ذلك عند السكاسيات والصنوبريات (باستثناء عائلة Pinaceae) [4].

وعلى عكس ذلك تتواجد الفلافونيدات بشكل واسع عند كاسيات البذور أين يبلغ التنوع النباتي أقصاه [4].

قد لوحظ تواجد بعض أقسام الفلافونيدات في مجموعات نباتية معينة تكون مميزة لها، كالإيزوفلافونات المميزة للعائلة البقولية [17] مما جعل مؤخراً علماء النبات يربطون بين انتشار هذه الجزئيات الفلافونيدية والتصنيف النظامي للنبات (taxonomic Systems) [18، 19].

أما على مستوى الخلية تكون الفلافونيدات الإتيروزيدية الذائبة في الماء متمركزة داخل الفجوة وعند الأزهار في خلايا البشرة [4].

أما الفلافونيدات التي تنحل في المذيبات غير القطبية، كالفلافونيدات عديدة الميتوكسيل فتتواجد في سيتوبلازم الخلية [21] حيث تتوضع الفلافونيدات حالة وجودها في صورة أجليكونات على الأنسجة السطحية للأوراق، وتكون ملازمة لمواد مفرزة هي الأخرى ليوفيلية وهو حال المناطق الجافة وشبه الجافة [4، 21]. وعموماً توجد الفلافونيدات بشكل محمي (إتيروزيدات)، بينما تتواجد الأجليكونات في الأنسجة النباتية الميتة (نتيجة التميح الحمضي المحفز بواسطة الإنزيمات) وكذا في خشب الأشجار [20].

#### أ. 4 - الفعالية البيولوجية للفلافونيدات :

##### أ. 4-1- الفعالية ضد المكروبية :

منذ قرون و المعقدات ا لغنية بالفلافونيدات تستعمل من طرف الأطباء في شكل ترتيبات شافية مجربة في معالجة الأمراض [22] مثل استعمال النبتة *Tagetes minuta* الحاوية على quercetagenin-7-arabinosyl-galactoside والتي تستعمل بكثرة في الطب الشعبي الأرجنتيني لمعالجة الأمراض المعدية المتعفنة[23]. وكمثال آخر النبتة *Scutellaria baicalensis* التي تستعمل في الصين لمعالجة الدمامل و الجروح بطريقة موضعية منتظمة، و التأثير ضد الميكروبي لهذه النبتة راجع بنسبة عالية إلى الفلافونيد Baicalein [25]، كما تعزى الخاصية العلاجية لعكبر النحل المعروفة منذ الأزل والذي يستعمل في الطب اليوناني في علاج القروح إلى غناها بالفلافونيدات خاصة galangin , pinocembrin [25-28].

##### أ. 4-1-1- الفعالية ضد البكتيرية:

عمدت الكثير من الأبحاث في تجارب *in vitro* إلى دراسة الفعالية ضد البكتيرية لمستخلصات الفلافونيدات للنباتات المستعملة في الطب الشعبي، ومن الأجناس المشهورة بهذه الفعالية، نذكر *Hypericum* [29]، *capsella* [30] و *Cromolaena* [30].

حيث إتجهت الأبحاث إلى فصل وتحديد البنى الفلافونيدية المسؤولة عن الفعالية ضد بكتيرية مثل: apigenin [31-39]، galangin [40-42]، pinocembrin [43,44]، ponciretin [45]، genkwanin [46]، Sophoraflavanone G ومشتقاته [47]، naringenin، naringin [48]، epigallocatechin gallate [49]، luteolin [39]، luteolin7-glucoside [50]، quercetin glycosides [48]، kaemferol [52,51] و flavone glycosides [54,53]، isoflavones، isoflavanones [55].

في حين إتجهت أبحاث أخرى إلى إضافة الفلافونيدات إلى مركبات معروفة بفعاليتها ضد بعض السلالات البكتيرية مثل Epicatechin gallate [57,56] و Sophoraflavanone G [47] فتزيد من فعاليتها [58]. كما عمدت أبحاث أخرى إلى إضافة مستبدلات اصطناعية على الفلافونيدات الطبيعية وتحليل مدى فعاليتها المضادة للبكتيرية [59] ومثال ذلك إتجاه Wang وآخرون إلى خلق معقدات بين الفلافونيد 5hydroxy-7,4'-dimethoxy flavone و عدد من المعادن الانتقالية وأثبتوا أن هذه الطريقة تزيد من الفعالية ضد البكتيرية [60]. والبعض الآخر رفع من هذه الفعالية لـ 3-methyleneflavanone بادخال البرومين أو الكلورين على الحلقة B [61].

يوجد فريقين بحث اتجها إلى التحاليل *in vivo*، ففي بحث Vijaya و Ananthan توصلوا إلى أنه بإطعام عن طريق الفم لـ 142.9mg/kg أو 214.3mg/kg من الـ Quercetin للفئران من نوع خنزير الهند (guinea pigs) يحميها من البكتيريا *shigella* الممرضة، والتي تقتل الفئران المأخوذة كشاهد أي التي لم تطعم بالـ Quercetin [62]، وفي 2004 أثبت Dastidar و Co-wokers أن الحقن تحت الجلد لـ 1.58mg/kg من *sophoraisoflavone* و 3.16mg/kg من *6,8-diprenylgenistein* أعطى حماية للفئران (من نوع *challenged*) ضد *Salmonella typhimurium* [63].

#### أ - 4 - 1 - 2 - الفعالية ضد الفطرية :

بسبب الانتشار الواسع لعائلة الفلافونيدات التي تثبط بوغة الإنبات بالنسبة للنباتات المولدة للأمراض، أقترح إستعمالها ضد الأمراض الفطرية المصيبة لـ إنسان [64] الفلافون المفصول لأول مرة من النبتة *Eysenhardtia texana* المعروف بـ *5,7,4'-trihydroxy-8-methyl-6-(3-methyl-[2-butenyl])-(2s)-flavanone*. أبدى فعالية ضد المرض الطفيلي الناتج عن الخميرة *candida albicans* [65]. الفلافونيد *7-hydroxy-3',4'-(methylenedioxy)flavan* المعزول من قشور بذور النبتة *Terminalia bellerica* هو الآخر أبدى فعالية على المرض *Calbicams* [66].

فعالية عكبر النحل ضد الأمراض الجلدية يرجع ولو بجزء ضئيل إلى المركبات الفلافونيدية التي يحويها بكميات كبيرة مثل اللافونول *galangin* الذي أظهر فعالية تثبيطية ضد : *Aspergillus tamarii*, *A.flavus*, *Cladosporium sphaerospermum*, *Penicillium digitatum*, *Penicillium italicum* [67].

#### أ - 4 - 2 - الفعالية ضد الفيروسات :

بينت بعض الدراسات الدور الذي تلعبه الفلافونيدات في مقاومة الفيروسات إذ اتجهت الأبحاث الجديدة نحو إظهار الفعالية التثبيطية لبعض الفلافونيدات ضد السيدا (HIV) *human immunodeficiency virus* فمعظم هذه الأبحاث غارقة في العمل ضد داء HIV-1 الوراثي و أنزيماته إذ تبين الدراسة أن الفلافون *baicalin* يثبط العمل الدفاعي لـ HIV-1 وكذا انتقال العدوى [68] ، كما تظهر كلا من *baicalin* [68] ، *hinokiflavone* ، *robustaflavone* [69] فعالية تثبيطية على إنزيم النسخ لـ HIV-1 ويذكر أن الفلافونيدات *acacetin* ، *chrysin* و *apigenin* تمنع

نشاط الـHIV-1 [70] ،ومن الأهمية أن نشير إلى أعمال Hu وآخرون التي تؤكد كون chrysin يتميز بقوة علاجية عالية من أصل 21 فلانويد طبيعي و 13 مصنع المستعملة ضد HIV-1 [71]. وللفلانويدات فعالية ضد أنواع أخرى من الفيروسات مثل أبحاث selway التي تثبت أن quercetin, morin, rutin, dihydroquercetin, dihydrofisetin, leucocyanidin, catechin أن pelargonidin chloride تملك فعالية ضد سبعة أنواع من الفيروسات بما فيها herpes simplex virus (HSV) وفيروس syncytial التنفسي وفيروس الشلل polio وفيروس sindbis [73,72] بالإضافة إلى المركبين chrysin وkaempferol المفصولين من عكبر النحل والتي تثبط الدور الدفاعي لـ HSV وكذا فيروس crona وrota [74] والأكثر فعالية الفلافونول galangin المعروف بفاعليته ضد الفيروسات HSV وcoxsackie B [75].

تجدر الإشارة إلى أن الدور التآزري بين مختلف الفلافونيدات مثل kaempferol وluteolin يبدى فعالية ضد HSV وهذا ما يفسر الدور الفعال لعكبر النحل مقارنة بمركباته كالأعلى حدا [76] هذا التعاون محقق أيضا بين الفلافونيدات والعامل المضاد للفيروسات م ثل Quercetin الذي يزيد من فعالية 5-ethyl-2'-dioxuryridine [72] وacyclovir [77] ضد HSV كما يرفع apigenin أيضا من فعالية acyclovir [77].

#### أ. 3. 4. الفعالية المضادة للأكسدة:

تمتاز الفلافونيدات بخواصها المقاومة للتأكسد و يتلخص ذلك في :

- حماية الأنظمة المضادة للأكسدة الداخل خلوية .
  - التثبيط الإنزيمي و مخلبة الأثار المعدنية المولدة لـ ROS (المسؤولة عن إتلاف الأحماض النووية و ظهور الأورام السرطانية كما تتسبب تفاعلاتها المستمرة مع الفوسفوليبيد الغشائي في إتلاف الخلية [78]).
  - أسر الجذور الأكسجينية النشطة ROS كـ  $\text{NO}^{\cdot}$ ,  $\text{O}_2^{-\cdot}$ ,  $\text{OH}^{\cdot}$ ... ويتوقف هذا على مدى قابلية تحرير البروتونات من طرف الفلافونيد [79]، وعلى العموم يتوقف اصطياذ هذه الجذور على الصيغة الكيميائية للفلافونيدات و مستبدلاتها الهيدروكسيلية [80].
- تعتبر الفلافونيدات كعوامل مرجعة قوية وتعمل على تكسير تسلسل التفاعلات الجذرية نتيجة لبنيتها المستقرة الناتجة عن ظاهرة الرنين الإلكتروني الناشئة عن الحلقات الأروماتية [81,82]، وقد بينت الدراسات أن فعالية الفلافونيدات المضادة للأكسدة متعلقة بعدد وموقع مجاميع الهيدروكسيل

[82] خاصة منها تلك المستبدلة في الموقع 3 للحلقة C [83] و اورثوثنائي هيدروكسي 3',4' للحلقة B، كما تعود مقاومتها للتأكسد لإحتوائها على الرابطة المضاعفة في الحلقة C بين C<sub>2</sub>-C<sub>3</sub> المترافقة مع 4-سيتون [82]، وجود OH في الموقع 3 وOH في الموقع 5 بالإتحاد مع مجموعة 4-كربونيل و الرابطة المضاعفة بين C<sub>2</sub>-C<sub>3</sub> يزيد من فعالية أسر الجذور الحرة [84].

وفي دراسة لـ Gwan-sub Sim و آخرون أثبت فيها أنه كلما زادت مجاميع الهيدروكسيل في البنية الفلافونيدية زادت القدرة على أسر الجذور الحرة ، ففي إختبار للفلافونيدات الحاوية على الرابطة المضاعفة المترافقة مع مجموعة الكربو نيل C-4 في الحلقة C لكل من الفلافونات : Chrysin Apigenin, Luteolin, و الفلافونولات : Kaempferol, Quercetin, Myricetin.

لوحظ عند الفلافونات أن Apigenin و Chrysin أبدا فعالية أقل من Luteolin وعند الفلافونولات لوحظ أن Myricetin الحاوية على 6 مجاميع OH أظهر فعالية أكبر من Quercetin ذو الخمس مجاميع OH وهذا الأخير أكبر من Kaempferol ذو الأربع مجاميع . والجدول (2) يبين فعالية بعض المركبات الفلافونيدية [80] .

بالإضافة إلى ذلك كشفت الدراسات على كون الفلافونيدات مضادة لارتفاع الضغط [85] مضادة للالتهاب [86-88] مضادة للحساسية [89، 90] مضادة للتسمم الكبدي [78] وذات فعالية ضد الملاريا [91]. كما تستعمل الفلافونيدات لأغراض أخرى ، فنظرا لكون الأنتوسيانوزيدات حساسة للضوء والحرارة وتغير الـ pH فهي تستعمل في المعلبات كمواد حافظة. وتضاف الفلافونيدات إلى بعض المواد الغذائية كالحُمور (30 mg/l anthocyanosides) والمرابي، وإلى الحلويات للتنويع في ألوانها والتحسين من طعمها [4]. كما أثبت وجود بعض الفلافونولات في الشكولاتة [92].

الجدول (2) يوضح الصيغ الكيميائية لبعض المركبات الفعالة بيولوجيا.

المركب	الإستبدال على مواقع الكربون											
	2	3	4	5	6	7	8	2'	3'	4'	5'	6'
Flavones and their glycosides												
Acacetin	-	-	-	OH	-	OH	-	-	-	OCH <sub>3</sub>	-	-
Apigenin	-	-	-	OH	-	OH	-	-	-	OH	-	-
Baicalin	-	-	-	OH	OH	OR <sub>1</sub>	-	-	-	-	-	-
Baicalein	-	-	-	OH	OH	OH	-	-	-	-	-	-
Chrysin	-	-	-	OH	-	OH	-	-	-	-	-	-
Luteolin	-	-	-	OH	-	OH	-	-	OH	OH	-	-
Luteolin7-glucoside	-	-	-	OH	-	OR <sub>2</sub>	-	-	OH	OH	-	-
5-hydroxy-7,4'-dimethoxyflavone	-	-	-	OH	-	OCH <sub>3</sub>	-	-	-	OCH <sub>3</sub>	-	-
Isoflavones												
6,8-diprenylgenistein	-	-	-	OH	R <sub>3</sub>	OH	R <sub>3</sub>	-	-	OH	-	-
Sophoraisoflavone A	-	-	-	OH	-	OH	-	*	*	OH	-	-
Flavonol and their glycosides												
Galangin	-	OH	-	OH	-	OH	-	-	-	-	-	-
Kaempferol	-	OH	-	OH	-	OH	-	-	-	OH	-	-
Myricetin	-	OH	-	OH	-	OH	-	-	OH	OH	OH	-
Morin	-	OH	-	-	-	OH	-	OH	-	OH	-	-
Quercetagenin-7arabinosyl-galactoside	-	OH	-	OH	OH	OR <sub>4</sub>	-	-	OH	OH	-	-
Quercetin	-	OH	-	OH	-	OH	-	-	OH	OH	-	-
Rutin	-	OR <sub>5</sub>	-	OH	-	OH	-	-	OH	OH	-	-
Flavan-3-ols												
Catechin	-	OH	OH	-	-	OH	-	-	OH	-	OH	-
Epicatechin gallate	-	R <sub>6</sub>	-	OH	-	OH	-	-	OH	OH	-	-
Flavanon-3-ols												
Dihydrofisetin	-	OH	-	-	-	OH	-	-	OH	OH	-	-
Dihydroquercetin	-	OH	-	OH	-	OH	-	-	OH	OH	-	-
Flavanones and their glycosides												
Naringenin	-	-	-	OH	-	OH	-	-	-	OH	-	-
Naringin	-	-	-	OH	-	OR <sub>5</sub>	-	-	-	OH	-	-
Pinoembrin	-	-	-	OH	-	OH	-	-	-	-	-	-
Sophoraflavanone G	-	-	-	OH	-	OH	R <sub>7</sub>	OH	-	OH	-	-
3-Methylene flavanone	-	CH <sub>2</sub>	-	-	-	-	-	-	-	-	-	-
5,7,4'-Trihydroxy-8-methyl-6-(3-methyl-[2-butenyl])-(2s)-flavanone	-	-	-	OH	R <sub>3</sub>	OH	CH <sub>3</sub>	-	-	OH	-	-
Flavan-3,4-diols and anthocyanidins												
Leucocyanidin	-	OH	OH	OH	-	OH	-	-	OH	OH	-	-
Pelargonidin chloride	-	Cl	-	OH	-	OH	-	-	-	OH	-	-
Flavan												
7-Hydroxy-3',4'-(methylenedioxy)flavan	-	-	-	-	-	OH	-	-	#	#	-	-

-:no substitution; R<sub>1</sub>:Glucuronic acid; R<sub>2</sub>:Glucose; R<sub>3</sub>:prenyl group; R<sub>4</sub>:arabinose-galactose; R<sub>5</sub>:rhamnose-glucose; R<sub>6</sub>:gallic acid; R<sub>7</sub>: lavandulyl; \*:pyran ring between position 2'and3'; #:O-CH<sub>2</sub>-O between positions 3'and 4'.



## I-ب\_ الدراسة الكيميائية للفلافونيدات :

### ب\_1- الاستخلاص :

قبل الشروع في عملية الاستخلاص يشترط تجفيف النبتة جيدا في أماكن خاصة تسمح بالتهوية وبعيدا عن أشعة الشمس والرطوبة، تفاديا للتفاعلات الإنزيمية التي قد تحدث تغيرات على المركبات المستخلصة . وفي هذا الن وع من المركبات الفينولية يستحب الاستخلاص بمحاليل كحولية، كالميثانول والإيثانول مع إضافة الماء بنسب 20 إلى 50% [1، 4، 93] بعد التركيز والتخلص من الكحول المستعمل، يعتمد إلى استخلاص انتقائي من نوع سائل /سائل، باستعمال مجموعة من المذيبات كإيثر البترول لنزع الكلوروفيل والليبيدات، وثنائي إيثيل إيثر (diethyl ether) لاستخلاص الأجليكونات الحرة [4] وأكثر المذيبات استعمالا أسيتات الإيثيل (AcOEt) لاستخلاص الأجليكونات عديدة الهيدروكسيل والجليكوزيدات أحادية السكر كما يستعمل البيوتانول العادل (n-BuOH) في استخلاص الجليكوزيدات عديدة السكر.

### ب\_2- الفصل والتنقية :

يعتمد على التقنيات الكروماتوغرافية بمختلف أنواعها في فصل وتنقية المركبات الفلافونيدية، فتعتبر كروماتوغرافيا العمود الطريقة الأنجع في فصل الكميات الكثيرة والأكثر تعقيدا، إذ تعتمد هذه الطريقة على الأطوار الثابتة : السليكا جل (Silicagel) والسيليلوز (Cellulose) ومتعدد الأميد، SC<sub>6</sub> (Polyamide, eg. Machry Nagel) الذي يعتبر الأفضل لكونه مناسباً لفصل جميع المركبات الفلافونيدية خاصة الجليكوزيدية منها وذلك لاحتوائه على الوظيفة الأميدية السامحة بتشكيل روابط هيدروجينية قوية مع الجاميع (OH) الهيدروكسيلية [94]، وتعتبر كروماتوغرافيا الورق التحضيرية (PC) الطريقة الأفضل في تحليل الكسور المحصل عليها من العمود الكروماتوغرافي، ومن أشهر المذيبات المستخدمة في هذه التقنية نجد :

S<sub>1</sub> : حمض الخل CH<sub>3</sub>-COOH بتركيز مختلفة.

S<sub>2</sub> : البيوتانول النظامي : حمض الخل : الماء (W:A:B) (4 : 1 : 5) (الطبقة العضوية).

بالإضافة إلى هذه الطرق يستعان أيضا بكروماتوغرافيا الطبقة الرقيقة (TLC) ذات دعامة

متعدد الأميد (DC<sub>6</sub>)، ومن أشهر الجمل المستخدمة في هذه التقنية نجد :

S<sub>3</sub> : 13.3.3.1 (أستيل استون- مثيل إيثيل سيتون- ميثانول- ماء).

S<sub>4</sub> : 4.3.3 (مثيل إيثيل سيتون- ميثانول- طولوين).

S<sub>5</sub> : 18.1.1 (ماء- حمض الخل- ميثانول).

S<sub>6</sub> : 60.28.7.7 (مثيل إيثيل سيتون- ميثانول- إيثير البترول- طولوين).

يتم تنقية المركبات المفصولة بالاستعانة بعمود صغير من متعدد الأميد (SC<sub>6</sub>) بلستعمال طوليان كمذيب وإغناؤه بالقليل من الميثانول، ثم عمود من Séphadex LH 20 باستخدام الميثانول كمصلص.

ب-3- التعيين البنيوي للفلافونيدات :

ب-3-1- ثابت الانحباس :

Rf هو قيمة مميزة للمركب في شروط كروماتوغرافية معينة (درجة الحرارة، طبيعة المادة الدامصة، والمصلص). وتتأثر هذه القيمة بالمستبدلات ومواقعها على الجزئي . فمن خلال Rf يمكن التمييز بين الجليكوزيدات أحادية، ثنائية، متعددة السكر [94] وبين الأجليكونات البسيطة، ومتعددة الهيدروكسيل أو متعددة الميتوكسيل.

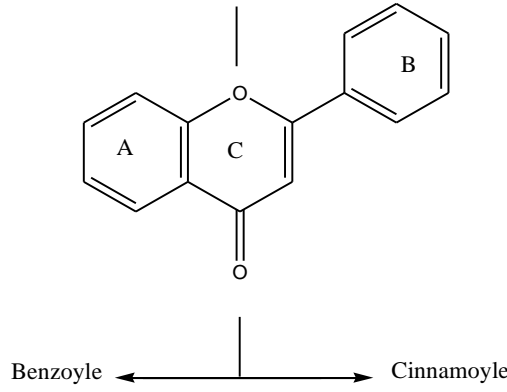
كما أن لون المركب تحت الأشعة فوق البنفسجية (UV) يعطي معلومات أولية عن البنية الكيميائية للمركب.

ب-3-2- مطيافية الأشعة فوق البنفسجية (UV) :

تعتبر مطيافية الأشعة فوق البنفسجية من أهم الوسائل المستعملة للتعرف على البنى الكيميائية للفلافونيدات، نظرا للمعلومات الوافية التي تقدمها ولكونها لا تتطلب كمية كبيرة من المركب.

ب-3-2-1- طيف الامتصاص في الوسط الميثانولي :

يعطي طيف الفلافونيدات الحاوية على مجموعة كربونيل في C<sub>4</sub> (فلافون، فلافونول)، عصبتين I و II [95] تبعا للشكل الموالي :



**العصابة I :** ذات قيمة امتصاص عظمى في حدود (300-400 nm)، وهي راجعة إلى امتصاص الصورة Cinnamoyle الناتج عن ترافق مجموعة الكربونيل C<sub>4</sub> مع الرابطة الثنائية والحلقة B. إذ تسمح بتمييز الفلافونول عن الفلافون وتعطي معلومات عن التغيرات البنيوية للحلقتين B و C [95].

**العصابة II :** ذات قيمة امتصاص عظمى في حدود (250-280 nm)، وهي ناتجة عن الشكل Benzoyle الناجم عن ترافق مجموعة الكربونيل مع الحلقة العطرية A. وهذا ما يمكننا من الكشف عن الهياكل الفلافونيدية المختلفة.

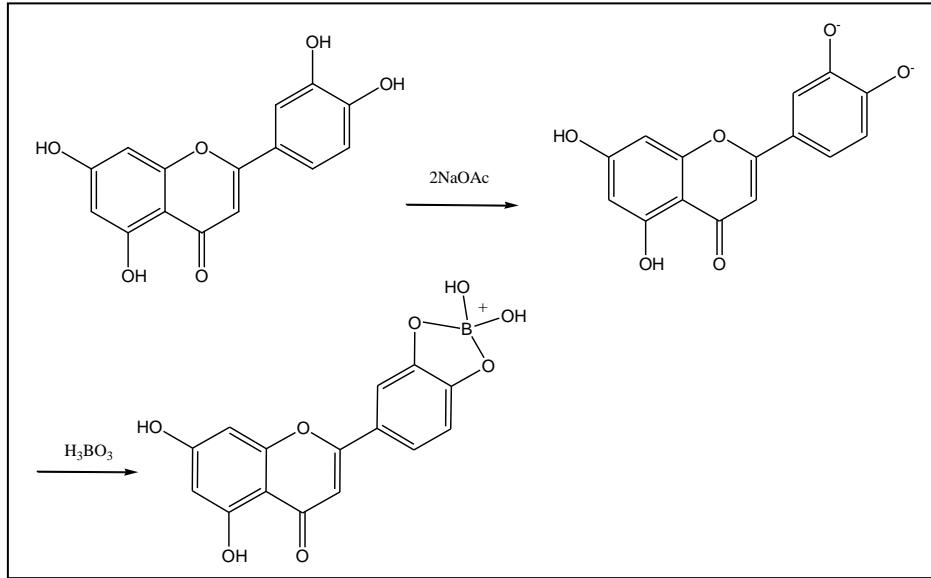
يعتمد مكان الحزمتين على عدد وموقع مجموعات الهيدروكسيل البديلة، فمن الملاحظ أنه كلما زادت مجاميع الهيدروكسيل، فإن حزم الامتصاص تزداد إلى طول موجي أعلى "انزياح باتوكرومي". وعند استبدال مجموعات الهيدروكسيل بمجموعات ميتوكسيل، أو وحدات سكر تزاح حزمنا الامتصاص إلى طول موجي أقل "انزياح هيبسوكرومي" [2].

### ب-2-2-3. طيف الامتصاص في وجود الكواشف :

\* في وجود NaOH (NaOMe) : NaOH قاعدة قوية تؤين كل هيدروكسيلات الفلافونويد إذ تُحدِث انزياح Bathochrome للطيف يكون واضحا على الحزمة I.

\* في وجود NaOAc : NaOAc أساس ضعيف مقارنة بـ NaOH فهي تؤين فقط الهيدروكسيلات الأكثر حامضية C<sub>7</sub>، C<sub>3</sub>، C<sub>4</sub>، ويعتبر NaOAc كاشفا نوعيا لهيدروكسيل C<sub>7</sub>.

\* في وجود NaOAc+H<sub>3</sub>BO<sub>3</sub> : يستعمل هذا المحلول للكشف عن أورثو ثنائي الهيدروكسيل، إذ يشكل حمض البوريك في وجود خللات الصوديوم معقدات مع الهيدروكسيلات الفينولية في الموضع أورثو حسب الشكل (3).

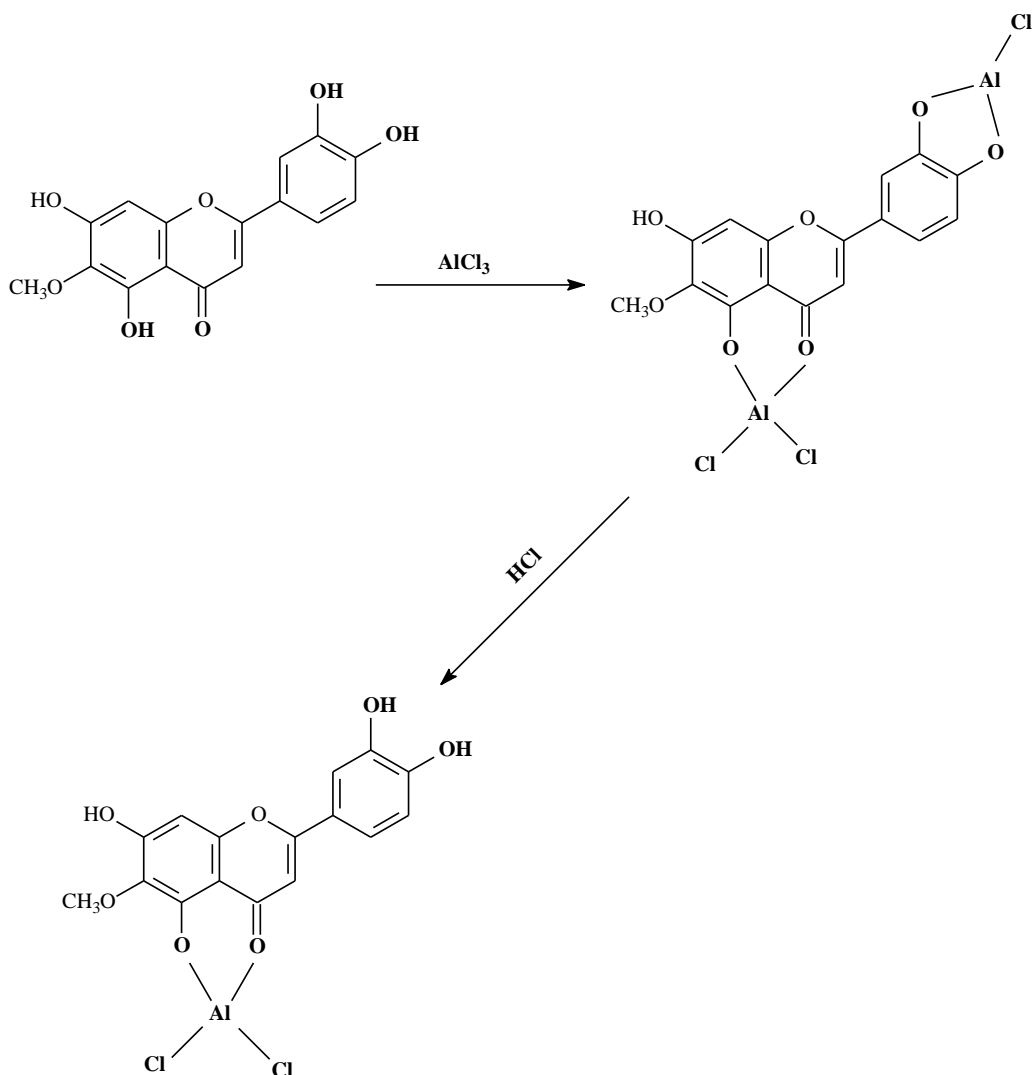


الشكل (3) : يوضح المعقد المتكوّن بين الفلافونويد ومحلول (NaOAc+H<sub>3</sub>BO<sub>3</sub>)

\* في وجود AlCl<sub>3</sub> ، AlCl<sub>3</sub>+HCl : يشكل كلوريد الألومنيوم معقدات ثابتة في الوسط الحمضي مع مجموعة الكربونيل، وهيدروكسيلاات المواقع 3 أو 5، ومعقدات غير ثابتة مع جملة أورثو ثنائي الهيدروكسيل مثل 3'، 4' كما هو موضح في الشكل (4).

والجدول (3) يبيّن أهم الانزياحات الملاحظة بإضافة مجموعة من المتفاعلات على الحزمتين I

و II [94، 96، 97].



الشكل (4) : المعقدات الثابتة وغير الثابتة بين الفلافونيد و AlCl<sub>3</sub>

قبل وبعد إضافة HCl

الطريقة العملية: لتسجيل أطياف الأشعة فوق البنفسجية لمركب فلافونيدي، يتم قياس وتسجيل الطيف الميثانولي لكل مرحلة.

المرحلة 1 : بعد تسجيل طيف الإمتصاص في الميثانول يضاف لخلية المركب قطرات من NaOH بتركيز 0.5 عياري ثم يسجل الطيف مباشرة، وبعد مرور 5 دقائق يعاد تسجيل نفس الطيف.

المرحلة 2 : يعاد تحضير الخلية الحاوية على المركب، ويضاف إليه بعض القطرات من AlCl<sub>3</sub> بتركيز 1% في الميثانول، ثم يسجل طيف الإمتصاص بعدها تضاف قطرات من HCl (4 عياري) ثم يسجل الطيف .

المرحلة 3: تحضر خلية جديدة للمركب المدروس ويضاف لها NaOAc (الصلب) حتى التشبع ثم يسجل الطيف، لتضاف بعدها إلى نفس الخلية قطرات من حمض البوريك  $H_3BO_3$  المحضر في الماء بتركيز 1% ثم يسجل طيف الإمتصاص.

الجدول (3) : يوضح أهم الانزياحات الملاحظة بإضافة مجموعة من المتفاعلات

التحليل الموجه	الإزاحة الملاحظة بـ (nm)		المفاعلات
	الحزمة II	الحزمة I	
فلافون فلافونول OR في الموضع 3	280-250	350-304	MeOH
	280-250	385-352	
	280-250	357-328	
إيزوفلافون	275-245	320 <sup>Ep</sup>	
OH في 4' OR في 4'، OH في 3		45+ إلى 65+	NaOMe (NaOH)
		1- استقرار الشدة الضوئية/MeOH 2- نقصان الشدة الضوئية/MeOH	
OH في 3، 4' أو Orthodi-OH على الحلقة A مثلاً 7، 6 أو 8، 7 أو Orthodi-OH على الحلقة B		استمرار النقص في الشدة الضوئية، طيف يتحلل مع الوقت	
Tri OH في 3، 4'، 3 أو Tetra OH في 3، 3'، 4'، 5'		استمرار النقص في شدة الامتصاص مع تفكك سريع للطيف	
OH في 7		عصابة جديدة بين 320-335	
OH في 7 مع ملاحظة أن هذا الانزياح يتراجع في وجود مستبدلات 6 أو 8	5+ إلى 20+		NaOAc
OR في 7	عدم وجود أي انزياح أو ظهور انزياح ضعيف		
Di OH في 7، 6 أو 8، 7 أو 4، 3 Tri OH في 7، 6، 5 أو 8، 7، 5 أو 4'، 3'، 3	طيف يتفكك بمرور الزمن		
Orthodi OH على الحلقة B		12+ إلى 36+	NaOAc + H <sub>3</sub> BO <sub>3</sub>
Orthodi OH على الحلقة A (6-7 أو 7-8) إيزوفلافون	+10 - 15		MeOH/ NaOAc + H <sub>3</sub> BO <sub>3</sub>
Orthodi OH على الحلقة B (فلافون) مع OH في 5		قمة وحيدة عند 420-430	AlCl <sub>3</sub>
Orthodi OH على الحلقة B (فلافونول) مع OH في 5		قمة وحيدة عند 440-460	

تابع للجدول (3)

التحليل الموجه	الإزاحة الملاحظة بـ (nm)		المفاعلات
	الحزمة II	الحزمة I	
5-OH مع مجموعة أكسجينية في 6		17+ إلى 20+	MeOH/ AlCl <sub>3</sub> +HCl
OH في 5 فلافون و OCH <sub>3</sub> في 3 فلافون		35+ إلى 55+	
OH في 3 مع أو عدم وجود OH في 5		50+ إلى 60+	
OH في 5 إيزوفلافون	+10-14		
Orthodi OH على الحلقة B		20- إلى 40- مع تنوء أو قمة من [360-350]	AlCl <sub>3</sub> / (AlCl <sub>3</sub> +HCl)
إمكانية وجود Orthodi OH على الحلقة A أكثر من Orthodi OH على الحلقة B أو Tri OH على الحلقة B		20- إلى 25-	

(+) : باتوكروم ؛ (-) : هيسوكروم ؛ / : بالنسبة ؛ Ep : تنوء

ب-3-3- مطيافية الرنين النووي المغناطيسي للبروتون <sup>1</sup>H N.M.R :

يعتمد التحليل الطيفي للرنين النووي المغناطيسي على الخواص المغناطيسية لأنوية بعض الذرات مثل الهيدروجين <sup>1</sup>H، الكربون <sup>13</sup>C، الفلور <sup>19</sup>F، الفوسفور <sup>31</sup>P. ويمثل <sup>1</sup>H N.M.R حوالي 80% من دراسات الرنين النووي المغناطيسي وذلك لما لهذه الأنوية من خواص مغناطيسية قوية وإنتشار واسع في الطبيعة.

ففي الرنين النووي المغناطيسي للبروتون توضع الجزيئات تحت تأثير مجال مغناطيسي خارجي، فيحدث انفصال لمستويات الطاقة الفردي الخاص بالحركة المغزلية لأنوية ذرات الهيدروجين إلى مستويين، ويزداد الفرق في الطاقة (δE) بين هذه المستويات بزيادة شدة المجال المغناطيسي الخارجي، كما أن هذا الفرق في الطاقة لكل نوع من أنوية الهيدروجين يتوقف على الظروف الإلكترونية المحيطة بكل نواة والتي تحدد بنوع الرابطة ونوع الذرات الأخرى المرتبطة بهذه النواة، فلأنوية ذرات الهيدروجين تمتص طاقة الأشعة الكهرومغناطيسية على ترددات مختلفة وهو ما يعبر عنه بالإنتقال



الكيميائي (δ)، فتظهر عدة إمتصاصات يتوقف عددها على عدد أنوية الهيدروجين المختلفة في الجزيء .

كثافة الإمتصاص لكل نوع من الهيدروجين تتناسب مع عدد الذرات الموجودة في هذا النوع . و بالتالي يمكن تحديد العدد النسبي لذرات الهيدروجين في الجزيء وكذا عددها في كل مجموعة . يلاحظ أيضا حدوث إنقسامات داخلية في كل إمتصاص رئيسي ويتوقف عدد هذه الانقسامات على عدد ذرات الهيدروجين المجاورة، والفرق في الطاقة بين هذه الانقسامات بوحدة التردد يسمى ثابت التزاج (J) [98].

تستعمل هذه التقنية في التحليل الكيفي للفلافونيدات لمعرفة درجة تأكسد الحلقات A، B، C، وكذا عدد ومواقع المجموعات الميتوكسيلية وعدد وطبيعة السكريات الموجودة في المركب . ولتحقيق هذه التقنية تستخدم الكثير من المذيبات أشهرها :  $CDCl_3$  ديوتروكلوروفورم الذي يعطي نتائج جيدة مع الفلافونيدات غير القطبية، و  $DMSO-d_6$  (Hexadeuterodimethyl sulfoxide) الذي يستخدم في حالة الفلافونيدات الجليكوزيدية خاصة وكذا الأجليكونات [2، 99]، تظهر بروتونات الفلافونيدات في المجال (0-9 ppm)، وتوزع في مجموعات محددة، وفيما يلي جداول (4-6) تبين الانزياح الكيميائي لمختلف بروتونات الحلقتين A، B [96، 100].

#### الجدول (4) : الانزياح الكيميائي لبروتونات الحلقة A

H-8	H-7	H-6	H-5	نوع الفلافونيد
d(J=2.5 Hz) 6.5 –6.3 ppm	-	d(J=2.5 Hz) 6.2 –6.0 ppm	-	5,7-OH
d(J=2.5 Hz) 6.4 –6.1 ppm	-	d(J=2.5 Hz) 6.1 –5.9 ppm	-	5-OH,7-OR (R=Glc)
6.3 ppm (S)	-	-	-	5,6,7-OR (R=H, Glc)
-	-	6.3 ppm (S)	-	5,7,8-OR (R=Glc,H)
d(J=2.5 Hz) 7 –6.7 ppm	-	d,d(9 Hz, 2.5 Hz) 7.1 –6.7 ppm	d(J=9 Hz) 8,0 ppm	7-OR (R=H, Glc)

الجدول (5) : الانزياح الكيميائي لبروتونات الحلقة B في حالة  $C_4' = OR$

H-6' , H2' d(J = 8.5 Hz)	H-5' , H3' d(J = 8.5 Hz)	الفلافونيد
7.,9 – 7.7 ppm	7.1 – 6.5 ppm	فلافون
8.1 – 7.9 ppm	7.1 – 6.5 ppm	فلافونول

الجدول (6) : الإزاحة الكيميائية للبروتونات 2'، 6' للحلقة B

H-6' dd(J= 8.5; 2.5 Hz)	H2' d(J = 2.5 Hz)	نوع الفلافونيد
7.5 – 7.3 ppm	7,3 - 7,2 ppm	Flavone (3',4' OH; 3' OMe, 4' OH; 3'-OH, 4' OMe)
7.9 – 7.6 ppm	7,7 - 7,5 ppm	Flavonol (3',4' OH; 2'-OH, 4' OMe)
7.6 – 7.4 ppm	7,8 - 7,6 ppm	Flavonol (3',4' OH; 3' OMe, 4'-OH)

بروتونات الحلقة C :

يتأثر بروتون  $C_3$  في الفلافون بمسبذلات كلتا الحلقتين العطريتين، ويعطي إشارة أحادية في

المنطقة (6.2-6.4 ppm) تتداخل مع إشارة برتوني الحلقة A (H8, H6) [100].

يعطي بروتون  $C_2$  في الإيزوفلافون إشارة أحادية حادة في حدود 8-8.5 ppm [100].

بروتونات الميتوكسيل :

تظهر بروتونات الميتوكسيل في المجال 3.8-4.5 ppm [100].

بروتونات السكريات :

يمكن التعرف على نوع السكر من خلال بروتونه الأنوميري، ذو انزياح كيميائي يعتمد

أساسا على طبيعة الفلافونيد وموقع ونوع الرابطة بين السكر والأجليكون، والجدول (7) يعطي

قيم الانزياح الكيميائي للبروتون الأنوميري  $H_1''$  لبعض الفلافونيدات أحادية السكر.

الجدول (7) : يبين قيم الانزياح الكيميائي لـ  $H_1''$  لبعض الفلافونيدات أحادية السكر

$\delta H_1''$ ppm	الفلافونيد
5.2 – 4.8	7-O-glucosyl flavonol
6.0 – 5.7	3-O-glucosyl flavonol
5.3 – 5.1	7-O-rhamnosyl flavonol
5.1 – 5.0	3-O-rhamnosyl flavonol

يمكن التعرف على نوع الرابطة  $\alpha$  أو  $\beta$  بين السكر والأجليكون من خلال ثابت الاقتران لـ " $H_1$ "، " $H_2$ " حيث يمتاز الجليكوز بالرابطة  $\beta$  ويظهر " $H_1$ " بإشارة ثنائية بثابت تزاوج ( $J=7$  Hz) ناتج عن تزاوج ثنائي محور ي (diaxial) مع " $H_2$ ". كما يمتاز الرامنوز برابطة قد تكون  $\alpha$  بإشارة ثنائية لـ " $H_1$ " بثابت تزاوج ( $J=2$  Hz) نتيجة الاقتران استوائي-استوائي. [96].

### ب-3-4- مطيافية الرنين النووي المغناطيسي للكربون $^{13}C$ N.M.R :

نظرا لإنخفاض طاقة الامتصاص للكربون  $^{13}C$  بالإضافة إلى نسبة وجوده في الطبيعة 1.1% فإن كثافة الإمتصاص الناتج عن  $^{13}C$  تكون حوالي 0.01% بالنسبة لإمتصاص البروتون، لذلك فإن معظم التقديرات الخاصة بـ  $^{13}C$  تجري باستخدام FTNMR(Fourier Transformation NMR) للتغلب على الحساسية المنخفضة للكربون، ومن ناحية أخرى فإنه لا يحدث ازدواج بين ذرة الكربون  $^{13}C$  و  $^{12}C$  أخرى لأن احتمال وجود ذرتي كربون  $^{13}C$  متجاورتين ضعيف جدا حوالي 1 لكل  $10^4$  ذرة، لكن في نفس الوقت يحدث ازدواج بين  $^{13}C$  و ذرات الهيدروجين المجاورة، وقد يصل مدى الإزدواج ليشمل أربع روابط كيميائية، فيكون الطيف المتحصل عليه معقدا للغاية. وللتغلب على هذا الإزدواج تستخدم طريقة إزالة الإزدواج Sping decoupling و ذلك بإشعاع العينة بحزم من أشعة الراديو، تحتوي على جميع الترددات الخاصة بأنوية البروتونات في العينة .

وتحت هذه الظروف فإن طيف الرنين النووي المغناطيسي لـ  $^{13}C$  يظهر في صورة إمتصاصات فودية، ويعبر كل امتصاص عن ذرة كربون واحدة في ظروف إلكترونية معينة. وباستخدام هذه التقنية يمكن الحصول على صورة واضحة عن الهيكل الكربوني العام للجزيء، كما يمكن الكشف عن بعض المجموعات الكيميائية مثل  $C=O$ ,  $OCH_3$ ,  $C=NR$  وغيرها [98].

### ب-3-5- مطيافية الرنين النووي المغناطيسي ثنائية البعد:

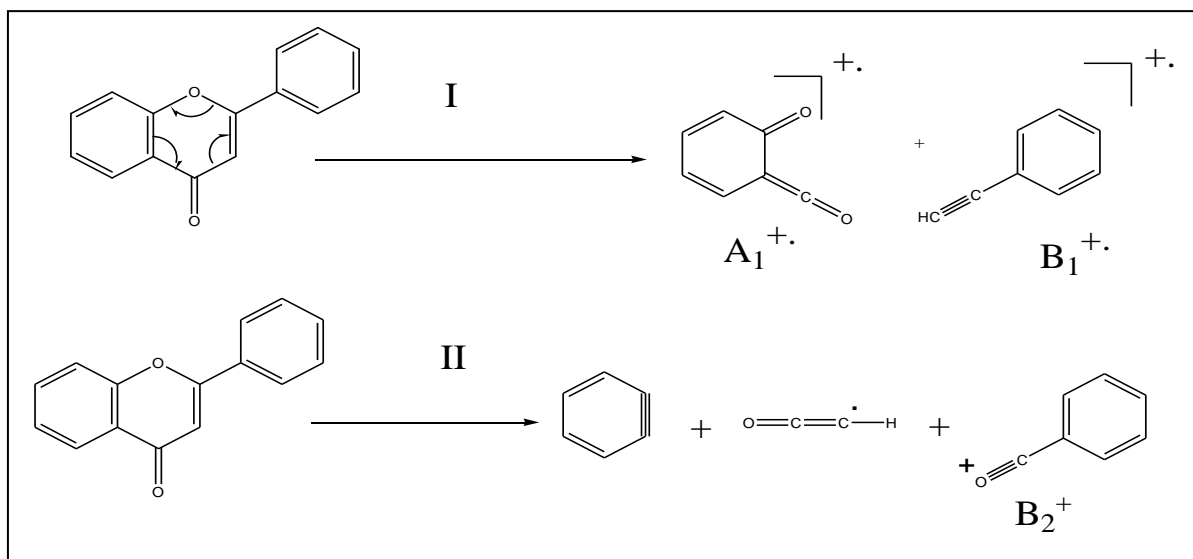
قد تعجز كل من مطيافية الرنين النووي المغناطيسي للبروتون  $^1H$  N.M.R و للكربون  $^{13}C$  N.M.R على تحديد موضع الإستبدال بالدقة اللازمة فنلجئ إلى مطيافية الرنين النووي المغناطيسي ثنائية البعد، التي تعطي تعلقات بين:

- أنويه متجانسة مثل  $^1H-^1H$  Cosy والتي تظهر نقاط تعلق بين البروتونات المتزاوجة فيما بينها أي المفصولة برابطتين أو ثلاث  $J^2, J^3$  .

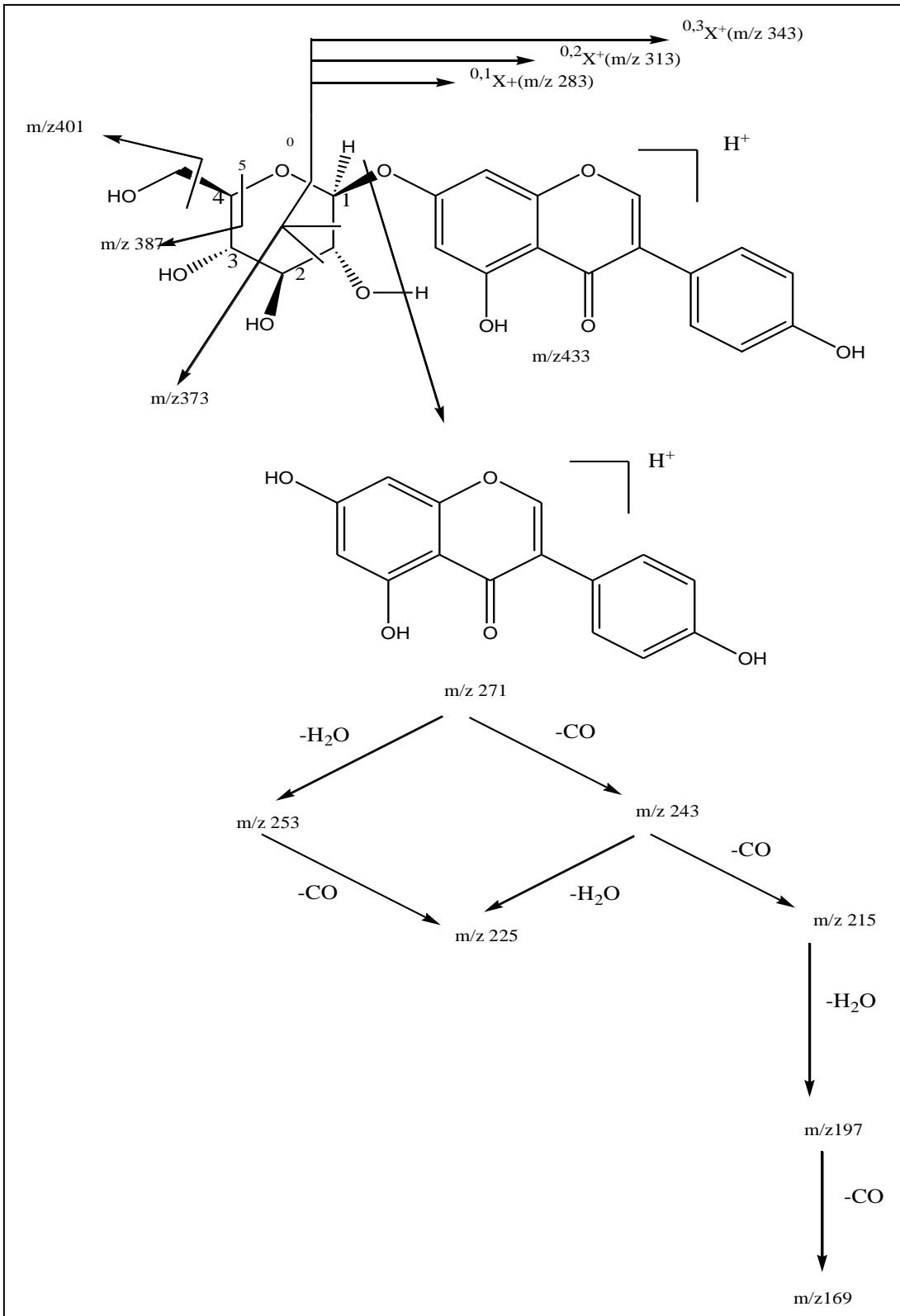
• أنوية غير متجانسة مثل HSQC والتي تعطي نقاط تعلق بين كل بروتون و الكربون الحامل له، ولكن هذه الأخيرة لا تسمح بمعرفة الكربونات الرباعية . فتستعمل تقنية HMBC التي تعطي تعلقات بعيدة المدى تصل إلى الكربونات الرباعية، فيتم تحديدها [98].

ب - 3 - 6 - **مطيافية الكتلة**: تقدم مطيافية الكتلة خدمة واسعة للتعرف على البنى الفلافونيدية، خاصة كونها لا تتطلب كمية كبيرة من المركب إذ يكفي جزء من ملغ، فمن خلالها يمكن معرفة الوزن الجزيئي وبالتالي معرفة الصيغة المحملة للمركب الذي يبين نوعية المستبدلات ميتوكسيلية كانت أو هيدروكسيلية، كما تمكن قيم الشظايا من معرفة توزيع هذه المستبدلات على الحلقتين B و A. وتعتمد هذه التقنية على عدة طرق أهمها: طريقة القذف الإلكتروني (IE) [101] التي تكون صالحة خاصة مع الأجليكونات . فالشكل (5) يوضح الإنشطارات الواقعة على الحلقة C عبر الطريقتين I و II.

مع تطور مطيافية الكتلة ظهرت تقنيات جديدة، كتقنية الإلكتروسبراي Electro-spray، وتقنية القذف بالذرات المسرعة FAB، والتي تتميز بتأين المركبات السهلة الانكسار بالحرارة دون تسخين، كالجليكوزيدات مما يسمح بثباتها ودراستها [102، 103]، وتؤدي هاتان التقنيتان إلى تكوين أيونات شبه جزئية مثل  $(M+Na)^+$ ،  $(M+Ca)^+$ ،  $(M+H)^+$ ،  $(M-H)^-$ .... فالشكل (6) يوضح تقنية تشظية المركب genistein 7-O-β-D-glucose بإستعمال طريقة  $(Es^+)$  [104]



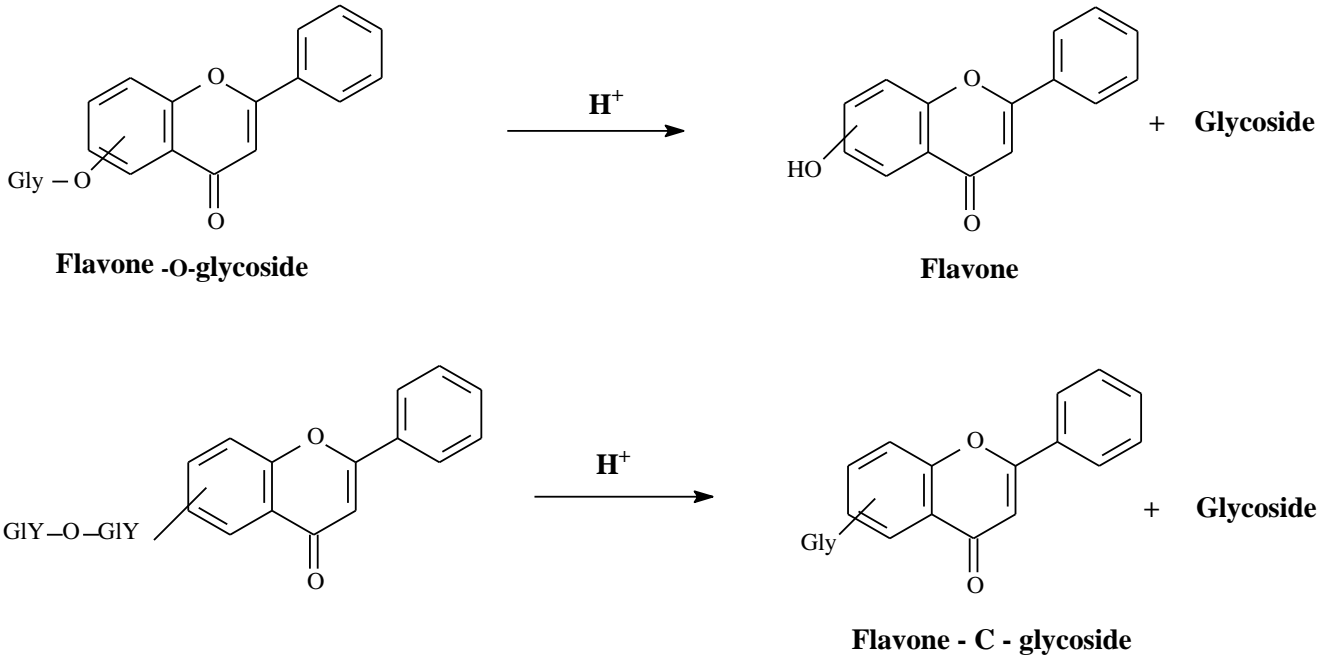
الشكل (5): الإنشطارات الواقعة على الحلقة C عبر الطريقتين I و II.



الشكل (6) : أهم الانشطارات الملاحظة على *genistein 7-O-β-D-glucoside*

ب-3-7-الإماهة الحمضية :

بالإضافة إلى التقنيات السابقة يمكن الاستعانة بالتميه الحمضي للتعرف على عدد ونوع السكريات الموجودة في المركبات الجليكوزيدية إذ تعمل هذه التقنية على تحطيم الرابطة (كربون-أكسجين) الجامعة بين السكر والأجليكون . والشكل (7) يبين الإماهة الحمضية للفلافونيدات الجليكوزيدية في حالة O-جليكوزيل و C-جليكوزيل [105].



الشكل (7) : الإماهة الحمضية للفلافونيدات الجليكوزيدية

تم عملية التمهيه الحمضي في أنبوب اختبار بأخذ كمية قليلة من الجليكوزيد مذاب في حوالي (1 مل) من الميثانول ويضاف له (1 مل) من حمض كلور الماء (4N) HCl ثم يسخن في حمام مائي 100 م° لمدة 15 إلى 120 دقيقة.

بعد تبريد الأنبوب يعمد إلى استخلاص من نوع سائل /سائل بدءاً بإيثير الإيثيل (éthylic ether) بعد الرج الجيد يترك الأنبوب للراحة لتفصل بعدها الطبقة العضوية عن المائية، تكرر العملية مرة أخرى مع أسيتات الإيثيل (éthyl acétate) ثم البيوتانول العادي (n-butanol).

تركز الطبقة العضوية الحاوية على الأجليكون الذي يمكن التعرف عليه بتسجيل طيف (UV) وكذا بإجراء كروماتوغرافي (TLC) مع شواهد أجليكونية، أما الجزء السكري من الجليكوزيد فيبقى مذاباً في الطبقة المائية التي يتم تجفيفها ثم يعاد غسلها بالماء لتجفف من جديد تكرر هذه العملية عدة مرات للتخلص من HCl وأخيراً تغسل بالميثانول للتخلص من آثار الطبقة العضوية ثم يعاد إذابتها في الماء لتكون جاهزة للتحليل، وللتعرف على نوع السكر المنفصل يعمد إلى تحضير ألواح كروماتوغرافية من silica gel 60F<sub>254</sub> ترش بمحلول (0,2M) NaH<sub>2</sub>PO<sub>4</sub> تترك لتجف في الهواء ثم توضع في فرن تحت درجة حرارة 100 م° لمدة ساعة كاملة.

بعدها توضع نقطة من الطبقة المائية الحاوية على الجزء السكري بالموازاة مع بعض الشواهد السكرية المعروفة، يغمس اللوح الكروماتوغرافي في المملص : أستون : ماء (90 : 10)، بعد هجرة البقع السكرية يستخرج اللوح الكروماتوغرافي ليحجف في الهواء لمدة ساعة بعدها يرش بكاشف مالونات الأنيلين ويسخن عند 100° لمدة 5 دقائق حيث تبدأ بقع السكريات بالظهور بلون داكن وتأخذ اللون الأصفر تحت (UV). والجدول (8) يبين قيم Rf لبعض السكريات الشائعة [94].

#### الجدول (8) : قيم Rf لبعض السكريات الشائعة

السكريات الشواهد	Rf
α(L) rhamnose	0,88
D(+)-xylose	0,79
L(+)-arabinose	0,66
b-D(+)-glucose	0,53
D(+)-galactose	0,33

## المراجع

- [1] Ribereau-Gayou, J.B. (1968). The phenolic compounds of vegetals, Dundo, Paris.
- [2] El hazimi, H. (1995). Natural product, 149-190.
- [3] Guignard, J.L., Cosson, L., henzy, M.J. (1985). Abrégé de phytochimie, Paris, New york, Barcelone.
- [4] Bruneton, J. (1999). Pharmacognosie phytochimie plantes médicinales, ed. 3, lavoisier, Paris.
- [5] Eyton, W.B., Ollis, W.D., Sutherland, I.O., Gottlieb, O.R., Tavira Magalhaes, M. (1965). Proc. Tetrahedron, 21, 2683.
- [6] Reinsch, H., Repert. (1842). Pharm. 26, 12-31. Reinsch, H., Repert. (1842). Pharm. 28, 18-25.
- [7] Andersen, M.Ø. (2006). In Flavonoids, chemistry, Biochemistry and Application, Andersen, M.Ø. and Markham, K. RCRC Press, Boca raton, pp.1129-1197.
- [8] De Laire, G., Tiemann, F. (1893). Iridin, the glucoside of the iris root, J. Am. Chem. Soc. 15, 400-411.
- [9] Lapčič, O. (2007). Isoflavonoids in non-leguminous taxa: Ararity or a rule?, Phytochemistry, 68, 2909-2916.
- [10] Ingham, J.L. (1983). Prog. Chem. Org. Nat. Prod. 43, 1-266.
- [11] Ilyas, M., Parveen, M. and Khan, M.S. (1994). J. Chem. Res. (M), 601-617.
- [12] Shafiullah, P. M., Kamil, M. and Ilyas, M. (1995). Fitoterapia, 66, 439-441.
- [13] Veitch N.C. (2007). Isoflavonoids of the leguminosae, Nat. Prod. Rep. 24, 417-464.
- [14] Dixon, R.A. (1999). In Comprehensive Natural Products Chemistry, ed. Barton, D., Nakanishi, K. and Meth-Cohn, Elsevier, O. Amsterdam, vol. 1, pp.773-823 .
- [15] Aoki, T., Akashi, T. and Ayabe, S.I. (2000) J. Plant Res. 113, 475-488.
- [16] Dixon, R.A. and Steele, C.L. (1999). Trends Plant , Sci. 4, 394-400.
- [17] Mann, J. (1987). Secondary metabolism, ed. 2, Clarendon press, Oxford.
- [18] Cronquist, A. (1988). Anintegrated System of Classification of Flawring Plants, 2<sup>nd</sup> ed. New york, Botanical Garden.
- [19] Thorne, R.F. (1992). Classification and Geography of Flawring Plants, Bot. Rev. 58, 225-348.
- [20] Harbone, J.B. (1973). In Phytochemistry, Lawrence, P.L.ed. vol. 2.
- [21] Wollenweber, E. and Dietz, V.H. (1980). Biochem. Syst. Eco. 8,21.
- [22] Havsteen, B. (1983). Flavonoids, a class of natural products of high pharmacological potency. Biochem .Pharmacol, 32, 1141-1148.
- [23] Tereschuk, M.L., Riera, M.V., Castro, G.R. and Abdala, L.R. (1997). Antimicrobial activity of flavonoids from leaves of *Tagetes minuta*, J. Ethnopharmacol , 56, 227-232.
- [24] Tsao, T.F., Newman, M.G., Kwok, Y.Y. and Horikoshi ,A.K. (1982). Effect of Chinese and western antimicrobial agents on selected oral bacteria, J. Dent. Res. 61, 1103-1106.
- [25] Grange, J.M. and Davey, R.W. (1990). Antibacterial properties of propolis (bee glue). J. R. Soc. Med. 83, 159-160.
- [26] Bosio, K. Avanzini, C., D'Avolio, A., Ozino , O. and Savoia, D. (2000). In vitro activity of propolis against *Streptococcus pyogenes*, Lett. Appl. Microbiol, 31, 174-177.



- [27] Hegazi, A.G., Abd El Hady, F.K. and Abd Allah, F.A. (2000). Chemical composition and antimicrobial activity of European propolis, *Z. Naturforsch*, 55, 70–75.
- [28] Pepeljnjak, S., Jalsenjak, I. and Maysinger, D. (1982). Growth inhibition of *Bacillus subtilis* and composition of various propolis extracts, *Pharmazie*, 37, 864–865.
- [29] Dall'Agno, R., Ferraz, A. and Bernardi, A.P. et al. (2003). Antimicrobial activity of some *Hypericum* species, *Phytomedicine*, 10, 511–516.
- [30] El-Abyad, M.S., Morsi, N.M., Zaki, D.A. and Shaaban, M.T. (1990). Preliminary screening of some Egyptian weeds for antimicrobial activity, *Microbios*, 62, 47–57.
- [31] Khanna, P., Sharma, O.P. and Sehgal, M. et al. (1980). Antimicrobial principles from tissue culture of some plant species, *Indian, J. Pharm. Sci.* 42, 113–117.
- [32] Palacios, P., Gutkind, G., Rondina, R.V. De torres, R. and Coussio, J.D. (1983). Genus *Baccharis*, II. Antimicrobial activity of *B. crispa* and *B. notoserigila*, *Planta, Med.* 49, 128.
- [33] Oksuz, S., Ayyildiz, H. and Johansson, C. (1984). 6-Methoxylated and C-glycosyl flavonoids from *Centaurea* species, *J. Nat. Prod.* 47, 902–903.
- [34] Ohemeng, K.A., Schwender, C.F., Fu, K.P. and Barrett, J.F. (1993). DNA gyrase inhibitory and antibacterial activity of some flavones (1), *Bioorg. Med. Chem. Lett.* 3, 225–230.
- [35] Bashir, A.K., Abdalla, A.A., Wasfi, I.A., Hassan, E.S., Amiri, M.H. and Crabb, T.A. (1994). Flavonoids of *Limonium axillare*, *Int. J. Pharmacogn.* 32, 366–372.
- [36] Aljancic, I., Vajs, V. and Menkovic, N. et al. (1999). Flavones and sesquiterpene lactones from *Achillea atrata* subsp. *Multifida*, antimicrobial activity, *J. Nat. Prod.* 62, 909–911.
- [37] Basile, A., Giordano, S., Lopez-Saez, J.A. and Cobianchi, R.C. (1999). Antibacterial activity of pure flavonoids isolated from mosses, *Phytochemistry*, 52, 1479–1482.
- [38] Basile, A., Sorbo, S. and Giordano, S. et al. (2000). Antibacterial and allelopathic activity of extract from *Castanea sativa* leaves, *Fitoterapia*, 71, 110–116.
- [39] Sato, Y., Suzaki, S., Nishikawa, T., Kihara, M., Shibata, H. and Higuti, T. (2000). Phytochemical flavones isolated from *Scutellaria barbata* and antibacterial activity against methicillin-resistant *Staphylococcus aureus*, *J. Ethnopharmacol.* 72, 483–488.
- [40] Afolayan, A.J. and Meyer, J.J. (1997). The antimicrobial activity of 3,5,7-trihydroxyflavone isolated from the shoots of *Helichrysum aureonitens*, *J. Ethnopharmacol.* 57, 177–181.
- [41] Nishino, C., Enoki, N., Tawata, S., Mori, A., Kobayashi, K. and Fukushima, M. (1987). Antibacterial activity of flavonoids against *Staphylococcus epidermidis*, a skin bacterium, *Agric. Biol. Chem.* 51, 139–143.
- [42] Pepeljnjak, S. and Kosalec, I. (2004). Galangin expresses bactericidal activity against multiple-resistant bacteria, MRSA, *Enterococcus* spp. and *Pseudomonas aeruginosa*, *FEMS Microbiol. Lett.* 240, 111–116.
- [43] Fukui, H., Goto, K. and Tabata, M. (1988). Two antimicrobial flavanones from the leaves of *Glycyrrhiza glabra*, *Chem. Pharm. Bull. (Tokyo)* 36, 4174–4176.
- [44] Hufford, C.D. and Lasswell, W.L. (1978). Antimicrobial activities of constituents of *Uvaria chamae*, *Lloydia*. 41, 156–160.
- [45] Bae, E.A., Han, M.J. and Kim, D.H. (1999). In vitro anti-*Helicobacter pylori* activity of some flavonoids and their metabolites, *Planta. Med.* 65, 442–443.

- [46] Cottiglia, F., Loy, G. and Garau, D. et al. (2001). Antimicrobial evaluation of coumarins and flavonoids from the stems of *Daphne gnidium* L, *Phytomedicine*, 8, 302–305.
- [47] Sakagami, Y., Mimura, M. and Kajimura, K. et al. (1998). Anti-MRSA activity of sophoraflavanone G and synergism with other antibacterial agents, *Lett. Appl. Microbiol.* 27, 98–100.
- [48] Rauha, J.P., Remes, S. and Heinonen, M. et al. (2000). Antimicrobial effects of Finnish plant extracts containing flavonoids and other phenolic compounds. *Int. J. Food. Microbiol.* 56, 3–12.
- [49] Stapleton, P.D., Shah, S. and Hamilton-Miller, J.M.T. et al. (2004). Anti-*Staphylococcus aureus* activity and oxacillin resistance modulating capacity of 3-O-acyl-catechins, *Int. J. Antimicrob Agents*, 24, 374–380.
- [50] Arima, H. and Danno, G. (2002). Isolation of antimicrobial compounds from guava (*Psidium guajava* L.) and their structural elucidation, *Biosci. Biotechnol. Biochem.* 66, 1727–1730.
- [51] El-Lakany, A.M., Abdel-Kader, M.S., Hammada, H.M., Ghazy, N.M. and Mahmoud, Z.F. (1997). A new flavone glycoside with antimicrobial activity from *Carduus pycnocephalus* L, *Pharmazie*, 52, 78–79.
- [52] Verma, D.K., Singh, S.K. and Tripathi, V. (1997). A rare antibacterial flavone glucoside from *Lantana camara*, *Indian. Drugs.* 34, 32–35.
- [53] Chacha, M., Bojase-Moleta, G. and Majinda, R.R. (2005). Antimicrobial and radical scavenging flavonoids from the stem wood of *Erythrina latissima*, *Phytochemistry*, 66, 99–104.
- [54] Deng, Y., Lee, J.P. Tianasoa-Ramamonjy, M. et al. (2000). New antimicrobial flavanones from *Physena madagascariensis*, *J. Nat. Prod.* 63, 1082–1089.
- [55] Osawa, K., Yasuda, H., Maruyama, T., Morita, H., Takeya, K. and Itokawa, H. (1992). Isoflavanones from the heartwood of *Swartzia polyphylla* and their antibacterial activity against cariogenic bacteria, *Chem. Pharm. Bull. (Tokyo)* 40, 2970–2974.
- [56] Hamilton-Miller, J.M.T. and Shah, S. (2000). Activity of the tea component epicatechin gallate and analogues against methicillin-resistant *Staphylococcus aureus*, *Antimicrob. J. Chemother.* 46, 852–853.
- [57] Stapleton, P.D., Shah, S., Anderson, J.C., Hara, Y., Hamilton-Miller, J.M.T. and Taylor, P.W. (2004). Modulation of beta-lactam resistance in *Staphylococcus aureus* by catechins and Gallates, *Int. J. Antimicrob. Agents*, 23, 462–467.
- [58] Arima, H., Ashida, H. and Danno, G. (2002). Rutin-enhanced antibacterial activities of flavonoids against *Bacillus cereus* and *Salmonella enteritidis*, *Biosci. Biotechnol. Biochem.* 66, 1009–1014.
- [59] Bozdog-Dundar, O., Tuncbilek, M., Altanlar, N. and Ertan, R. (2003). Synthesis and antimicrobial activity of flavone-3-carboxaldehyde oxime ether derivatives, *Arzneimittelforschung*, 53, 522–525.
- [60] Wang, S.X., Zhang, F.J., Feng, Q.P. and Li, Y.L. (1992). Synthesis, characterization, and antibacterial activity of transition metal complexes with 5-hydroxy-7,4-dimethoxyflavone, *J. Inorg. Biochem.* 46, 251–257.
- [61] Ward, F.E., Garling, D.L., Buckler, R.T., Lawler, D.M. and Cummings, D.P. (1981). Antimicrobial 3-methylene flavanones, *J. Med. Chem.* 24, 1073–1077.
- [62] Vijaya, K. and Ananthan, S. (1996). Therapeutic efficacy of medicinal plants against experimentally induced shigellosis in guinea pigs, *Indian. J. Pharm. Sci.* 58, 191–193.

- [63] Dastidar, S.G., Manna, A. and Kumar, K.A. et al. (2004). Studies on the antibacterial potentiality of isoflavones, *Int .J. Antimicrob. Agents.* 23, 99–102.
- [64] Harborne, J.B. and Williams, C.A. (2000). Advances in flavonoid research since 1992, *Phytochemistry*, 55, 481–504.
- [65] Wachter, G.A., Hoffmann, J.J., Furbacher, T., Blake, M.E. and Timmermann, B.N. (1999). Antibacterial and antifungal flavanones from *Eysenhardtia texana*, *Phytochemistry*, 52, 1469–1471.
- [66] Valsaraj, R., Pushpangadan, P. and Smitt, U.W. et al. (1997). New anti-HIV-1, antimalarial, and antifungal compounds from *Terminalia bellerica*, *J .Nat .Prod .* 60, 739–742.
- [67] Afolayan, A.J. and Meyer, J.J. (1997). The antimicrobial activity of 3,5,7-trihydroxyflavone isolated from the shoots of *Helichrysum aureonitens*, *J. Ethnopharmacol.* 57, 177–181.
- [68] Ono, K., Nakane, H., Fukushima ,M., Chermann, J.C. and Barre-Sinoussi, F. (1989). Inhibition of reverse transcriptase activity by a flavonoid compound, 5,6,7- Trihydroxyflavone, *Biochem. Biophys .Res .Commun.* 160, 982–987.
- [69] Lin, Y.M., Anderson, H. and Flavin, M.T. et al. (1997). *In vitro* anti-HIV activity of biflavonoids isolated from *Rhus succedanea* and *Garcinia multiflora*, *J. Nat. Prod.* 60, 884–888.
- [70] Critchfield, J.W., Butera, S.T. and Folks, T.M. (1996). Inhibition of HIV activation in latently infected cells by flavonoid compounds, *AIDS. Res. Hum .Retroviruses*, 12, 39–46.
- [71] Hu, C.Q., Chen, K., Shi, Q., Kilkuskie, R.E., Cheng, Y.C. and Lee, K.H. (1994) Anti-AIDS agents, 10. Acacetin-7-*O*-beta-D-galactopyranoside, an anti-HIV principle from *Chrysanthemum morifolium* and a structure–activity correlation with some related Flavonoids, *J. Nat. Prod.* 57, 42–51.
- [72] Middleton, J.E. and Chithan, K. ( 1993). The impact of plant flavonoids on mammalian biology: implications for immunity, inflammation and cancer. In, Harborne, J.B. Editor, *The flavonoids, advances in research since (1986)*. London, UK. Chapman and Hall.
- [73] Selway, J.W.T. (1986). Antiviral activity of flavones and flavans. In, Cody, V. Middleton, E. Harborne, J.B. editors. *Plant flavonoids in biology and medicine, biochemical, pharmacological, and structure–activity relationships*, New York, NY, Alan R. Liss. Inc.
- [74] Cheng, P.C. and Wong, G. (1996). Honey bee propolis, prospects in medicine, *Bee. World.* 77, 8–15.
- [75] Meyer, J.J., Afolayan , A.J., Taylor, M.B. and Erasmus, D. (1997). Antiviral activity of galangin isolated from the aerial parts of *Helichrysum aureonitens*, *J. Ethnopharmacol.* 56, 165–169.
- [76] Amoros, M., Simoes, C.M., Girre, L., Sauvager, F. and Cormier, M. ( 1992). Synergistic effect of flavones and flavonols against herpes simplex virus type 1 in cell culture, Comparison with the antiviral activity of propolis, *J. Nat. Prod .* 55, 1732–1740.
- [77] Mucsi, I., Gyulai, Z. and Beladi, I. (1992). Combined effects of flavonoids and acyclovir against herpesviruses in cell cultures, *Acta. Microbiol. Hung.* 39, 137–147.
- [78] Wagner, H. Wirer, M., Bauer, R. (1986). *Planta Med.* 184-187.
- [79] Pietta, P.G. (2000). Flavonoids as antioxidants, *J. Nat. Prod.* 63, 1035-1042.
- [80] Sim, G.S., Lee, B.C., Cho, H.S. et al. (2007). Structure activity relationship of Antioxidative propriety of flavonoids and inhibitory effect on matrix

- metalloproteinase activity in UVA-Irradiated human dermal fibroblast, Arch. Pharm. Res. Vol.30, No.3, 290-298.
- [81] Bors, W., Heller, W., Michel, C. and Saran, M. (1990). Flavonoids as antioxidants, determination of radical scavenging efficiencies methods enzymol, 186, 343-355.
- [82] Rice-Evans, C.A., Miller, N.J. and Paganga, G. (1996). Structure-antioxidant activity relationship of flavonoids and phenolic acids, Free Radi. Biol. Med. 20, 933-956.
- [83] VanAcker, S.A.B.E., van den Berg, D.J., Tromp, M.N.J.L., Griffioen, D.H.V., Bennekom, W.P., Van der Vijgh, W.J.F. and Bast, A. (1996). Structural aspects of antioxidant activity of flavonoids, Free Radi. Biol. Med. 20, 331-342.
- [84] Heijnen, C.G.M., Haenen, G.R.M.M., Van Acker, F.A.A., Van der Vijgh, W.J.F. and Bast, A. (2001). Flavonoids as peroxynitrite scavengers, the role of the hydroxyl groups, Toxicol. In vitro, 5, 3-6.
- [85] Elber, G. and Wagner, H. (1992). Planta Med. 57, 137-141.
- [86] Middleton, E.J.R. and Kandasuwami, C. (1992). Biochem. Pharmacol. 43, (6), 1167-1179.
- [87] Nakajima, T. Manishi, M.I., Yamamoto, K. Cyong, J.C. and Hirai, K. (2001). Inhibitory effects of baicalein, A Flavonoid in Scutellaria Root, on Eotascin production by human Dermal Fibroblasts, planta Med. 67, 132-135.
- [88] Emin, J.A., Oliveira, A.B. and Lapa, A.J. (1994). Pharmacological evaluation of the anti-inflammatory activity of acitrus Bioflavonoids, Hesperidin, and the isoflavonoids, Duartin and Clausse quinone in rats and mice, J.Pharm. Pharmacol. 46, 118-122.
- [89] Sankawa, U. and Chum, Y.T. (1985). Advances in Chinese.
- [90] Matsuda, H. Yano, M., Kubo, M., Linuma, M., Oyama, M. and Mizuno, M. (1991). Pharmacological study on citrus fruits unshiu markovich (2) on flavonoid components, Yakugata Zasshi, 111, 193-198.
- [91] Murakami, N. Mostaqul, H.M., Tamura, S. Itagak, S. and Horü, T.T. (2001). A new anti-malarial flavonol glycoside from hydrangeae dulcis folium (Hydrangea macrophylla) Bivorg. Med. Chem. Lett. 11, 2445-2447.
- [92] Hammerstone, J.F., lazarus, S., Mitchell, A., Rucker, R. and Schmitz, H. (1999). Identification of procyanidir (Theobroma cacao) and chocolate using high-performance liquid chromatography/mass, sp. Agric. Food chem. 47, 490-496.
- [93] Samejima, K., Kanazawa, K., Ashida, H. and Danno, G. (1995). Journal of Agricultural and Food Chemistry, 43, 410-414.
- [94] Markham, K.R. (1982). Technique of flavonoid identification, Academic press, London.
- [95] Jurd, L. and Horowitz, R. (1962). Spectral properties of flavonoid compounds, pergamon press, Oxford, 107-2055.
- [96] Mabry, T.J., Markham, K. R. and Thomas, M.B. (1970). The systimatic identification of flavonoids, Springer, New york, 45-126.
- [97] Wollenweber, E. (1982). Occurrence and localization of flavonoid aglycones, In the flavonoids-Advances in Research (Harborne, J.B. and Mabry, J.J. eds. Chapman and Hall, London, New York).
- [98] Silverstein, R.M., Webster, F.X. and Kiemle, D.J. (2007). Identification spectrométrique de composes organiques, ed.2, De Boeck Université.
- [99] Lacaille-Dubois, M.A. and Wagner, H. (1992). 20<sup>ème</sup> Aniversaire du groupe polyphenols(book of abstacks) vol I(16), 217, 13-16.

- [100] Markham, K.R. and Geiger, H. (1994). <sup>1</sup>HMRN spectroscopy of flavonoids and their glycosides in hexadeuteurodimethyl-sulfoxide, In the flavonoids, edited by Harborne, J.B. (1993). Chapman and Hall, London.
- [101] Audier, H. (1966). Etude des composés flavoniques par spectrométrie de masse.
- [102] Constantin, E. and Schenelle, A. (1986). Spectrométrie de masse principe et application. Lavoisier, Paris.
- [103] Williams, D.H., Bradley, O., Bojesen, G. Santikarn, S. and Taylor, C.E. (1981). Fast Atom Bombardement mass spectrometry, J. Am. Chem. Soc. 103, 5700-5704.
- [104] March, R.E., Miao, X.S., Metcalfe, C.D., Stobiecki, M. and Marczak, L. (2004). A fragmentation study of isoflavone glycoside , genistein 7-O- glucoside , using electrospray quadropole time –of-flight mass spectrometry at high mass resolution, international journal of mass spectrometry, 232, 171-183.
- [105] Gonnet, J.F. (1973). A propos de la photographie en couleur de chromatographie sur couches minces en lumière de Wood. J. of cromato. 86, 192.

الفصل الثاني  
الدراسة التيمائية للفتتين:

*Retama sphaerocarpa*

و

*Ammoides atlantica*

## II - أ - الدراسة الكيميائية لنبات *Retama sphaerocarpa*

### II - أ - 1 - التصنيف النظامي للنبات حسب Messaili [1]

Embranchement	Spermaphytes	الفرع
Sous embranchement	Angiospermes	تحت الفرع
Classe	Dicotylédones	الصف
Sous classe	Diapétales	تحت الصف
Série	Caliciflores	السلسلة
Ordre	Rosales	الرتبة
Famille	Fabacées	العائلة
Sous famille	Papilionacées	تحت العائلة
Tribu	Genisteae	القبيلة (الفصيلة)
Genre	Retama	الجنس
Espèce	Sphaerocarpa	الرووع

### II - أ - 2 - وصف النوع :

*Retama sphaerocarpa* عبارة عن شجيرة إبرية بأغصان صلبة رطبة الملمس، يبلغ طولها من 1 إلى 2 م، ذات أوراق صغيرة ملساء، السفلى تكون ثلاثية الوريقة أما الأخرى فأحادية الوريقة، سهلة السقوط، ذات أزهار صفراء صغيرة جدا (5 - 6 ملم) تتجمع في عناقيد جانبية تحوي من 8 إلى 15 زهرة متوضعة على الفروع حسب الشكل (1).



الشكل (1) : صور فوتوغرافية للنباتة *Retama sphaerocarpa*



تمتاز هذه الأزهار بكأس ثنائي الشفة أو الشق، ذو شفة علوية ثنائية السن من الأسفل، أما التويج فيحوي 5 بتلات ملتحمة بالأنبوب السدائي، فالبتلة الخلفية هي أكبر البتلات وتُعرف بالعلم والبتلتان الجانبيتان تُعرفان بالجنّاحين، أما البتلتان الأماميتان فملتحمتان التحاماً خفيفاً على شكل زورق، مع وجود 10 أسدية ملتحمة الخيوط مشكّلة حزمة واحدة، أما الثمار فهي عبارة عن قرون كروية وحيدة أو ثنائية البذرة، ذات ملمس ناعم ولون أصفر داكن [2].

تتميز هذه الشجيرة بجذور عميقة تفوق 20م، بحثا عن المياه الجوفية بحكم نموها في المناطق الجافة والشبه الجافة [3].

## II - أ - 3 - توزّع النوع :

تتوزّع *Retama sphaerocarpa* في المناطق الجافة وشبه الجافة [4] خاصة قرب المناطق الملحية فهي تتواجد في :

- إفريقيا [5] في كل من الجزائر والمغرب وتونس (أصلية).

- أوروبا [5, 6] في كل من البرتغال وإسبانيا (أصلية) وبلغاريا (منقولة).

- جنوب أمريكا [7] في الأرجنتين (منقولة).

أما على المستوى الجزائري فهي تتوزّع في قطاع التل القسنطيني وتحت قطاع مرتفعات هضاب الجزائر العاصمة ووهران [2].

## II - أ - 4 - المسح البيولوجي للنبته :

يستخدم الرتم في الطب الشعبي لأغراض شتى ، إذ يستعمل منقوعه المائي ضد داء الكلب، كما يعهد إلى أغصانه علاج الروماتيزم وتستعمل الأوراق والسيقان في التخفيف من السمنة، كما يستخدم في الطب الشعبي الإسباني في علاج الأورام الغديّة (الثؤلول) [8].

كما أثبتت الدراسات الدور الفعال الذي تلعبه هذه الشجيرة في المناطق الجافة والشبه الجافة، إذ تعمل على تلطيف الجو من رطوبة ودرجة حرارة ، كما أنها تساعد على تخصيب التربة بإغنائها بالمواد العضوية وتشبيتها للأزوت . فهي تخلق وسطا تحت مجموعها الخضري ملائما لتوزع وتنوع حشائش دائمة وحولية، وهذه الأخيرة توفر سمادا كافيا لبقاء الشجيرة [9].

كما أظهرت التحاليل السمية التأثير التثبيطي لكل من مستخلص  $\text{CHCl}_3$  و AcOEt و BuOH على كل من خلايا سرطان الثدي (MCF-7) وسرطان الكلى renal adenocarcinoma (TK-10) وسرطان الجلد melanoma(UACC-62) كما تعمقت هذه الأبحاث في تفسير إختلاف التأثير البيولوجي لهذه المستخلصات بإعادة نفس التجارب على المركبات الفلافونيدية المفصولة من كل مستخلص .

فالتأثير التثبيطي لمستخلص البيوتانول على خلايا MCF-7 ا راجع لاحتوائه على الفلافونيدات الميتوكسيلية 7,6,5 أما بالنسبة لخلايا UACC-62, TK-10 فتتأثر بمستخلص الأسيتات الغني بالإيزوفلافون genistin أكثر منه بمستخلص الكلورفورم

الفعل التثبيطي للمركب 2 أكثر من 3 راجع لوجود OH في الموقع 5 بالنسبة للمركب 2 وهذا يؤكد كون  $\text{C}_5\text{-OH}$  هو المسؤول عن الفعالية السمية للإيزوفلافون عند كل الخلايا السرطانية .

كما تعزى الفعالية السمية للأجليكونات على غرار جليكوزيداتها عند الثلاث أنواع من الخلايا السرطانيا، وهذا راجع إلى الطبيعة الهيدروفيلية أو إلى الحجم الكبير لهذه الجليكوزيدات الذي يعيق إختراقها للجدار الخلوي .

ويعود التأثير التثبيطي للمركبات 7, 6,5, 1 و etoposide على خلايا MCF-7 إلى الفعل التثبيطي الإنتقائي لمجموعة الميتوكسيل لهذا النوع من الخلايا السرطانيا [10].

جدول يوضح النسب المتوية للمركبات المفصولة من كل مستخلص [10].

	$\text{CHCl}_3$	AcOEt	ButOH
6-methoxypseudobaptigenin-7- $\beta$ -o-gllucoside(1)	1%	4.5%	-
Genistin(2)	0.2%	5%	-
Daidzin(3)	0.2%	-	-
Orientin(4)	--	0.2%	-
Rhamnazin-triglycoside(5)	-	-	0.3%
Rhamnazin-diglycoside(6)	-	-	1.3%
Rhamnazin(7)	-	-	0.3%

جدول يوضح التراكيز بـ  $\mu\text{g/ml}$  للمستخلصات والمركبات المفصولة منها المثبطة لنصف عدد الخلايا السرطانية  $\text{IC}_{50}$ :

	TK-10	MCF-7	UACC-62
$\text{CHCl}_3$	87	76	42
AcOEt	49	52	36
BuOH	>250	51	65
<b>Isoflavones</b>			
6-methoxypseudobaptigenin-7- $\beta$ -O-glycoside(1)	>100	62	>100
Genistin(2)	27	69	27
Daidzin(3)	>100	>100	57
<b>Flavone</b>			
Orientin(4)	>100	>100	57
<b>Flavonols</b>			
Rhamnazin-triglycoside(5)	>100	62	50
Rhamnazin-diglycoside(6)	>100	49	73
Rhamnazin(7)	52	9.7	17
<b>Positive controls</b>			
Etoposide	6.1	0.42	1
Genistein	5.9	6.9	4.1

كما أظهرت دراسة أخرى لـ Lopez l'azaro و مساعديه فعالية كل من المركبين 6،5 ضد الخلايا السرطانية، وذلك بتنظيم عمل الإنزيم Topoisomerase I وبالتالي الحد من الانقسام العشوائي غير المنتظم لـ DNA الخاص بالخلايا السرطانية [11].

قد أظهرت تحاليل سمية أخرى التأثير التثبيطي للمستخلص المائي لـ *R. sphaerocarpa* بجرعة تقدر بـ  $30 \mu\text{g/ml}$  يكون بنسبة 34.2% لخلايا النمو Hep2 المأخوذة من ورم سرطان الحنجرة (epidermoide carcinoma de larynx) مقارنة بـ 6-mercaptopurine الذي يمتاز بنسبة تثبيط تقدر بـ 54.2% علاوة على ذلك فهي تبدي سمية في التحارب الحيوية للإقريديس الملحي تقدر بـ  $\text{LC}_{50} = 454 \mu\text{g/ml}$  [8] مع العلم أن  $\text{LC}_{50} < 1000 \mu\text{g/ml}$  يعتبر عاملاً فعالاً حسب Meyer [12].

أما بالنسبة للنسيج النباتي فيعمل المستخلص المائي بتركيز (1%) على تثبيط كامل (100%) لعامل الانقسام الخلوي MI (Index mitotique) لنوع من البصل (*Allium cepa*) خلال 48 ساعة، كما يعمل على تثبيط يقدر بـ 24% للبقع القرحية للبطاطا المعاملة بنوع من البكتيريا الزراعية الممرضة (*Agrobacterium tumefaciens*) [8، 13].

## II - أ - 5 - المسح الكيميائي للنبتة :

أكد المسح البيليوغرافي الكيميائي للنبتة *R. sphaerocarpa* احتوائها على كل من الفلافونيدات و القلاويدات مما جعلها مؤخرًا محل بحث عدد من الباحثين .

فقد تمّ التعرف على ثمان قلاويدات كينوليزيدينية (quinolizidine) وقلويد واحد

بيبردين (bipiperidine) : Ammodendrine ، Déhydrolupanine ، Oxospartéine ، Lupanine ،

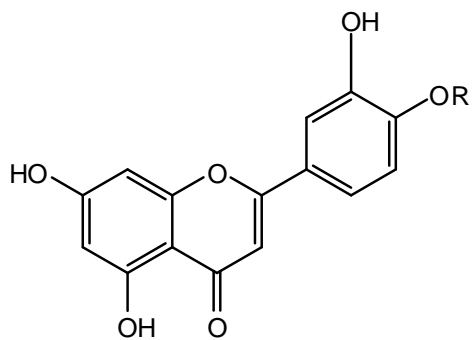
Spartéine ، Génistéine ، Retamine [14] و Cytisine ، Méthyl cytisine [15].

أما عن الفلافونيدات ونظرًا لكونها محل بحثنا فإننا ندرج ما فصل منها في جنس *Retama* في

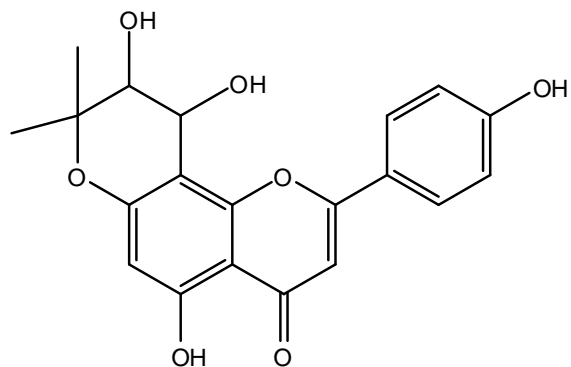
الجدول (1)

الجدول (1): الفلافونيدات المفصولة من الجنس *Retama*

نوع النبتة	اسم المركب	الصيغة الجزيئية	رقم الصيغة	رقم المرجع
<i>Retama raetam</i>	Luteolin 4'-O-neohesperidoside	C <sub>27</sub> H <sub>30</sub> O <sub>15</sub>	1	[16]
	5, 4'-dihydroxy-(3'',4''-dihydro-3'',4''-dihydroxy)-2'',2''-dimethylpyrano-(5'',6'' : 7,8)-flavone	C <sub>20</sub> H <sub>18</sub> O <sub>7</sub>	2	[17,16]
	Genistein	C <sub>15</sub> H <sub>10</sub> O <sub>5</sub>	3a	[17]
	Genistin	C <sub>21</sub> H <sub>20</sub> O <sub>10</sub>	3b	
	6 hydroxy genistein	C <sub>15</sub> H <sub>10</sub> O <sub>6</sub>	3c	
	6 hydroxy apigenin	C <sub>21</sub> H <sub>20</sub> O <sub>11</sub>	4	
	Luteolin	C <sub>21</sub> H <sub>20</sub> O <sub>11</sub>	5	
	Kaempferol	C <sub>15</sub> H <sub>10</sub> O <sub>6</sub>	6	
	Biochanin A	C <sub>16</sub> H <sub>12</sub> O <sub>5</sub>	7a	
	Pratensein	C <sub>16</sub> H <sub>12</sub> O <sub>6</sub>	7b	
3'-methylobol	C <sub>16</sub> H <sub>12</sub> O <sub>6</sub>	7c		
<i>Retama sphaerocarpa</i> <i>Boissier</i>	Rhamnazin-3-O-β-glucopyranosyl-(1→5)- α-arabinofuranoside	C <sub>28</sub> H <sub>32</sub> O <sub>16</sub>	8a	[18]
	7-hydroxy-6'-methoxy-3',4'-methylenedioxyisoflavone-7-O-β-glucoside	C <sub>23</sub> H <sub>22</sub> O <sub>11</sub>	9	[19]
	Genistein 7-O-β-glucoside	C <sub>21</sub> H <sub>20</sub> O <sub>10</sub>	3b	
	Daidzein 7-O-β-glucoside	C <sub>21</sub> H <sub>20</sub> O <sub>9</sub>	10	
	Orientin ou Lutexin (8-β-D-glucopyranosyl luteolin)	C <sub>21</sub> H <sub>20</sub> O <sub>11</sub>	11	[10]
	Rhamnazin-3-O-β-D-glucopyranosyl-(1→5)-[ β-D-apiofirranosyl-(1→2)] α-L-arabinofuranoside	C <sub>33</sub> H <sub>40</sub> O <sub>20</sub>	8b	
	Rhamnazin	C <sub>17</sub> H <sub>14</sub> O <sub>7</sub>	12	
	Vitexin	C <sub>21</sub> H <sub>20</sub> O <sub>10</sub>	13	[20]
	Vicenin-2	C <sub>27</sub> H <sub>30</sub> O <sub>15</sub>	14	
	Quercetin 3,7-di-O-β-glucoside	C <sub>27</sub> H <sub>29</sub> O <sub>17</sub>	15	

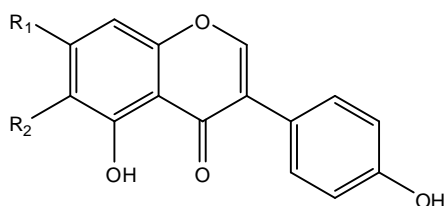


1

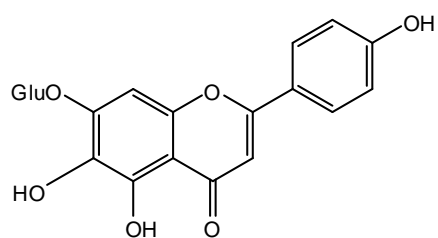


2

R=neohesperidosyl

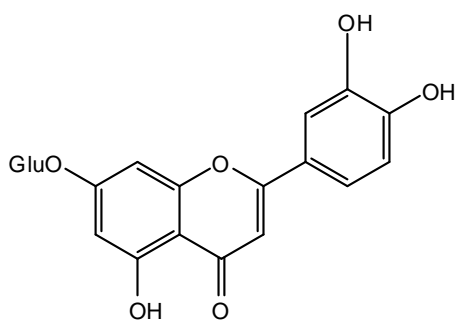


3

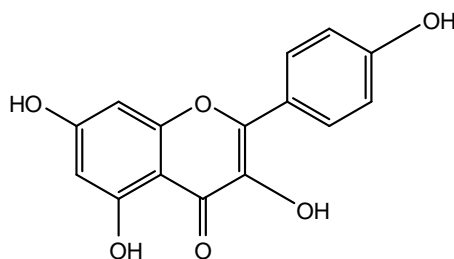


4

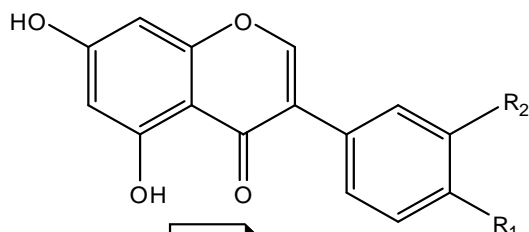
	R1	R2
a	OH	H
b	OGlu	H
c	OH	OH



5

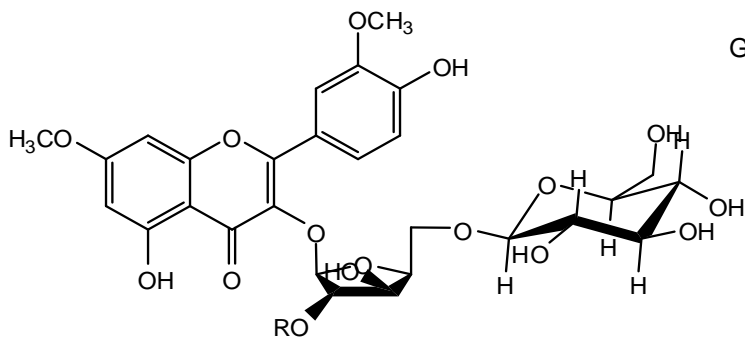


6



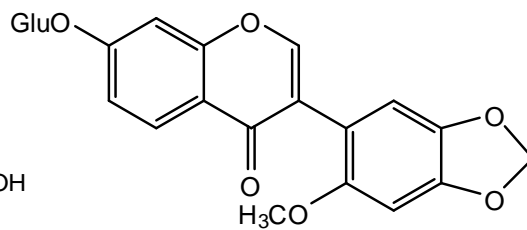
7

	R1	R2
a	OCH3	H
b	OCH3	OH
c	OH	OCH3

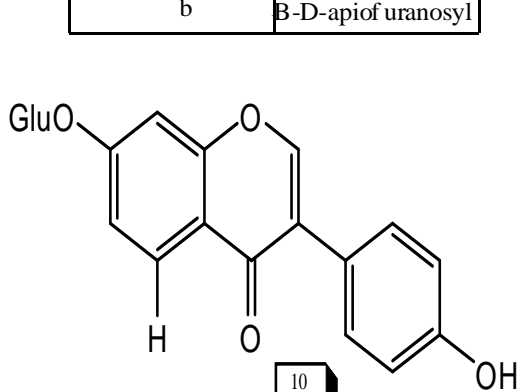


8

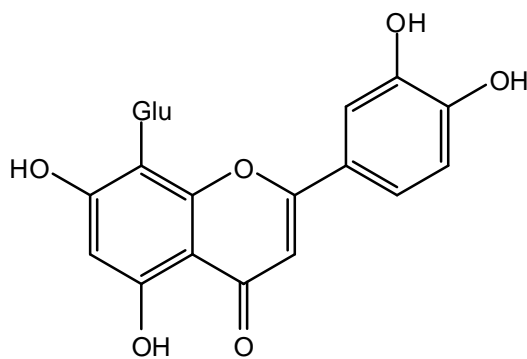
	R
a	H
b	B-D-apiof uranosyl



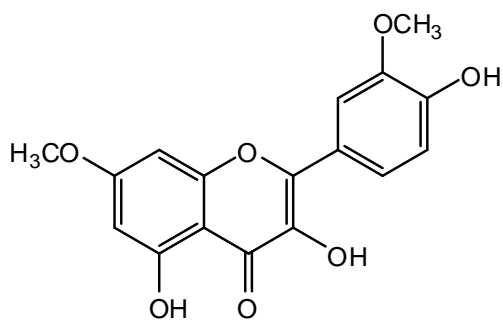
9



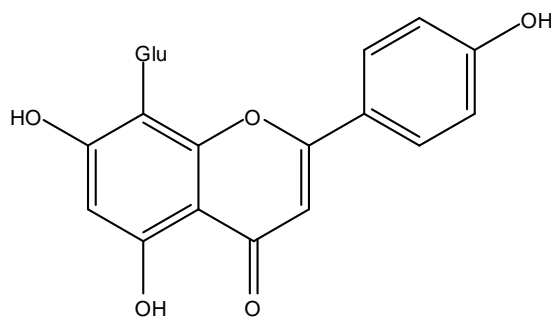
10



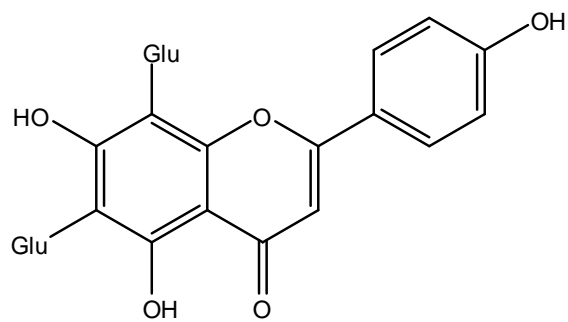
11



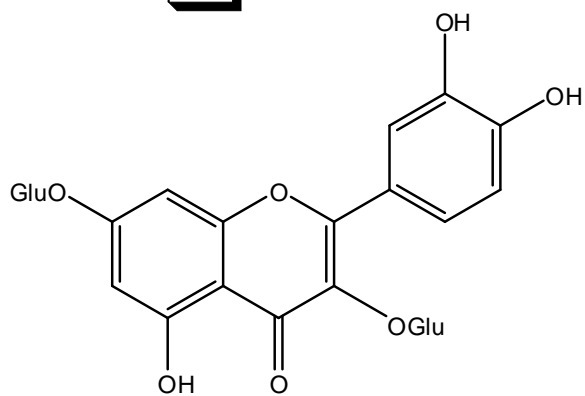
12



13



14



15

## II - ب - الدراسة الكيميائية لنبات *Ammoides atlantica*

### II - ب - 1 - التصنيف النظامي للنبات :

Embranchement	Spermaphytes	الفرع
Sous embranchement	Angiospermes	تحت الفرع
Classe	Dicotylédones	الصف
Sous classe	Rosida	تحت الصف
Ordre	Apiales	الرتبة
Famille	Apiaceae	العائلة
Sous famille	Apioidae	تحت العائلة
Genre	<i>Ammoides</i>	الجنس
Espèce	<i>Ammoides atlantica</i>	النوع

### II - ب - 2 - وصف النوع :

*Ammoides atlantica* : نبات حولي أو معمّر ذات حزم كثيفة فقيرة إلى الوريدات في الأوراق القاعدية .

سيقانها أقل تشعباً مقارنةً بالنوع الأخر *Ammoides pusilla* ، تتميز بحيمات ذات 3 إلى 6 أشعة ، أما الثمار فذات شعاع بيضوي بطول 2-2.5 ملم ، تنمو بالجبال في المرتفعات الأكثر من 1000 م و هي نبتة أصلية بالجزائر . [2]



الشكل (2) : صورة فوتوغرافية للنبات *Ammoides atlantica*



## II - ب - 3 - المسح البيولوجي للجنس *Ammoides* :

تستعمل كل من نوعي *Ammoides* : *A.pusilla* و *A.atlantica* في الطب الشعبي كمضاد للبكتيريا والإسهال . كما تستعمل *A.pusilla* لمعالجة الحمى، الإنفلونزة و تداوي أوجاع الرأس كما تنقع في الكحول أو حمض الخل وتمزج مع الحناء لمعالجة التخلف العقلي لدى الأطفال، بالإضافة إلى استعمالها كتوابل في الأطعممة [21] وقد ذكرها ابن البيطار في كتابه الجامع لمفردات الأدوية والأغذية باسم أطريلال وهي كلمة بربرية تعني رجل طائر ، يعرف بالديار المصرية برجل الغراب و بعضهم يسمونه بجزر الشيطان، وقد نوه بعضهم فائدتها في علاج البرص . وأول ما ظهر استعمال هذه النبتة كان عند قبيلة بربرية تعرف ببني أبي شعيب من بني وجهان من بجاية [22] .

كما يستعمل المستخلص المائي لهذه النبتة في الطب الشعبي شرق المغرب كعلاج لداء السكري وهذا ما أثبتته التحاليل البيولوجية التي أجريت بطريقتي: OGTT (Oral glucose Tolerance Test) و IVGTT (Injection vasculaire glucose Tolerance Test) والتي أثبتت التأثير التثبيطي للمستخلص المائي للنبتة *A.pusilla* على إمتصاص السكر بنسبة 28.5% بجرعة 250 mg/Kg وقد طمأنت التحاليل السمية من عدم وجود مضاعفات أو مخاطر من إستعمال هذه النبتة [23] .

كما أثبت حسين لعور وفرقه التأثير التثبيطي للزيت الطيار لـ *A.pusilla* على كل من نوعي البكتيريا الممرضة :

*Pseudomonas syringae* pv. *syringae* و *Pseudomonas syringae* pv. *morsprunorum* [24]

كما أظهر هذا الزيت فعالية ضد ميكروبية معتبرة على كل من السلالات :

*Serratia marcescens*, *Salmonilla enteritidis*, *Escherichia coli*(ATCC25922), *Pseudomonas aeruginosa*(ATCC27853), *Staphylococcus aureus*(ATCC25923), *Klebsiella pneumoniae*, *Pseudomonas syringae* pv.*morsprunorum*, *Pseudomonas syringae* pv.*syringae*, *Aspergillus niger* , *Candida albicans* [21]

أما بالنسبة للنوع الثاني *A.atlantica* فقد أظهر التشخيص البيولوجي لزيته الطيار فعالية ضد

ميكروبية على كل من الأنواع : *Escherichia coli*(ATCC25922),

*Staphylococcus aureus*(ATCC25923) و *Enterococcus faecalis* (ATCC29212)

كما سجل هذا الزيت تأثيرا تثبيطيا جد فعال على النوع النباتي *Bacillus subtilis*(ATCC6633)

بمقدار أقل من 6.25mg/l [25] .

II - ب - 4 - المسح الكيميائي للجنس *Ammoides* :

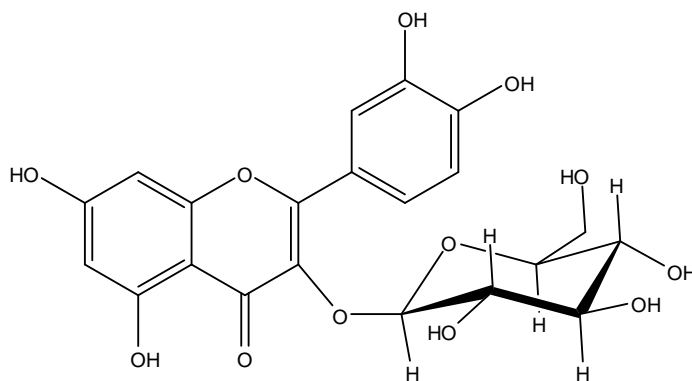
باستعمال GC/MS, GC للزيت الطيار لكل من *A. pusilla* [21] و *A. atlantica* [25] أثبت إحتوائها على نفس المركبات الأعظمية و بنسب متقاربة كما هو موضح في الجدول التالي:

المركبات الأعظمية	Thymol	$\gamma$ -terpinene	p-cymene
<i>A. atlantica</i>	53.2%	19.4%	10.6%
<i>A. pusilla</i>	44.5%	32.9%	13.5%

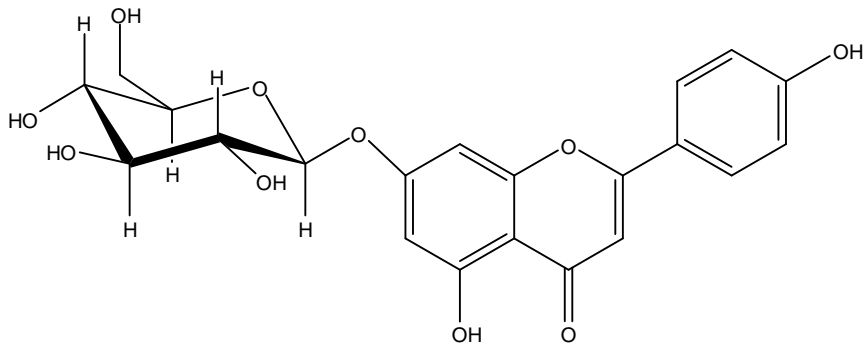
وبالنسبة للمركبات الفلافونيدية لم تحض *A. atlantica* بأي دراسة مسبقة على هذا النوع من مركبات الأيض الثانوي .

أما عن *A. pusilla* فكل ما تم فصله مدرج في الجدول التالي :

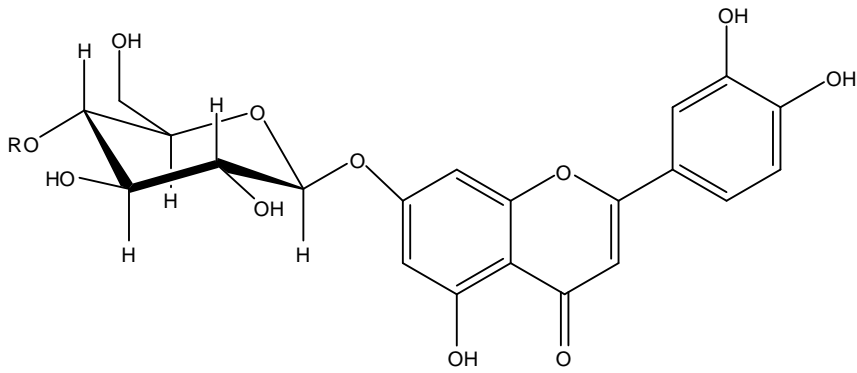
اسم المركب	الصيغة الجزيئية	رقم الصيغة	رقم المرجع
Quercetin 3 -O- $\beta$ -glucoside	$C_{21}H_{20}O_{12}$	16	[26]
Apigénine 7-O- $\beta$ -glucoside	$C_{21}H_{20}O_{10}$	17	
Luteoline 7-O-Rhamnoglucoside	$C_{27}H_{30}O_{15}$	18b	
Luteoline 7-O- $\beta$ -glucoside	$C_{21}H_{20}O_{11}$	18a	[27]
Quercetin 3 -O- $\beta$ -glucuronide.	$C_{21}H_{18}O_{13}$	19	



16

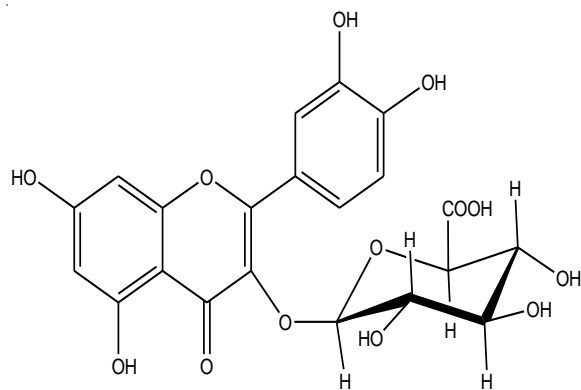


17



18

	R
a	H
b	Rhamnosyl



19

## المراجع

- [1] Messaili, B. (1995). Systématique des spermaphytes, ed. office des publications universitaires, Alger, 75.
- [2] Quezel, P. and Santa, S. (1963). Nouvelle flore de l'Algérie et des régions désertiques méridionales.
- [3] Haas, P., Pugnaire, F.I., Fernandez, E.M., Puigdefabregas, J., Clark, S.C. and Incoll, L.D. (1996). Investigation of rooting depth in the semi aride shrub *Retama sphaerocarpa*(L)Boiss. by lablling of ground water with a chemical tracer, Journal of Hydrology ,177,23-31.
- [4] Shokri Ibrahim, S. (1994). The Flower plants, 173.
- [5] Greuter, W. and al. (1989). (eds). Med-Chencklist, vol.4 (published).
- [6] Heywood, V.H. (1968). Leguminosae in Flora Europaea, Heywood, V.H. Burges, N.A., Moore, D.M., Valentine, D.H., Walters, S.M., Webb, D.A. (Eds). Cambridge University press, London, 101.
- [7] Burkart, A. (1952). Acme Agency, Buenos Aires, Las Leguminosas argentinas, 569.
- [8] Martin-Cordero, Saeng, M.T. Augusto, M.J. (1995). Cytotoxic activity of *Retama sphaerocarpa*, Fitoterapia, vol. LXVI, N° .6.
- [9] Moro, M.J., Pugnaire,F.I., Haas,P. and Puigdefàbregas,J. (1997). Effect of the canopy of *Retama sphaerocarpa* on its understorey in semiarid environment, Functional Ecology,11,425-431.
- [10] Lopez l'azaro, M., Martin-Cordero, C.,Cortés,F.,Piñero,J. and Jesús Ayuso, M. (2000).Cytotoxic activity of flavonoids and extracts from *Retama sphaerocarpa* Boisie,Verlag der Zeitschrift für Naturforschung, 55c, 40-43.
- [11]Lopez l'azaro, M., Martin-Cordero, C. and Jesús Ayuso, M. (2000). Two new flavonol glycosides as DNA topoisomeraseI poisons,Verlag der Zeitschrift für Naturforschung, 55c, 898-902.
- [12]Meyer, B.N., Ferrigni, N.R., Putnam, J.E., Jacobsen, L.B., Nichols, D.E. and Melauhlin, J.L. (1982). Planta Med. 45, 31.
- [13]Ferrigni, N.R., Putnam, J.E., Aderson, B.J., Jacobsen, L.B., Nichols, D.E., Moore, D.S. and Mclaughlin, J.L. (1982). J. Nat. prod. 45, 679.
- [14]Martin-Cordero, C., Gil-serrano, A.M. and Ayuso Gonzalez, M.J. (1991). Plantas med. Et phytother. 25, 157.
- [15]Ribas, I. and Vega, J. (1953). – Ion. 13, 140, 148.
- [16]Kassem, M., Mosharrafa, S.A., Saleh, N.A.M.and Abdel-Wahab, S.M. (2000). Two new flavonoids from *Retama raetam* Fitoterapia, 71, 649-654.
- [17]Djeddi, S., Karioti, A. and Skaltsa, H.(2008). Flavonoids of *Retama raetam*Webb. from Algeria , Planta Med.74.
- [18]Martin-Cordero, C., L'opez Lazàro, M., Gil-Serrano, A., Rodriguez Carvajal, M.A. and Ayuso Gonzàlez, M.J. (1999). Novel flavonol glycoside from *Retama sphaerocarpa* Boissier, Phytochemistry, 51, 1129-1131.
- [19]L'opez Lazaro, M., Martin-Cordero, C., Iglesias-Guerra, F. and Ayuso Gonzàlez, M.J. (1998). An isoflavone glucoside from *Retama sphaerocarpa* Boissier, Phytochemistry, vol. 48 N° . 2, 401-402.
- [20]Louaar, S., Akkal, S., Bousetla, A., Medjroubi, K., Djarri, L. and Seguin, E. (2005). Phytochemical study of *Retama sphaerocarpa*, Chemistry of natural compound, Vol. 41, No.1.

- [21] Laouer, H., Zerroug, M.M., Sahli, F., Chaker, A.N., Valentini, G., Ferretti, G., Grande, M. and Anaya, J. (2003). Composition and antimicrobial activity of *Ammoides pusilla* (Brot.) Breistr. essential oil, *Journal of Essential Oil Research*, 15(2), 135-138.
- [22] IbnAlbitar, Dam. (1874). *Aljame Li-Mofradat al adwiyah wal aghthiyah* (The collection of medical and food items), Dar Sader Publishing, Beirut, Lebanon (in Arabic), Vol.1.
- [23] Bnouham, M., Merhfour, F. Z., Legssyer, A., Mekhfi, H., Maallem, S. and Ziyyat, A. (2007). Antihyperglycemic activity of *Arbutus unedo*, *Ammoides pusilla* and *Thymelaea hirsute* *Pharmazie*, 62(8), 630-632.
- [24] Laouer, H., Zerroug, M. M., Chaker, A. N. and Bouzerzour, H. (2004). Study of the effect of *Ammoides pusilla* (Brot.) Breist, essential oil against *Pseudomonas sp.*, *Communications in Agricultural and Applied Biological Sciences*, 69(4), 619-624.
- [25] Laouer, H., Boulaacheb, N., Akkal, S., Singh, G., Marimuthu, P., de Heluani, C., Catalan, C. and Baldovini, N. (2008). Composition and antibacterial activity of the essential oil of *Ammoides atlantica* (Coss. et Dur.) Wolf., *Journal of Essential Oil Research*, 20(3), 266-269.
- [26] Boussetla, A., Akkal, S., Medjroubi, K., Louaar, S., Azouzi, S., Djarri, L., Zaabat, N., Laouer, H., Chosson, E. and Seguin, E. (2005). Flavonoid glycosides from *Ammoides pusilla*, *Chemistry of Natural Compounds*, 41(1), 95-96.
- [27] Nabel, A.M.S., Sabry, I.E.N., Mohamed, N.EH. and Hasnaa, A.H. (1983). Comparative study of the flavonoids of some local members of the umbelliferae, *Phytochemistry*, Vol.22, N<sup>o</sup>.6, pp.1417-1420.

## الفصل الثالث

المادة النباتية: الإستخلاص، الفصل، التنقية و الدراسة البيولوجية

### III - أ - الدراسة الكيميائية للنبتة *Retama sphaerocarpa*

#### 1\_ المادة النباتية :

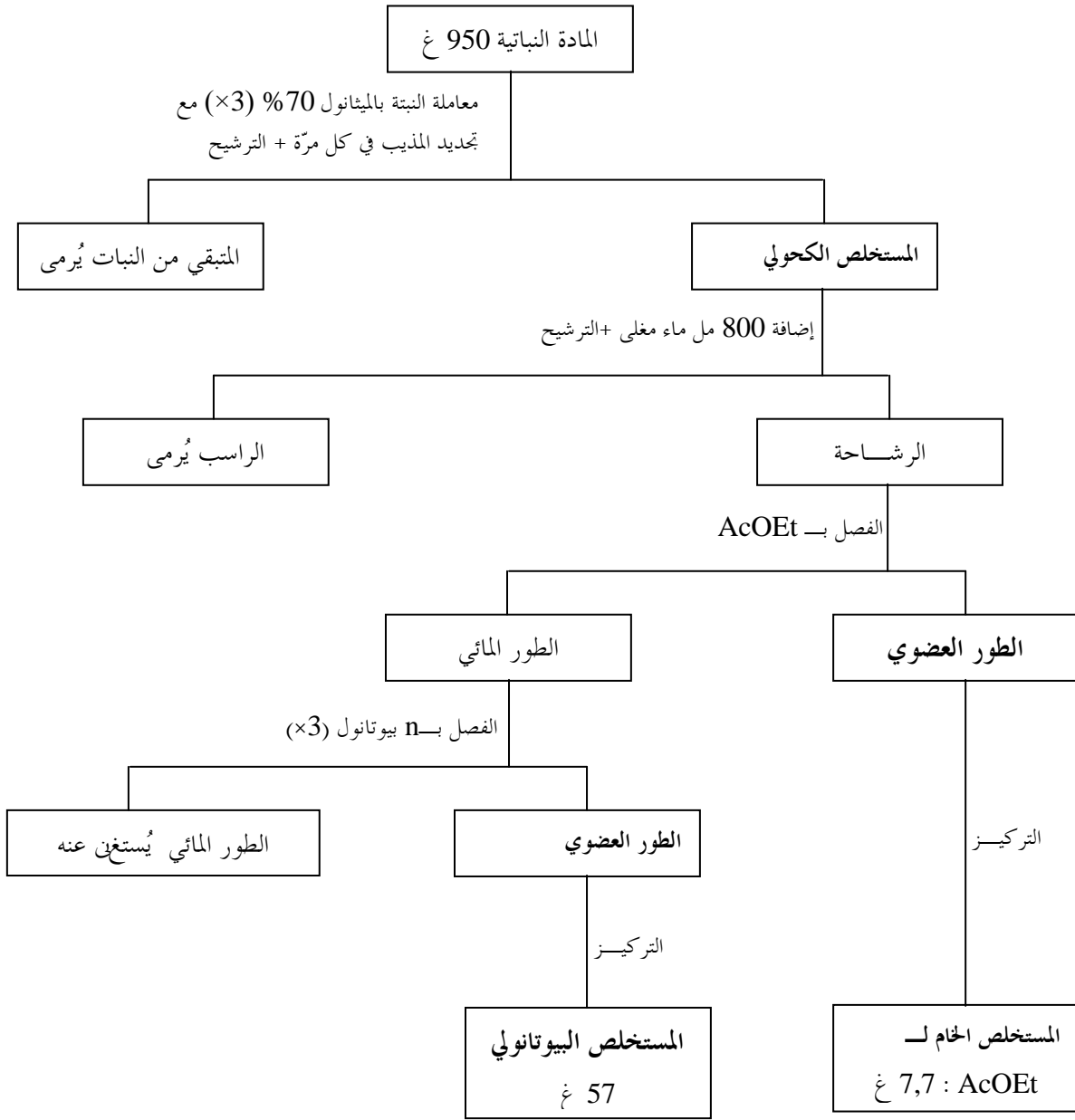
تم جمع *R. sphaerocarpa* في الأشهر ماي، جوان، جويلية 2002 من جبال سوق نعمان ولاية أم البواقي بالشرق الجزائري حيث تم جمع الجزء الهوائي من النباتة وهي في مرحلة الإزهار في شهر ماي ثم مرحلة الإثمار في شهر جويلية . أجريت عملية تجفيف النباتة في أماكن خاصة تحت الظلّ وبعيدا عن الرطوبة حيث كان الوزن المستعمل من مجموع خضري وثمارٍ وأزهار 950 غ.

#### 2\_ الاستخلاص :

بعد تجفيف النباتة اكتفينا بأخذ الأوراق والأزهار والثمار مع الفروع الدقيقة دون السيقان الغليظة وبعد تقطيعها إلى قطع صغيرة جدًا تم نقع المادة النباتية في محلول كحولي (MeOH :H<sub>2</sub>O / 30 :70) ساخن إلى درجة الغليان وتركت لمدة 48 ساعة، رشح المحلول واستقبل المترشح الكحولي في دورق . تم تكرير العملية مرتين أخريين لمدة 24 ساعة، وبعد الترشيح جمعت المستخلصات الكحولية وركّزت عند درجة حرارة 40 °C للتخلص من الكحول بعدها أذيت في 800 ملل من الماء المقطر عند درجة الغليان ثم تركت للراحة ليلة كاملة بعدها رشحت للتحصل من الأتربة وبعض المركبات الليبوفيلية (كلوروفيل، دهون نباتية... الخ).

في الخطوة الثانية وضعت الرشاحة في قمع فصل وأضيف لها 340 ملل من خلات الإثيل (AcOEt) وبعد الرج الجيد تُركت للراحة لمدة 24 ساعة بعدها فصلت الطبقة العضوية عن المائية ثم أعيدت نفس العملية للمرة الثانية على الطبقة المائية، وبعدها ركّز المستخلص العضوي لطور AcOEt فكان وزنه 7,7 غ. الطبقة المائية السابقة أضيف لها مذيب جديد وهو البيوتانول النظامي بحجم 345 ملل وبعد الرج الجيد تركت لمدة 24 ساعة بعدها فصلت الطبقة العضوية عن المائية ثم أعيدت العملية مرتين أخريين مع تركها للراحة 3 ساعات فقط ثم ركّز الطور العضوي للبيوتانول فكان وزنه 57 غ.

كلا المستخلصين يذاب في القليل من الميثانول للتخلص من أثار البيوتانول والأسيتات ويمثل الشكل (1) مختلف الخطوات المتبعة في عملية الاستخلاص.



الشكل (1) : مختلف الخطوات المتبعة في عملية الاستخلاص



### 3 - طرق الفصل والتقية :

قبل شرونا في عمليات الفصل أجريننا بعض الفحوص التحليلية على كل من المستخلص البيوتانولي ومستخلص الأستيات، باستعمال كروماتوغرافيا الطبقة الرقيقة من متعدد الأمد DC<sub>6</sub> ثنائي البعد :

البعد الأول : 4:3:3 - ميثانول : ميثيل إيثيل سيتون : طوليان.

البعد الثاني : 13:3:3:1 - أستيل أسيتون : ميثيل إيثيل سيتون : ميثانول : الماء.

من خلال مقارنة التح اليل المبنية في الكروماتوغرام (I) و (II) اتضح أنه لا توجد فوارق تستدعي دراسة مقارنة لكل من المستخلصين، فللحصول على أكبر عدد ممكن من المركبات الفلافونيدية عمدنا إلى جمع المستخلصين.

زيادة على كروماتوغرافيا الطبقة الرقيقة قمنا بإنجاز كروماتوغرافيا سائلة عالية الكفاءة (HPLC) لكل من مستخلص الأستيات والبيوتانول باستعمال : عمود Kromasil C18 100 A° (250 x 4.6 mm) ومجملة مملصة تتكوّن من مذيبين :

المذيب A : الماء / حمض الخل : 20/1000.

المذيب B : أسيتونتريل / الماء / حمض الخل : 20/200/800.

حيث يغيّر المملص آليا، ويتم التمليص تحت طول موجة مقدارها  $\lambda = 350 \text{ nm}$ .

نظرا لما يبينه الكروماتوغرام III و IV من غنى النبتة بالمكونات الفلافونيدية ومدى تداخلها لجأنا إلى فصل أولي بكروماتوغرافيا العمود لـ (15,11 غ من خليط المستخلصين مستعملين لهذا الغرض متعدد الأمد (SC<sub>6</sub> polycaprolactone) كطور ثابت.

قد تم تحضير المستخلص بإذابة الكمية المراد فصلها في القليل من الميثانول مع إضافة

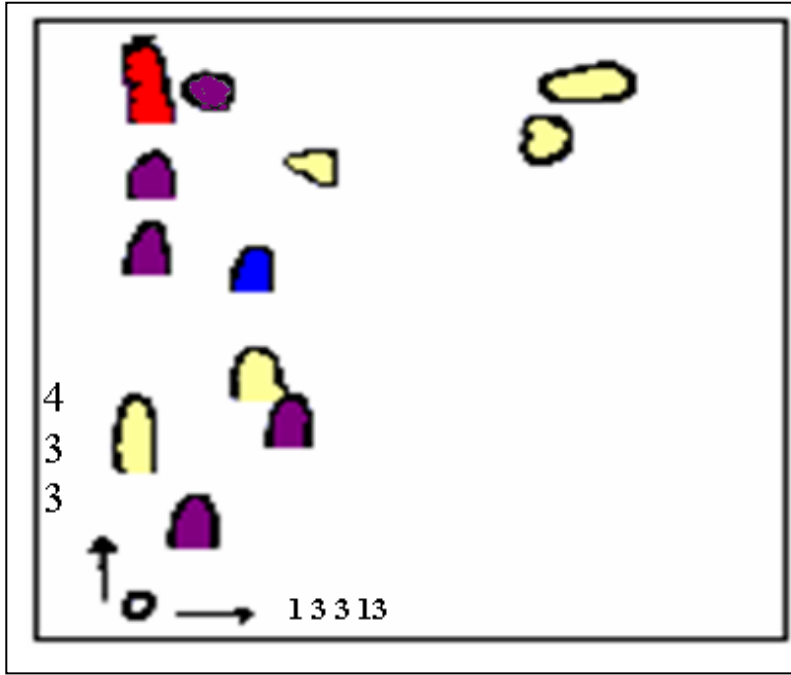
حوالي 2 غ من متعدد الأمد SC<sub>6</sub> وبعد التركيز والتجفيف الجيد وضع المسحوق المتحصل عليه

بجذر كبير في أعلى العمود الذي كان قد غُسل جيّداً بالطوليان وتُرك للراحة ليلية كاملة، وقد

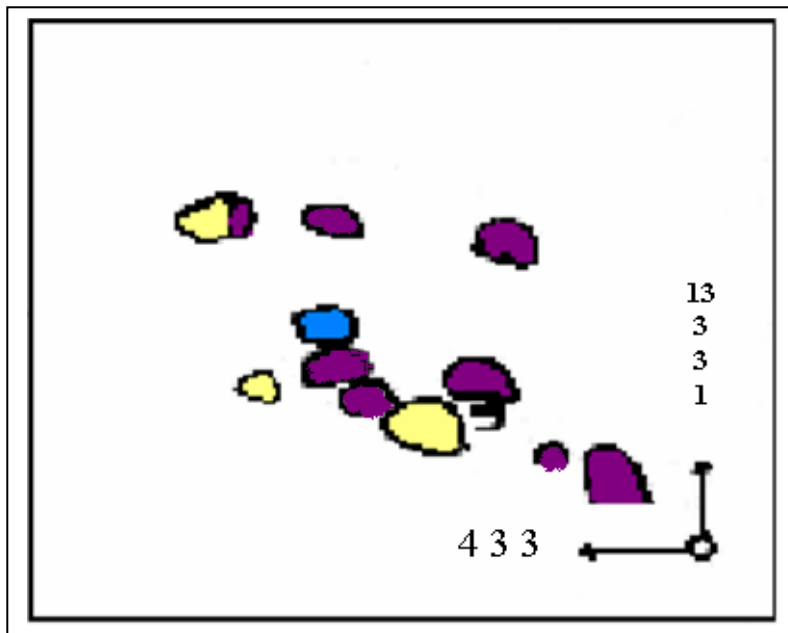
استعمل التولوين كمملص مع تغير القطبية بالإضافة التدريجية للميثانول إلى غاية الوصول إلى

100% ميثانول وتم مراقبة الحزم النازلة باستعمال مصباح الأشعة فوق البنفسجية والكسور المحصل

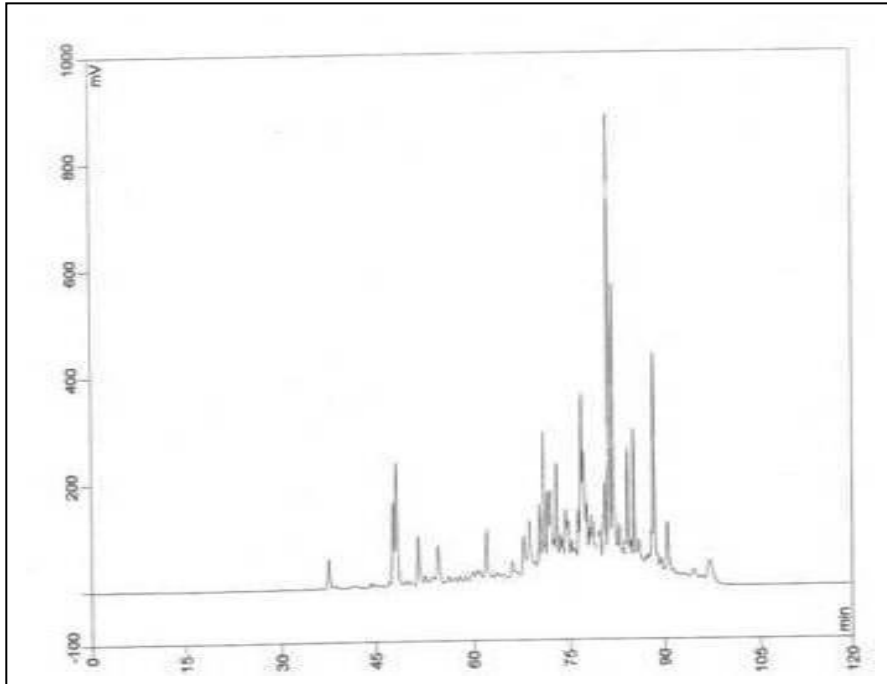
عليها مدونة في الجدول (1).



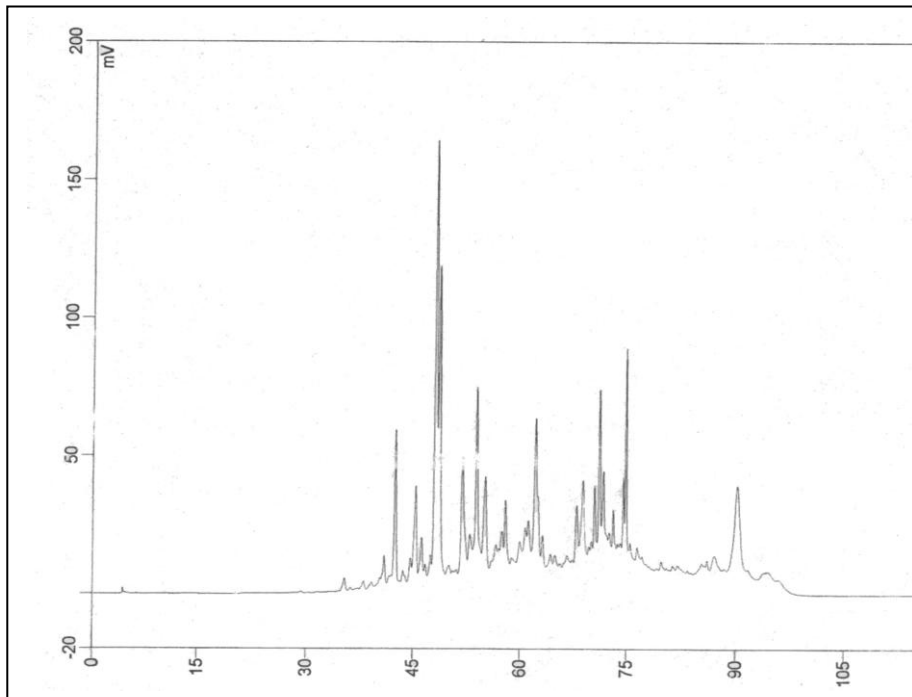
كروماتوغرام (I) ثنائي البعد لمستخلص الأسيتات لنبات *Retama sphaerocarpa*



كروماتوغرام (II) ثنائي البعد لمستخلص البيوتانول لنبات *Retama sphaerocarpa*



كروماتوغرام (III) لطور الأسيتات (H.P. LC.)



كروماتوغرام (IV) لطور البيوتانول (H.P. L C.)

الجدول (1) : الكسور المتحصل عليها من العمود الكروماتوغرافي

الملاحظة	الميثانول %	الطوليان %	رقم الكسر
F <sub>1</sub> ظهور مركب في شكل راسب أبيض	0	100	<b>1</b>
	2	98	<b>2</b>
	5	95	<b>3</b>
F <sub>2</sub> خليط لم يعالج	5	95	<b>4</b>
	7	93	<b>5</b>
	10	90	<b>6</b>
F <sub>3</sub> ظهور مركب نقي في شكل راسب أبيض يختلف عن المركب السابق	10	90	<b>7</b>
	15	85	<b>8</b>
	20	80	<b>9</b>
F <sub>4</sub> خليط لم يعالج مع ظهور الراسب F <sub>3</sub>	20	80	<b>10</b>
F <sub>5</sub> خليط لم يعالج	20	80	<b>11</b>
	25	75	<b>12</b>
F <sub>6</sub> ظهور مركب نقي في شكل راسب أبيض	25	75	<b>13</b>
F <sub>7</sub> خليط لم يعالج	25	75	<b>14</b>
F <sub>8</sub> خليط	30	70	<b>15</b>
F <sub>9</sub> خليط	30	70	<b>16</b>
F <sub>10</sub> خليط	40	60	<b>17</b>
	50	50	<b>18</b>
F <sub>11</sub> خليط	50	50	<b>19</b>
F <sub>12</sub> خليط	50	50	<b>20</b>
	100	0	<b>21</b>

تم جمع الكسور المتشابهة باستعمال كروماتوغرافيا الورق (Whatman N°3) ذات البعد الواحد بواسطة نظامين مختلفين :

S<sub>1</sub> : حمض الخل 15%.

S<sub>2</sub> : الطبقة العضوية لـ BAW (4:1:5) .

فتم الحصول على الكسور الجديدة (F<sub>1</sub> ← F<sub>12</sub>).

قمنا باختيار F<sub>1</sub>, F<sub>3</sub>, F<sub>9</sub>, F<sub>10</sub> من بين الكسور المتبقية من العمل المنجز خلال رسالة الماجستير ، لسهولة فصلها مقارنة بالكسور الأخرى . إذ تمت معالجة F<sub>10</sub>, F<sub>9</sub> بواسطة كروماتوغرافيا الورق (Whatman N°1, 3) التحضيرية مستخدمينا حمض الخل 15% كملص، لتتبع بعدها بكروماتوغرافيا الطبقة الرقيقة TLC لمتعدد الأמיד DC<sub>6</sub> مع النظام S<sub>3</sub> : 1 : 3 : 3 : 13 أستيل أسيتون : ميثيل إيثيل سيتون : ميثانول : الماء.

تنقي المركبات المحصل عليها تمت باستعمال عمود كروماتوغرافي صغير من متعدد الأמיד SC<sub>6</sub> وذلك بالاستعانة بالطوليان كمذيب وإغنائاه بالميثانول، كما استعملنا أيضا عمود صغير من السيفاداكس (Sephadex LH20) باستخدام الميثانول كمذيب . لنخلص أخيرا إلى المركبين النقيين F<sub>10G</sub>, F<sub>9</sub>.

أما الكسران F<sub>1</sub> و F<sub>3</sub> فكانا يحويان راسين أبيضين تم غسلهما بومضات متتالية من الميثانول البارد لنحصل على المركبين الأعظميين في صورتهم النقية F<sub>1</sub>, F<sub>3</sub> .

#### 4 - الفعالية ضد بكتيرية :

● **سلالات الاختبار:** تم الحصول على الأنواع البكتيرية , *Staphylococcus aureus* ATCC 29213 و *Staphylococcus aureus* ATCC 43300 و *Echerichia Coli* ATCC 25922 من مخبر علم البكتيريا و الطفيليات بالمستشفى الجامعي بسطيف .

● **الاختبار البيولوجي:** تمت دراسة الفعالية ضد بكتيرية باستعمال تقنية الأقراص كما هو معمول به في إدارة الغذاء و الدواء بالولايات المتحدة الأمريكية [1]، زراعة البكتيريا تمت باستعمال محلول ملحي معقم للحصول على اضطراب أو غباشة (turbidity) مساوية للكثافة الضوئية 0.08-0.1 عند طول الموجة 625 nm.

تستعمل أقراص ورق واتمان رقم 1 بقطر 6mm مشبعة بـ 10µl من كل تخفيف من المستخلصات المحضرة بتركيز 1.25g/1 ، بعد التخفيف توضع الأقراص على سطح أطباق

بتري الحاوية على الأجار المغذي بسمك 4mm المزروع بمخ تلف أنواع البكتيريا المحضرة من مزرعة فتية (18 ساعة )، وذلك باستعمال طريقة المسح . و يستعمل gentamycin و الإيثانول كشاهد، تحضن الأطباق في درجة حرارة 37 °C .

بعد 18 ساعة من التحضين تسجل النتائج بقياس متوسط قطر منطقة التثبيط حول كل قرص كما هو موضح في الجدول (2). ولمعرفة مدى تأثير المستخلصات على البكتيريا تأخذ عينات من منطقة التثبيط لتوضع في وسط مغذي ليعاد حضنها في الدرجة 37 °C لمدة 18 ساعة. من خلال النتائج المحصل عليها نلاحظ التأثير القاتل للمستخلص البيوتانولي في حين أبدى مستخلص الأسيتات تأثيرا تثبيطيا على النوع S. aureus ATCC 43300 في حين لم تتأثر E. coli ATCC 25922 بأي مستخلص أي أن هذه المستخلصات ذات فعالية على البكتيريا موجبة الغرام .

الجدول (2): يوضح قطر التثبيط لمستخلصي النبتة *Retama sphaerocarpa*

سلالات الإختبار	المستخلص	منطقة التثبيط بـ (mm)							
		1/5v/v			1/10v/v			ethanol	Gent.
		R1	R2	R3	R1	R2	R3		
<i>S. aureus</i> ATCC 43300	A	12S	11S	12S	8S	7S	8S	-	16
	B	20C	20C	20C	15C	15C	15C	-	16
<i>S. aureus</i> ATCC 29213	A	11S	11S	13S	8S	7S	8S	-	35
	B	11S	10S	11S	9S	9S	8S	-	35
<i>E. coli</i> ATCC 25922	A	-	-	-	-	-	-	-	30
	B	-	-	-	-	-	-	-	30

B:butanolic extract

A: AcOEt extract

R1= repetition n°1, R2= repetition n°2, R3= repetition n°3.

Gent.= Gentamycin

S= Bacteriostatic C= Bactericidal .

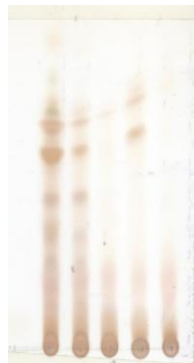
### III-ب -الدراسة الكيميائية للنبته *Ammoides atlantica*

1-المادة النباتية:جمعت النبتة من ضواحي ولاية سطيف بالشرق الجزائري (جبل مغرس) في جوان 2004 وخلال تجميع النبتة تم تخلصها من كل الشوائب العالقة بها , بعدها تمت عملية التجفيف في الظل بعيدا عن الرطوبة .

#### 2 - الاستخلاص:

بعد قطع النبتة إلى أجزاء دقيقة (700 غ) تم نقعها في محلول كحولي (MeOH :H<sub>2</sub>O / 30 :70) ساخن إلى درجة الغليان وتركت لمدة 24 ساعة .رشح المحلول واستقبل المرشح في دورق وبغية الحصول على مستخلص كاف ومعتبر أعيدت العملية ثلاث مرات و في كل مرة يعاد تجفيد المذيب .بعدها جمعت المستخلصات الكحولية وركزت عند 35°C - 50°C حتى الجفاف للتخلص نهائي من الكحول ليعاد إذابتها في حوالي 600 ملل ماء ملغى . ثم تركت للراحة لمدة ليلة كاملة بعدها رشحت للتخلص من الأتربة و الشوائب. قمنا بالاستخلاص من نوع سائل \_ سائل في قمع الفصل واستخدمنا لهذا الغرض مذيبين عديمي الإمتزاز مع الماء هما على التوالي أسيتات الإيثيل [5×200ملل] و البيوتانول العادي [3×200ملل] ليتم بعدها تجفيف المستخلصات تحت ضغط منخفض لتذاب في كميات ضعيفة من الميثانول، بعدها أجريت بعض التحاليل الكروماتوغرافية على المستخلصات الخمسة للأسيتات، باستعمال كروماتوغرافيا الطبقة الرقيقة من السيليكاجل فتبين تشابهها حسب كروماتوغرام (V) وقصد زيادة كميتها تم جمعها فكان وزنها بعد التجفيف 3.5 غ وبنفس الطريقة تم جمع مستخلصات البيوتانول فكان وزنها 22.77 غ.و الشكل (2) يمثل مختلف خطوات الإستخلاص .

AcOET :MeOH  
9 :1



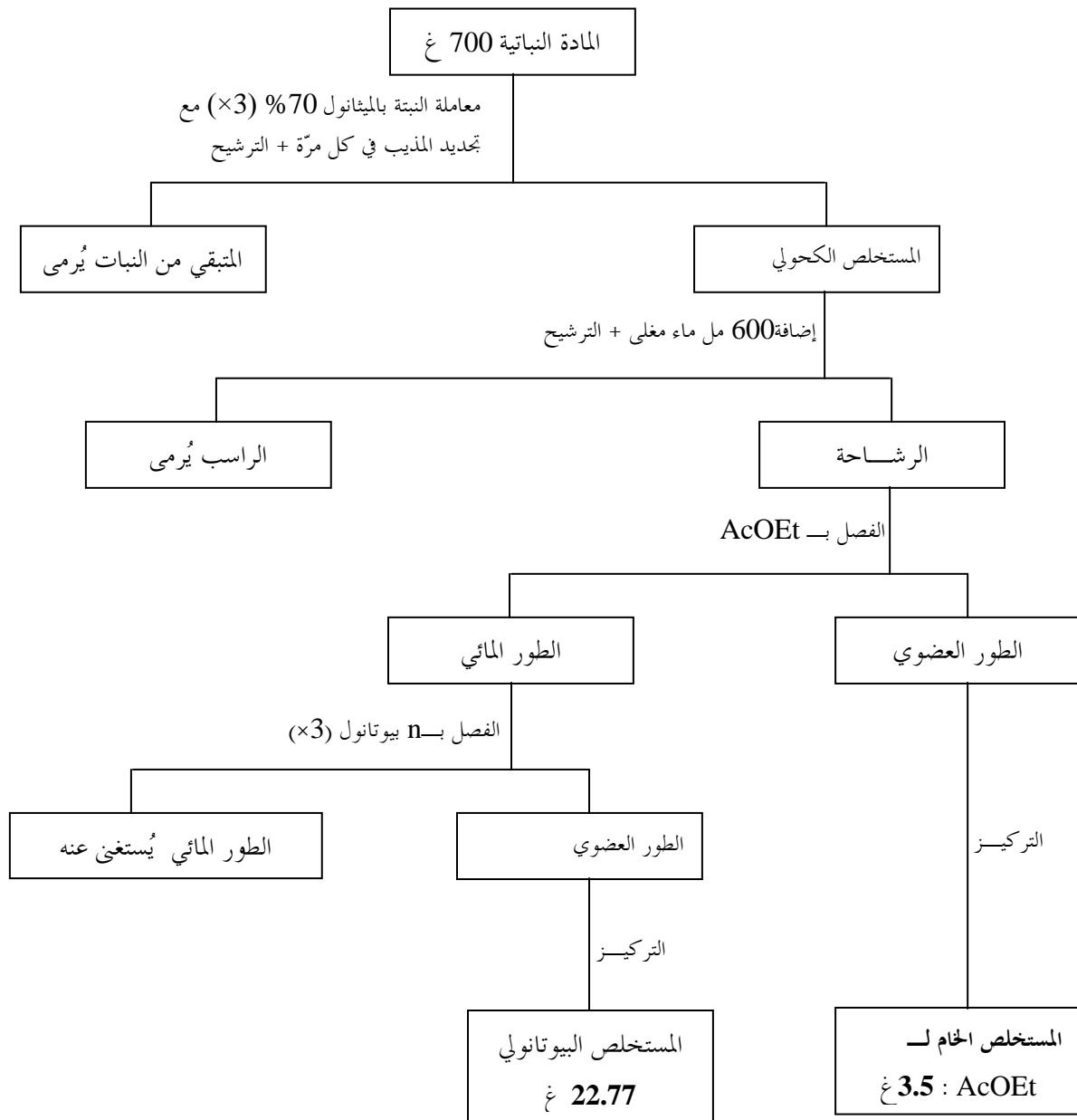
1 2 3 4 5

AcOET :MeOH  
8 :2



1 2 3 4 5

كروماتوغرام (V) الطبقة الرقيقة المستخلص الأسيتات لنبات *Ammoides atlantica*



الشكل (2): مختلف الخطوات المتبعة في عملية الاستخلاص



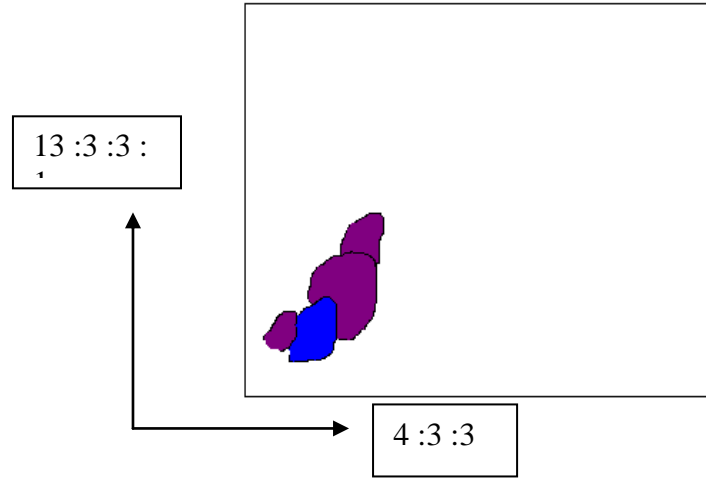
### 3- طرق الفصل والتنقية :

قبل شروعا في عمليات الفصل قمنا بإجراء فحوصات تحليلية أولية لكل من مستخلص الأسيتات و البيوتانول وذلك بإستعمال الجماق الكروماتوغرافية التالية :

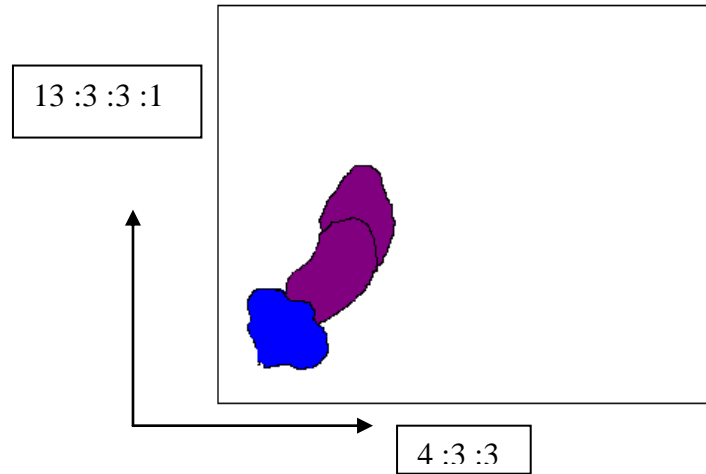
كروماتوغرافيا الطبقة الرقيقة من متعدد الأميد DC<sub>6</sub> ثنائي البعد :

البعد الأول : 4:3:3 - ميثانول : ميثيل إيثيل سيتون : طوليان.

البعد الثاني : 13:3:3:1 - أستيل أسيتون : ميثيل إيثيل سيتون : ميثانول : الماء.



كروماتوغرام (VI) ثنائي البعد لمستخلص الأسيتات لنبات *Ammoides atlantica*



كروماتوغرام (VII) ثنائي البعد لمستخلص البيوتانول لنبات *Ammoides atlantica*

نلاحظ تشابه كبير بين الكروماتوغرامين (VI) و(VII) مما يعني عدم الجدوى من دراسة مقارنة كما نلاحظ فقر النبتة للمركبات الفلافونيدية و على الرغم من ذلك قررنا دراسة هذه النبتة لأصالتها, ومن خلال الكروماتوغرام (V) نلاحظ أن هذا النظام مناسب لفصل أكبر قدر ممكن من مركبات النبتة, ولذلك عمدنا إلى إجراء عمود كروماتوغرافي لـ 3.5 غ من طور الأسيتات مستعينين بـ سليكا جال (60; 0.04-0.063 nm Merk) كدعامة و الهكسان العادي كملص و رفع القطبية بأسيئات الإثيل ليليها الميثانول .

وتم إستقبال الحزم النازلة في دوارق سعتها 100ملل ليتم جمع المتشابه منها بالاعتماد على كروماتوغرافيا الطبقة الرقيقة التحليلية (أوراق الألمنيوم 60F<sub>254</sub>Merk, gel de silice بسمك 0.2 ملم) والنتائج المحصل عليها مدونة في الجدول(3):

**الجدول (3) : الكسور المتحصل عليها من العمود الكروماتوغرافي**

رقم الكسر	الهكسان %	أسيئات الإثيل %	الملاحظة
<b>1-3</b>	100	0	لا شيء
<b>4-5</b>	95	5	<b>F<sub>1</sub></b> خليط لم يعالج
<b>6-10</b>	90	10	
<b>11-14</b>	85	15	<b>F<sub>2</sub></b> خليط لم يعالج
<b>15-17</b>	80	20	
<b>18-24</b>	80	20	<b>F<sub>3</sub></b> خليط لم يعالج
<b>24-27</b>	75	15	
<b>28-44</b>	75	15	<b>F<sub>4</sub></b> خليط لم يعالج
<b>45-59</b>	70	30	<b>F<sub>5</sub></b> خليط لم يعالج
<b>60-79</b>	65	35	<b>F<sub>6</sub></b> ظهور راسب أصفر نقي
<b>80-92</b>	60	40	
<b>93-97</b>	60	40	<b>F<sub>7</sub></b>

F <sub>7</sub> خليط ممكن الفصل	50	50	98-103
	50	50	104-108
F <sub>8</sub> خليط صعب الفصل	50	50	109-115
	60	40	116-123
F <sub>9</sub> خليط لم يعالج	60	40	124-141
	70	30	142-171
	80	20	172-174
F <sub>10</sub> ظهور مركب نقي	80	20	175-177
	90	10	178-209
F <sub>11</sub> خليط يظهر على شكل راسب	100	0	210-217
F <sub>12</sub> ظهور مركب نقي	100	0	218-250
	أسيتات الإثيل %	الميثانول %	رقم الكسر
	95	5	251-263
F <sub>13</sub> خليط بحري المركب السابق	90	10	264-269

خلال جمع هذه الكسور لاحظنا ظهور رواسب في البعض منها، ليتم غسلها بالميثانول البارد ثم يعاد بلورتها في الميثانول الساخن لنحصل على (32mg) من المركب AF<sub>10</sub> على شكل بلورات صفراء، نقية جدا، وعالي AF<sub>11</sub>(40mg) و AF<sub>6</sub> (10mg) في شكل مساحيق صفراء نقية . أما الراسب الذي يظهر في الكسر F<sub>12</sub> فتم غسله بالميثانول لنحصل على بلورات بيضاء ذوابة في الماء AF<sub>12</sub> (15mg).

إخترنا الكسر F<sub>7</sub> للدراسة لكميته المتوفرة، ولاحظنا أنه على مركب أعظمي AF<sub>7</sub> والمركب السابق AF<sub>6</sub>، فكان النظام المستعمل (5:5) n-hexane : ethyl acetate، لتتم تنقيته بعد ذلك بإستعمال عمود صغير من السيفاداكس (Sephadex LH20)، باستخدام الميثانول كمصلص . أما الكسور المتبقية فهي جد معقدة وتتواجد بكميات ضعيفة لا جدوى من دراستها .

## المرجع

- [1] Lennette , H.E., Balows, A., Hausler J.W., Shadomy H.J. (1985) . Manual of clinical microbiology. 4<sup>th</sup> ed. American Society for microbiology, Washington DC.

# الفصل الرابع

التعيين البنيوي للمركبات المفصولة

IV - أ- التعيين البنيوي للمركبات المفصولة من النبتة *Retama sphaerocarpa* :

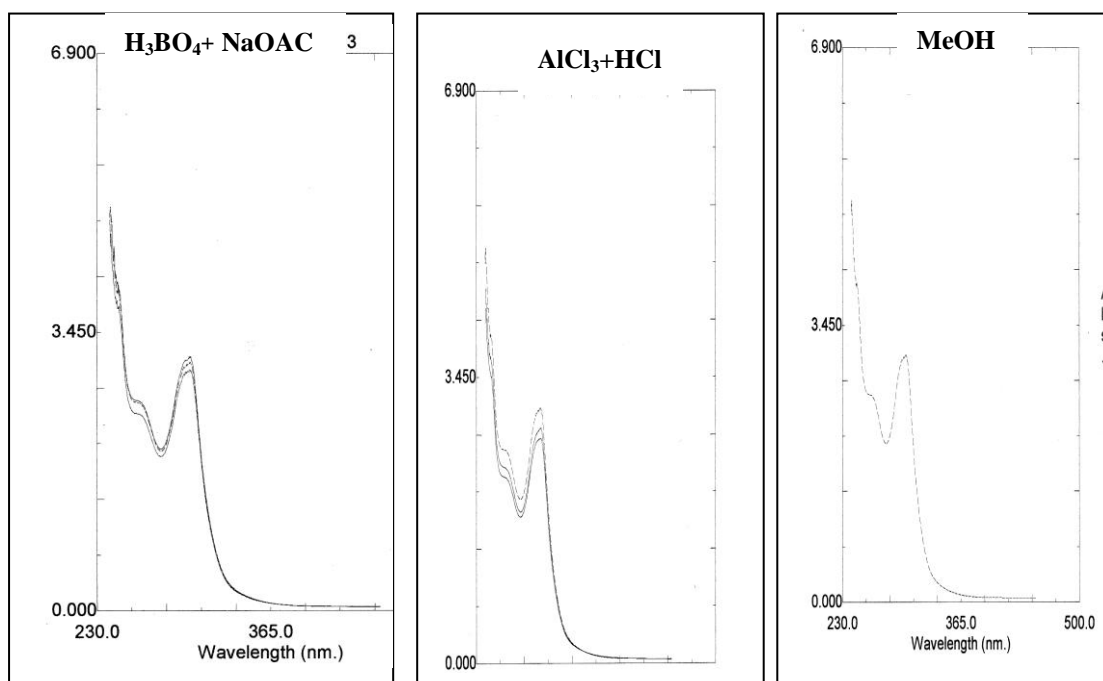
بالإضافة إلى المركبات الأربعة المكتشفة خلال رسالة الماجستير فقد تم التعرف على أربع أخرى، وذلك بالاستعانة بالسلوك الكروماتوغرافي وكذا المعطيات الطيفية (UV),  $NMR^1H$ ,  $NMR^{13}C$ , HSQC, HMBC, Ms, Cosy .

أ - 1 - التحليل البنيوي للمركب  $F_3$

- السلوك الكروماتوغرافي :

$S_1 = CH_3COOH$  (15%)  
 $S_2 = BAW$   
 $S_3 = 13 : 3 : 3 : 1$

$S_3$	$S_2$	$S_1$	الجملة
50	37	78	<b>Rfx100</b>
أصفر			اللون الاستشعاعي



الشكل (1) مطيافية الأشعة فوق البنفسجية والمرئية UV-Vis للمركب  $F_3$

طيف الأشعة فوق البنفسجية المسجل في الميثانول كما هو موضح في الشكل (1) يكشف على كون المركب  $F_3$  عبارة عن إيزوفلافون .  
غياب الإزاحة الباتوكرومية للحزمة II :

عند مقارنة طيف NaOAc بطيف MeOH دليل على غياب OH في الموقع 7.  
وعند مقارنة طيف NaOAc+H<sub>3</sub>BO<sub>4</sub> بطيف MeOH دليل على غياب أورثو ثنائي هيدروكسيل على الحلقة A .

عند مقارنة طيف AlCl<sub>3</sub>+HCl بطيف MeOH دليل على غياب OH في الموقع 5

أما مطيافية الرنين النووي المغناطيسي للبروتون حسب الشكل (2) فتظهر:

إشارة أحادية عند  $\delta = 8,25$  ppm موافقة لـ H<sub>2</sub> و المميزة للإيزوفلافون.

وإشارة ثنائية (J = 8,9 Hz) عند  $\delta = 8,00$  ppm موافقة لـ H<sub>5</sub>.

وإشارة ثنائية (J = 2,3 Hz) عند  $\delta = 7,25$  ppm موافقة لـ H<sub>8</sub>.

إشارة ثنائي ثنائي (J = 8,9-2,3 Hz) عند  $\delta = 7,15$  ppm موافقة لـ H<sub>6</sub>.

إشارة أحادية عند  $\delta = 6,87$  ppm موافقة لـ H<sub>5'</sub>.

إشارة أحادية عند  $\delta = 6,82$  ppm موافقة لـ H<sub>2'</sub>.

إشارة أحادية عند  $\delta = 6,00$  ppm موافقة لـ OCH<sub>2</sub>O.

إشارة أحادية عند  $\delta = 3,7$  ppm موافقة لـ OCH<sub>3</sub> .

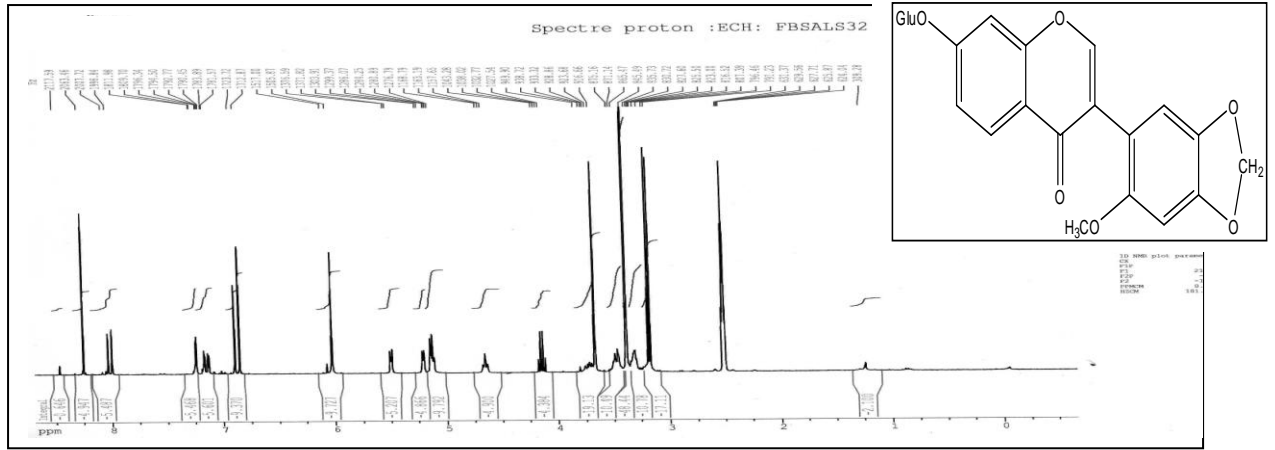
وإشارة ثنائية (J = 7,5Hz) عند  $\delta = 5,12$  ppm موافقة للبروتون الأنوميري H<sub>1''</sub> للجليكوزالذي تم التعرف عليه من خلال الإماهة الحمضية لهذا المركب و المطابقة الكروماتوغرافية للسكر المتحرر مع الشواهد المعروفة حسب الشكل (19)

أما مطيافية الكتلة ES<sup>+</sup> قأعطت قيمة عظمى عند 497 ممثلة لـ [M+Na]<sup>+</sup> بنسبة 100% توافق الصيغة

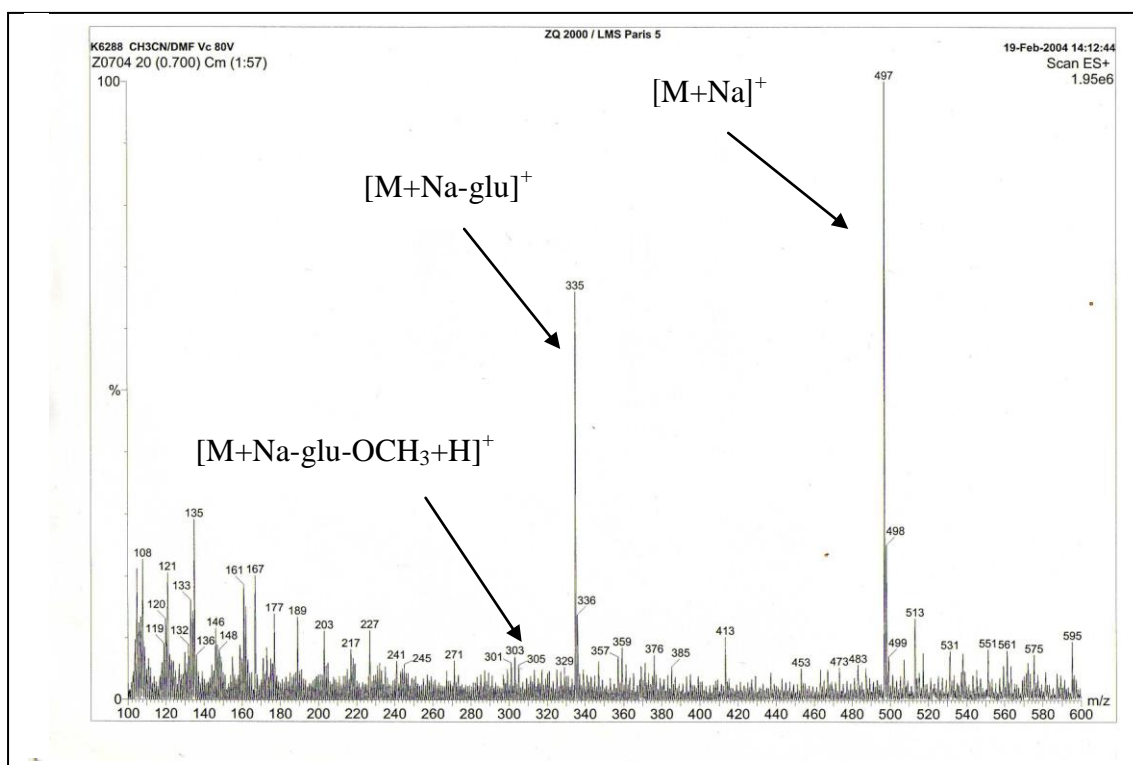
المحملة C<sub>23</sub>H<sub>22</sub>O<sub>11</sub>، و قيمة عند 335 موافقة لـ [M+Na-glu]<sup>+</sup> و قيمة عند 305 موافقة لـ

[M+Na-glu-OCH<sub>3</sub>+H]<sup>+</sup> وهي قيمة مميزة للإيزوفلافونات الحاملة لمجموعة OCH<sub>3</sub> في الموقع 6'

على الحلقة B [1] كما هو موضح في الشكل (5)

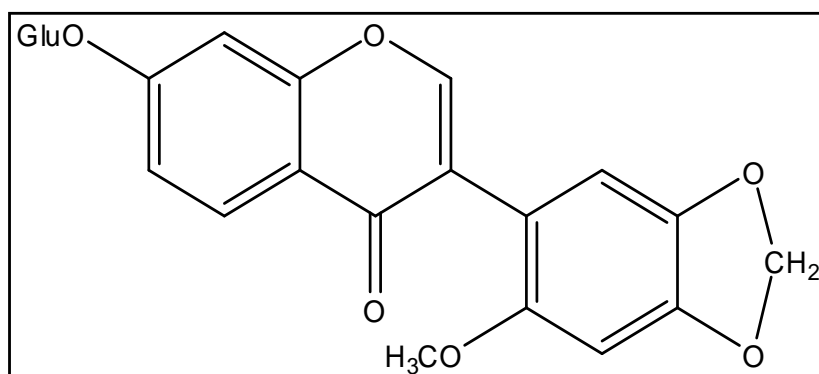




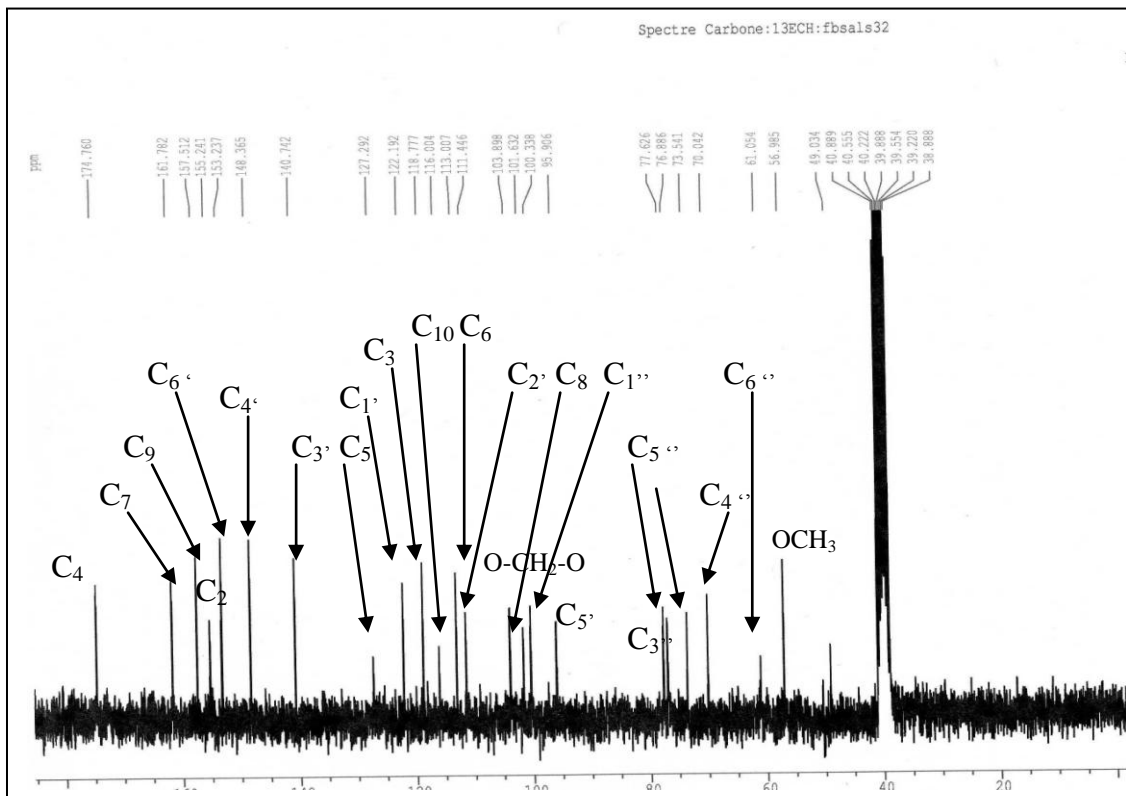


الشكل (4) طيف الكتلة (ES<sup>+</sup>) للمركب F<sub>3</sub>

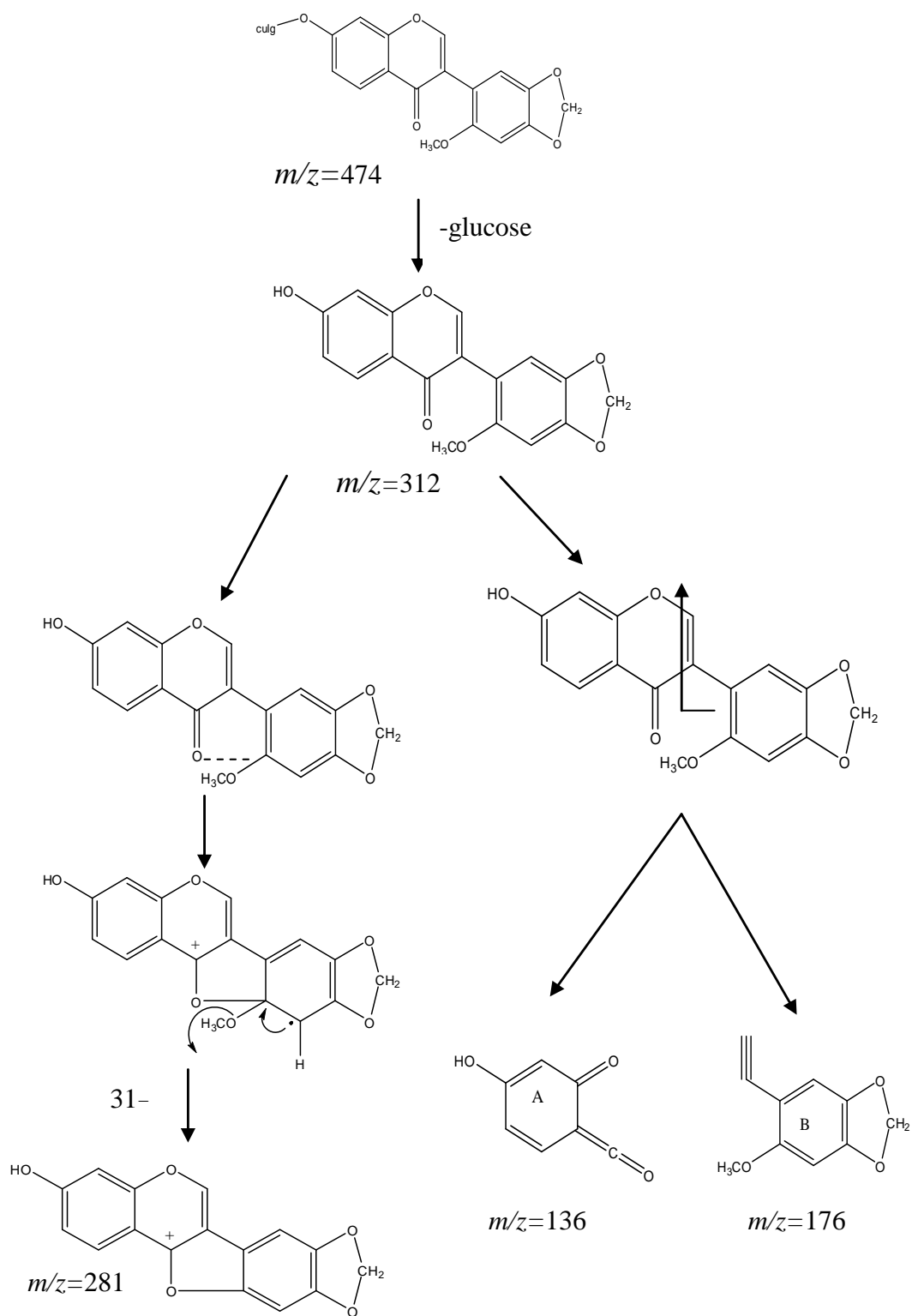
وجاءت نتائج مطيافية الرنين النووي المغناطيسي للكربون <sup>13</sup>C NMR كما هو موضح في الشكل (3) مؤكدة وموافقة للنتائج السابقة، ومطابقة للنتائج البليوغرافية [2]. و عليه يمكن إقتراح صيغة المركب F<sub>3</sub> كالتالي:



6'-methoxypseudobaptigenin 7-O-β-glucoside : 7-hydroxy-6'-methoxy-3',4'-methylenedioxyisoflavone 7-O-β-glucoside.



الشكل (3) مطيافية الرنين النووي المغناطيسي للكربون في (DMSO-d<sub>6</sub> 250MHz) للمركب F<sub>3</sub>



الشكل (5): آلية تنشيط المركب  $F_3$  حسب طيف  $(SM ES^+)$

الجدول (1) نتائج مطيافية الأشعة فوق البنفسجية والمرئية UV-Vis

الحزمة II	الحزمة I	المفاعلات
270	302	MeOH
270	302	NaOAc
270	302	H <sub>3</sub> BO <sub>4</sub>
270	302	AlCl <sub>3</sub>
270	302	AlCl <sub>3</sub> +HCl

جدول (2) - نتائج مطيافية الرنين النووي المغناطيسي للبروتون للمركب F<sub>3</sub>

الهيدروجين الموافق	التعددية	التكامل	δ(ppm)
H <sub>2</sub>	S	1H	8,25
H <sub>5</sub>	d(J=8,9)	1H	8
H <sub>8</sub>	d(J=2,3)	1H	7,25
H <sub>6</sub>	dd(J=8,9-2,3)	1H	7,15
H <sub>5</sub> '	S	1H	6,87
H <sub>2</sub> '	S	1H	6,82
O-CH <sub>2</sub> -O	S	2H	6,00
O-CH <sub>3</sub>	S	1H	3.7
H <sub>1</sub> ''	d(J=7,5)	1H	5,12

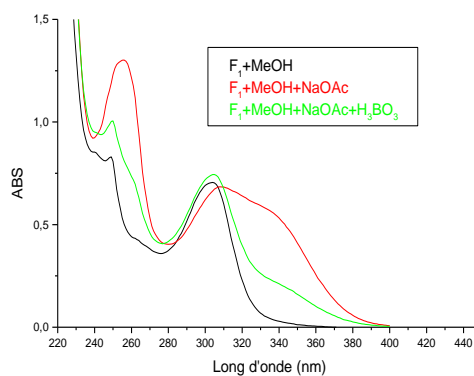
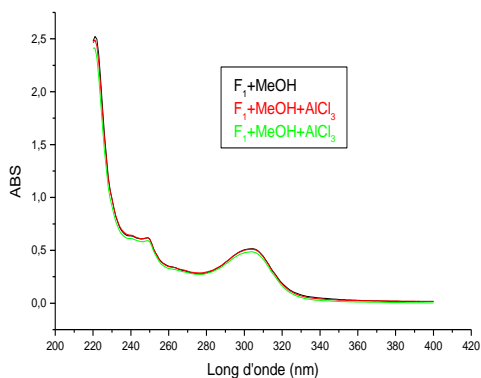
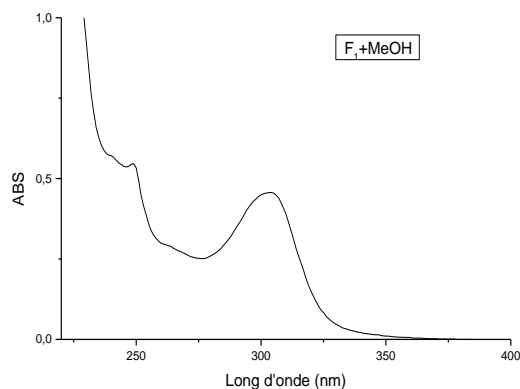
جدول (3) - نتائج مطيافية الرنين النووي المغناطيسي للكربون (في DMSO-d<sub>6</sub>) للمركب F<sub>3</sub>

الكربون الموافق	δ(ppm)	الكربون الموافق	δ(ppm)
C <sub>2</sub>	155.24	C <sub>4</sub> '	148.36
C <sub>3</sub>	118.77	C <sub>5</sub> '	95.91
C <sub>4</sub>	174.76	C <sub>6</sub> '	153.24
C <sub>5</sub>	127.29	C <sub>1</sub> ''	100.34
C <sub>6</sub>	113.00	C <sub>2</sub> ''	73.54
C <sub>7</sub>	161.78	C <sub>3</sub> ''	77.63
C <sub>8</sub>	103.89	C <sub>4</sub> ''	70.04
C <sub>9</sub>	157.51	C <sub>5</sub> ''	76.88
C <sub>10</sub>	116.00	C <sub>6</sub> ''	61.05
C <sub>1</sub> '	122.19	O-CH <sub>2</sub> -O	101.63
C <sub>2</sub> '	111.45	O-CH <sub>3</sub>	56.98
C <sub>3</sub> '	140.74		

## أ - 2 - التحليل البنيوي للمركب F<sub>1</sub>

S<sub>2</sub> = BAW  
S<sub>3</sub> = 13 : 3 : 3 : 1  
S<sub>4</sub> = 4:3:3

S <sub>4</sub>	S <sub>3</sub>	S <sub>2</sub>	الجملة
86	10	90	<b>Rfx100</b>
أصفر			اللون الاستشعاعي

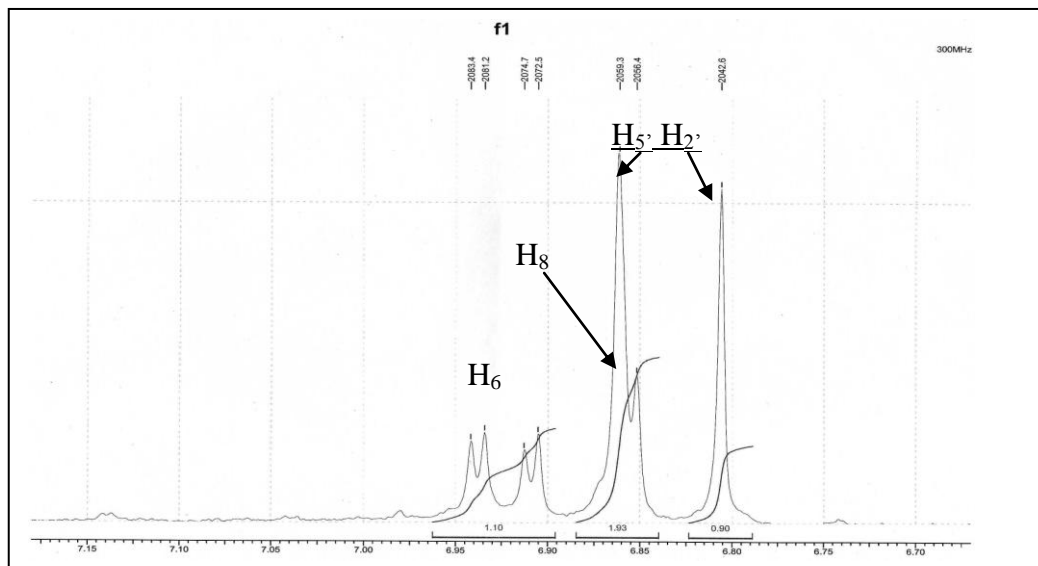
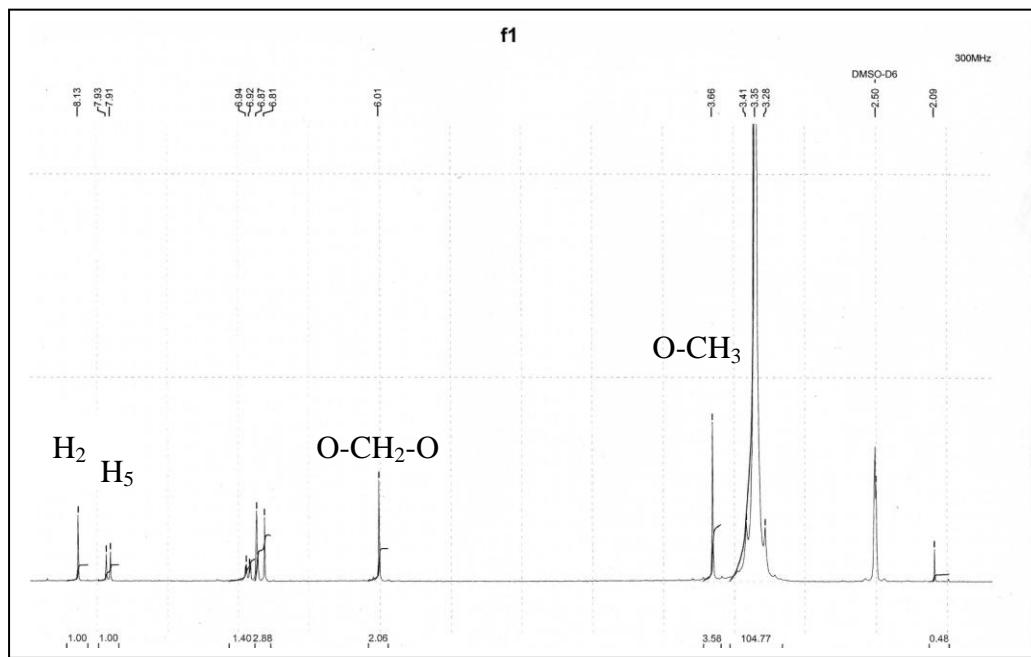


### الشكل (6) مطيافية الأشعة فوق البنفسجية والمرئية UV-Vis للمركب F<sub>1</sub>

طيف الأشعة فوق البنفسجية المسجل في الميثانول يكشف على كون المركب F<sub>3</sub> عبارة عن إيزوفلافون .

الإزاحة الباتوكرومية للحزمة II عند مقارنة طيف NaOAc بطيف MeOH دليل على وجود OH في الموقع 7.

غياب الإزاحة الباتوكرومية للحزمة II عند مقارنة طيف NaOAc+H<sub>3</sub>BO<sub>4</sub> بطيف MeOH دليل على غياب أورثو ثنائي هيدروكسيل على الحلقة A . كما نستدل على غياب OH في الموقع 5 بغياب الإزاحة الباتوكرومية للحزمة II عند مقارنة طيف AlCl<sub>3</sub>+HCl بطيف MeOH .



الشكل (7) مطيافية الرنين النووي المغناطيسي للبروتون للمركب F<sub>1</sub> (300MHz,DMSO-d<sub>6</sub>)

تبين لنا مطيافية الرنين النووي المغناطيسي للبروتون كما هو موضح في الشكل (7) أن المركب F<sub>1</sub> عبارة عن إيزوفلافون والمميز بالإشارة الأحادية عند 8.13 ppm الموافقة لـ H<sub>2</sub>. و نلاحظ تطابق تقريبي لكل الإشارات مع المركب السابق F<sub>3</sub> مع غياب الإشارات الخاصة بالسكر إذ تظهر:

إشارة ثنائية (J = 8,70 Hz) عند  $\delta = 7.9$  ppm موافقة لـ H<sub>5</sub>.

إشارة ثنائي ثنائي (J = 8,70-2,2 Hz) عند  $\delta = 6.9$  ppm موافقة لـ H<sub>6</sub>.

وإشارة ثنائية (J = 2.2Hz) عند  $\delta = 6.87$  ppm موافقة لـ H<sub>8</sub>

إشارة أحادية عند  $\delta = 6.87$  ppm موافقة لـ H<sub>5'</sub>.

إشارة أحادية عند  $\delta = 6.81$  ppm موافقة لـ H<sub>2'</sub>.

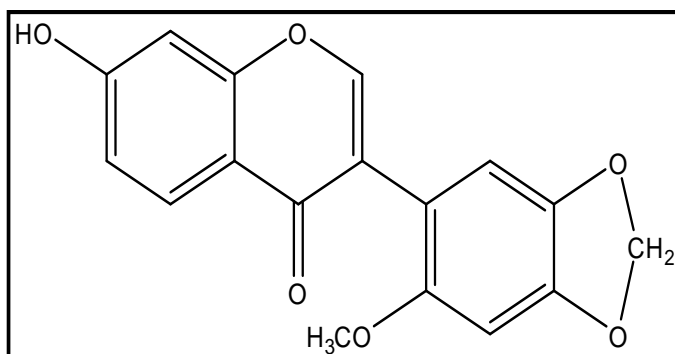
إشارة أحادية ثنائية التكامل عند  $\delta = 6.01$  ppm موافقة لـ OCH<sub>2</sub>O.

إشارة أحادية ثلاثية التكامل عند  $\delta = 3.66$  ppm موافقة لـ OCH<sub>3</sub>.

وبالتالي يمكن القول أن المركب F<sub>1</sub> عبارة عن أجليكون للمركب F<sub>3</sub> فنخلص إلى كون

هذا المركب عبارة عن: 7hydroxy-6'-methoxy-3',4'-methylenedioxy isoflavone.

والذي تم إكتشافه لأول مرة في النبتة *Tephrosia maxima* [1].



7hydroxy-6'-methoxy-3',4'-methylenedioxy isoflavone.

الجدول (1) نتائج مطيافية الأشعة فوق البنفسجية والمرئية UV-Vis

الحزمة II		الحزمة I	المفاعلات
249		303	MeOH
255	308	336	NaOAc
249		305	H <sub>3</sub> BO <sub>4</sub>
249		303	AlCl <sub>3</sub>
249		303	AlCl <sub>3</sub> +HCl

جدول (4) - نتائج مطيافية الرنين النووي المغناطيسي للبروتون للمركب F<sub>1</sub>

الهيدروجين الموافق	التعددية	التكامل	δ(ppm)
H <sub>2</sub>	S	1H	8,13
H <sub>5</sub>	d(J=8,7)	1H	7.90
H <sub>6</sub>	dd(J=8,7-2,2)	1H	6.90
H <sub>8</sub>	d(J=2.2)	1H	6.87
H <sub>5</sub> '	S	1H	6,87
H <sub>2</sub> '	S	1H	6,81
O-CH <sub>2</sub> -O	S	2H	6,01
O-CH <sub>3</sub>	S	3H	3.66



أ - 3 - التحليل البنيوي للمركب F<sub>9</sub> :

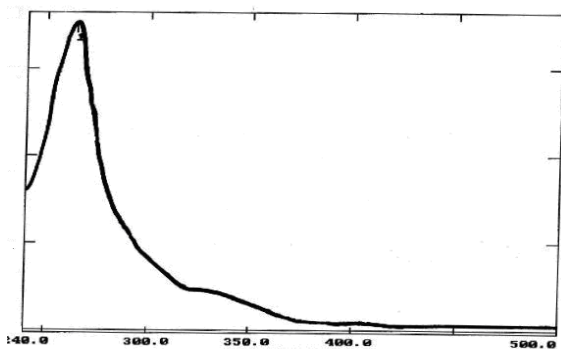
- السلوك الكروماتوغرافي :

S <sub>4</sub>	S <sub>3</sub>	S <sub>1</sub>	الجملة
30	32	68	Rfx100
بنفسجي			اللون الاستشعاعي

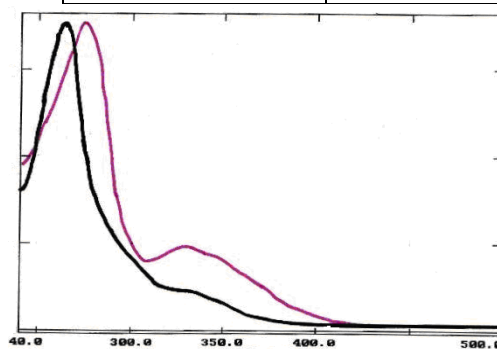
$$S_1 = \text{CH}_3\text{COOH} (15\%)$$

$$S_3 = 13 : 3 : 3 : 1$$

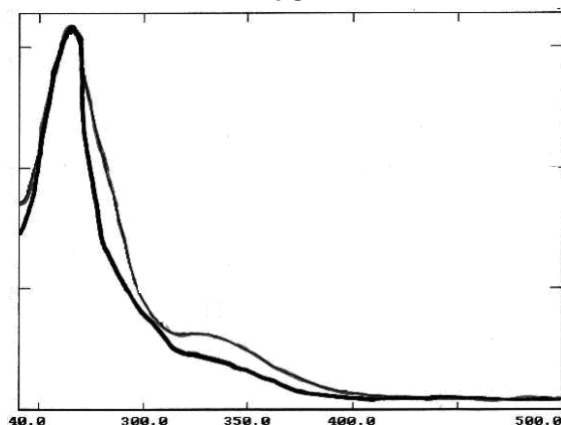
$$S_4 = 4:3:3$$



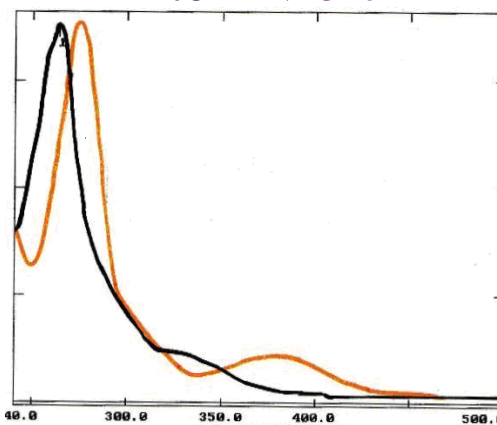
MeOH



MeOH + NAOAc



MeOH + (NAOAc + H<sub>3</sub>BO<sub>3</sub>)



MeOH + (AlCl<sub>3</sub> + HCl)

الشكل (7) مطيافية الأشعة فوق البنفسجية والمرئية UV-Vis للمركب F<sub>9</sub>

طيف الأشعة فوق البنفسجية المسجل في الميثانول يكشف على كون المركب F<sub>9</sub> عبارة عن إيزوفلافون، ويدل سلوكه الكروماتوغرافي في الأنظمة القطبية على كونه إتيروزي أحادي السكر الإزاحة الباتوكرومية للحزمة II ب :

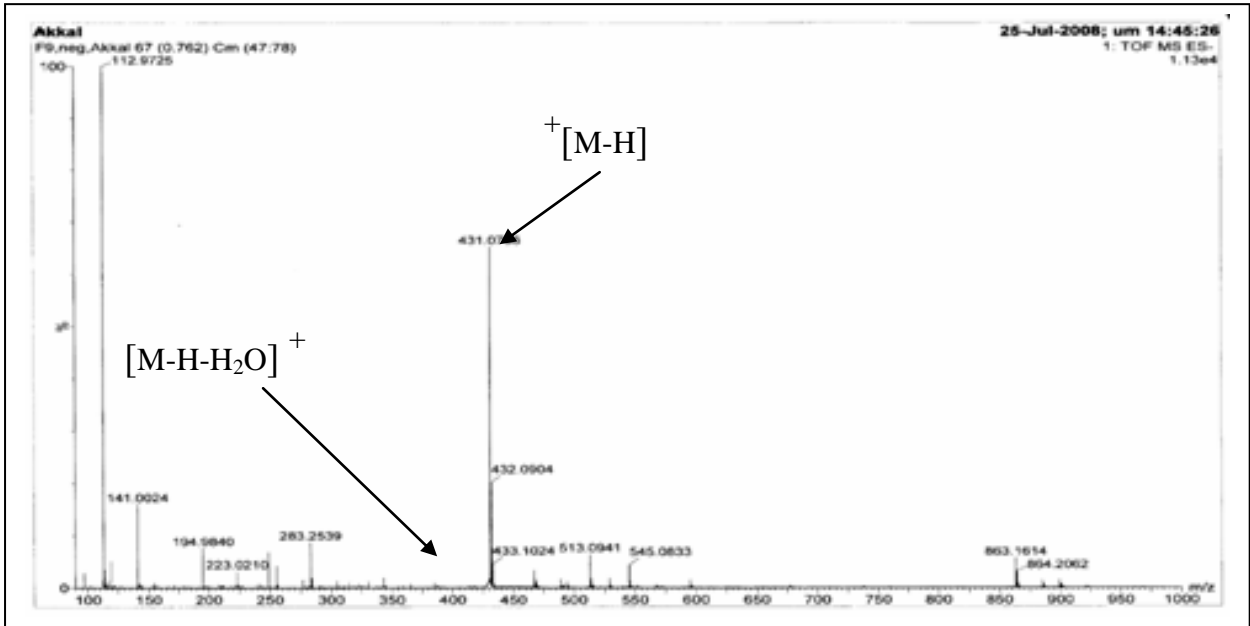
Δλ<sub>2</sub>=11nm عند مقارنة طيف MeOH بطيف NaOAc دليل على وجود OH في الموقع 7.

Δλ<sub>2</sub>=13nm عند مقارنة طيف MeOH بطيف AlCl<sub>3</sub>+HCl إشارة لوجود OH في الموقع 5.

والذي تؤكد الإشارة الأحادية عند 13.2 ppm بإعادة تسجيل طيف <sup>1</sup>H RMN في DMSO.

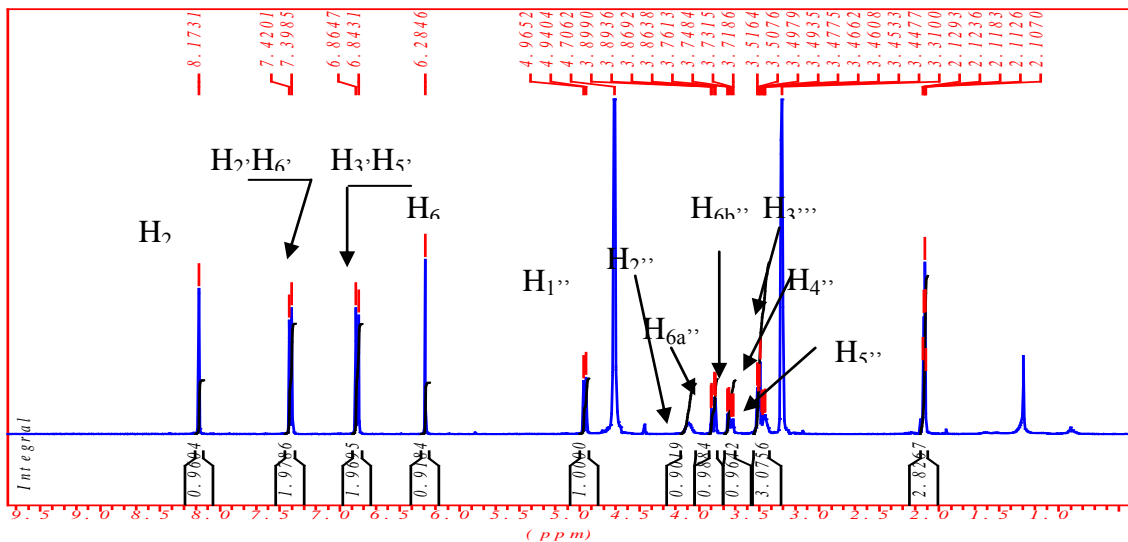
غياب أرثو ثنائي الهيدروكسيل على الحلقة A تترجمه الإزاحة الباتوكرومية الضعيفة Δλ<sub>2</sub>=2nm

عند مقارنة طيف MeOH بطيف NaOAc + H<sub>3</sub>BO<sub>3</sub>.



الشكل (8) طيف الكتلة (ES<sup>-</sup>) للمركب F<sub>9</sub>

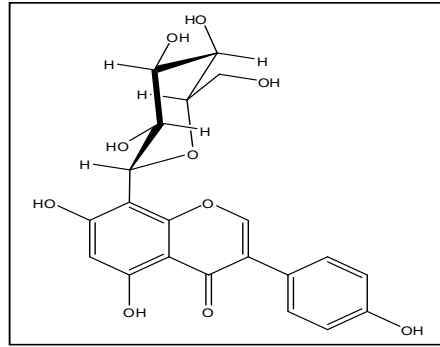
أعطت مطيافية الكتلة قيمة للأيون الجزيئي عند  $m/z = 432$  موافقة للصيغة الجحلمة  $C_{21}H_{20}O_{10}$  وكذا القيمة  $m/z = 431$  الموافقة لـ  $[M-H]^+$  و بالتالي يتأكد وجود السكر ولك ن عدم تأثر المركب بالإماهة الحمضية يؤكد الإرتباط C-glycose. أما الظهور الضعيف للإشارة  $m/z = 413$  الموافقة لفقدان الماء  $[M-H-H_2O]^+$  يعزز إحتمال إرتباطه بـ C-8 [3].



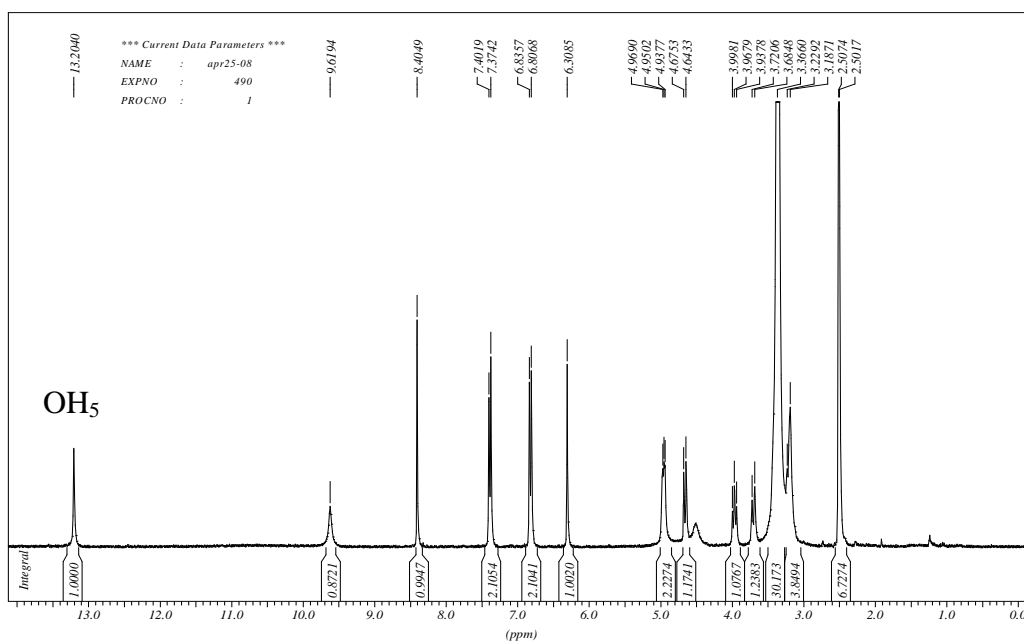
الشكل (9) : مطيافية الرنين النووي المغناطيسي للبروتون للمركب F<sub>9</sub> في (DC<sub>3</sub>OD, 400MHz).

فمطيافية الرنين النووي المغناطيسي للبروتون تظهر إشارة أحادية عند 8.17 ppm وإشارة ثنائية عند 4.95ppm بثابت تزاوج  $J=9.9Hz$  موافقة لـ  $H_2$  ,  $H_1$  على التوالي مميزة لإيزوفلافون مستبدل  $\beta$ -C-glucoside ، من خلال HMBC كلا البروتونين يظهران تعالقا مع  $C_9$  عند 157ppm كما يظهر  $H_1$  تعالق ب  $C_7$  عند 164ppm وكذا بـ  $C_8$  عند 105ppm وبالتالي يتأكد إستبدال الإيزوفلافون في الموقع 8 بـ C-glucose ، في حين يتعالق البروتون  $H_6$  الذي يظهر على شكل أحادي عند 6.28ppم بـ  $C_{10}$  عند 105.9ppm وبـ  $C_5$  عند 163ppm وكذا بـ  $C_7$  . وفيما يخص الحلقة C، فيظهر البروتون  $H_2$  تعالقا بـ  $C_4$  عند 181.6ppm وبـ  $C_3$  عند 121ppm وبـ  $C_1$  عند 122ppm .

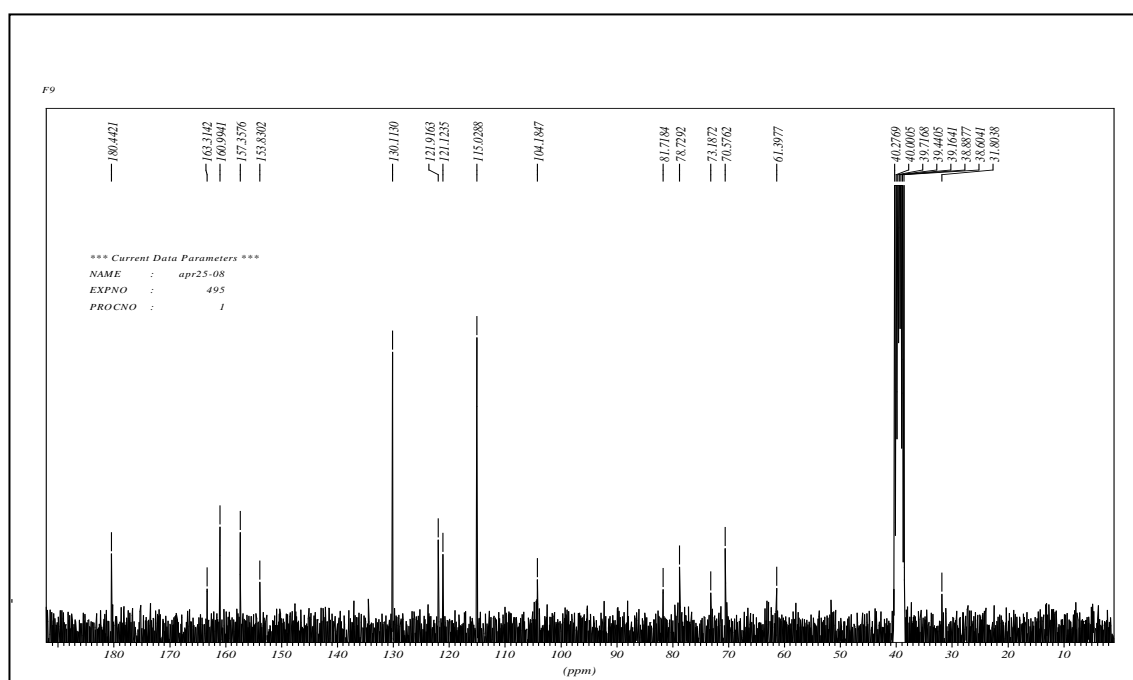
أما الحلقة B فيظهر البروتونين  $H_2, H_6$  تعلقا بالكربونين الحاملين لهما عند 130.5ppm كما يظهران تعالقا بـ  $C_1$  وبـ  $C_4$  عند 158 ppm كما يتعالق البروتونين  $H_3, H_5$  بالكربونين الحاملين لهما عند 115.5ppm وبـ  $C_4$  وكذا  $C_1$  . وبالتالي تقود معطيات  $^{13}C$  RMN ,  $^1H$  RMN جدول وتعالقات (Cosy H-H), (HMBC, HMQC) في الجدولين (6,7) على التوالي إلى إستنتاج البنية النهائية للمركب  $F_9$  على أنها :



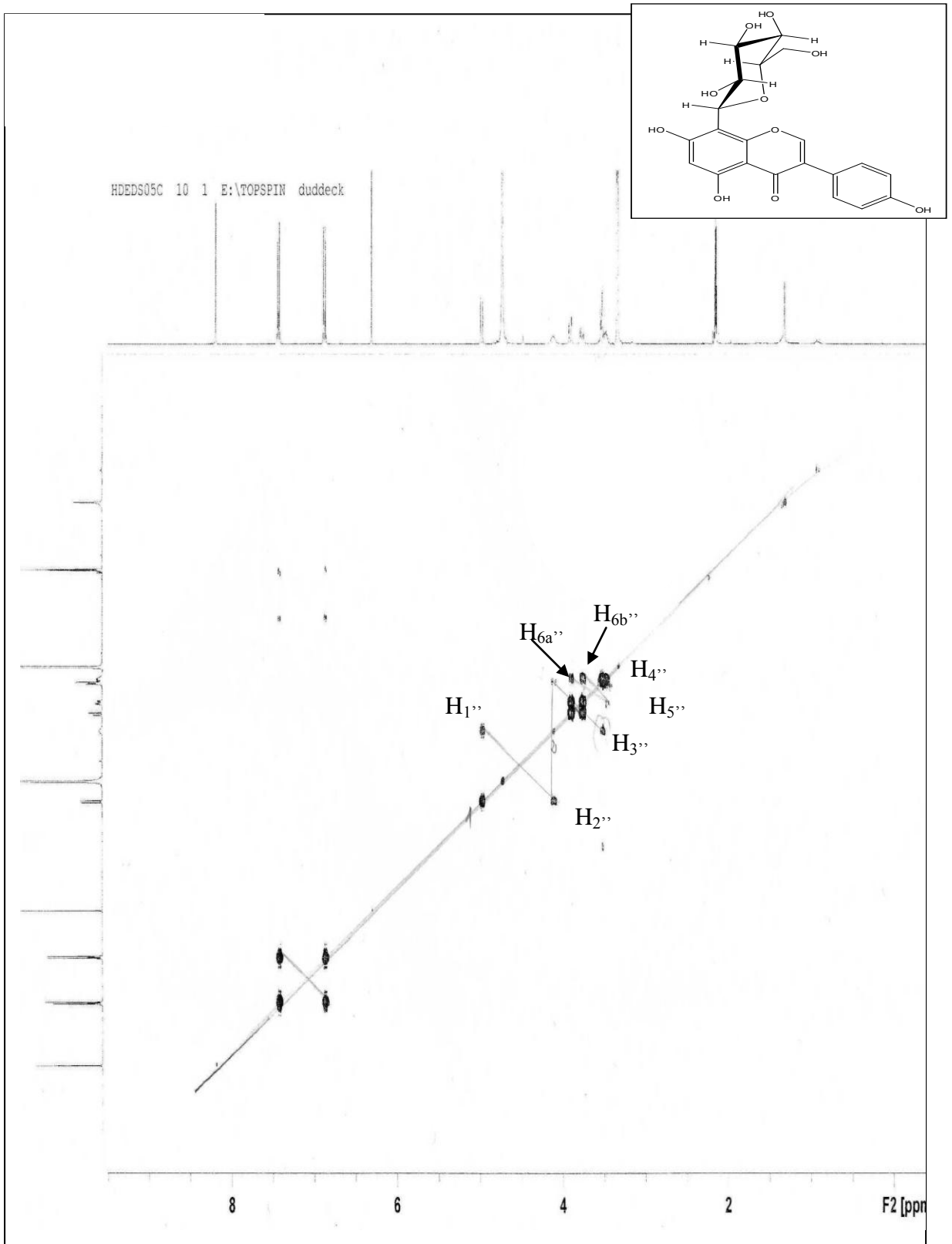
**5,7,4'-Tri hydroxy isoflavone-8-C-glucoside**



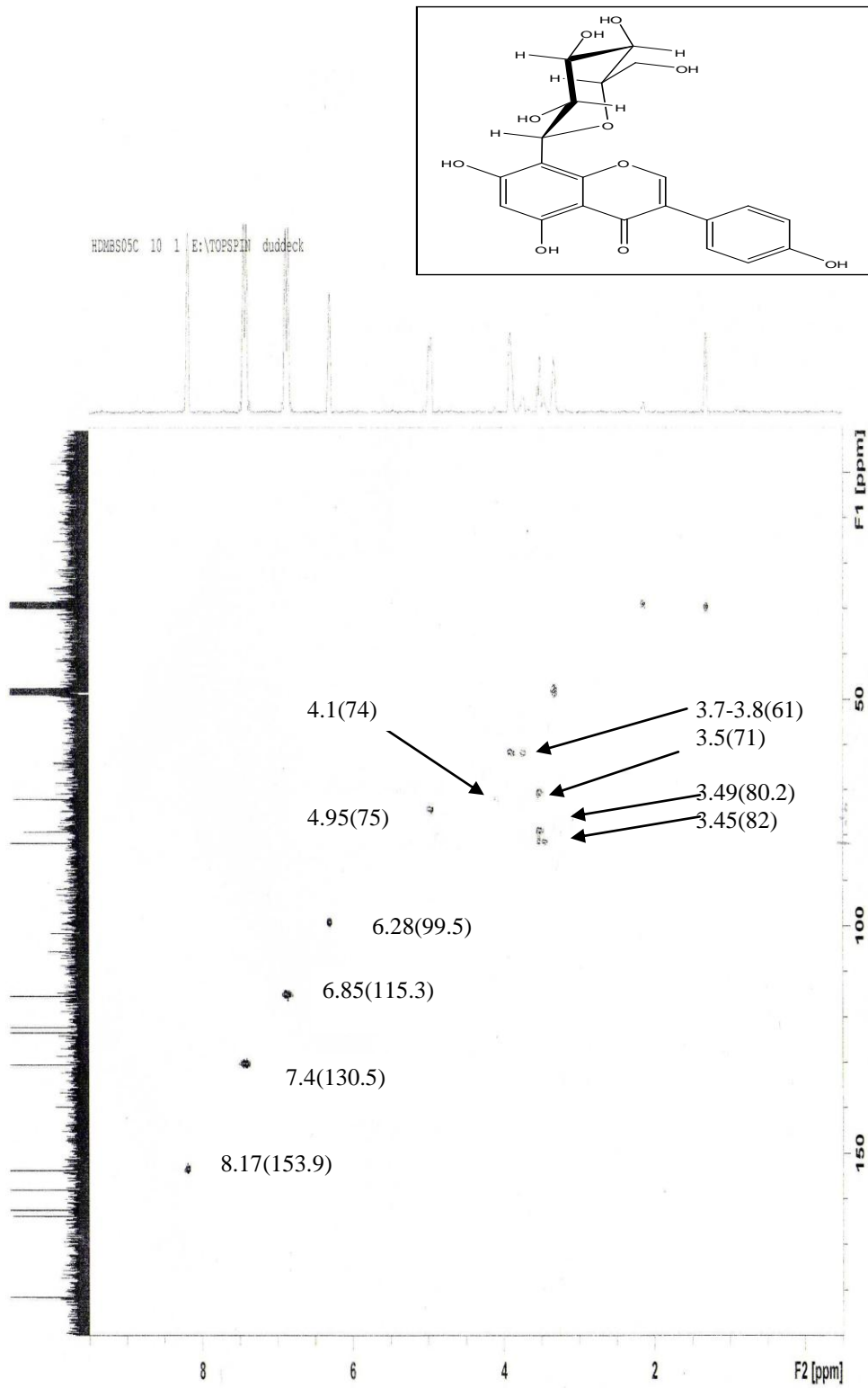
الشكل (10) : مطيافية الرنين النووي المغناطيسي للبروتون للمركب F<sub>9</sub> في (DMSO).



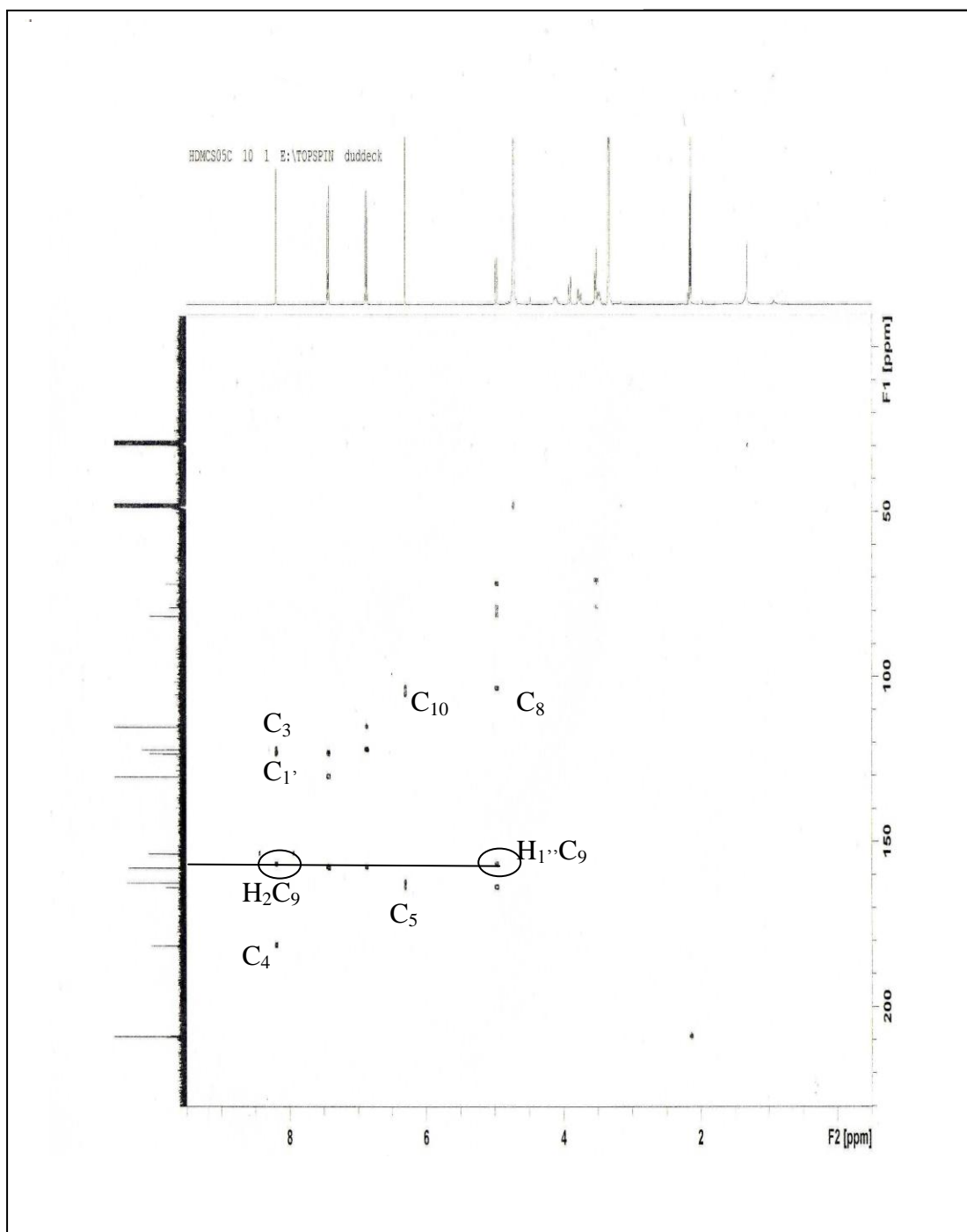
الشكل (11) : مطيافية الرنين النووي المغناطيسي للكربون للمركب F<sub>9</sub> في (300MHz,DMSO)



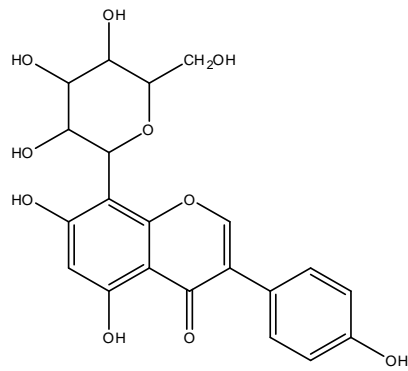
الشكل (12) طيف (cosy) للمركب F<sub>9</sub>



الشكل (14) طيف ( HMQC ) للمركب F<sub>9</sub>

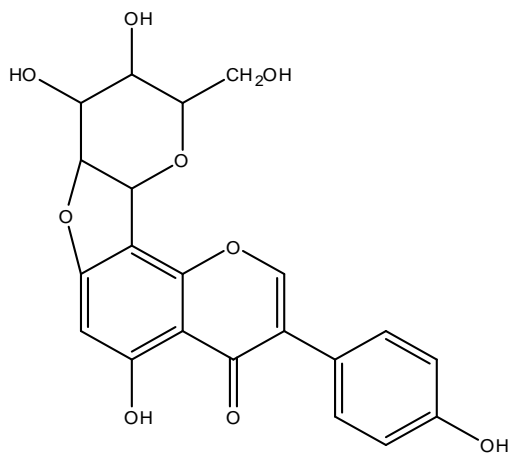


الشكل (15) طيف (HMBC) للمركب  $F_9$

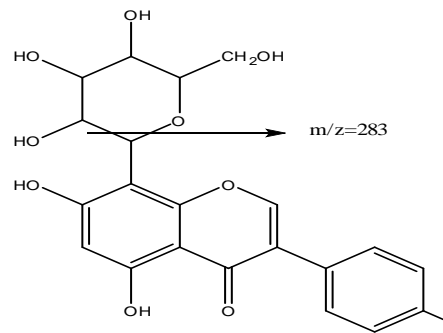


$m/z=432$

$-H_2O$



$m/z=413$



$m/z=283$

الشكل (16) أهم شظايا المركب F<sub>9</sub>



الجدول (5) نتائج مطيافية الأشعة فوق البنفسجية والمرئية UV-Vis:

الحزمة II	الرتوء	الحزمة I	المفاعلات
262	331		MeOH
272.8	311,378.6		AlCl <sub>3</sub>
275	311,378.8		AlCl <sub>3</sub> +HCl
273	333		NaOAc
264	332.8		NaOAc+H <sub>3</sub> BO <sub>3</sub>

الجدول (6) تفاعلات Cosy H-H (CD<sub>3</sub>OD 400 MHz) للمركب F<sub>9</sub>

proton	δ(ppm)	Signal J(Hz)	Cosy
2	8.17	s	2
2',6'	7.41	d(8.6)	2',6',3',5'
3',5'	6.85	d(8.6)	2',6',3',5'
6	6.28	s	6
1''	4.95	d(9.9)	1'',2''
2''	4.1	m	1'',2'',3''
3''	3.50	m	2'',3'',4''
4''	3.49	m	3'',4'',5''
5''	3.45	m	4'',5'',6''a
6''a	3.88	dd(11.9,2.2)	5'', 6''a,6''b
6''b	3.74	dd(11.9,5.16)	5'', 6''a,6''b

الجدول (7) تفاعلات HMQC, HMBC (CD<sub>3</sub>OD 400 MHz) للمركب F<sub>9</sub> مع الإزاحة الكيميائية الموافقة لكل كربون δ(ppm)

proton	HMBC	HMQC
2	C <sub>3</sub> (122), C <sub>4</sub> (181.6), C <sub>9</sub> (-)	C <sub>2</sub> (153.9)
2',6'	C <sub>1'</sub> (121), C <sub>4'</sub> (158),	C <sub>2'</sub> , C <sub>6'</sub> (130.5)
3',5'	C <sub>4'</sub> , C <sub>1'</sub>	C <sub>3'</sub> , C <sub>5'</sub> (115.3)
6	C <sub>5</sub> (163), C <sub>7</sub> (164), C <sub>8</sub> (105), C <sub>10</sub> (105.9)	C <sub>6</sub> (99.5)
1''	C <sub>8</sub> , C <sub>7</sub> , C <sub>9</sub> , C <sub>2''</sub> , C <sub>3''</sub>	C <sub>1''</sub> (75)
2''	-	C <sub>2''</sub> (74)
3''	C <sub>1''</sub> , C <sub>5''</sub>	C <sub>3''</sub> (71)
4''	C <sub>1''</sub> , C <sub>5''</sub>	C <sub>4''</sub> (80.2)
5''	-	C <sub>5''</sub> (82)
6''		C <sub>6''</sub> (61)

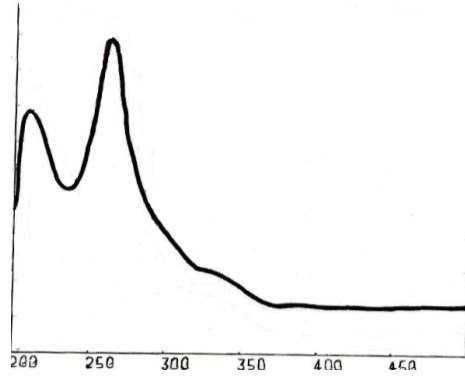
أ- 4 - التحليل البنيوي للمركب  $F_{10}G$  :

السلوك الكروماتوغرافي :

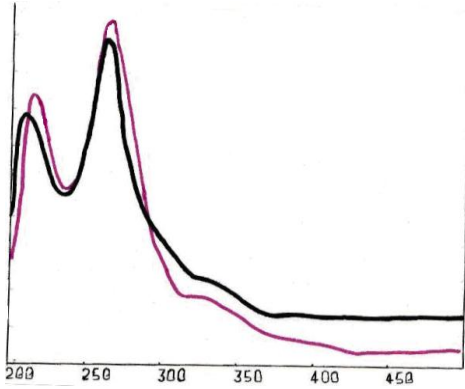
$S_1 = CH_3COOH$  (15%)  
 $S_2 = BAW$   
 $S_3 = 13 : 3 : 3 : 1$

$S_3$	$S_2$	$S_1$	الجملة
64	54	68	<b>Rf</b>
			اللون الاستشعاعي

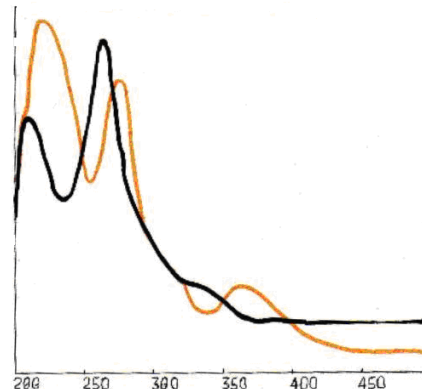
تدل قيمة Rf في الأنظمة القطبية أن المركب  $F_{10}G$  أكثر قطبية من  $F_9$  وهذا يعني احتمال وجود سكر إضافي .



MeOH



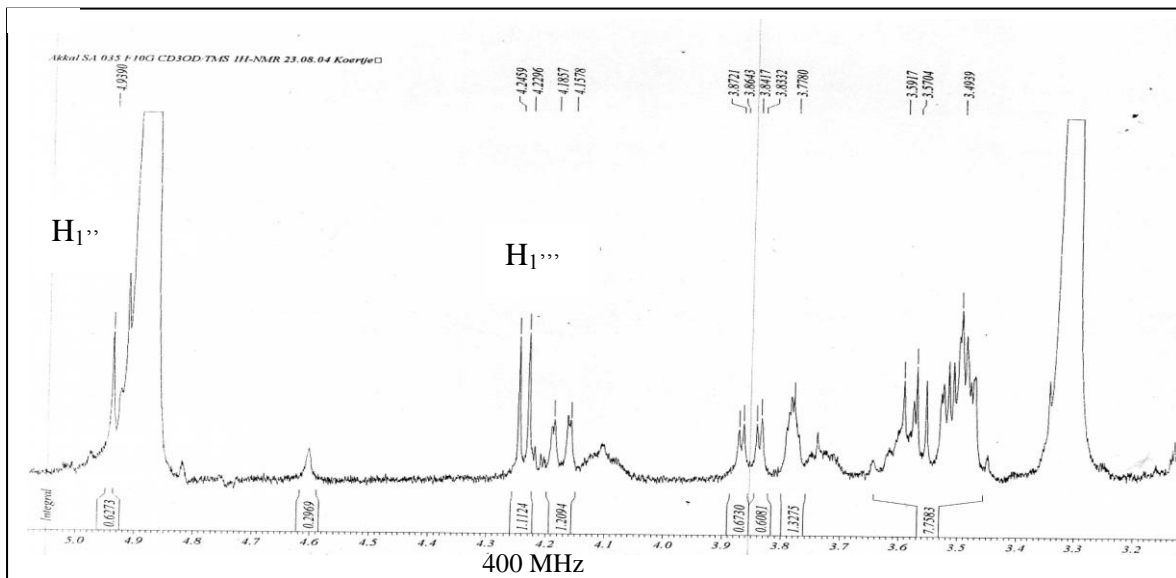
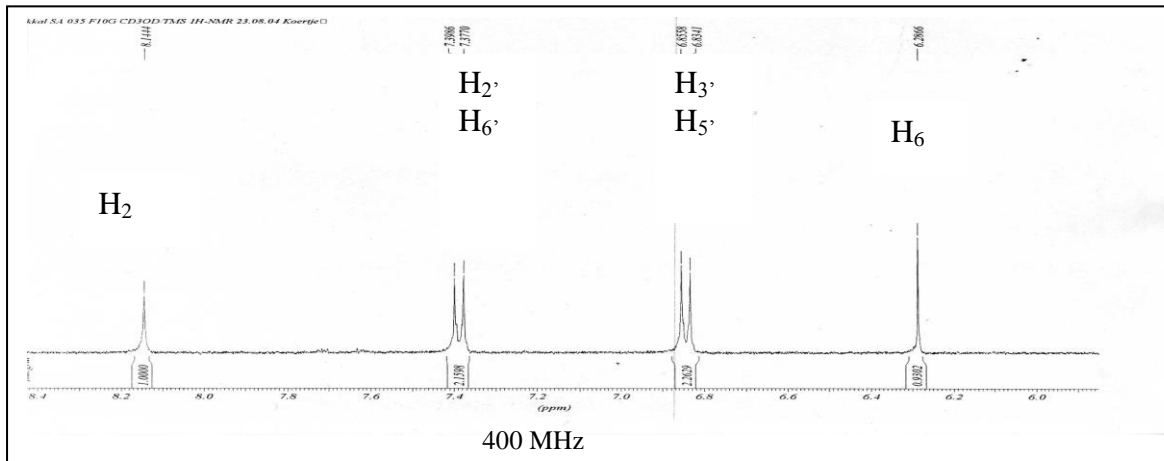
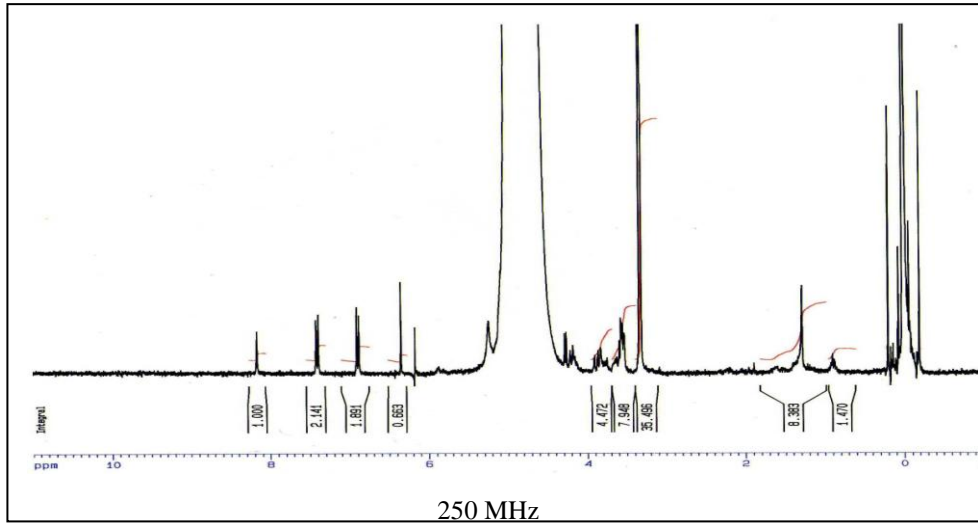
MeOH + NaOAc



MeOH + (AlCl<sub>3</sub> + HCl)

الشكل (16) مطيافية الأشعة فوق البنفسجية والمرئية UV-Vis للمركب  $F_9$

من خلال طيف الأشعة فوق البنفسجية المسجل في الميثانول يتبين كون المركب  $F_{10}G$  عبارة عن إيزوفلافون . غياب الإزاحة الباتوكرومية للحزمة II عند مقارنة طيف NaOAc بطيف MeOH دليل على غياب OH في الموقع 7 ونستدل على وجود OH في الموقع 5 بالإزاحة الباتوكرومية للحزمة II عند مقارنة طيف  $AlCl_3 + HCl$  بطيف MeOH .  $\Delta\lambda_2 = 11nm$



الشكل (17) : مطيافية الرنين النووي المغناطيسي للبروتون للمركب F<sub>10</sub>G

عند مقارنة طيف  $^1\text{H}$  NMR للمركب  $\text{F}_{10}\text{G}$  بـ  $\text{F}_9$  نلاحظ تطابق كل الإشارات. مع وجود أخرى إضافية في المجال  $[4.3-3.5\text{ppm}]$  هذا إن دل على شيء إنما يدل على وجود سكر ثاني، يكون قد حددت مطيافة الأشعة فوق البنفسجية موضعه، بغياب OH في الموقع 7. وللتعرف

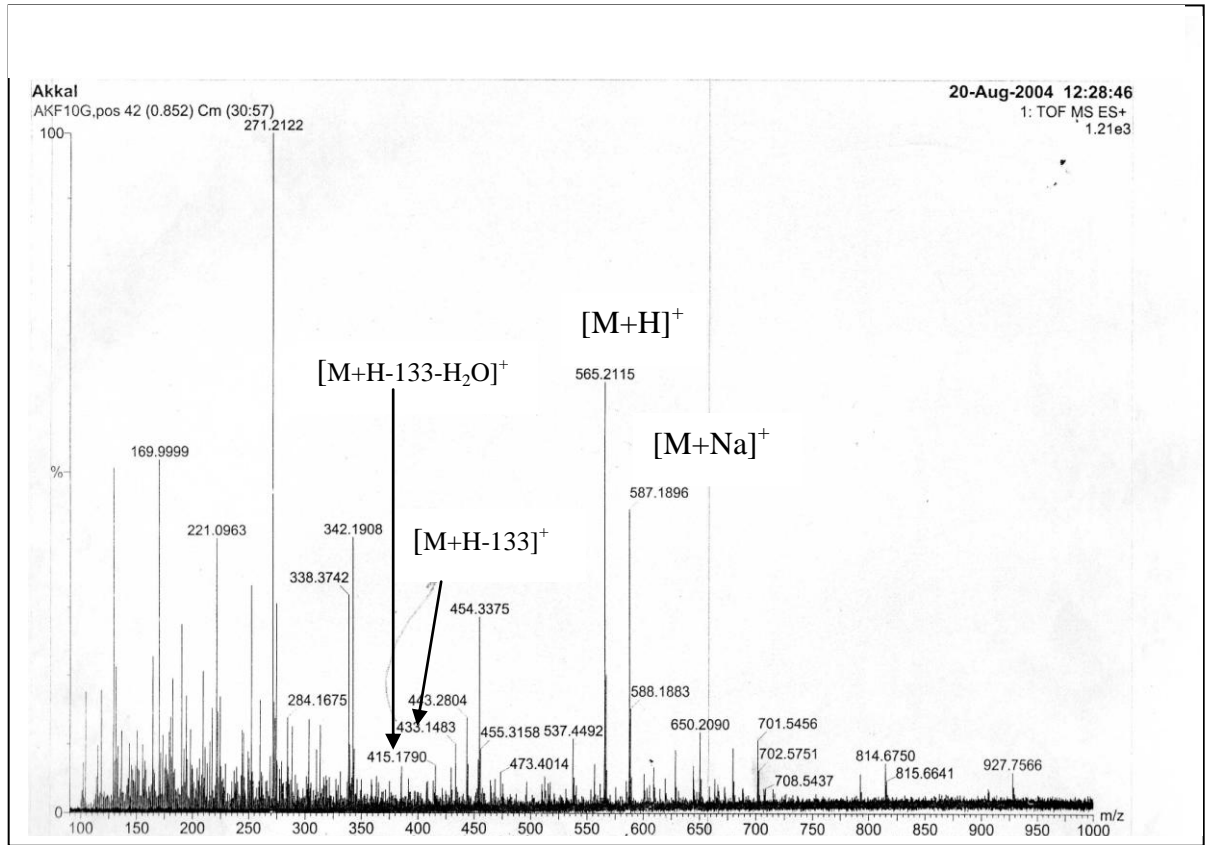
على طبيعته لجأنا إلى الإماهة الحمضية التي حررتة بسهولة بحكم ارتباطه بـ C-O R. وبمقارنته كروماتوغرافيا بالسكريات المعروفة يتأكد كونه Xylose. أما الشق العضوي الناتج عن

هذا المركب بعد الإماهة الحمضية، فيتطابق كروماتوغرافيا مع المركب  $\text{F}_9$ .

جاءت مطيافية الكتلة  $\text{ES}^+$  (MS) لتؤكد النتائج السابقة، إذ تعطي القيمة  $m/z=587$  موافقة لـ

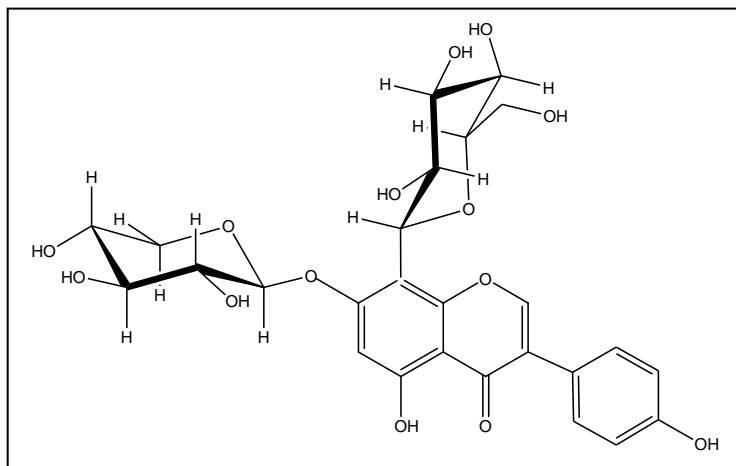
$[\text{M}+\text{Na}]^+$  و  $m/z=565$  موافقة لـ  $[\text{M}+\text{H}]^+$  والتي تؤكد الصيغة الجحلمة  $\text{C}_{26}\text{H}_{28}\text{O}_{14}$ ، أما

الشضية  $m/z=433$  فتؤكد نوعية السكر فهي موافقة لـ  $[\text{M}-133(\text{Xylose})+\text{H}]^+$



الشكل (18) طيف الكتلة ( $\text{ES}^+$ ) للمركب  $\text{F}_{10}\text{G}$

ومن خلال ما توصلنا إليه من نتائج و مقارنتها مع البيلوغرافيا [4] يمكن التعرف على بنية المركب F<sub>10</sub>G على أنه:



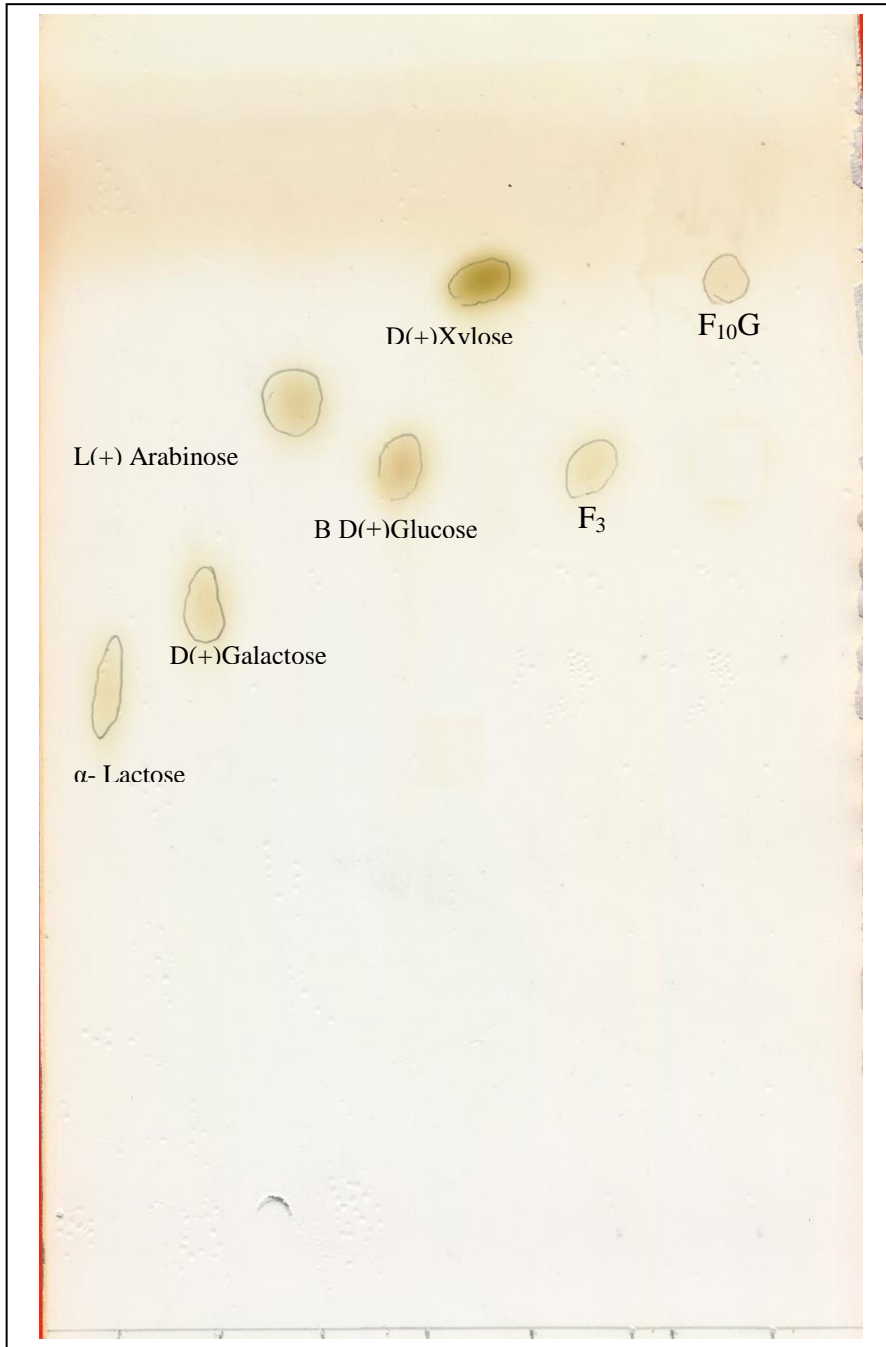
**genistein 7-O-xylosyl 8-C-glucoside**

الجدول (8) نتائج مطيافية الأشعة فوق البنفسجية والمرئية UV-Vis:

الحزمة II	النتوء	الحزمة I	المفاعلات
263	324		MeOH
273	307		AlCl <sub>3</sub>
274	364,307		AlCl <sub>3</sub> +HCl
263	327		NaOAc

جدول (9) نتائج مطيافية الرنين النووي المغناطيسي للبروتون للمركب F<sub>10</sub>G:

المواقع الهيدروجين الموافق	التعددية Hz	التكامل	δ(ppm)
H <sub>2</sub>	S	1H	8,2
H <sub>2</sub> , H <sub>6</sub> '	d(J=8,6)	2H	7.40
H <sub>3</sub> ' H <sub>5</sub> '	d (J=8,6)	2H	6.85
H <sub>6</sub>	S	1H	6.28
H <sub>1</sub> '(glucose)	d (J=9.9)	1H	4.9
H <sub>1</sub> '(Xylose)	d (J=6.6)	1H	4.2
بروتونات Xylose+glucose	-	11H	3.4-4.16



الشكل (19) : كروماتوغرام يبين السكريات الناتجة عن الإمهاء الحمضية مع بعض الشواهد المعروفة.

IV- ب - التعيين البنيوي للمركبات المفصولة من النبتة *Ammoides atlantica* :

إستطعنا خلال دراسة مستخلص الأسيتات لهذه النبة من فصل وتحديد أربع مركبات فلافونيدية، وهي مركبات أعظمية في الطور البيوتانولي ، لذا لم نجد جدوى من فصل مركباته. وهذا دليل على مدى فقر هذه النبتة لمثل هذا النوع من مركبات الأيض الثانوي .وقد إستعنا بالسلوك الكروماتوغرافي وكذا المعطيات الطيفية (UV) و  $NMR^1H$  و  $NMR^{13}C$  .Ms لتحديد بني هذه المركبات .

ب - 1 - التحليل البنيوي للمركب  $AF_6$  :

السلوك الكروماتوغرافي :

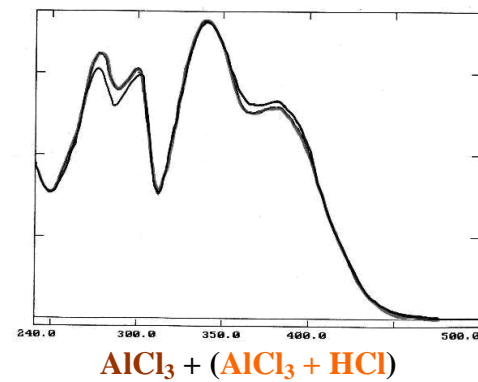
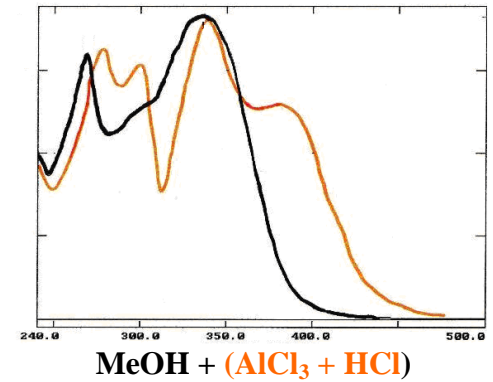
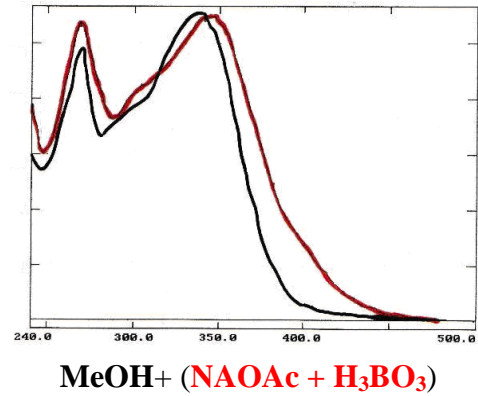
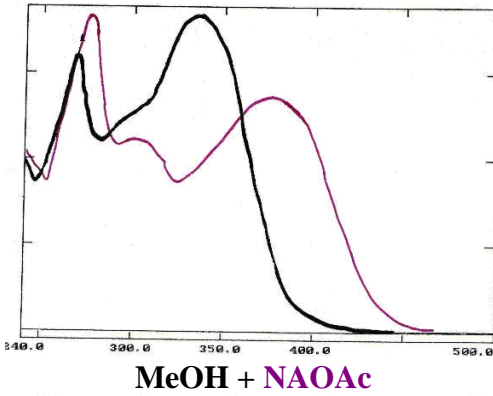
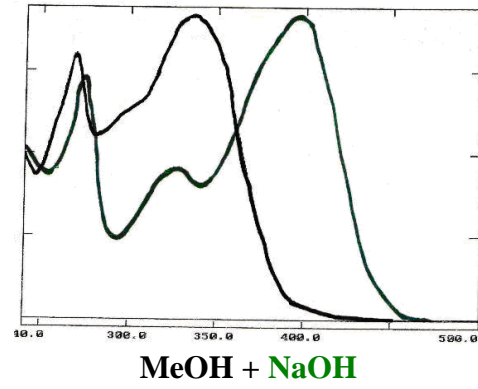
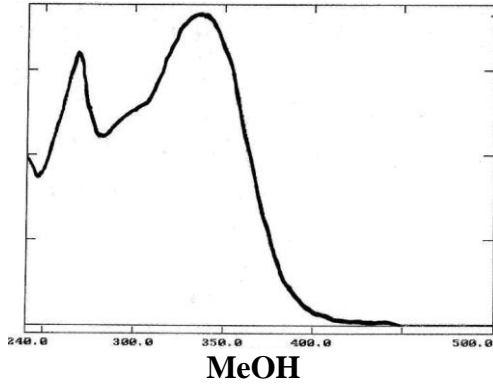
$$S_1 = CH_3COOH (15\%)$$

$$S_3 = 13 : 3 : 3 : 1$$

$$S_4 = 4:3:3$$

S <sub>4</sub>	S <sub>3</sub>	S <sub>1</sub>	الجملة
65.7	1.7	7.8	<b>Rfx100</b>
بنفسجي			اللون الاستشعاعي

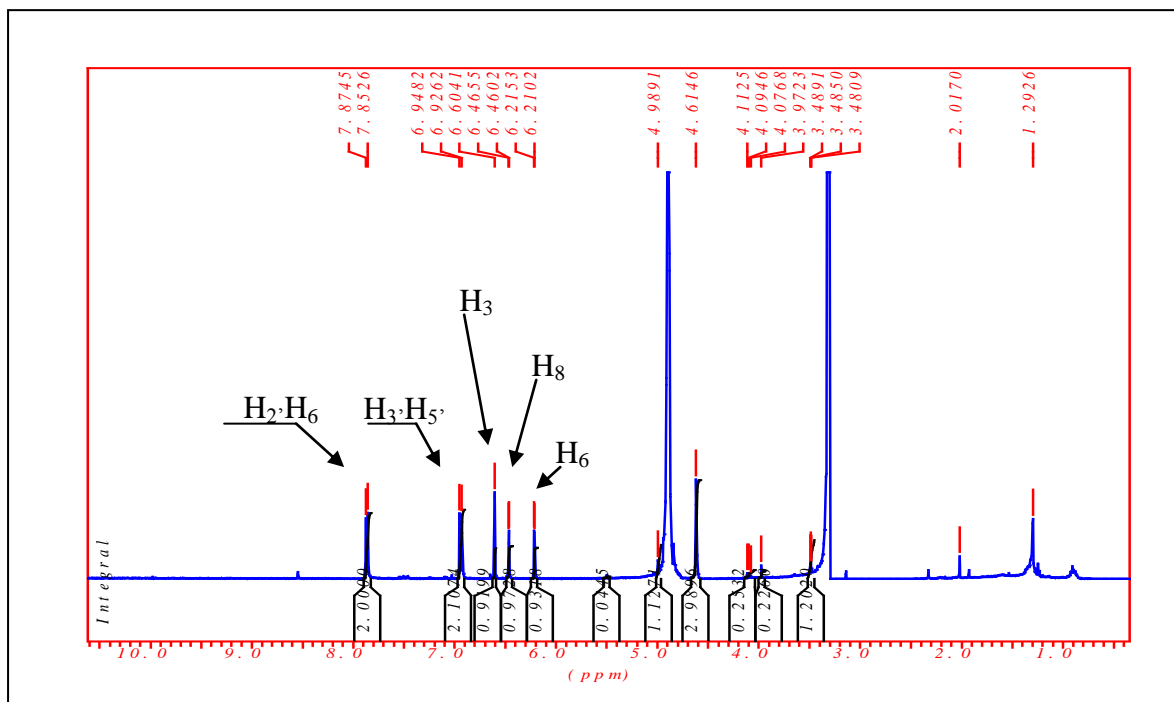
يدل طيف إمتصاص الأشعة فوق البنفسجية و المرئية المسجلة في الميثانول على كون هذا المركب عبارة عن فلافونويد. والسلوك الكروماتوغرافي يشير إلى كونه أحليكونا. أما اللون البنفسجي وطول العصابة  $\lambda_1=336nm$  تشير إلى كون المركب  $AF_6$  عبارة عن فلافون أي غياب OH في الموضع 3.



الشكل (21) مطيافية الأشعة فوق البنفسجية والمرئية UV-Vis للمركب AF<sub>6</sub>

الإزاحة الباتوكرومية للحزمة I  $\Delta\lambda_1 = 63\text{nm}$  الناتجة عن إضافة الكاشف NaOH مع إستقرار الشدة الضوئية دليل على وجود OH حر في الموضع 4، مع ظهور نتوء جديد عند 325nm يدل على وجود OH في الموضع 7 والذي يتأكد بالإزاحة الباتوكرومية للعصابة II بمقدار  $\Delta\lambda_{II} = 6\text{ nm}$ . غياب الإزاحة الهيسوكرومية للعصابة I عند مقارنة طيف الناتجة عن إضافة الكاشف NaOAc. أما الإزاحة الناتجة عن إضافة الكاشف NaOAc دليل على غياب أرثو ثنائي هيدروكسيل الحلقة B. أما الإزاحة الباتوكرومية للعصابة I  $\Delta\lambda_1 = 45\text{nm}$  الناتجة عن المقارنة الطيفية لـ AlCl<sub>3</sub>+HCl بـ MeOH دليل على وجود OH في الموضع 5 .





الشكل (22) : مطيافية الرنين النووي المغناطيسي للبروتون للمركب AF<sub>6</sub> في (DC<sub>3</sub>OD,400MHz).

وتأتي مطيافية الرنين النووي المغناطيسي للبروتون لتؤكد النتائج السابقة حيث تظهر :

إشارة ثنائية (J=8.8 Hz) عند  $\delta = 7.86$  ppm موافقة لـ H<sub>2</sub>·H<sub>6</sub>.

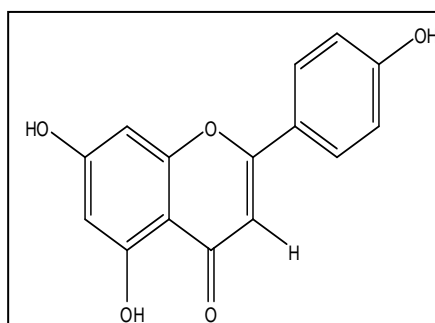
والأخرى بنفس ثابت التزاوج عند  $\delta = 6.93$  ppm موافقة لـ H<sub>3</sub>·H<sub>5'</sub>

وإشارة أحادية عند  $\delta = 6.60$  ppm موافقة لـ H<sub>3</sub>. وإشارتين ثنائيتين عند 6.46 ppm و 6.21 ppm

بثابت تزاوج (J=2.1 Hz) موافقتين لـ H<sub>6</sub> و H<sub>8</sub> على الترتيب .

كما نلاحظ إختفاء البروتونات الخاصة بالسكر وبالتالي يمكن الخلاص إلى الصيغة

التالية. 5,7,4'Trihydroxy flavone.



(Apigénine)

الجدول (11) نتائج مطيافية الأشعة فوق البنفسجية والمرئية (UV-Vis) للمركب AF<sub>6</sub>

الحزمة II			الحزمة I	المفاعلات
269			336	MeOH
275	325		399	NaOH
276	301	341	381	AlCl <sub>3</sub>
277	300	339	381	AlCl <sub>3</sub> +HCl
275	301		371	NaOAc
269			341	NaOAc+H <sub>3</sub> BO <sub>3</sub>

جدول (12) - نتائج مطيافية الرنين النووي المغناطيسي للبروتون للمركب AF<sub>6</sub> في (DC<sub>3</sub>OD).

الهيدروجين الموافق	التعددية Hz	التكامل	δ(ppm)
H <sub>2</sub> , H <sub>6</sub> '	d(J=8.8)	2H	7.86
H <sub>3</sub> , H <sub>5</sub> '	d(J=8.8)	2H	6.93
H <sub>3</sub>	S	1H	6.6
H <sub>8</sub>	d(J=2.1)	1H	6.46
H <sub>6</sub>	d(J=2.1)	1H	6.21

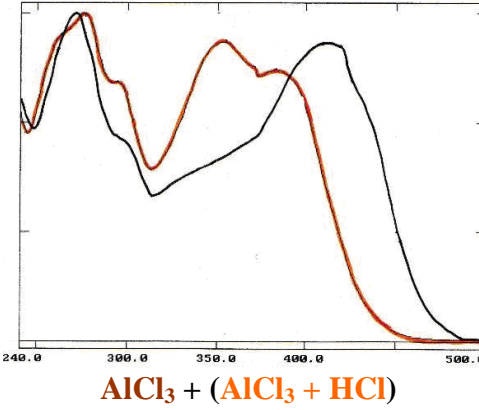
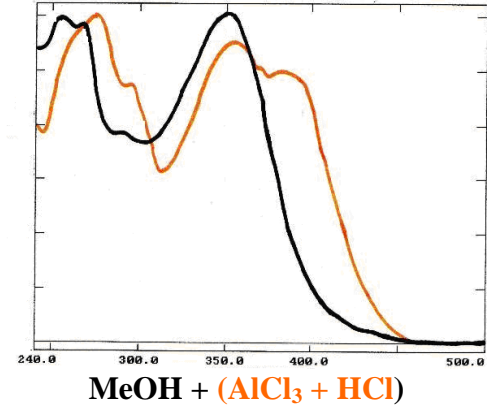
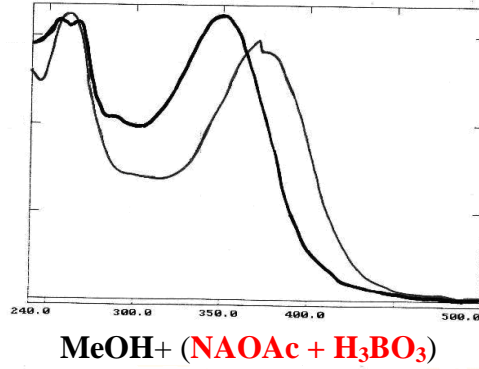
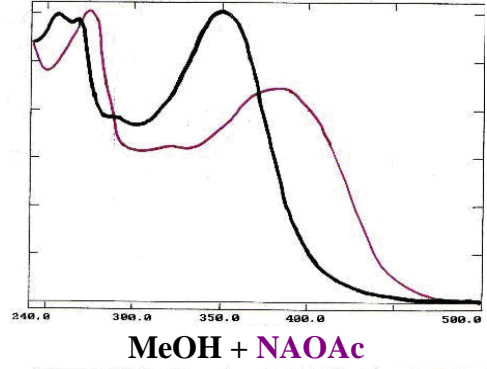
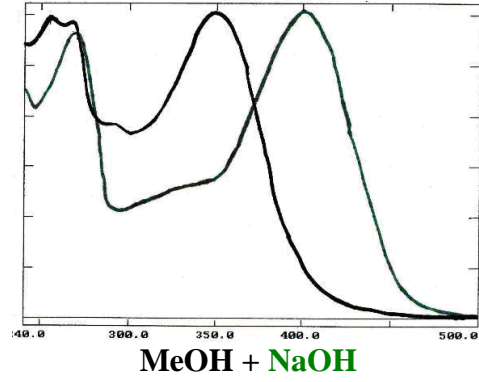
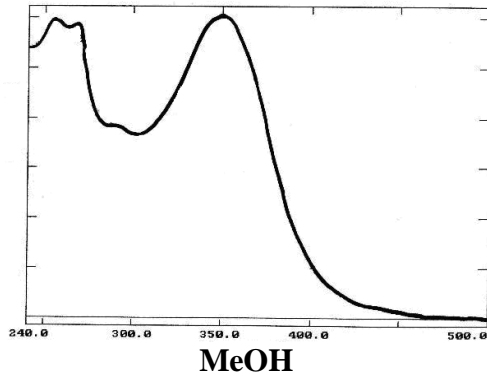
ب - 2 - التحليل البنيوي للمركب AF7 :

السلوك الكروماتوغرافي :

$S_1 = \text{CH}_3\text{COOH}$  (15%)  
 $S_3 = 13 : 3 : 3 : 1$   
 $S_4 = 4:3:3$

S <sub>4</sub>	S <sub>3</sub>	S <sub>1</sub>	الجملة
26.4	2.3	4.7	<b>Rf X100</b>
بنفسجي			اللون الاستشعاعي

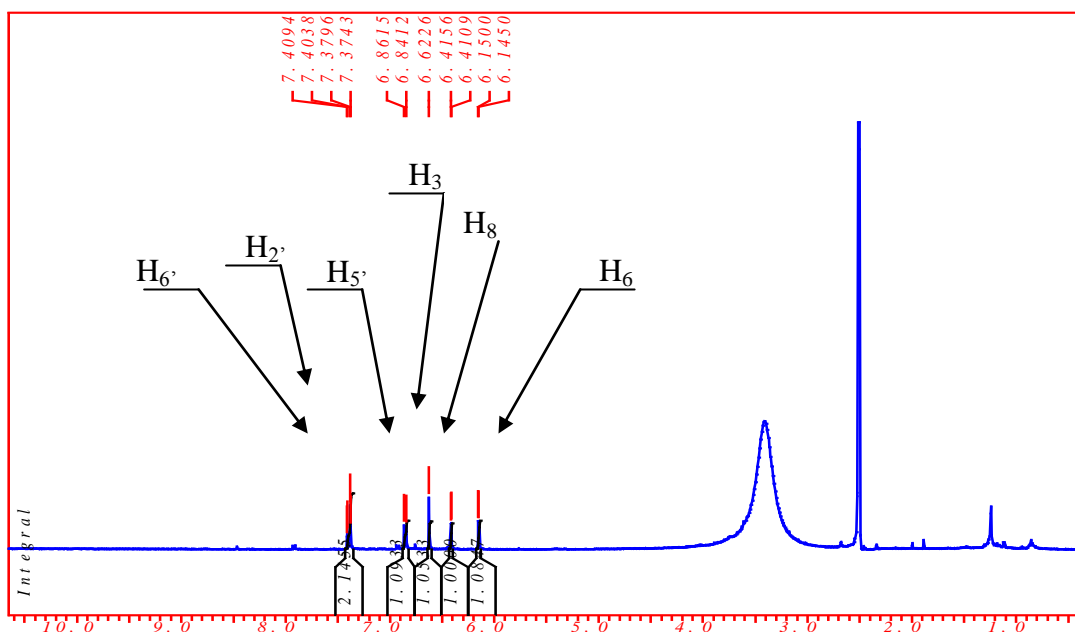
بالنظر إلى طيف إمتصاص الأشعة فوق البنفسجية و المرئية المسجلة في الميثانول يمكن تصنيف هذا المركب ضمن الفلافونيدات، و يدل سلوكه الكروماتوغرافي على كونه أحليكونا، أما لونه البنفسجي وطول العصابة  $\lambda_1 = 351\text{nm}$  فيشير إلى كونه فلافون أي غياب OH في الموقع 3.



الشكل (23) مطيافية الأشعة فوق البنفسجية والمرئية UV-Vis للمركب AF7

الإزاحة الباتوكرومية للحزمة I  $\Delta\lambda_1 = 50\text{nm}$  الناتجة عن إضافة الكاشف NaOH مع إستقرار الشدة الضوئية دليل على وجود OH حر في الموضع 4، مع ظهور نتوء جديد عند 329 nm يدل على وجود OH في الموضع 7 والذي يتأكد بالإزاحة الباتوكرومية للعصبة II بمقدار 18 nm  $\Delta\lambda_{II}$  الناتجة عن إضافة الكاشف NaOAC .

ظهور الإزاحة الهبسوكرومية للعصبة I  $\Delta\lambda_1 = -27\text{nm}$  عند مقارنة طيف  $\text{AlCl}_3$  بـ  $\text{AlCl}_3+\text{HCl}$  مع ظهور نتوء عند 354nm دليل على وجود أورثو ثنائي هيدروكسيل على الحلقة B. في حين تؤكد الإزاحة الباتوكرومية للعصبة I  $\Delta\lambda_1 = 32\text{nm}$  وجود OH في الموضع 5. عند مقارنة طيف  $\text{AlCl}_3+\text{HCl}$  بطيف MeOH .



الشكل (24) : مطيافية الرنين النووي المغناطيسي للبروتون للمركب  $\text{AF}_7$  في (DMSO,400MHz).

وبفضل معطيات مطيافية الرنين النووي المغناطيسي للبروتون التي جاءت مكملة للنتائج السابقة حيث تظهر:

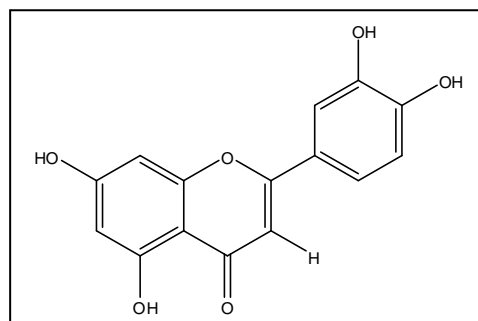
إشارة ثنائي ثنائي (J= 8.1-2.2Hz) عند  $\delta = 7.39\text{ppm}$  موافقة لـ  $\text{H}_6'$ .

وإشارة ثنائي (J=2.2 Hz) عند  $\delta = 7.37 \text{ ppm}$  موافقة لـ  $\text{H}_2'$  والأخرى ثنائية أيضا (J=8,1 Hz)

عند  $\delta = 6.85\text{ppm}$  موافقة لـ  $\text{H}_5'$  ، كما نلاحظ إشارتين ثنائيتين عند 6.41 ppm و 6.14ppm

بنفس ثابت التزاوج (J=2 Hz) موافقتين لـ  $\text{H}_6$  و  $\text{H}_8$  على التوالي.

وتكون صيغة المركب من خلال كل هذه المعطيات عبارة عن 5,7,3',4'-Tetrahydroxy flavone.



بنية المركب AF<sub>7</sub> (Luteoline)

الجدول (13) نتائج مطيافية الأشعة فوق البنفسجية والمرئية UV-Vis:

المفاعلات	الحزمة I		الحزمة II
MeOH	351	268	255
NaOH	401	329	269
AlCl <sub>3</sub>	410		270
AlCl <sub>3</sub> +HCl	383	354	276
NaOAc	384	371	273

جدول (14) - نتائج مطيافية الرنين النووي المغناطيسي للبروتون للمركب AF<sub>7</sub>:

الموقع	التعددية Hz	التكامل	δ(ppm)
H <sub>6'</sub>	dd(J=8.1-2.2)	1H	7.39
H <sub>2'</sub>	d(J=2.2)	1H	7.37
H <sub>5'</sub>	d(J=8.1)	1H	6.85
H <sub>3</sub>	S	1H	6.62
H <sub>8</sub>	d(J=2)	1H	6.41
H <sub>6</sub>	d(J=2)	1H	6.14

ب - 3 - التحليل البنيوي للمركب AF<sub>10</sub> :

- السلوك الكروماتوغرافي :

S<sub>1</sub> = CH<sub>3</sub>COOH (15%)

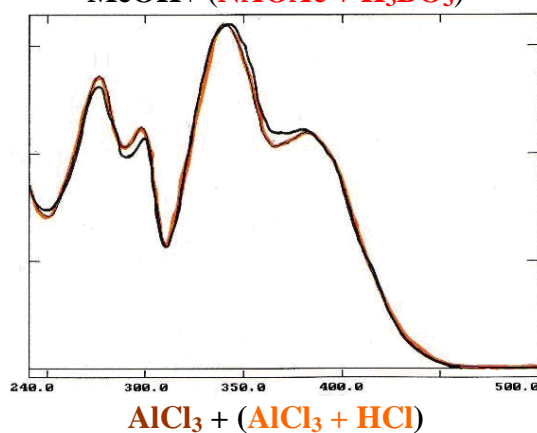
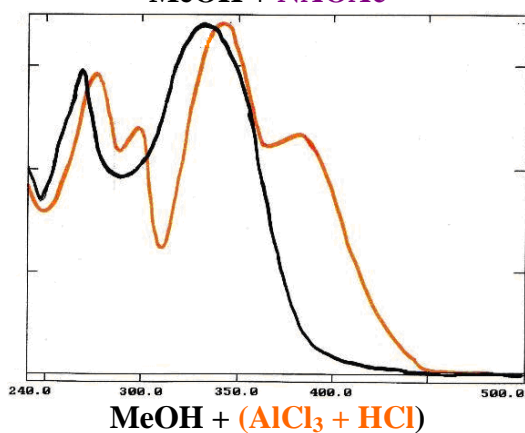
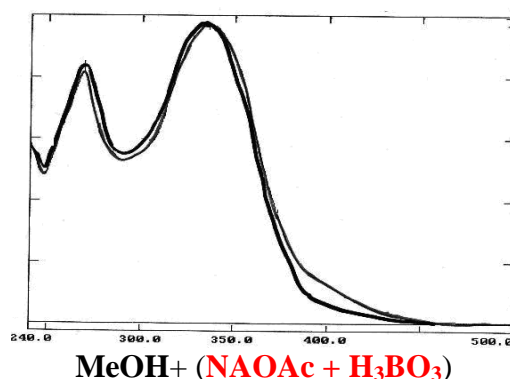
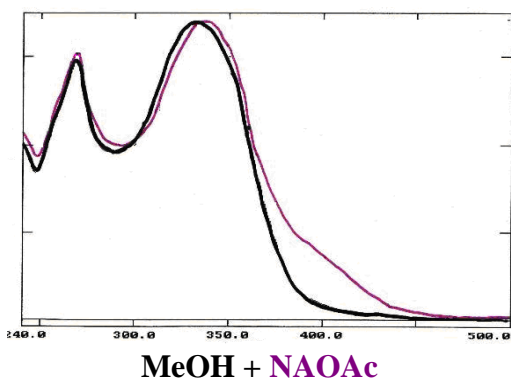
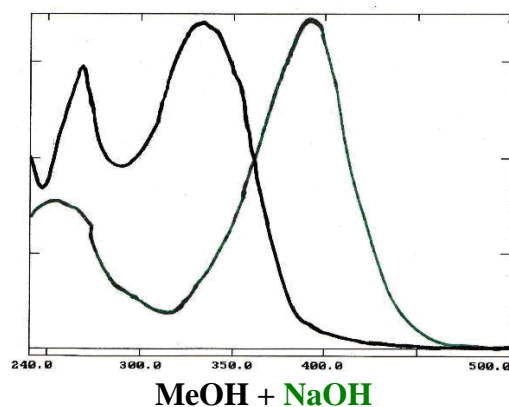
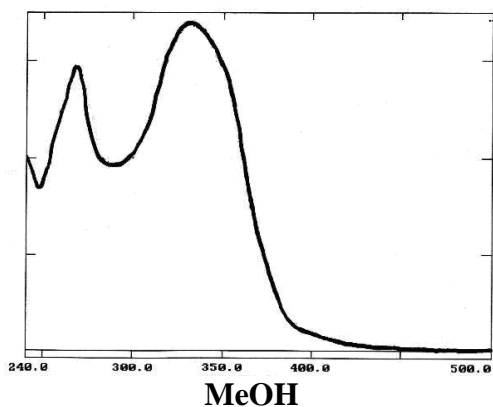
S<sub>3</sub> = 13 : 3 : 3 : 1

S<sub>4</sub> = 4:3:3

S <sub>4</sub>	S <sub>3</sub>	S <sub>1</sub>	الجملة
42.7	18	20.6	<b>Rfx100</b>
بنفسجي			اللون الاستشعاعي

اللون البنفسجي القاتم و طول الحزمة  $\lambda_1 = 333 \text{ nm}$  المأخوذة في الميثانول يؤكداً كون المركب

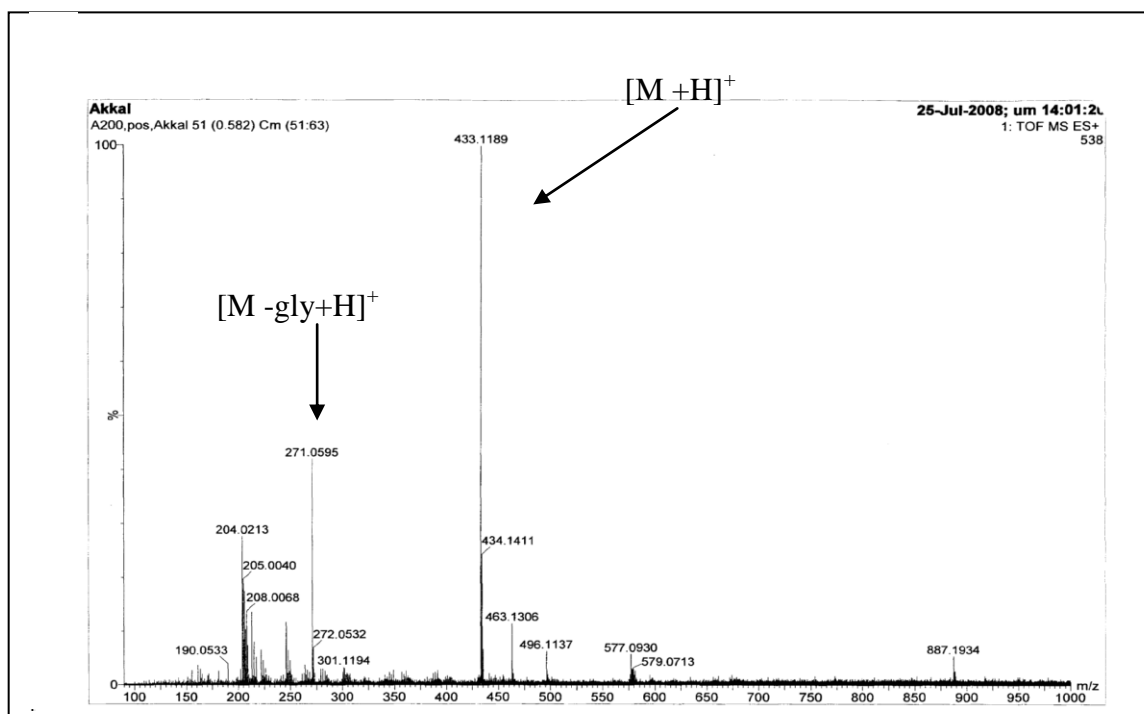
AF<sub>10</sub> عبارة عن فلافون والسلوك الكروماتوغرافي يشير إلى كونه جليكوزيد .



الشكل (25) مطيافية الأشعة فوق البنفسجية والمرئية UV-Vis للمركب AF<sub>10</sub>

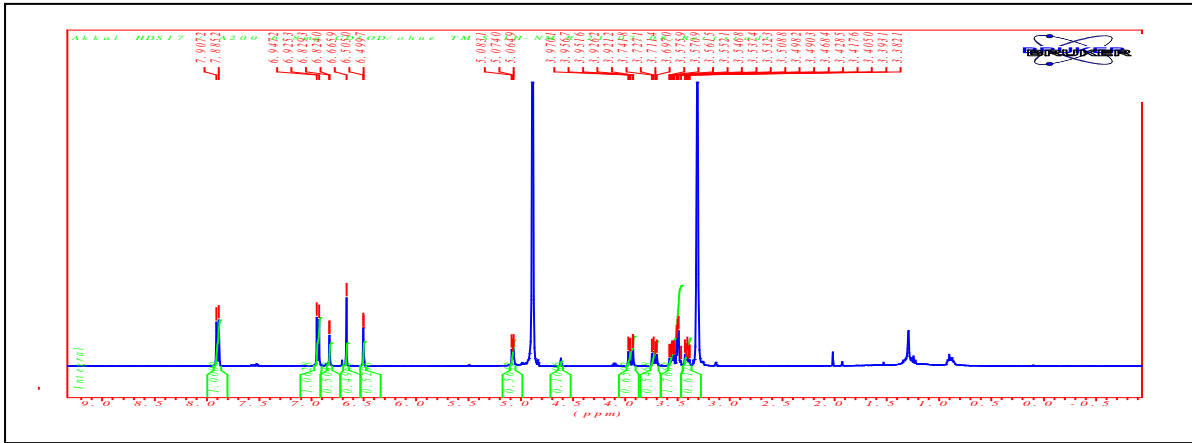
الإزاحة الباتوكرومية للحزمة I  $\Delta\lambda_1 = 58 \text{ nm}$  الناتجة عن إضافة الكاشف NaOH مع الزيادة في الشدة الضوئية دليل على وجود OH حر في الموضع 4، مع غياب نتوء جديد بين 335-320nm دليل على غياب OH في الموضع 7 وهذا ما تؤكد غيابه الإزاحة الباتوكرومية للعصابة II عند مقارنة طيف NaOAc. بطيف MeOH.

غياب الإزاحة الهبسوكرومية للعصابة I عند مقارنة طيف  $\text{AlCl}_3$  بـ  $\text{AlCl}_3+\text{HCl}$  دليل على غياب أرثو ثنائي هيدروكسيل الحلقة B. و الإزاحة الباتوكرومية للحزمة I بمقدار  $\Delta\lambda_1 = 48 \text{ nm}$  عند مقارنة طيف  $\text{AlCl}_3+\text{HCl}$  بطيف MeOH تعني وجود OH في الموضع 5.

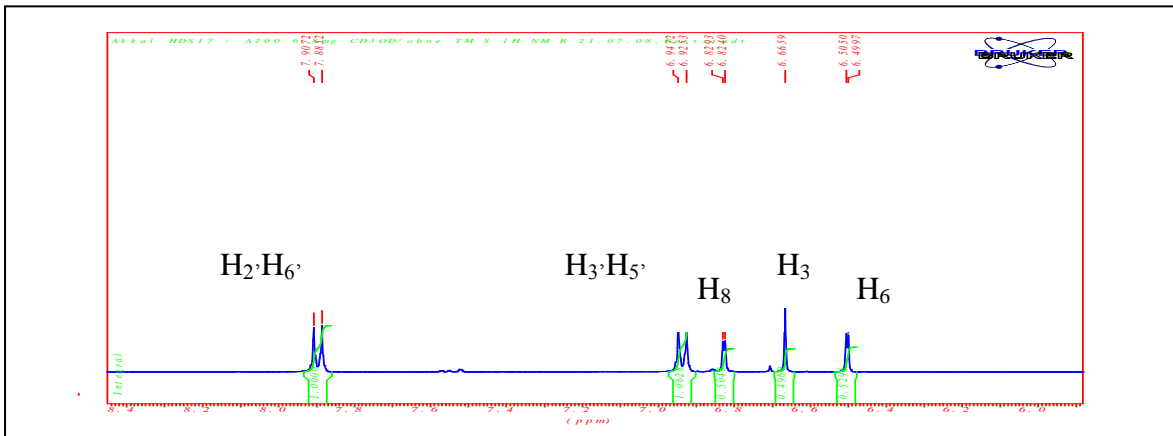


الشكل (26) طيف الكتلة ( $\text{ES}^+$ ) للمركب  $\text{AF}_{10}$

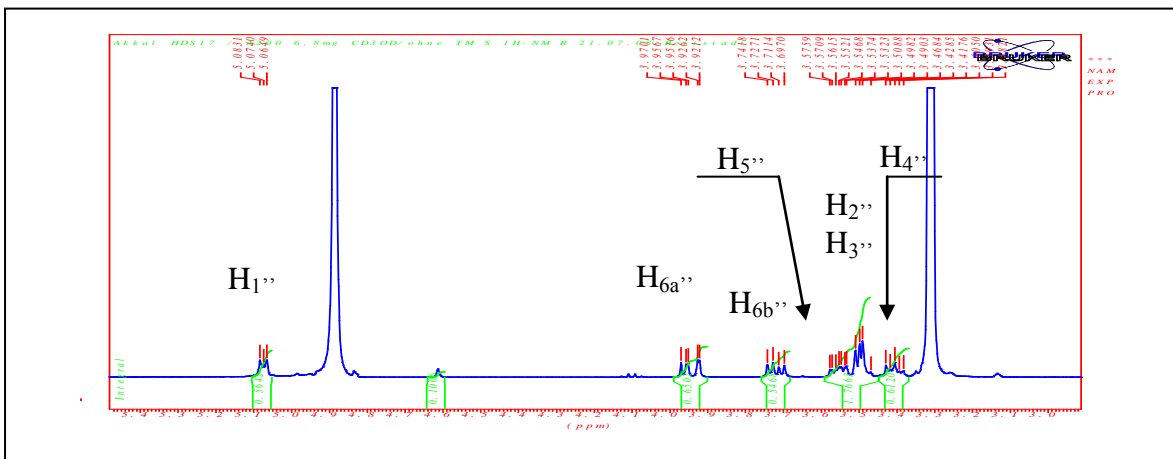
من جهة أخرى مطيافية الكتلة أعطت قيمة للأيون الجزئي عند  $m/z = 433$  موافقة للصيغة الجزيئية  $\text{C}_{21}\text{H}_{20}\text{O}_{10}$  التي تدل على وجود هيكل فلافونيدي مستبدل بسكر لا يمكن أن يكون إلا في الموقع 7 كما أشارت إليه مطيافية الأشعة فوق البنفسجية (الشكل 25) والشظية  $m/z = 271$  تدل على ذلك فهي موافقة لـ  $[\text{M-gly}+\text{H}]^+$ .



الشكل (27) : مطيافية الرنين النووي المغناطيسي للبروتون للمركب AF<sub>10</sub> في (400MHz,CD<sub>3</sub>OD).



الشكل(28): تكبير المجال  $\delta=(5,59-8,4 \text{ ppm})$  للمركب AF<sub>10</sub>

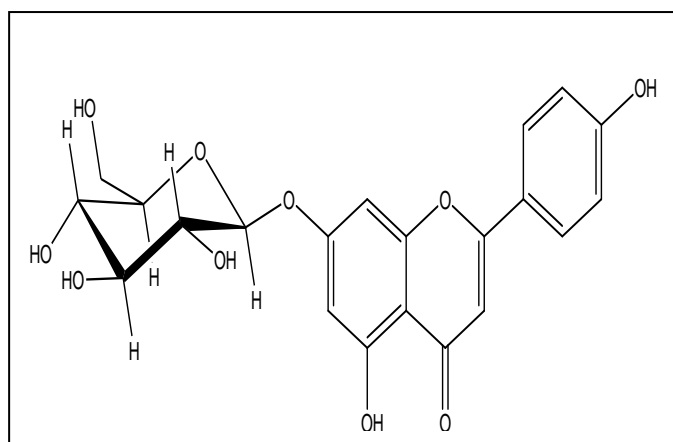


الشكل (29): تكبير المجال  $\delta=(2,8-5,3 \text{ ppm})$  للمركب AF<sub>10</sub>

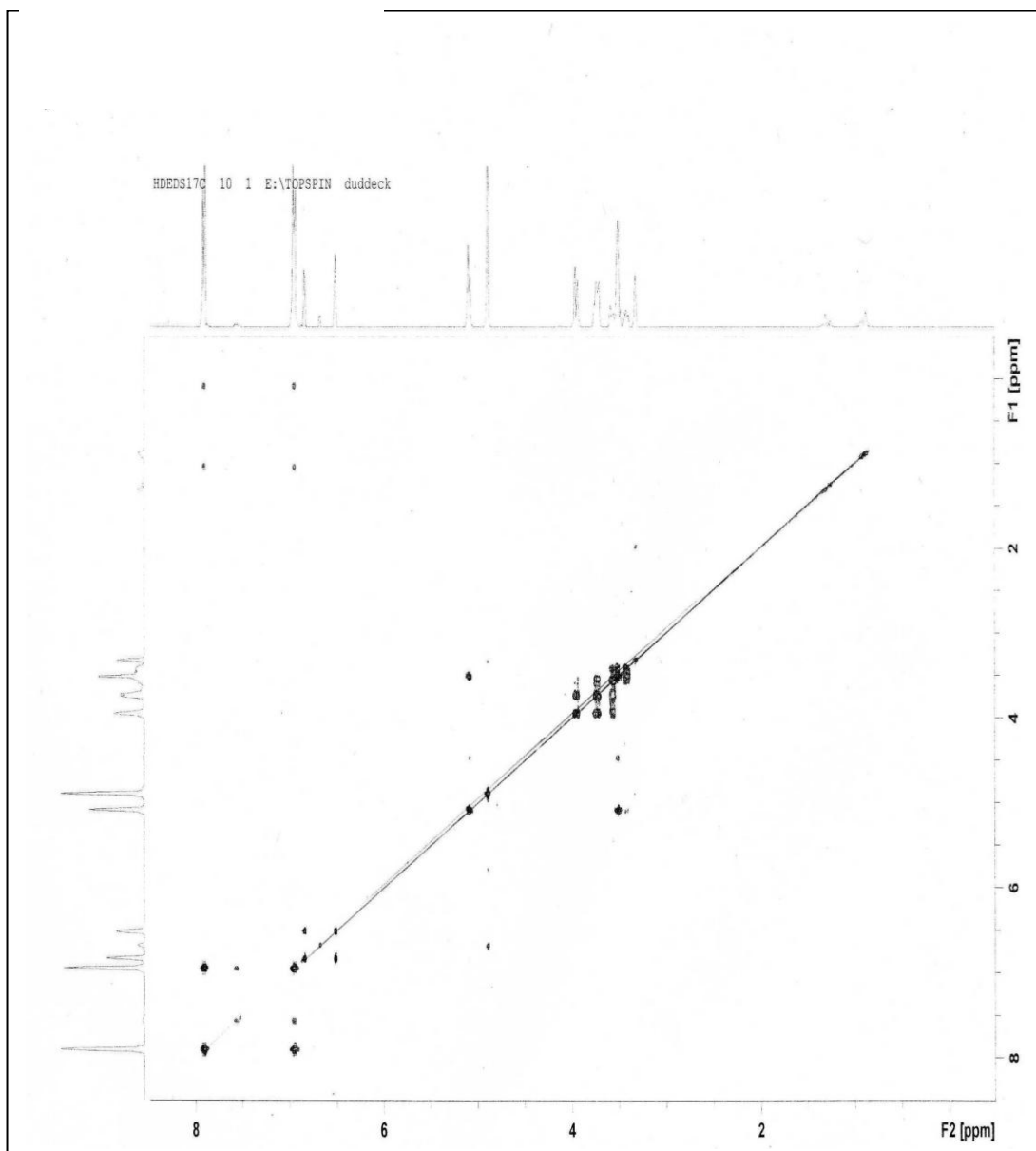


وقد تم التأكد من طبيعة السكر بالإعتماد على الإماهة الحمضية، حيث تحرر سكر الجلوكوز الذي تم التعرف عليه من خلال المطابقة الكروماتوغرافية مع الشواهد المعروفة الشكل (39) إلى جانب الأجليكون الذي يظهر بلون بنفسجي وثابت إنحباس  $R_f = 0.65$  قي النظام 3:3:4 والمطابق لـ apigenine .

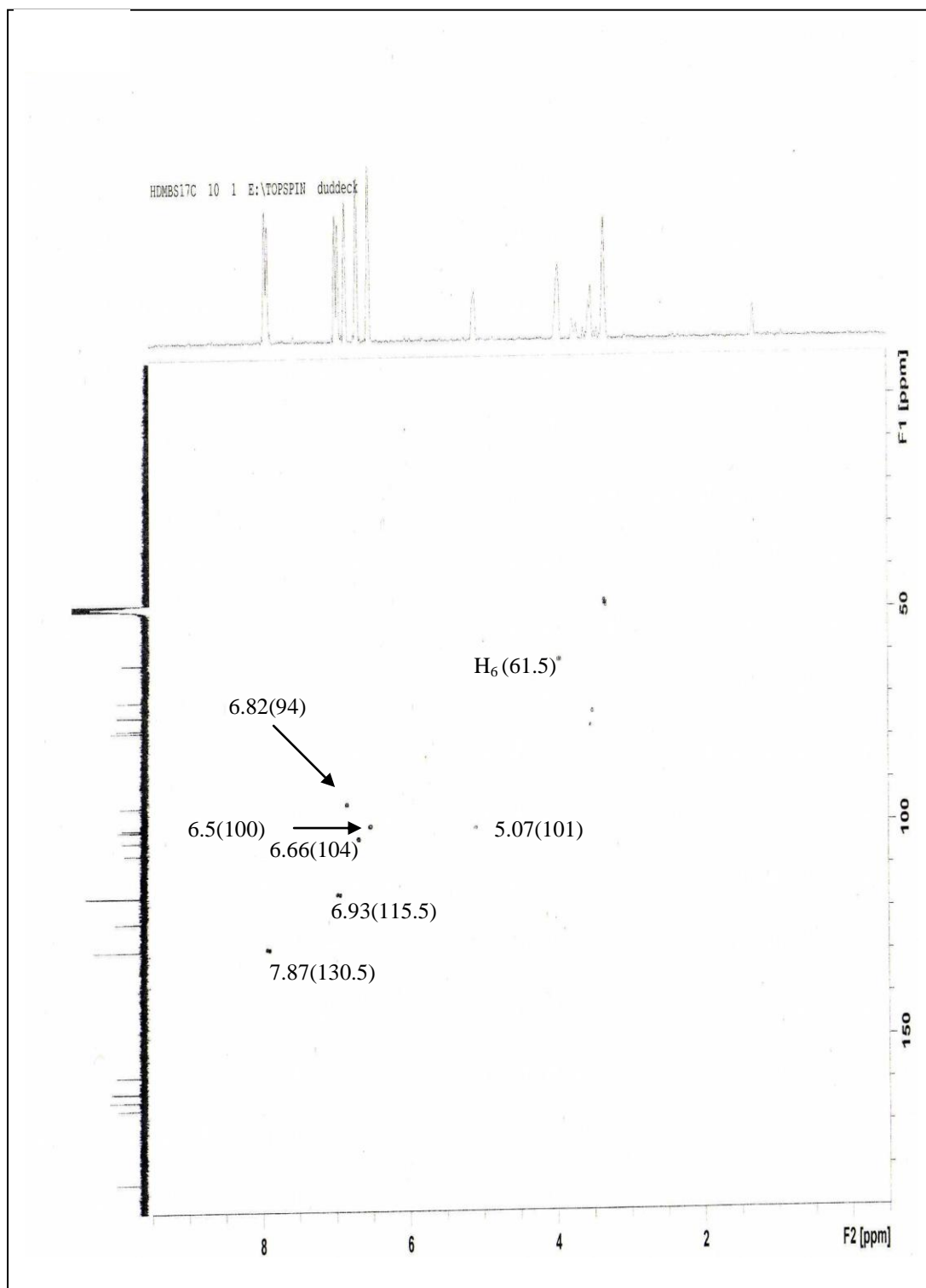
وقد جاءت مطيافية الرنين النووي المغناطيسي للبروتون والكربون موافقة ومؤكدة للنتائج السابقة حسب الجداول (16,17) وقد تم تحديد وإرفاق البروتونات بكربوناتها الموافقة بالإعتماد على نتائج Cosy ، HSQC ، والنتائج البيليوغرافيا [5] .  
وبالتالي نكون قد تأكدنا من كون المركب  $AF_{10}$  عبارة عن :



**Apigénine 7-O- $\beta$  glucoside(apigétrine)**



الشكل(30) طيف (COSY) للمركب AF<sub>10</sub>



الشكل (31) طيف (HSQC) للمركب AF<sub>10</sub>

الجدول (15) نتائج مطيافية الأشعة فوق البنفسجية والمرئية UV-Vis:

الحزمة II			الحزمة I	المفاعلات
269			333	MeOH
254	269		391	NaOH
275	298	341	381	AlCl <sub>3</sub>
276	298	341	381	AlCl <sub>3</sub> +HCl
268			335	NaOAc
269			336	NaOAc+H <sub>3</sub> BO <sub>3</sub>

جدول (16) - نتائج مطيافية الرنين النووي المغناطيسي للبروتون للمركب AF<sub>10</sub>:

الهيدروجين الموافق	التعددية Hz	التكامل	δ(ppm)
H <sub>2</sub> , H <sub>6</sub> '	d(J=8.8)	2H	7.87
H <sub>3</sub> , H <sub>5</sub> '	d(J=8.8)	2H	6.93
H <sub>8</sub>	d(J=2.1)	1H	6.82
H <sub>3</sub>	S	1H	6.66
H <sub>6</sub>	d(J=2.1)	1H	6.50
H <sub>1</sub> ''	d(J=7.3)	1H	5.07
H <sub>6a</sub> ''	dd(J=12.2-2)	1H	3.95
H <sub>6a</sub> ''	dd(J=12.2-5.7)	1H	3.71
H <sub>5</sub> ''	m	1H	3.57
H <sub>2</sub> '' H <sub>3</sub> ''	m	2H	3.55
H <sub>4</sub> ''	m	1H	3.41

جدول (17) - نتائج مطيافية الرنين النووي المغناطيسي للكربون CD<sub>3</sub>OD باستعمال NMR<sup>13</sup>C

كمذيب:

الكربون الموافق	الإزاحة δ (ppm)	الكربون الموافق	الإزاحة δ (ppm)
C <sub>10</sub>	106,5	C <sub>4</sub>	182
C <sub>6</sub>	100	C <sub>5</sub>	163,43
C <sub>1</sub> ''	101	C <sub>7</sub>	162,0
C <sub>8</sub>	94	C <sub>4</sub> '	157,92
C <sub>5</sub> ''	77,60	C <sub>9</sub>	157,6
C <sub>3</sub> ''	76,816	C-2	156
C <sub>2</sub> ''	73,491	C <sub>6</sub> ' , C <sub>2</sub> '	130,5
C <sub>4</sub> ''	69,970	C <sub>3</sub>	104
C <sub>6</sub> ''	61,5	C <sub>1</sub> '	121,4
		C <sub>5</sub> ' , C <sub>3</sub> '	115,5

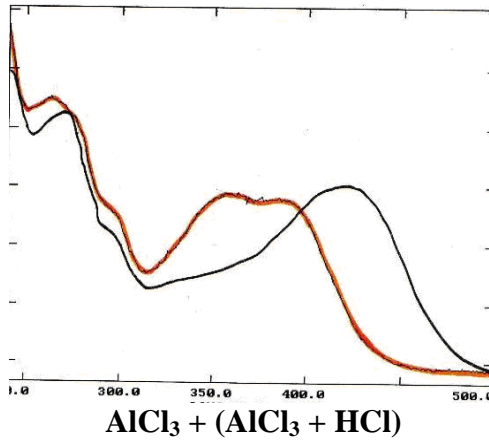
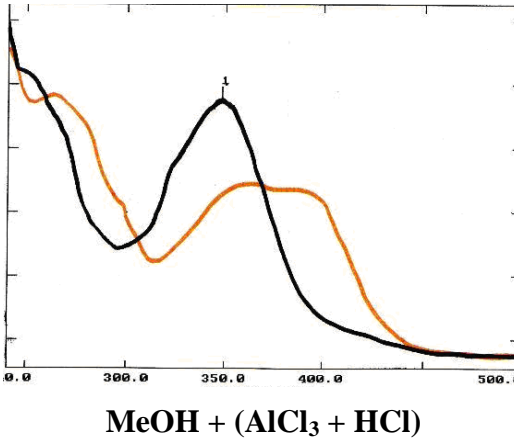
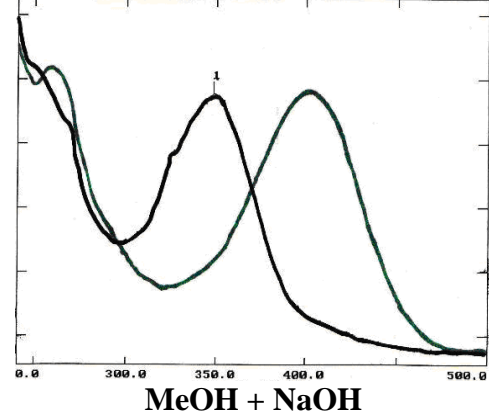
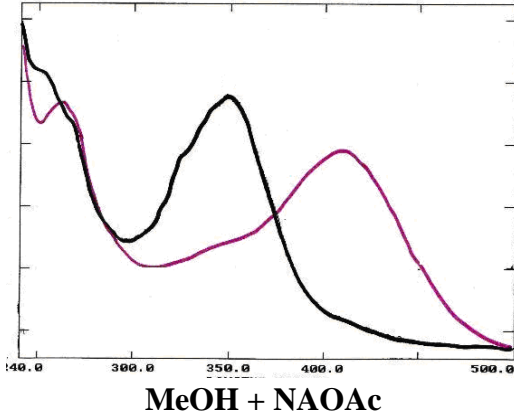
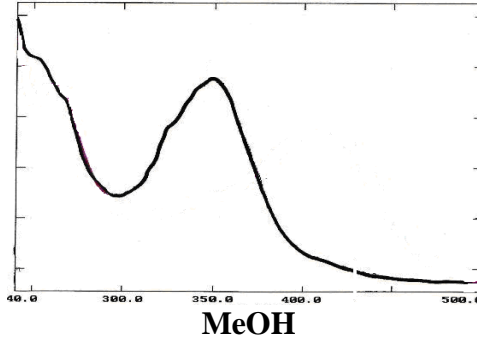
ب - 4 - التحليل البنوي للمركب AF<sub>11</sub> :

- السلوك الكروماتوغرافي :

S<sub>1</sub> = CH<sub>3</sub>COOH (15%)  
S<sub>3</sub> = 13 : 3 : 3 : 1  
S<sub>4</sub> = 4:3:3

S <sub>4</sub>	S <sub>3</sub>	S <sub>1</sub>	الجملة
22.3	18	20.6	<b>Rfx100</b>
بنفسجي			اللون الاستشعاعي

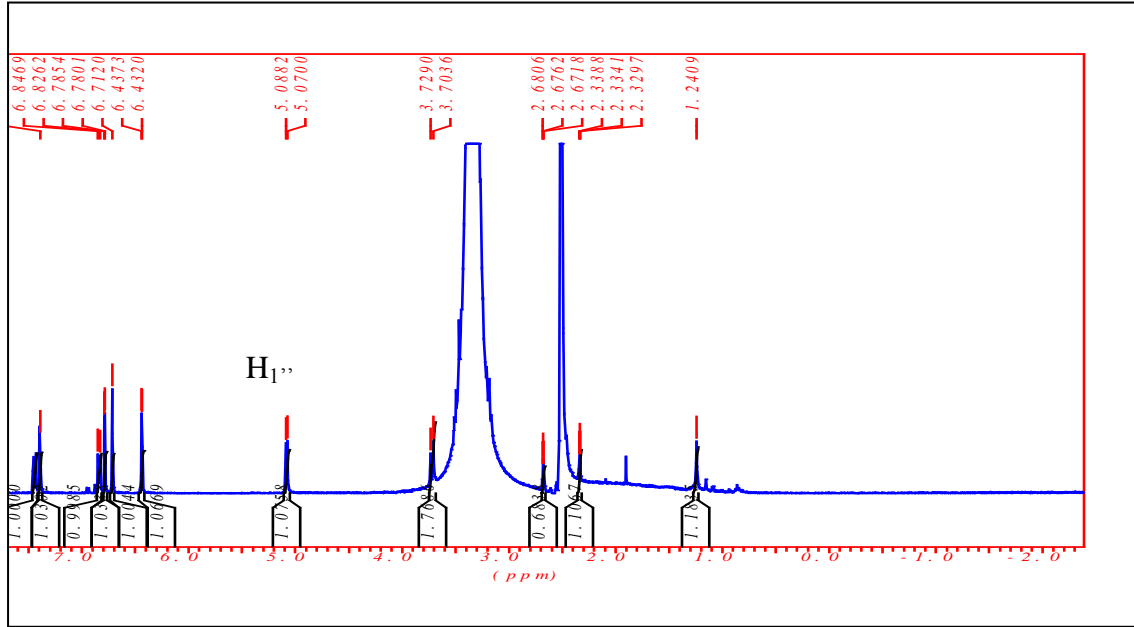
اللون البنفسجي تحت الأشعة UV و قيمة العصابة المسجلة في الميثانول  $\lambda_1 = 348\text{nm}$  يدلان على كون المركب عبارة عن فلافون .



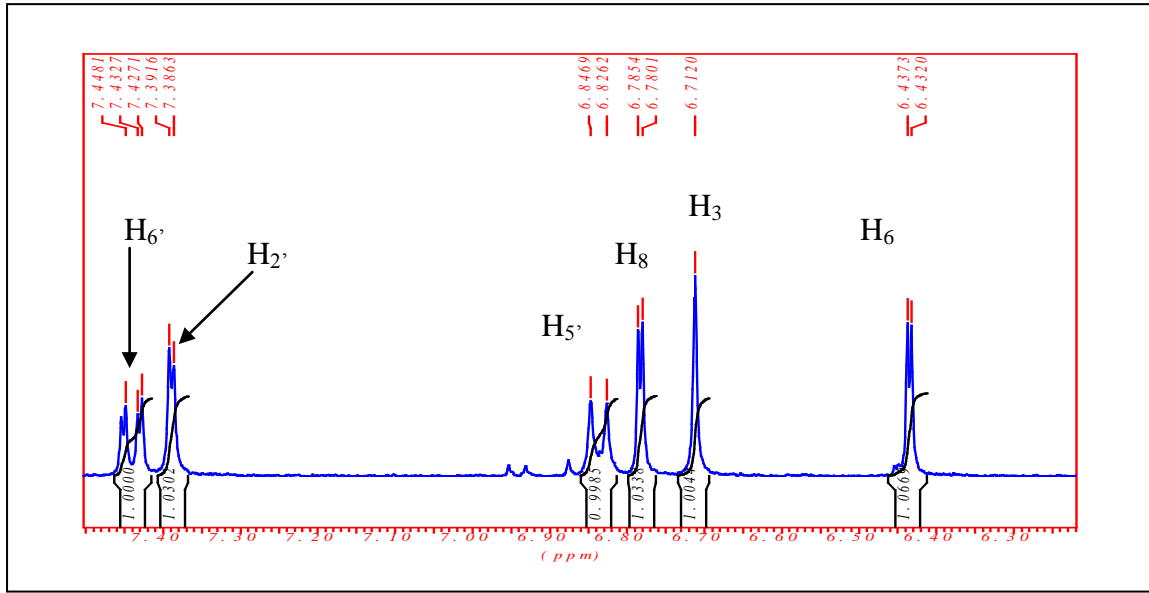
الشكل (32) مطيافية الأشعة فوق البنفسجية والمرئية للمركب AF<sub>11</sub>

الإزاحة الباتوكرومية للعصابة I  $\Delta\lambda_1 = 54 \text{ nm}$  المترتبة عن مقارنة طيف NaOH بطيف MeOH مع إستقرار الشدة الضوئية دليل على وجود OH حر في الموقع 4' وعدم ظهور حزمة جديدة بين 320-335nm ينفي وجود OH في الموقع 7، وهذا ما تؤكده غياب الإزاحة الباتوكرومية للحزمة II عند مقارنة طيف NaOAc بطيف MeOH قيمة الحزمة I  $\lambda_1 = 422\text{nm}$  في الطيف المسجل عند إضافة الكاشف  $\text{AlCl}_3$  والإزاحة الهبسوكرومية للحزمة I بـ  $\Delta\lambda_1 = -30 \text{ nm}$  عند مقارنة طيف  $\text{AlCl}_3+\text{HCl}$  بطيف  $\text{AlCl}_3$  دليل على وجود أورثو ثنائي الهيدروكسيل على الحلقة B .

الإزاحة الباتوكرومية للحزمة I بمقدار  $\Delta\lambda_1 = 44 \text{ nm}$  عند مقارنة طيف  $\text{AlCl}_3+\text{HCl}$  بطيف MeOH دليل على وجود OH في الموقع 5

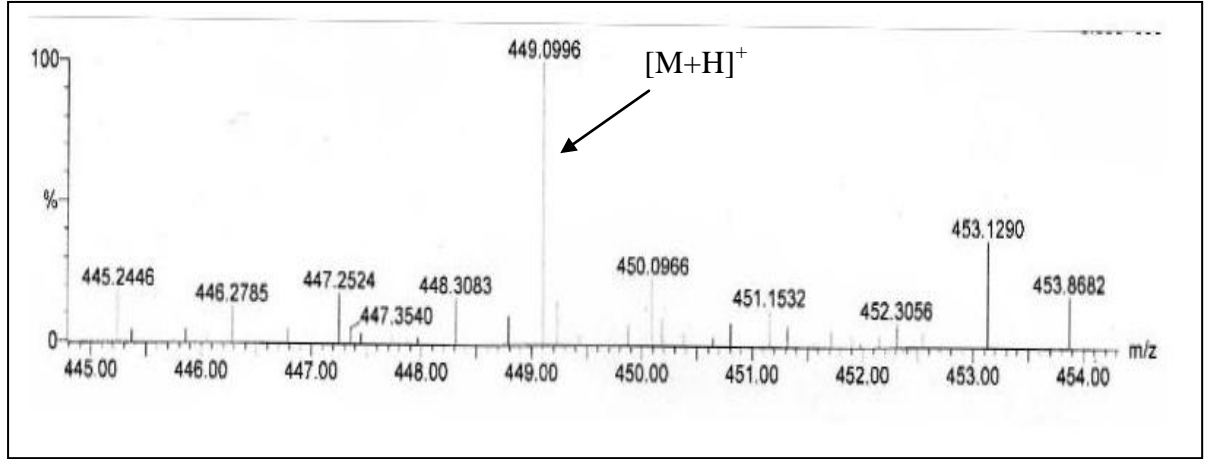


الشكل (33) مطيافية الرنين النووي المغناطيسي للبروتون للمركب  $\text{AF}_{11}$  (DMSO,400MHz)



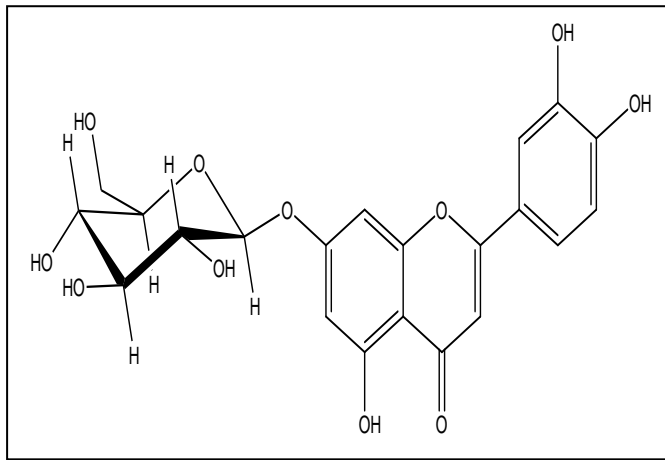
الشكل(34): تكبير المجال  $\delta=(6.3-7.5 \text{ ppm})$  للمركب AF<sub>11</sub>

من مطيافية الرنين النووي المغناطيسي للبروتون نلاحظ تطابق تقريبي لمعظم الإشارات مع المركب السابق (Luteoline)، مع وجود إشارات إضافية في المنطقة 3.5-4ppm المميزة للسكر و ظهور البروتون الأنوميري عند 5.07ppm بثابت تزاوج  $J=7.3\text{Hz}$  الخاص بسكر الجليكوز، هذا الأخير تم التأكد منه من خلال الإمهاء الحمضية و المطابقة الكروماتوغرافية للسكر الناتج مع الشواهد المعروفة الشكل (39)، وحسب ما قدمته مطيافية UV من نتائج فإن الجليكوز يحتل الموقع 7 . أما الجانب الأجليكوني الذي يظهر بلون بنفسجي وبتثبيت إنجباس  $R_f = 0.26$  في النظام 3:3:4 فهو مطابق لـ Luteoline



الشكل (35) طيف الكتلة ( $ES^+$ ) للمركب  $AF_{11}$

مطيافية الكتلة عالية الكفاءة لهذا المركب تظهر إشارة عند  $m/z=449$  موافقة للصيغة  $C_{21}H_{20}O_{11}$  وبالتالي نكون قد تأكدنا من كون المركب  $AF_{11}$  عبارة عن :



**Luteoline 7-O- $\beta$  glucoside**



الجدول (18) نتائج مطيافية الأشعة فوق البنفسجية والمرئية UV-Vis للمركب AF<sub>11</sub> :

الحزمة II			الحزمة I	المفاعلات
268			348	MeOH
259			402	NaOH
270	298		422	AlCl <sub>3</sub>
265	298	354	392	AlCl <sub>3</sub> +HCl
264			408	NaOAc

جدول (19) - نتائج مطيافية الرنين النووي المغناطيسي للبروتون للمركب AF<sub>11</sub> :

الهيدروجين الموافق	التعددية Hz	التكامل	δ(ppm)
H <sub>6</sub> '	dd(J=8.3-2.2)	1H	7.44
H <sub>2</sub> '	d(J=2.2)	1H	7.38
H <sub>5</sub> '	d(J=8.3)	1H	6.83
H <sub>3</sub>	S	1H	6.7
H <sub>8</sub>	d(J=2.1)	1H	6.78
H <sub>6</sub>	d(J=2.1)	1H	6.4
H <sub>1</sub> '	d(J=7.3)	1H	5.1

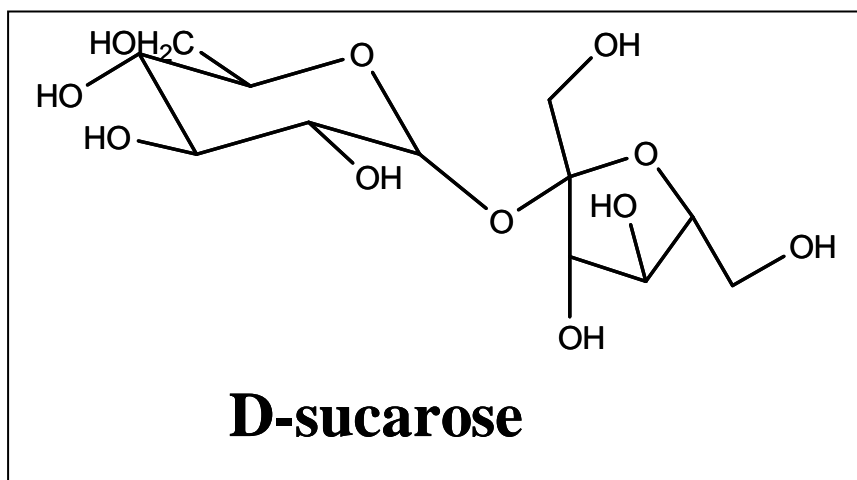
ب - 5 - التحليل البنوي للمركب AF<sub>12</sub> :

يظهر المركب AF<sub>12</sub> في صورة بلورات شفافة ضعيفة الذوبان في الميثانول، وتذوب كلية في الماء تظهر بلون أسود قاتم بعد معاملة الورقة الكروماتوغرافية بمحلول محضر من:

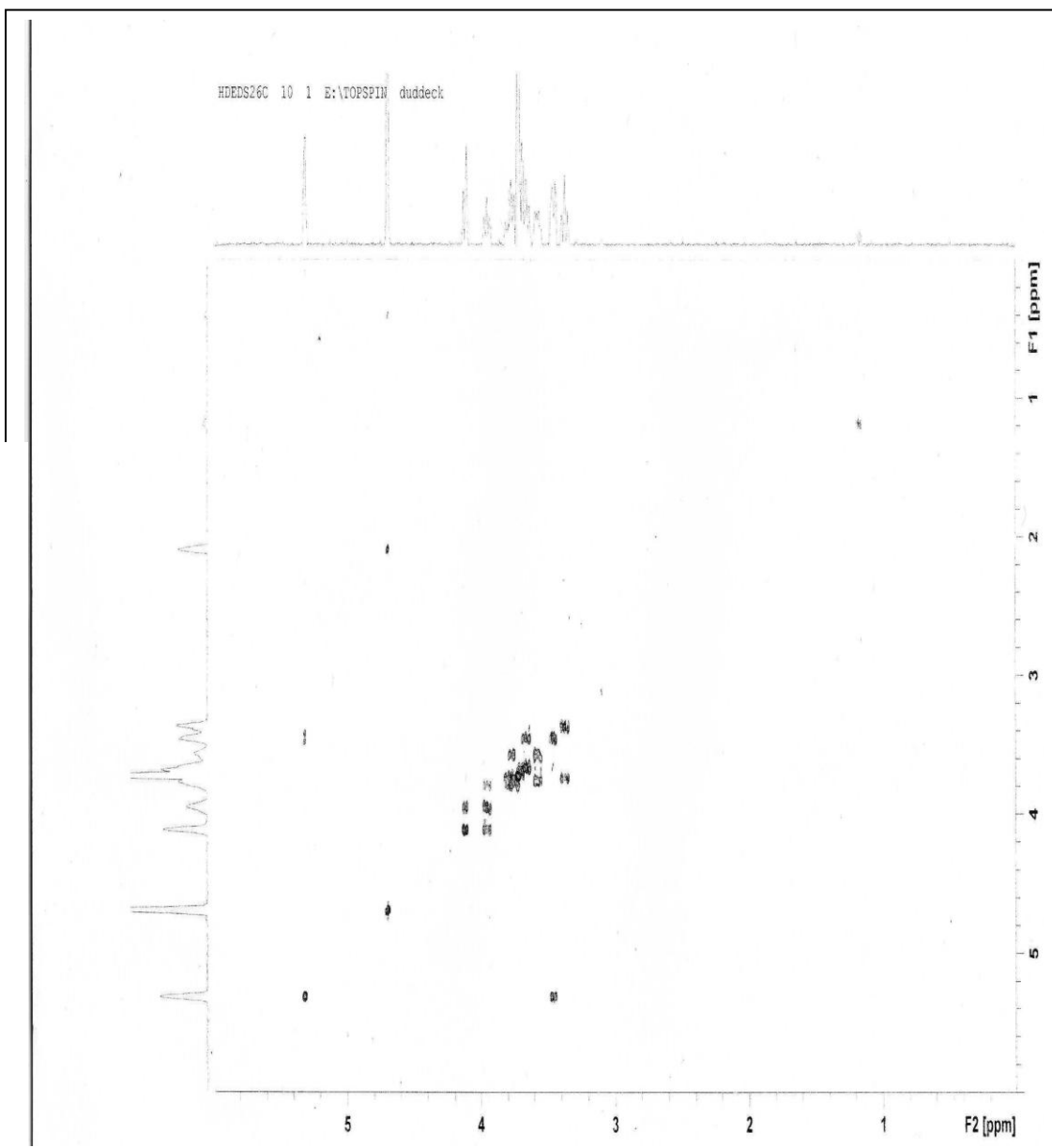
(H<sub>2</sub>SO<sub>4</sub>: CH<sub>3</sub>COOH: H<sub>2</sub>O/1:1:8) ثم التسخين إلى الدرجة 100<sup>0</sup>

عدم رؤية هذا المركب تحت الأشعة UV ينفي كونه فلافونيد، وهذا ما أكده طيف NMR<sup>1</sup>H حيث نعدم الإشارات بين 6-9ppm المميزة للفلافونيدات. مع ظهور إشارة ثنائية عند 5.2ppm بثابت تزاوج  $J=3.8\text{ Hz}$ ، وإشارات بين 3.5-4ppm المميزة للسكر [6]. ويتأكد إرتباطها بمطيافية COSY. وفي محاولة للتعرف على طبيعة هذا السكر تم مطابقته مع الشواهد لسكرية المعروفة فكان مميز بقيمة Rf مطابقة لسكر الأرابينوز، ولكن بعد تسجيل طيف NMR<sup>13</sup>C و ظهور 12 كربون يتضح كون هذا المركب عبارة عن سكرين مرتبطين ببعض، بعد مطابقة كل من NMR<sup>1</sup>H و NMR<sup>13</sup>C مع النتائج البيليوغرافية [6] يتضح أنه:

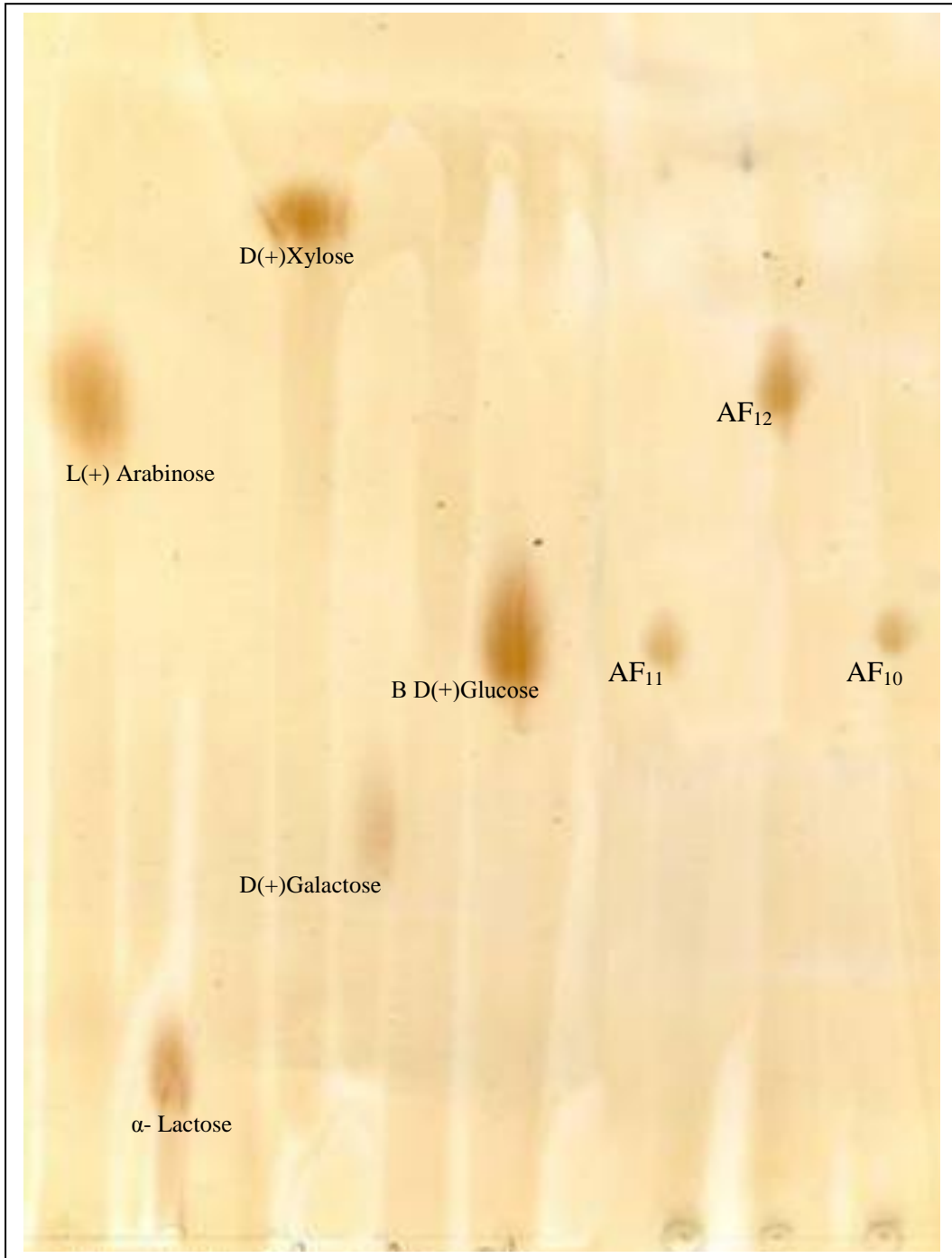
D-sucrose (glucopyranosyl-(1→2) fructofuranoside)







الشكل (38) طيف ( COSY ) للمركب AF<sub>12</sub>



الشكل (39) : كروماتوغرام يبين السكريات الناتجة عن الإماهة الحمضية مع بعض الشواهد المعروفة

## المراجع

- [1] Venkata Rao, E., Sree, R., Murthy, M. and Ward, R.S. (1984). Nine Isoflavones from *Tiphrosia Maxima*, *Phytochemistry*, vol. 23, No. 7, 1493-1501.
- [2] Lopez L'azaro, M., Martin-Cordero, C., Iglisias-Gurra, F. and Ayuso Gonzalez, M.J. (1998). An Isoflavone Glucoside from *Retama sphaerocarpa* Boissier, *Phytochemistry*, vol. 48, No. 2, 401-402.
- [3] Cuyckens, F. and Claeys, M. (2004). Mass spectrometry in the structural analysis of flavonoids, *Journal of mass spectrometry*, 39, 1-15.
- [4] Leosvaldo, V.S.M., Marcelo, F.J.P., Maria, I.S.S., Davyson, M.E.F., Guimarães, V.E.P., Maria A.K.C. (2008). C-glycosyl flavones from *Peperomia blanda* *Fitoterapia*.
- [5] Mabry, T.J. Markham, K. R. and Thomas, M.B. (1970). The systematic identification of flavonoids, Springer, New York, 45-126.
- [6] Agrawal, P.K. (1992). NMR spectroscopy in the structural elucidation of oligosaccharides and glycosides, *Phytochemistry*, Vol. 31, 3307-3330.

الخاتمة

## الخلاصة

يعد هذا العمل كامتداد لبحاث بدأها مخبرنا في إطار الكشف عن المواد الفعالة للنبات الطبية الجزائرية، وقد انصب اهتمامنا حول منتجات الأيض الثانوي الفلافونيدي لما تحضى به من فعالية بيولوجية عظمية .

نهدف من خلال ه ذا البحث إلى فصل وتحديد منتجات الأيض الثانوي الفلافونيدي

للنبتتين : *Retama sphaerocarpa* و *Ammoides atlantica*.

فبغية استكمال البحث حول الجنس *Ammoides* الممثل بالنوعين *A pusilla* و *A atlantica* هذه الأخيرة التي حضرت بدراسة مسبقة في مخبرنا لما تلقاه من استعمال واسع في الطب الشعبي، أما النوع الثاني فهي نبتة أصلية لذا كانت محور بحثنا، فكانت الحصيصة الفلافونيدية أربع مركبات تنحدر ضمن نظام وراثي حيوي واحد، ذو مسلك الفلافون الذي يضم هيكلين بنيويين أساسيين:

هيكل Apigénine والذي يضم Apigénine نفسه و مشتق واحد له ه و

Apigénine 7-O-β glucoside

هيكل Luteoline والذي يضم Luteoline نفسه و مشتقه Luteoline 7-O-β glucoside .

نلاحظ أن كلا المشتقين بسيطين الإستبدال فهي تضم 7-O-glucosyl وهو المستبدل الأكثر

شيوعا الراجع إلى مانح السكر UDP-Glu(glucose Uridine diphosphate) والإنزيم Glucosyl

transférase الجدد متخصص إذ يدخل في المرحلة الأخيرة في الإصطناع الحيوي لتحويل مجموعة

الهيدروكسيل إلى جليكوزيل . هذين الجليكوزيدين تم فصلهما من الجنس *Ammoides* . أما

الأجليكونين فأول مرة يتم الكشف عنهما في هذا الجنس ، على الرغم من كونهما البنية الأساسية

لتكوين مشتقاتها الجليكوزيدية . وهذا قد يرجع إلى توفرهما في هذه النبتة بنسبة عالية أو لقلة

الإنزيمات المسؤولة عن خلق مشتقات جديدة. ومن خلال ه ذه النتائج يمكن تشكيل النظام الحيوي

الوراثي لهذه النبتة حسب الشكل (1).

وكتكملة لما توصلنا إليه في رسالة الماجستير فقد تمكنا من فصل أربع إيزوفلافونات من

: *Retama sphaerocarpa*

7-hydroxy -6'-methoxy-3',4'-methylenedioxy isoflavone 7-O-β-glucoside.(F<sub>3</sub>)

7-hydroxy-6'-methoxy-3',4'-methylenedioxy isoflavone. (F<sub>1</sub>)

5,7,4 -Tri hydroxy isoflavone-8-C-glucoside. (F<sub>9</sub>)

genistein 7-O-xylosyl 8-C-glucoside(F<sub>10G</sub>)

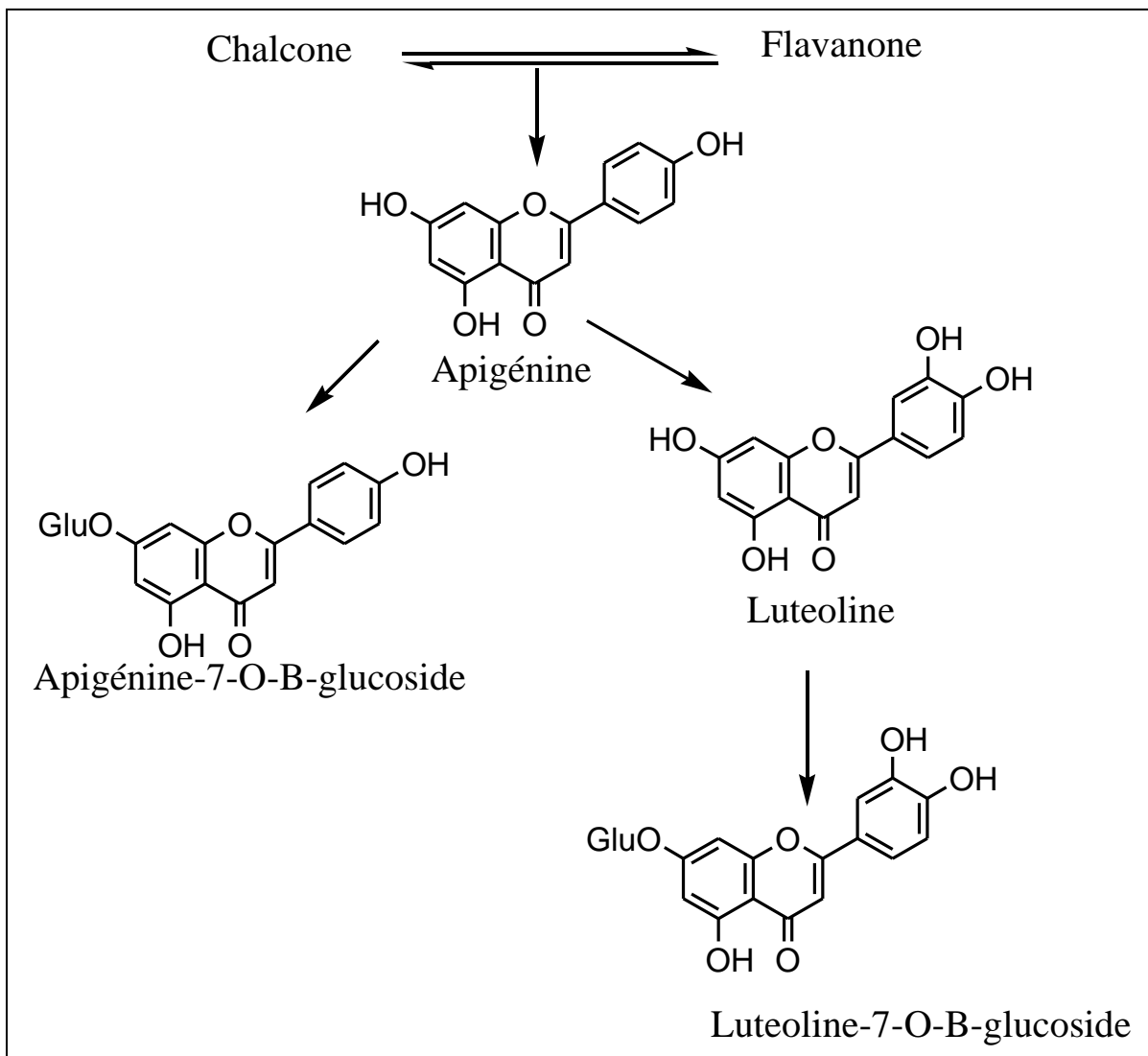
فالمركيبن F<sub>9</sub>،F<sub>1</sub> تم فصلهما لأول مرة من هذا الجنس أما المركب F<sub>10G</sub> فلم يسبق فصله.



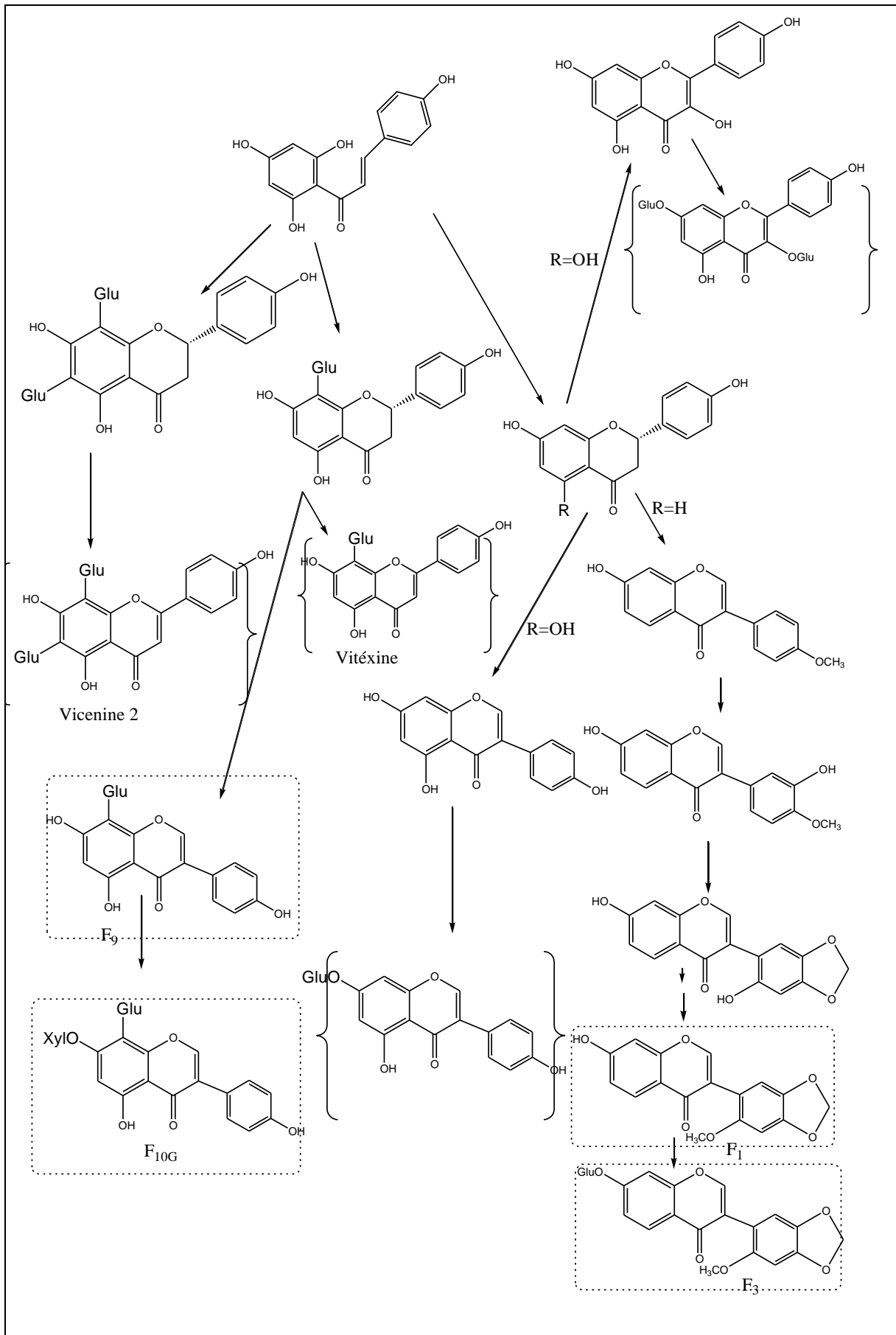
وقد جاءت هذه النتائج معززة لإنتماء النبتة إلى العائلة البقولية المشهورة بهذا النوع من المركبات، وقد تميزت هذه النبتة بصناعة المشتقات من النوع C-glu التي يتم تكوينها مباشرة بعد الشالكون [1] في كل من هيكل الفلافون [2] والإيزوفلافون بالإضافة إلى المشتقات الميتوكسيلية و الجليكوزيدية O-glycose التي يتم اشتقاقها من الفلافون. فالشكل يوضح المخطط الوراثي لهذه النبتة إذ تظهر المركبات المفصولة خلال رسالة الماجستير بين حاضنتين والمركبات المعني بها هذا البحث داخل مستطيل أما البنى المتبقية فلم يتم فصلها وهذا راجع لعدة أسباب، إما لو جودها بكميات ضعيفة لم يتسنى فصلها وإما هي موجودة في الكسور المعقدة التي لم تدرس أو لكون بعض تلك الجزئيات لا تتراكم في مثل تلك الصور، إذ بعد تكوينها تتحول مباشرة إلى إحدى مشتقاتها النيوية عن طريق تثبيت مجموعة مستبدلة.

وقد اعتمدنا في فصل هذه المركبات على تقنيات الكروماتوغرافيا بأنواعها المختلفة؛ كروماتوغرافيا العمود، كروماتوغرافيا الورق، كروماتوغرافيا الطبقة الرقيقة، وتمت تنقية المركبات المفصولة باستعمال عمود كروماتوغرافي صغير من الـ Sephadex LH20. كما تم تحديد البنى الجزئية للمركبات المفصولة باستعمال الطرق الفيزيوكيميائية : مطيافية الأشعة فوق البنفسجية (UV)، ومطيافية الرنين النووي المغناطيسي للبروتون ( $NMR^1H$ ) وللكربون ( $NMR^{13}C$ )، ومطيافية الرنين النووي المغناطيسي ثنائية البعد (Cosy, HMQC, HMBC)، ومطيافية الكتلة والإماهة الحمضية (4N) HCl.

وبغية الكشف عن مدى الفعالية البيولوجية للنبتة *Retama sphaerocarpa* أجريت بعض التحاليل ضد البكتيرية، والتي توصلت إلى فعالية المستخلص البيوتانولي على النوع البكتيري *S. aureus* ATCC 43300 وهذا يفتح المجال لدراسات أخرى لأنواع بكتيرية موجبة الغرام سواء كان على المستخلص أو على المركبات المفصولة.



الشكل (1): المخطط الحيوي الوراثي لفلافونيدات *Ammoides atlantica*



الشكل (2): المخطط الحيوي الوراثي لفلافونيدات النبتة *Retama sphaerocarpa*

## المراجع

- [1] Louaar, S., Akkal, S., Bousetla, A., Medjroubi, K., Djarri, L. and Seguin, E. (2005). Phytochemical study of *Retama sphaerocarpa*, Chemistry of natural compound, Vol. 41, No.1.
- [2] Harbone, J.B., Mabry, T.J., Mabry, H. (1975). The Flavonoids 2<sup>nd</sup> part, Academic press, New york, Sanfrancisco

## الملخص

في إطار البحث عن المواد الفعالة عند النباتات الطبية الجزائرية ، وباعتبار أن الفلافونيدات منتج—ات طبيعية مؤهلة لدور وقائي و علاجي لم ا تتميز به من فعالية بيولوجية ، لذا كان بحثنا موجهًا نحو تمييز المحتوى الفلافونيدي للنبتين الطبيتين: (*Retama sphaerocarpa* (Fabaceae) و *Ammoides atlantica* (Apiaceae) فبالاعتماد على طرق الاستخلاص و الفصل و التنقية تمكنا من فصل أربع مركبات فلافونيدية من النبتة *Ammoides atlantica* كلها من عائلة الفلافون و تم التعرف عليها بالاستعانة بالطرق الفيزيوكيميائية.

Apigénine(1) Luteoline (2) , Apigénine 7-O-β glucoside(3), Luteoline 7-O-β glucoside(4) بالإضافة إلى سكر السيكاروز.

كما تمكنا من فصل أربع إيزوفلافونات و التي جاءت معززة لانتماء النبتة *Retama sphaerocarpa* إلى العائلة البقولية

7-hydroxy-6'-methoxy-3',4'-methylenedioxy isoflavone 7-O-β-glucoside.(1)

7-hydroxy-6'-methoxy-3',4'-methylenedioxy isoflavone. (2)

5,7,4'-Tri hydroxy isoflavone-8-C-glucoside. (3)

genistein 7-O-xylosyl 8-C-glucoside(4)

فلركبين 2 و 3 تم فصلهما لأول مرة من هذا الجنس أما المركب 4 فلأول مرة يتم فصله في المملكة النباتية.

ونظرًا لما لاقته النبتة *Retama sphaerocarpa* من رواج في الطب الشعبي وبغية التعرف على المركبات المسؤولة عن هذه الفعالية تم إجراء بعض التحاليل البيولوجية الضد بكتيرية فأبدى المستخلص البيوتانولي إستجابة فعالة ضد السلالة *Staphylococcus aureus* ATCC 43300 .

## Résumé

Ce travail fait partie de notre programme de recherche sur les plantes médicinales algérienne des familles Fabaceae et Apiaceae.

les flavonoides sont des substances naturelle qui jouent un rôle protecteur vu leur activités biologiques. de ce fait. Nos travaux sont orientés vers l'extraction, la séparation ,la purification et l'identification des composés flavonoidiques de deux espèces : *Retama sphaerocarpa* (Fabaceae) et une espece endémique *Ammoides atlantica* (Apiaceae).La réalisation de ce travail a nécessité l'utilisation de toute la batterie chromatographique en phase liquide ainsi que le recours aux méthodes modernes d'analyses les plus performantes notamment, la spectroscopie de résonance magnétique nucléaire (NMR<sup>1</sup>H, NMR<sup>13</sup>C, Cosy, HMQC, HMBC), la spectroscopie d'absorption ultraviolette et la spectroscopie de masse.

Toutes ces méthodes nous ont permis d'établir les structures de quatre isoflavones isolés de l'espèce *Retama sphaerocarpa* : 7-hydroxy -6'-methoxy-3',4'-methylenedioxy isoflavone 7-O- $\beta$ -glucoside.(1) 7-hydroxy-6'-methoxy-3',4'-methylenedioxy isoflavone. (2) 5,7,4'-Tri hydroxy isoflavone-8-C-glucoside. (3) genistein 7-O-xylosyl 8-C-glucoside(4).Ce dernier composé a été isolé pour la premier fois, et quatre flavones et un sucre isolés de l'espece endémique *Ammoides atlantica* :Apigénine(1), Luteoline (2) , Apigénine 7-O- $\beta$  glucoside(3), Luteoline 7-O- $\beta$  glucoside(4) et sucrose .

L'activité anti bacterienne de l'extrait Butanolique de la plante *Retama sphaerocarpa* a donné des résultats positifs sur l'espèces *staphylococcus aureus* ATCC43300 .

Ce travail a fait l'objet de deux publications internationales .

Mots-cles : *Ammoides atlantica* , *Retama sphaerocarpa* , Flavonoides .

## Abstract

This work is a part of our research program on the Algerian medicinal plants of Fabaceae and Apiaceae families

The flavonoids are a natural substances, that play a protective role considering their Biological activity, for this reason our research was interested in the extraction, separation, purification and determination of flavonoid contents of two species *Retama sphaerocarpa* (Fabaceae) and *Ammoides atlantica* (Apiaceae), the latter one is endemic. The achievement of this work required the use of several methods in the liquid phase chromatography as well as recourse to modern methods of the most effective analysis namely the spectroscopy of nuclear magnetic resonance (NMR<sup>1</sup>H, NMR<sup>13</sup>C, Cosy, HMQC, HMBC), the ultraviolet absorption spectroscopy and the mass spectrometry. All this methods enabled the establishment the structures of four isoflavones which isolated from *Retama sphaerocarpa* specie: 7hydroxy-6'-methoxy-3',4'-methylenedioxy isoflavone 7-O- $\beta$ -glucoside.(1) 7hydroxy-6'-methoxy-3',4'-methylenedioxy isoflavone. (2) 5,7,4'-Tri hydroxy isoflavone-8-C-glucoside. (3) genistein 7-O-xylosyl 8-C-glucoside(4).this latter is new isoflavone. and four flavone has been isolated from *Ammoides atlantica* : Apigénine(1), Luteoline (2) , Apigénine 7-O- $\beta$  glucoside(3), Luteoline 7-O- $\beta$  glucoside(4) and arabinose .

Antibacterial activity was assessed using the disk diffusion method , The n-BuOH crude extract was the most active against *staphylococcus aureus* ATCC43300.

This results were published in two international journals.

Key words : *Retama sphaerocarpa*, *Ammoides atlantica*, flavonoids.

## الإهداء

أهدي ثمرة جهدي هذا إلى :  
أمي وأبي حفظهما الله  
وإلى روح أخي العزيز محمد رحمه الله  
وباقى إخوتي:  
عليمة، فاتح، فيروز، هشام، جلال  
وإلى كل الأهل والأحباب.



## تشكرات

الحمد والشكر لله العلي العظيم الذي وفقني وأعانني على إنجاز هذا العمل المتواضع .  
أتقدم بأسمى معاني الشكر و العرفان بالجميل إلى أستاذي الفاضل الدكتور عكال صالح الذي أدار هذا البحث ولم يقصر ولم يدخر أدنى جهد في سبيل السير الحسن لهذا العمل.  
كما أعبّر عن عظيم امتناني و تقديري لأستاذي الدكتور مجروبي كمال على النصائح و المساعدات التي قدمها لي خلال إنجاز هذا العمل كما أشكره على قبوله رئاسة لجنة المناقشة.  
وأوجه خالص شكري إلى الأساتذة: الدكتور لعمارة قدور من جامعة أم البواقي و الدكتور خنوف الصديق من جامعة سطيف على قبولهما المشاركة في مناقشة هذه الرسالة .  
كما لا يفوتني أن أتقدم بالشكر الجزيل إلى أستاذي القدير الدكتور غراف نورالدين من جامعة أم البواقي علي كل النصائح و المساعدات التي قدمها لي خلال مشواري الدراسي، كما أشكر له قبوله الحسن للمشاركة في مناقشة هذه الرسالة .  
وأتقدم بكل معني الشكر إلى الدكتور لعور حسين على مساعداته و تعاونه معنا سواء في التعرف على النباتات المدروسة أو التحاليل البيولوجية المجرات.  
وأوجه شكري الجزيل إلى الأستاذ بن احمد رياض والأستاذ لخضر جري على ما قدماه لي من عون و مساعدة. كما لا أنسى شكر الهاني، مصطفى لفحل و خالي كمال على مساعداتهم و نصحهم لي في الإعلام الألي.  
و لا يسعني في الأخير إلا أن أثني على الزملاء وما أكثرهم ممن ساهم من قريب أو بعيد في تقديم عون أو مساعدة، وأخصهم بالذكر رفيقات دربي سليمة وأحلام، كما لا أنسى أسيا، نجوى، منى، منيرة، نريمان، حسينة، نعيمة، حنان، لمياء، مالك، صابرو رؤوف .  
و زملاء الأسرة المخبرية : نبيلة1، نبيلة2، نجاه، نجاح، راضية، مونية وزين العبيدين.

## الفهرس

### قائمة المحتصرات

2.....	مقدمة
4.....	المراجع

### الفصل الأول

#### دراسة المركبات الفلافونيدية

6.....	I.أ- دراسة المركبات الفلافونيدية
6.....	أ- 1. تعريف الفلافونيدات
7.....	أ- 2. تصنيف الفلافونيدات
7.....	أ- 2- 1. الفلافون
7.....	أ- 2- 2. الفلافونول
7.....	أ- 2- 3. الفلافانول
9.....	أ- 2- 1. نيوفلافون
9.....	أ- 2- 5. إيزوفلافون
9.....	أ- 2- 5- 1. توزيع الإيزوفلافونات في العائلة البقولية
10.....	أ- 2- 5- 2. الإصطناع الحيوي للإيزوفلافونات عند البقوليات
12.....	أ- 3. توزيع الفلافونيدات
13.....	أ- 4. الفعالية البيولوجية للفلافونيدات
13.....	أ- 4. 1. الفعالية ضد مكروبية
13.....	أ- 4- 1- 1. الفعالية ضد البكتيرية
14.....	أ- 4- 1- 2. الفعالية ضد الفطرية
14.....	أ- 4. 2. الفعالية ضد الفيروسات
15.....	أ- 5. 3. الفعالية المضادة للأكسدة
18.....	I. ب- الدراسة الكيميائية للفلافونيدات
18.....	ب- 1. الاستخلاص
18.....	ب- 2. الفصل والتنقية
19.....	ب- 3. التعيين البنوي للفلافونيدات
19.....	ب- 3. 1. ثابت الانحباس
19.....	ب- 3. 2. مطيافية الأشعة فوق البنفسجية (UV)
19.....	ب- 3. 2. 1. طيف الامتصاص في الوسط الميثانولي
20.....	ب- 3. 2. 2. طيف الامتصاص في وجود الكواشف
25.....	ب- 3. 3. مطيافية الرنين النووي المغناطيسي للبروتون $^1\text{H}$ NMR
28.....	ب- 3. 4. مطيافية الرنين النووي المغناطيسي للبروتون $^{13}\text{C}$ NMR
28.....	ب- 3. 5. مطيافية الرنين النووي المغناطيسي ثنائية البعد

29	ب-3.6. مطيافية الكتلة
31	ب-3.7. الإمهاء الحمضية
33	المراجع

## الفصل الثاني

### الدراسة الكيماوية للريبتين *Retama sphaerocarpa* , *Ammoides atlantica*

40	II.أ- الدراسة الكيماوية لنبات <i>Retama sphaerocarpa</i>
40	أ-1 التصنيف النظامي للنبته
40	أ-2. وصف النوع
42	أ-3. توزع النوع
42	أ-4. المسح البيولوجي للنبته
45	أ-5. المسح الكيماوي للجنس <i>Retama</i>
49	II.ب- الدراسة الكيماوية لنبات <i>Ammoides atlantica</i>
49	ب-1 التصنيف النظامي للنبته
49	ب-2. وصف النوع
50	ب-3. المسح البيولوجي للجنس <i>Ammoides</i>
51	ب-4. المسح الكيماوي للجنس <i>Ammoides</i>
53	المراجع

## الفصل الثالث

### المادة النباتية: الاستخلاص، الفصل، التنقية و الالدراسة البيولوجية

56	III.أ- الدراسة الكيماوية العملية لنبات <i>Retama sphaerocarpa</i>
56	أ- 1. المادة النباتية
56	أ- 2. الاستخلاص
58	أ- 3. طرق الفصل والتنقية
62	أ- 4. الفعالية ضد البكتيرية
64	III.ب- الدراسة الكيماوية العملية لنبات <i>Ammoides atlantica</i>
64	ب - 1. المادة النباتية
64	ب - 2. الاستخلاص
66	ب-3. طرق الفصل والتنقية
69	المراجع

## الفصل الرابع

### التعيين البنيوي للمركبات المفصولة

71	.....	Retama sphaerocarpa	من النبتة	المفصولة	للمركبات	التعيين البنيوي	للمركبات	المفصولة	من النبتة	Retama sphaerocarpa	.....	71
71	.....	F <sub>3</sub>	للمركب	التحليل البنيوي	للمركب	F <sub>3</sub>	.....	71	.....	F <sub>3</sub>	.....	71
78	.....	F <sub>1</sub>	للمركب	التحليل البنيوي	للمركب	F <sub>1</sub>	.....	78	.....	F <sub>1</sub>	.....	78
82	.....	F <sub>9</sub>	للمركب	التحليل البنيوي	للمركب	F <sub>9</sub>	.....	82	.....	F <sub>9</sub>	.....	82
91	.....	F <sub>10</sub> G	للمركب	التحليل البنيوي	للمركب	F <sub>10</sub> G	.....	91	.....	F <sub>10</sub> G	.....	91
96	.....	Ammoides atlantica	من النبتة	المفصولة	للمركبات	التعيين البنيوي	للمركبات	المفصولة	من النبتة	Ammoides atlantica	.....	96
96	.....	AF <sub>6</sub>	للمركب	التحليل البنيوي	للمركب	AF <sub>6</sub>	.....	96	.....	AF <sub>6</sub>	.....	96
100	.....	AF <sub>7</sub>	للمركب	التحليل البنيوي	للمركب	AF <sub>7</sub>	.....	100	.....	AF <sub>7</sub>	.....	100
103	.....	AF <sub>10</sub>	للمركب	التحليل البنيوي	للمركب	AF <sub>10</sub>	.....	103	.....	AF <sub>10</sub>	.....	103
110	.....	AF <sub>11</sub>	للمركب	التحليل البنيوي	للمركب	AF <sub>11</sub>	.....	110	.....	AF <sub>11</sub>	.....	110
115	.....	AF <sub>12</sub>	للمركب	التحليل البنيوي	للمركب	AF <sub>12</sub>	.....	115	.....	AF <sub>12</sub>	.....	115
119	.....	المراجع	.....	المراجع	.....	المراجع	.....	119	.....	المراجع	.....	119
121	.....	الخاتمة	.....	الخاتمة	.....	الخاتمة	.....	121	.....	الخاتمة	.....	121
125	.....	المراجع	.....	المراجع	.....	المراجع	.....	125	.....	المراجع	.....	125

الملخصات.

## قائمة المختصرات

CC :	Column Chromatography.
TLC :	Thin-Layer Chromatography .
PC :	Paper Chromatography.
$^{13}\text{C}$ -NMR :	$^{13}\text{C}$ Nuclear Magnetic Resonance.
$^1\text{H}$ -NMR :	$^1\text{H}$ Nuclear Magnetic Resonance.
HMBC :	Heteronuclear Multiple Bond Correlation.
HMQC :	Heteronuclear Multiple Quantum Correlation.
HSQC:	Heteronuclear Single Quantum Correlation
COSY :	Correlation Spectroscopy .
$J$ :	Coupling constant.
Hz :	Hertz.
ppm :	parts per million.
s :	singlet.
d :	doublet.
dd :	doublet of doublet.
Rf :	Ration to solvent front.
EI :	Electron Impact ionization.
ES :	Electro Spray.
FAB :	Fast Atom Bombardment.
GC-MS :	Gaz chromatography-Mass Spectrometry.
HPLC :	High Performance Liquid Chromatography.
UV :	Ultraviolet.
ROS :	Reactive Oxygen species.
CoA :	Co-enzyme.

# المقدمة

**المقدمة :** من المشاهد في واقعنا اليومي زيادة اهتمام الناس بالطب والعلاج الطبيعي، والتداوي بالأغذية الطبيعية والأعشاب والنباتات الطبية والوصفات الشعبية المحررة من أهل الخبرة .

قديمًا كانت تستعمل الأعشاب كمصدر رئيسي في معظم العقاقير ، [2,1] فمملكة النبات تزود الطب بصفة مستمرة إذ تستعمل في شكلها الخام على شكل شايات و شراب ومنقوع و مراهم و دهان أو مساحيق . ويعود ظهور طب الأعشاب إلى حوالي 60000 سنة باكتشاف قبر في مغارة شمال العراق سنة (1960)، [3] إذ أسفرت التحاليل المجرات على التربة المحيطة بالهيكل العظمي على وجود حبوب طلع لثماني نباتات سبعة منها طبية لا تزال تستعمل في كل أنحاء العالم [4] .

مع تطور الكيمياء و الطب الغربي اعتمد على التداوي بالعقاقير والأدوية المصنعة [5] إلا أن صناعة بعض هذه الأدوية غير معروفة أو غير عملية اقتصاديا، ناهيك عن السلبيات الناجمة عنها من مضاعفات وأمراض سرطانية و أعراض جانبية، عانى منها الكثير من المرضى، لذا تتواصل الأبحاث عن النباتات الطبية للتصدي للأمراض الحالية . فمشتقات الأعشاب تمثل نسبة عالية من الأدوية المسوقة المستعملة حاليا في علاج إرتفاع ضغط الدم و الربو و الأوجاع ...

فـ. 25 % من الوصفات الطبية تحوي على الأقل أهم دواء ذو أصل نباتي [6] .

وفي هذا السياق وبغية المساهمة في تطور هذه الأبحاث عمدنا إلى دراسة فيتوكيميائية لمنتوجات الأيض الثانوي الفلافونيدي للنبتين طبيتين تنحدران من قاموس ا لثروة النباتية الجزائرية، أولاهم *Retama sphaerocarpa* من العائلة البقولية (Fabaceae) التي تعتبر من أرقى وأوسع العائلات الزهرية بعد العائلة المركبة (Compositae) لاحتوائها على أكثر من 650 جنس وقرابة 17000 نوع [7]. وقد عمد المختصون إلى تقسيمها إلى ثلاث عائلات تحتية : *Caesalpinioideae*، *Mimosoideae*، *Papilionoideae* وهذه الأخيرة هي الأكثر اتساعاً باحتوائها على 10400 نوع [7].

تحظى العائلة بأهمية اقتصادية عظيمة لاحتوائها على نباتات صيدلانية، فلاحية، صناعية وأخرى للزينة . كما تجدر الإشارة إلى أنها تحتوي على عدد مهم من النباتات السامة حيث تضم رتبها أكثر من 16000 نوع سام [7]. لذا كانت هدفاً للكثير من الدراسات الفيتوكيميائية، العائلة البقولية في الجزائر تضم حوالي 53 جنساً و 337 نوعاً [8]، فالجنس رتم (*Retama*) الذي نحن بصدد دراسته ممثل في الجزائر بثلاثة أنواع : *Retama reatam*، *Retama monosperma*، *Retama sphaerocarpa*. أما النبتة الثانية فهي *Ammoides atlantica* النبتة الأصلية المنحدرة من العائلة

الخيمية المعروفة بأهميتها الصناعية حيث تستعمل كطعام و توابل و دواء ونباتات للزينة . تقسم هذه العائلة إلى ثلاث عائلات تحتية : Apioideae, Saniculoideae, Hydrocotyloideae و تضم حوالي 200 جنس و 2900 نوع تنمو معظمها في نصف الكرة الشمالية، أما في الجزائر فهي ممثلة بـ55 جنس و130 نوع [8]. من بينها جنس *Ammoides* الذي يخلم النوعين *Ammoides atlantica* و *Ammoides pusilla* .

أما من الناحية الكيميائية فتشير الأبحاث إلى غنى هذه العائلة بالكومارينات ، [9] الفلافونيدات [11,10]، و القلويدات البييريدينية [12] . فبحثنا هذا يعد الأول من نوعه في دراسة المحتوى الفلافونيدي للنبته *Ammoides atlantica* و كتكملة لرسالة الماجستير في دراسة للنبته *Retama sphaerocarpa* وقد قسمنا هذا البحث إلى مقدمة وأربع فصول و خاتمة، ففي الفصل الأول استعرضنا منتوجات الأيض الثانوي الفلافونيدي من تعريف وتصنيف وأهمية بيولوجية لتليها كيفية الفصل والطرق التحليلية المتبعة للتعرف عليها . أما الفصل الثاني فخصصناه للتعريف بالنبتين والتنويه بمزاياها البيولوجية بالإضافة إلى إحصاء الفلافونيدات المفصولة من جنسيهما . لتأتي الطريقة العملية المتبعة خلال هذه الدراسة من فصل و تنقية للمركبات الفلافونيدية بالإضافة إلى دراسة بيولوجية لمستخلصات النبتة *Retama sphaerocarpa* في الفصل الثالث ، في حين خصص الفصل الرابع للتعين البنيوي للمركبات المفصولة باستعمال مختلف الطرق الفيزيوكيميائية .



## المراجع

- [1] Cooper,E. (2004). Drug discovery,CAM and natural products, Evid. based complement altern. med.1, 215-217.
- [2] Tsao, G.C.I., Zeltzer, L.K., (2005). Complementary and alternative medicine approaches for pediatric pain, a review of the state-of-the-science, Evid. based complement altern med.2.149-159.
- [3] Solecki, R., Shanidar, I.V. (1975). A neanderthal flower burial in northern Iraq , Science, 190,880-881 .
- [4] Bensky, D., Gamble, A. (1993). Chinese herbal medicine,materia medica, Revised edition, seattle, W.A., Eastland press, Inc. 13-17.
- [5] Farnsworth, N.R. and Morris, R.W. (1976). Higher plants-the sleeping giant of drug development, Am. J. pharm. Sci. support public health. 148,46-52.
- [6] Bashar, S., Hassan, A. and Omar, S. (2005).Tradition and perspectives of Arab herbal medicine, a review, The Author . Published by oxford university, 1-5.
- [7] Bruneton, J. (2001). Plantes toxiques et végétaux dangeureux pour l’homme et les animaux.
- [8] Quezel, P. and Santa, S. (1963). Nouvelle flore de l’Algérie et des régions désertiques méridionales.
- [9] El hazimi, H. (1995). Natural product, 149-190.
- [10] Harborne, J.B. (1988). The flavonoids ,advances in research since 1980, eds. chapman and hall, New york .
- [11] Bep, O.B. (1986). Medical plants in tropical west Africa, eds. Cambridge university press.
- [12] Mann, J. (1987). Secondary metabolism, eds. Clarendon press, Oxford.

# الفصل الأول

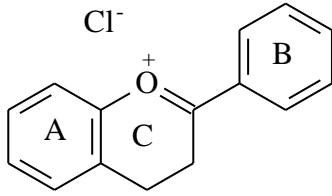
دراسة المركبات الفلافونيدية

## I - أ - دراسة المركبات الفلافونيدية :

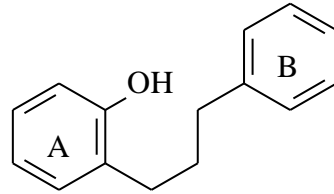
### أ - 1 - تعريف الفلافونيدات :

يعود أصل كلمة فلافونيد إلى (Flavus) وهي كلمة لاتينية تعني اللون الأصفر [1]. فالفلافونيدات هي صبغات نباتية تسمى أحيانا أنتوزانثينات (Anthoxantines) تنتشر في مختلف أجزاء النبتة من أزهار وأوراق وسيقان وجذور ... وتجدر الإشارة إلى أن هناك صبغات نباتية أخرى تسمى أنتوسيانينات (Anthocyanines) وهي وثيقة الصلة من الناحية الكيميائية بالفلافونيدات. والنواة الأم للأنتوسيانينات هي كلوريد 2 فنيل بتروبير اليوم المعروفة بكلوريد فلافيليوم (1)، ويتم عزل هذه الأملاح على هيئة أملاح كلوريد [2] تؤمن الحماية للنسيج الخلوي للنبات من تأثير الأشعة فوق البنفسجية [1]. وتعدّ الفلافونيدات من المركبات البولي فينولية، فهي تتكون من حلقتي بنزين تربطهما سلسلة بثلاث ذرات كربون الصيغة (2) التي تشكل عموماً حلقة غير متجانسة بعد الالتحام مع OH الفينولي للحلقة A [3].

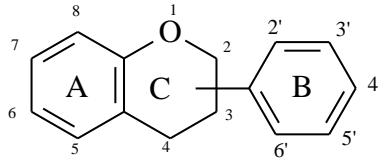
تعتمد الصيغة الكيميائية للفلافونيدات على هيكل ذو 15 ذرة كربون ممثلة بحلقة كرومان (Chromane) وحلقة بنزينية وهي ثاني حلقة عطرية ترتبط في المواقع 2، 3، 4 الصيغة (3).



الصيغة (1)



الصيغة (2)



الصيغة (3)

## أ - 2 - تصنيف الفلافونيدات :

تصنف الفلافونيدات إلى عدّة أقسام، حسب درجة تأكسد الحلقة البيرانية التي يمكن أن تفتح أو تتحلق لتعطي حلقة فيران [4].

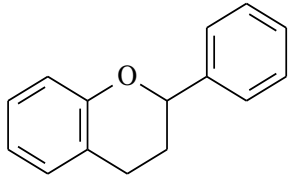
أ - 2 - 1 - الفلافون: يمكن للحلقة B المشار إليها سابقا أن تتواجد في الموضع 2، وإذا كانت الرابطة 2-3 غير مشبعة واستبدل الموقع 4 بمجموعة كربوكسيل، سُمي المركب حينئذ فلافون، وتتضمن هذه المركبات مجموعات بديلة تكون في الغالب مجموعة هيدروكسيل أو ميتوكسيل وقد يحوي بناؤها على وحدات سكرية على هيئة سكر أحادي أو ثنائي أو أكثر، وقد ترتبط هذه الوحدات بذرة أكسجين المكونة لمجموعة الهيدروكسيل أو ترتبط مباشرة بإحدى ذرات الكربون للهيكال الفلافونيدي و من أشهر هذه السكريات نجد : الهكسوزات (Hexoses (D-glucose، D-galactose أو (D-allose والبنتوزات (Pentoses (D-xylose، D-arabinose، L-rhamnose، D-xylose).

أ - 2 - 2 - الفلافونول: إذا وجدت مجموعة هيدروكسيل (OH) حرة أو مستبدلة (OR) في الموقع (3) لمركب الفلافون حيث يتم تثبيت مجموعة الهيدروكسيل في مرحلة الشالكون سمي المركب بالفلافونول وهو يشكل نواة أساسية للعديد من المركبات الطبيعية.

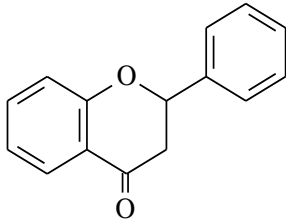
تنتشر كل من الفلافونات و الفلافونولات بشكل واسع في الطب يعة إذ تمثل حوالي 80 % من الفلافونيدات حيث تكون الحلقة A مستبدلة بأكثر من 90% بواسطة مجموعة هيدروكسيل حرة في الموضعين C-5, C-7 أو ممثلة أو مرتبطة بسكريات، كما أن هناك استبدالات أخرى تتم بواسطة مجموعات هيدروكسيلية حرة بنسب متفاوتة في الموقعين C-6, C-8 وقد تكون مرتبطة بمثل أو بمجموعات سكرية أو بجذور أخرى كما يمكن لهذا الارتباط أن يكون من نوع C-C.

الحلقة B تكون مستبدلة بحوالي 80 % في الموقع C-4' ويتم ذلك قبل مرحلة تكوين الشالكون، أو ثنائية الاستبدال في الموقعين C-3', C-4' بعد غلق الحلقة (C) أي بعد تكوين الشالكون، وتكون ثلاثية الاستبدال في المواقع C-3', C-4' و C-5' بنسبة ضعيفة. أما الموقعين C-2' و C-6' فنادرًا ما تكون مستبدلة [1].

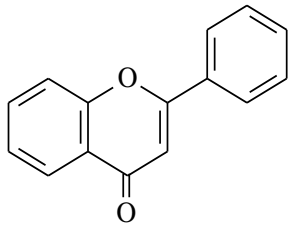
أ - 2 - 3 - الفلافانول: إذا كانت الرابطة 2-3 في هيكل الفلافون مشبعة يسمى المركب فلافانول. كما هو موضح في الشكل (1) الذي يبين مختلف الهياكل الأساسية للفلافونيدات.



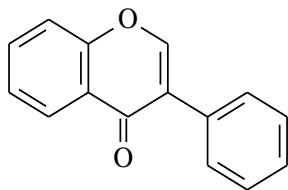
Flavane



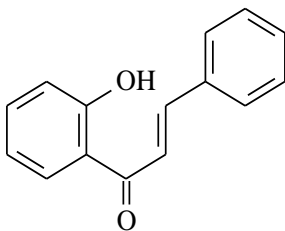
Flavanone



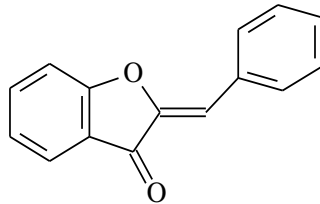
Flavone



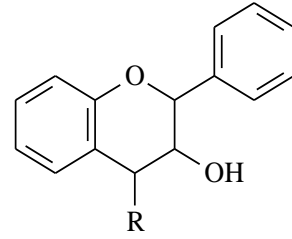
Isoflavone



Chalcone

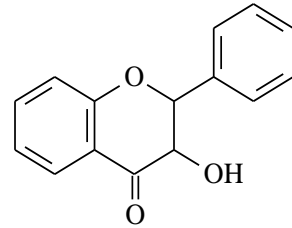


Aurone

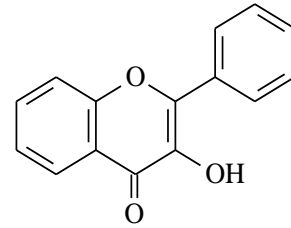


R=H : Flavan-3-ol

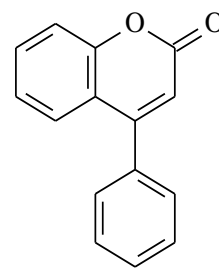
R=OH : Flavan-3,4-di-ol



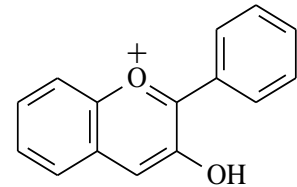
Dihydroflavonol



Flavonol



Neoflavone (4-phenyl-coumarine)



Anthocyanidol

الشكل (1) : الهياكل الأساسية لمختلف الفلافونيدات

أ - 2 - 4 - نيوفلافون: إذا وجد استبدال بين مجموعة الكربوكسيل والمجموعة B في هيكل الفلافون سُمي المركب نيوفلافون والذي تمّ عزله من عدّة أنواع للعائلة البقولية [5]. فهو يشكّل مع الإيزوفلافون الفلافونيدات الشاذّة وذلك لقلّة انتشارها في الطبيعة خلافاً عن الفلافونات والفلافونولات المنتشرة على نطاق واسع [2].

أ - 2 - 5 - إيزوفلافون: وهي لا تختلف في بنائها عن الفلافونات إلا باختلاف ارتباط الحلقة B حيث تتواجد في الموضع رقم 3. ويعود تاريخ إكتشاف أول إيزوفلافون formononetin كمركب طبيعي إلى منتصف القرن التاسع عشر [6]. من جذور النبتة البقولية *Ononis spinosa L*. ومع نهاية 2004 تمّ إحصاء ما يزيد عن 1600 إيزوفلافون أغلبها مفصول من العائلة البقولية [8] التي تعتبر ثالث أهم عائلة زهرتي.

كما يشهد محدودية الإيزوفلافونات عند العائلات غير البقولية إذ فصل منها أول إيزوفلافون في أواخر القرن التاسع عشر من النوع *Iris florentina* (Iridaceae) [9]. وفي ماي 2007 تمّ إحصاء 225 إيزوفلافون مفصول من 59 عائلة غير بقولية مع العلم أن أغلب هذه المركبات تمّ الكشف عنها لدى العائلة البقولية [10].

#### أ - 2 - 5 - 1 - توزيع الإيزوفلافونات في العائلة البقولية:

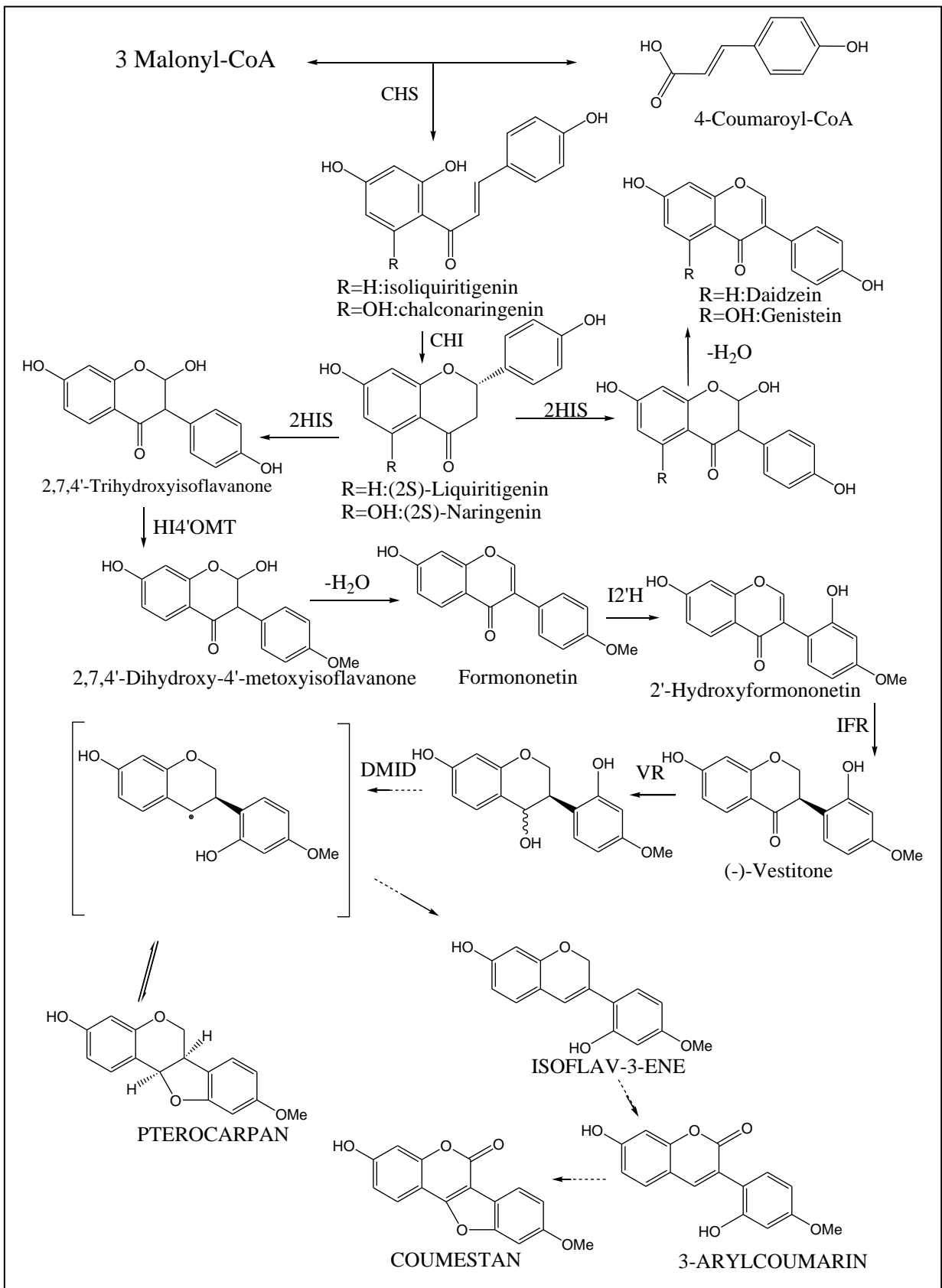
تتمركز الإيزوفلافونات في تحت العائلة الفراشية (papilionoideae)، وقبل سنة 1982 تمّ الكشف عن الإيزوفلافونات عن — ثلاث أنواع فقط من العائ —لات التحتي — الأخرى *Albizia procera*, *Prosopis juliflora* (Mimosoideae) [11] *Apuleia leiocarpa* (Caesalpinioideae) ومؤخراً تمّ إكتشاف isoflavone C-glycoside عند *Cassia javanica* و *Senna siamea* من العائلة [13,12]Caesalpinioideae ومن بين 423 إيزوفلافون جديد التي أحصاها Veitch في بحثه، إيزوفلافون واحد فقط لا ينتمي إلى تحت العائلة الفراشية [14]. وهذا الغناء الهائل للإيزوفلافونات يعد من الخصائص الكيميائية للعائلة الفراشية.

## أ - 2-5-2 - الاصطناع الحيوي للإيزوفلافونات عند البقوليات:

يعتمد الاصطناع الحيوي للإيزوفلافونات عند البقوليات على البشائر الفلافونيدية الأساسية إما isoliquiritigenin(2',4',4'-trihydroxychalcone) وchalconaringenin(2',4',6',4'-tetrahydroxychalcone) الناتجة عن اتحاد ثلاث وحدات من malonyl-CoA و 4-coumaroyl بتحفيز من chalcone syntase ليخضع هذا الأخير إلى تحويل فراغي نوعي ليعطي الفلافانون (flavanone) بتحفيز من chalcone isomerase (CHI) والذي يمثل أهم الفروع الفلافونيدية، وإعادة الترتيب لهذا الفلافانون بحضور إنزيم 2-hydroxyisoflavanone synthase (2HIS) يقود إلى مختلف الهياكل الإيزوفلافونيدية [15,16,17] حسب الشكل (2) وذلك بتحفيز من الإنزيمات المدونة في الجدول (1)

### جدول (1) : قائمة الإنزيمات المستخدمة في الاصطناع الحيوي للإيزوفلافونيدات

الرمز	الإنزيم
CHS	Chalcone synthase
CHI	Chalcone isomerase
2HIS	2-hydroxyisoflavanone syntase
HI4'OMT	hydroxyisoflavanone 4'-O-methyltransferase
I2'H	Isoflavone 2'-hydroxylase
IFR	Isoflavone reductase
VR	Vestitone reductase
DMID	7,2'-dihydroxy-4'-methoxyisoflavanol dehydratase



الشكل (2) : مخطط يوضح الاصطناع الحيوي لمختلف الإيزوفلافونيدات لدى البقوليات



### أ - 3 - توزيع الفلافونيدات :

تتوزع الفلافونيدات عند الطحالب بشكل ضعيف، فهي تتواجد عند الحزازيات والكبديات على شكل إتيروزيدات C أو O فلافون ، كما تتواجد عند مستورات الأزهار الوعائية على شكل ثنائي فلافونيد وبروأونتوسيانيد ول. وعند السرخسيات تكون Hétéroside-O-flavonols على غرار بعضها الآخر الذي يكتفي بتصنيع الشالكونات والبروأونتوسيانيدولات . هذه الأخيرة كثيرة الانتشار عند عاريات البذور كما لوحظ ذلك عند السكاسيات والصنوبريات (باستثناء عائلة Pinaceae) [4].

وعلى عكس ذلك تتواجد الفلافونيدات بشكل واسع عند كاسيات البذور أين يبلغ التنوع النباتي أقصاه [4].

قد لوحظ تواجد بعض أقسام الفلافونيدات في مجموعات نباتية معينة تكون مميزة لها، كالإيزوفلافونات المميزة للعائلة البقولية [17] مما جعل مؤخراً علماء النبات يربطون بين انتشار هذه الجزئيات الفلافونيدية والتصنيف النظامي للنبات (taxonomic Systems) [18، 19].

أما على مستوى الخلية تكون الفلافونيدات الإتيروزيدية الذائبة في الماء متمركزة داخل الفجوة وعند الأزهار في خلايا البشرة [4].

أما الفلافونيدات التي تنحل في المذيبات غير القطبية، كالفلافونيدات عديدة الميثوكسيل فتتواجد في سيتوبلازم الخلية [21] حيث تتوضع الفلافونيدات حالة وجودها في صورة أجليكونات على الأنسجة السطحية للأوراق، وتكون ملازمة لمواد مفرزة هي الأخرى ليوفيلية وهو حال المناطق الجافة وشبه الجافة [4، 21]. وعموماً توجد الفلافونيدات بشكل محمي (إتيروزيدات)، بينما تتواجد الأجليكونات في الأنسجة النباتية الميتة (نتيجة التميح الحمضي المحفز بواسطة الإنزيمات) وكذا في خشب الأشجار [20].

#### أ. 4 - الفعالية البيولوجية للفلافونيدات :

##### أ. 4-1- الفعالية ضد المكروبية :

منذ قرون و المعقدات ا لغنية بالفلافونيدات تستعمل من طرف الأطباء في شكل ترتيبات شافية

مجربة في معالجة الأمراض [22] مثل استعمال النبتة *Tagetes minuta* الحاوية على

quercetagenin-7-arabinosyl-galactoside والتي تستعمل بكثرة في الطب الشعبي الأرجنتيني

لمعالجة الأمراض المعدية المتعفنة[23]. وكمثال آخر النبتة *Scutellaria baicalensis* التي تستعمل في

الصين لمعالجة الدمامل و الجروح بطريقة موضعية منتظمة، و التأثير ضد الميكروبي لهذه النبتة راجع

بنسبة عالية إلى الفلافونيد Baicalein [25]، كما تعزى الخاصية العلاجية لعكبر النحل المعروفة منذ

الأزل والذي يستعمل في الطب اليوناني في علاج القروح إلى غناها بالفلافونيدات خاصة

galangin , pinocembrin [25-28].

##### أ. 4-1-1- الفعالية ضد البكتيرية:

عمدت الكثير من الأبحاث في تجارب *in vitro* إلى دراسة الفعالية ضد البكتيرية لمستخلصات

الفلافونيدات للنباتات المستعملة في الطب الشعبي، ومن الأجناس المشهورة بهذه الفعالية، نذكر

*Hypericum* [29]، *capsella* [30] و *Cromolaena* [30].

حيث إتجهت الأبحاث إلى فصل وتحديد البنى الفلافونيدية المسؤولة عن الفعالية ضد بكتيرية مثل :

apigenin [31-39]، galangin [40-42]، pinocembrin [43,44]، ponciretin [45]، genkwanin [46]

Sophoraflavanone G ومشتقاته [47]، naringenin، naringenin [48]، epigallocatechin gallate [49]،

luteolin [39]، luteolin7-glucoside [50]، quercetin glycosides [48]، kaemferol [52,51] و

flavone glycosides [54,53]، isoflavones، isoflavanones [55].

في حين إتجهت أبحاث أخرى إلى إضافة الفلافونيدات إلى مركبات معروفة بفعاليتها ضد بعض

السلالات البكتيرية مثل Epicatechin gallate [57,56] و Sophoraflavanone G [47] فتزيد من

فعاليتها [58]. كما عمدت أبحاث أخرى إلى إضافة مستبدلات اصطناعية على الفلافونيدات

الطبيعية وتحليل مدى فعاليتها المضادة للبكتيرية [59] ومثال ذلك إتجاه Wang وآخرون إلى خلق

معقدات بين الفلافونيد 5hydroxy-7,4'-dimethoxy flavone و عدد من المعادن الانتقالية وأثبتوا أن

هذه الطريقة تزيد من الفعالية ضد البكتيرية [60]. والبعض الآخر رفع من هذه الفعالية

لـ 3-methyleneflavanone بادخال البرومين أو الكلورين على الحلقة B [61].

يوجد فريقين بحث اتجها إلى التحاليل in vivo، ففي بحث Vijaya و Ananthan توصلوا إلى أنه بإطعام عن طريق الفم لـ 142.9mg/kg أو 214.3mg/kg من الـ Quercetin للفئران من نوع خنزير الهند (guinea pigs) يحميها من البكتيريا *shigella* الممرضة، والتي تقتل الفئران المأخوذة كشاهد أي التي لم تطعم بالـ Quercetin [62]، وفي 2004 أثبت Dastidar و Co-wokers أن الحقن تحت الجلد لـ 1.58mg/kg من *sophoraisoflavone* و 3.16mg/kg من *6,8-diprenylgenistein* أعطى حماية للفئران (من نوع challenged) ضد *Salmonella typhimurium* [63].

#### أ - 4 - 1 - 2 - الفعالية ضد الفطرية :

بسبب الانتشار الواسع لعائلة الفلافونيدات التي تثبط بوغة الإنبات بالنسبة للنباتات المولدة للأمراض، أقترح إستعمالها ضد الأمراض الفطرية المصيبة لـ إنسان [64] الفلافون المفصول لأول مرة من النبتة *Eysenhardtia texana* المعروف بـ *5,7,4'-trihydroxy-8-methyl-6-(3-methyl-[2-butenyl])-(2s)-flavanone*. أبدى فعالية ضد المرض الطفيلي الناتج عن الخميرة *candida albicans* [65]. الفلافونيد *7-hydroxy-3',4'-(methylenedioxy)flavan* المعزول من قشور بذور النبتة *Terminalia bellerica* هو الآخر أبدى فعالية على المرض *Calbicams* [66].

فعالية عكبر النحل ضد الأمراض الجلدية يرجع ولو بجزء ضئيل إلى المركبات الفلافونيدية التي يحويها بكميات كبيرة مثل اللافونول *galangin* الذي أظهر فعالية تثبيطية ضد: *Aspergillus tamarii*, *A.flavus*, *Cladosporium sphaerospermum*, *Penicillium digitatum*, *Penicillium italicum* [67].

#### أ - 4 - 2 - الفعالية ضد الفيروسات:

بينت بعض الدراسات الدور الذي تلعبه الفلافونيدات في مقاومة الفيروسات إذ اتجهت الأبحاث الجديدة نحو إظهار الفعالية التثبيطية لبعض الفلافونيدات ضد السيدا (HIV) *human immunodeficiency virus* فمعظم هذه الأبحاث غارقة في العمل ضد داء HIV-1 الوراثي و أنزيماته إذ تبين الدراسة أن الفلافون *baicalin* يثبط العمل الدفاعي لـ HIV-1 وكذا انتقال العدوى [68]، كما تظهر كلا من *baicalin* [68]، *hinokiflavone*، *robustaflavone* [69] فعالية تثبيطية على إنزيم النسخ لـ HIV-1 ويذكر أن الفلافونيدات *acacetin*, *chrysin* و *apigenin* تمنع

نشاط الـHIV-1 [70] ،ومن الأهمية أن نشير إلى أعمال Hu وآخرون التي تؤكد كون chrysin يمتاز بقوة علاجية عالية من أصل 21 فلافونيد طبيعي و 13 مصنع المستعملة ضد HIV-1 [71]. وللـflavonoids فعالية ضد أنواع أخرى من الفيروسات مثل أبحاث selway التي تثبت أن quercetin, morin, rutin, dihydroquercetin, dihydrofisetin, leucocyanidin, catechin أن pelargonidin chloride تملك فعالية ضد سبعة أنواع من الفيروسات بما فيها herpes simplex virus (HSV) وفيروس syncytial التنفسي وفيروس الشلل polio وفيروس sindbis [73,72] بالإضافة إلى المركبين chrysin وkaempferol المفصولين من عكبر النحل والتي تثبط الدور الدفاعي لـHSV وكذا فيروس crona وrota [74] والأكثر فعالية الفلافونول galangin المعروف بفاعليته ضد الفيروسات HSV وcoxsackie B [75].

تجدر الإشارة إلى أن الدور التآزري بين مختلف الفلافونيدات مثل kaempferol وluteolin يبدى فعالية ضد HSV وهذا ما يفسر الدور الفعال لعكبر النحل مقارنة بمركباته كالأعلى حدا [76] هذا التعاون محقق أيضا بين الفلافونيدات والعامل المضاد للفيروسات م ثل Quercetin الذي يزيد من فعالية 5-ethyl-2'-dioxypyridine [72] وacyclovir [77] ضد HSV كما يرفع apigenin أيضا من فعالية acyclovir [77].

#### أ. 3. 4. الفعالية المضادة للأكسدة:

تمتاز الفلافونيدات بخواصها المقاومة للتأكسد و يتلخص ذلك في :

- حماية الأنظمة المضادة للأكسدة الداخل خلوية .
  - التثبيط الإنزيمي و مخلبة الأثار المعدنية المولدة لـ ROS (المسؤولة عن إتلاف الأحماض النووية و ظهور الأورام السرطانية كما تتسبب تفاعلاتها المستمرة مع الفوسفوليبيد الغشائي في إتلاف الخلية [78]).
  - أسر الجذور الأكسجينية النشطة ROS كـ  $\text{NO}^\cdot$ ,  $\text{O}_2^-$ ,  $\text{OH}^\cdot$ ... ويتوقف هذا على مدى قابلية تحرير البروتونات من طرف الفلافونيد [79]، وعلى العموم يتوقف اصطياذ هذه الجذور على الصيغة الكيميائية للفلافونيدات و مستبدلاتها الهيدروكسيلية [80].
- تعتبر الفلافونيدات كعوامل مرجعة قوية وتعمل على تكسير تسلسل التفاعلات الجذرية نتيجة لبنيتها المستقرة الناتجة عن ظاهرة الرنين الإلكتروني الناشئة عن الحلقات الأروماتية [81,82]، وقد بينت الدراسات أن فعالية الفلافونيدات المضادة للأكسدة متعلقة بعدد وموقع مجاميع الهيدروكسيل

[82] خاصة منها تلك المستبدلة في الموقع 3 للحلقة C [83] و اورثوثنائي هيدروكسي 3',4' للحلقة B، كما تعود مقاومتها للتأكسد لإحتوائها على الرابطة المضاعفة في الحلقة C بين C<sub>2</sub>-C<sub>3</sub> المترافقة مع 4-سيتون [82]، وجود OH في الموقع 3 وOH في الموقع 5 بالإتحاد مع مجموعة 4-كربونيل و الرابطة المضاعفة بين C<sub>2</sub>-C<sub>3</sub> يزيد من فعالية أسر الجذور الحرة [84].

وفي دراسة لـ Gwan-sub Sim و آخرون أثبت فيها أنه كلما زادت مجاميع الهيدروكسيل في البنية الفلافونيدية زادت القدرة على أسر الجذور الحرة ، ففي إختبار للفلافونيدات الحاوية على الرابطة المضاعفة المترافقة مع مجموعة الكربو نيل C-4 في الحلقة C لكل من الفلافونات : Chrysin Apigenin, Luteolin, و الفلافونولات : Kaempferol, Quercetin, Myricetin.

لوحظ عند الفلافونات أن Apigenin و Chrysin أبدا فعالية أقل من Luteolin وعند الفلافونولات لوحظ أن Myricetin الحاوية على 6 مجاميع OH أظهر فعالية أكبر من Quercetin ذو الخمس مجاميع OH وهذا الأخير أكبر من Kaempferol ذو الأربع مجاميع . والجدول (2) يبين فعالية بعض المركبات الفلافونيدية [80] .

بالإضافة إلى ذلك كشفت الدراسات على كون الفلافونيدات مضادة لارتفاع الضغط [85] مضادة للالتهاب [86-88] مضادة للحساسية [89، 90] مضادة للتسمم الكبدي [78] وذات فعالية ضد الملاريا [91]. كما تستعمل الفلافونيدات لأغراض أخرى ، فنظرا لكون الأنتوسيانوزيدات حساسة للضوء والحرارة وتغير الـ pH فهي تستعمل في المعلبات كمواد حافظة. وتضاف الفلافونيدات إلى بعض المواد الغذائية كالحُمور (30 mg/l anthocyanosides) والمربي، وإلى الحلويات للتنويع في ألوانها والتحسين من طعمها [4]. كما أثبت وجود بعض الفلافونولات في الشكولاتة [92].

الجدول (2) يوضح الصيغ الكيميائية لبعض المركبات الفعالة بيولوجيا.

المركب	الإستبدال على مواقع الكربون											
	2	3	4	5	6	7	8	2'	3'	4'	5'	6'
Flavones and their glycosides												
Acacetin	-	-	-	OH	-	OH	-	-	-	OCH <sub>3</sub>	-	-
Apigenin	-	-	-	OH	-	OH	-	-	-	OH	-	-
Baicalin	-	-	-	OH	OH	OR <sub>1</sub>	-	-	-	-	-	-
Baicalein	-	-	-	OH	OH	OH	-	-	-	-	-	-
Chrysin	-	-	-	OH	-	OH	-	-	-	-	-	-
Luteolin	-	-	-	OH	-	OH	-	-	OH	OH	-	-
Luteolin7-glucoside	-	-	-	OH	-	OR <sub>2</sub>	-	-	OH	OH	-	-
5-hydroxy-7,4'-dimethoxyflavone	-	-	-	OH	-	OCH <sub>3</sub>	-	-	-	OCH <sub>3</sub>	-	-
Isoflavones												
6,8-diprenylgenistein	-	-	-	OH	R <sub>3</sub>	OH	R <sub>3</sub>	-	-	OH	-	-
Sophoraisoflavone A	-	-	-	OH	-	OH	-	*	*	OH	-	-
Flavonol and their glycosides												
Galangin	-	OH	-	OH	-	OH	-	-	-	-	-	-
Kaempferol	-	OH	-	OH	-	OH	-	-	-	OH	-	-
Myricetin	-	OH	-	OH	-	OH	-	-	OH	OH	OH	-
Morin	-	OH	-	-	-	OH	-	OH	-	OH	-	-
Quercetagenin-7arabinosyl-galactoside	-	OH	-	OH	OH	OR <sub>4</sub>	-	-	OH	OH	-	-
Quercetin	-	OH	-	OH	-	OH	-	-	OH	OH	-	-
Rutin	-	OR <sub>5</sub>	-	OH	-	OH	-	-	OH	OH	-	-
Flavan-3-ols												
Catechin	-	OH	OH	-	-	OH	-	-	OH	-	OH	-
Epicatechin gallate	-	R <sub>6</sub>	-	OH	-	OH	-	-	OH	OH	-	-
Flavanon-3-ols												
Dihydrofisetin	-	OH	-	-	-	OH	-	-	OH	OH	-	-
Dihydroquercetin	-	OH	-	OH	-	OH	-	-	OH	OH	-	-
Flavanones and their glycosides												
Naringenin	-	-	-	OH	-	OH	-	-	-	OH	-	-
Naringin	-	-	-	OH	-	OR <sub>5</sub>	-	-	-	OH	-	-
Pinoembrin	-	-	-	OH	-	OH	-	-	-	-	-	-
Sophoraflavanone G	-	-	-	OH	-	OH	R <sub>7</sub>	OH	-	OH	-	-
3-Methylene flavanone	-	CH <sub>2</sub>	-	-	-	-	-	-	-	-	-	-
5,7,4'-Trihydroxy-8-methyl-6-(3-methyl-[2-butenyl])-(2s)-flavanone	-	-	-	OH	R <sub>3</sub>	OH	CH <sub>3</sub>	-	-	OH	-	-
Flavan-3,4-diols and anthocyanidins												
Leucocyanidin	-	OH	OH	OH	-	OH	-	-	OH	OH	-	-
Pelargonidin chloride	-	Cl	-	OH	-	OH	-	-	-	OH	-	-
Flavan												
7-Hydroxy-3',4'-(methylenedioxy)flavan	-	-	-	-	-	OH	-	-	#	#	-	-

-:no substitution; R<sub>1</sub>:Glucuronic acid; R<sub>2</sub>:Glucose; R<sub>3</sub>:prenyl group; R<sub>4</sub>:arabinose-galactose; R<sub>5</sub>:rhamnose-glucose; R<sub>6</sub>:gallic acid; R<sub>7</sub>: lavandulyl; \*:pyran ring between position 2'and3'; #:O-CH<sub>2</sub>-O between positions 3'and 4'.

## I-ب\_ الدراسة الكيميائية للفلافونيدات :

### ب\_1- الاستخلاص :

قبل الشروع في عملية الاستخلاص يشترط تجفيف النبتة جيدا في أماكن خاصة تسمح بالتهوية وبعيدا عن أشعة الشمس والرطوبة، تفاديا للتفاعلات الإنزيمية التي قد تحدث تغيرات على المركبات المستخلصة . وفي هذا الن وع من المركبات الفينولية يستحب الاستخلاص بمحاليل كحولية، كالميثانول والإيثانول مع إضافة الماء بنسب 20 إلى 50% [1، 4، 93] بعد التركيز والتخلص من الكحول المستعمل، يعتمد إلى استخلاص انتقائي من نوع سائل /سائل، باستعمال مجموعة من المذيبات كإيثر البترول لنزع الكلوروفيل والليبيدات، وثنائي إيثيل إيثر (diethyl ether) لاستخلاص الأجليكونات الحرة [4] وأكثر المذيبات استعمالا أسيتات الإيثيل (AcOEt) لاستخلاص الأجليكونات عديدة الهيدروكسيل والجليكوزيدات أحادية السكر كما يستعمل البيوتانول العادل (n-BuOH) في استخلاص الجليكوزيدات عديدة السكر.

### ب\_2- الفصل والتنقية :

يعتمد على التقنيات الكروماتوغرافية بمختلف أنواعها في فصل وتنقية المركبات الفلافونيدية، فتعتبر كروماتوغرافيا العمود الطريقة الأنجع في فصل الكميات الكثيرة والأكثر تعقيدا، إذ تعتمد هذه الطريقة على الأطوار الثابتة : السليكا جل (Silicagel) والسيليلوز (Cellulose) ومتعدد الأميد، SC<sub>6</sub> (Polyamide, eg. Machry Nagel) الذي يعتبر الأفضل لكونه مناسباً لفصل جميع المركبات الفلافونيدية خاصة الجليكوزيدية منها وذلك لاحتوائه على الوظيفة الأميدية السامحة بتشكيل روابط هيدروجينية قوية مع الجاميع (OH) الهيدروكسيلية [94]، وتعتبر كروماتوغرافيا الورق التحضيرية (PC) الطريقة الأفضل في تحليل الكسور المحصل عليها من العمود الكروماتوغرافي، ومن أشهر المذيبات المستخدمة في هذه التقنية نجد :

S<sub>1</sub> : حمض الخل CH<sub>3</sub>-COOH بتركيز مختلفة.

S<sub>2</sub> : البيوتانول النظامي : حمض الخل : الماء (W:A:B) (4 : 1 : 5) (الطبقة العضوية).

بالإضافة إلى هذه الطرق يستعان أيضا بكروماتوغرافيا الطبقة الرقيقة (TLC) ذات دعامة

متعدد الأميد (DC<sub>6</sub>)، ومن أشهر الجمل المستخدمة في هذه التقنية نجد :

S<sub>3</sub> : 13.3.3.1 (أستيل استون- مثيل إيثيل سيتون- ميثانول- ماء).

S<sub>4</sub> : 4.3.3 (مثيل إيثيل سيتون- ميثانول- طولوين).

S<sub>5</sub> : 18.1.1 (ماء- حمض الخل- ميثانول).

S<sub>6</sub> : 60.28.7.7 (مثيل إيثيل سيتون- ميثانول- إيثير البترول- طولوين).

يتم تنقية المركبات المفصولة بالاستعانة بعمود صغير من متعدد الأميد (SC<sub>6</sub>) بلستعمال طوليان كمذيب وإغناؤه بالقليل من الميثانول، ثم عمود من Séphadex LH 20 باستخدام الميثانول كمصلص.

ب-3- التعيين البنيوي للفلافونيدات :

ب-3-1- ثابت الانحباس :

Rf هو قيمة مميزة للمركب في شروط كروماتوغرافية معينة (درجة الحرارة، طبيعة المادة الدامصة، والمصلص). وتتأثر هذه القيمة بالمستبدلات ومواقعها على الجزئي . فمن خلال Rf يمكن التمييز بين الجليكوزيدات أحادية، ثنائية، متعددة السكر [94] وبين الأجليكونات البسيطة، ومتعددة الهيدروكسيل أو متعددة الميتوكسيل.

كما أن لون المركب تحت الأشعة فوق البنفسجية (UV) يعطي معلومات أولية عن البنية الكيميائية للمركب.

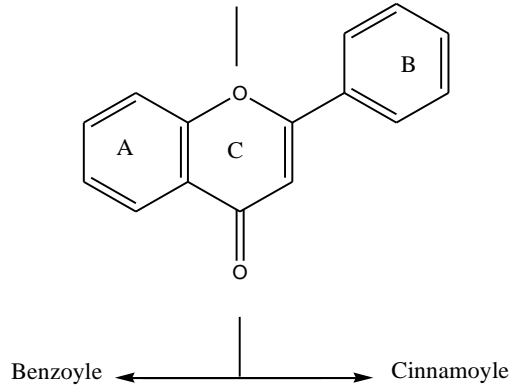
ب-3-2- مطيافية الأشعة فوق البنفسجية (UV) :

تعتبر مطيافية الأشعة فوق البنفسجية من أهم الوسائل المستعملة للتعرف على البنى الكيميائية للفلافونيدات، نظرا للمعلومات الوافية التي تقدمها ولكونها لا تتطلب كمية كبيرة من المركب.

ب-3-2-1- طيف الامتصاص في الوسط الميثانولي :

يعطي طيف الفلافونيدات الحاوية على مجموعة كربونيل في C<sub>4</sub> (فلافون، فلافونول)، عصبتين I و II [95] تبعا للشكل الموالي :





**العصابة I :** ذات قيمة امتصاص عظمى في حدود (300-400 nm)، وهي راجعة إلى امتصاص الصورة Cinnamoyle الناتج عن ترافق مجموعة الكربونيل C<sub>4</sub> مع الرابطة الثنائية والحلقة B. إذ تسمح بتمييز الفلافونول عن الفلافون وتعطي معلومات عن التغيرات البنيوية للحلقتين B و C [95].

**العصابة II :** ذات قيمة امتصاص عظمى في حدود (250-280 nm)، وهي ناتجة عن الشكل Benzoyle الناجم عن ترافق مجموعة الكربونيل مع الحلقة العطرية A. وهذا ما يمكننا من الكشف عن الهياكل الفلافونيدية المختلفة.

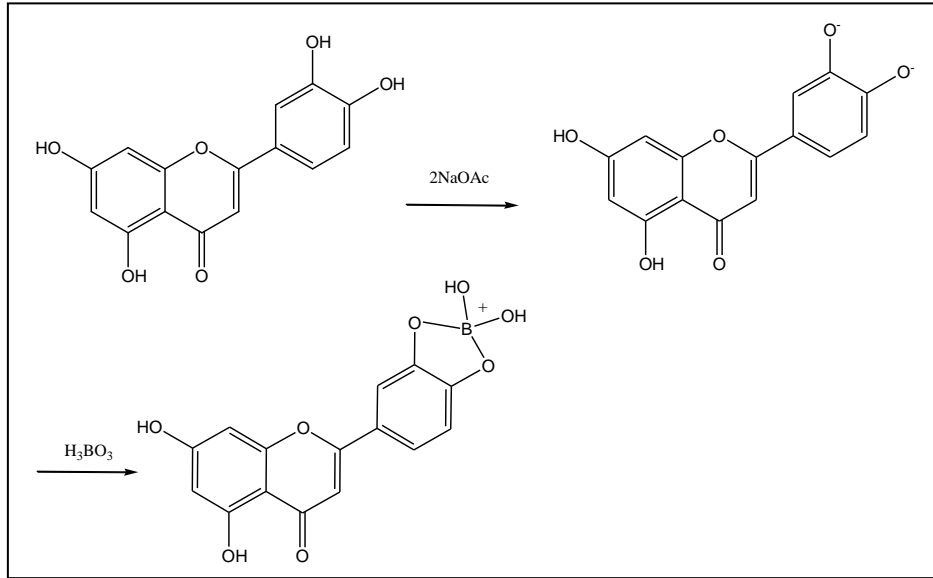
يعتمد مكان الحزمتين على عدد وموقع مجموعات الهيدروكسيل البديلة، فمن الملاحظ أنه كلما زادت مجاميع الهيدروكسيل، فإن حزمة الامتصاص تزداد إلى طول موجي أعلى "انزياح باتوكرومي". وعند استبدال مجموعات الهيدروكسيل بمجموعات ميتوكسيل، أو وحدات سكر تزاح حزمنا الامتصاص إلى طول موجي أقل "انزياح هيبسوكرومي" [2].

### ب-2-2-3. طيف الامتصاص في وجود الكواشف :

\* في وجود NaOH (NaOMe) : NaOH قاعدة قوية تؤين كل هيدروكسيلات الفلافونويد إذ تُحدِث انزياح Bathochrome للطيف يكون واضحاً على الحزمة I.

\* في وجود NaOAc : NaOAc أساس ضعيف مقارنة بـ NaOH فهي تؤين فقط الهيدروكسيلات الأكثر حامضية C<sub>7</sub>، C<sub>3</sub>، C<sub>4</sub>، ويعتبر NaOAc كاشفاً نوعياً لهيدروكسيل C<sub>7</sub>.

\* في وجود NaOAc+H<sub>3</sub>BO<sub>3</sub> : يستعمل هذا المحلول للكشف عن أورثو ثنائي الهيدروكسيل، إذ يشكل حمض البوريك في وجود خلاص الصوديوم معقدات مع الهيدروكسيلات الفينولية في الموضع أورثو حسب الشكل (3).

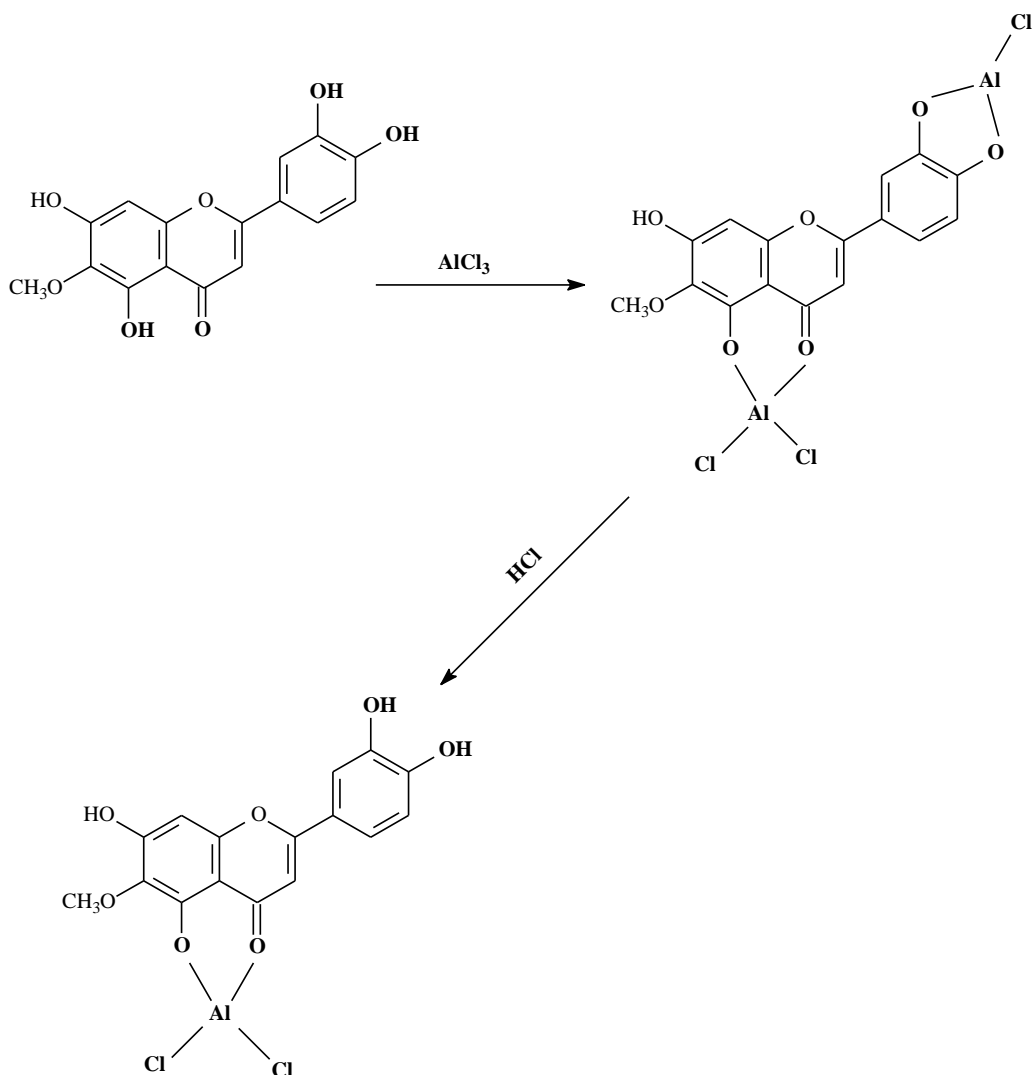


الشكل (3) : يوضح المعقد المتكوّن بين الفلافونويد ومحلول (NaOAc+H<sub>3</sub>BO<sub>3</sub>)

\* في وجود AlCl<sub>3</sub> ، AlCl<sub>3</sub>+HCl : يشكل كلوريد الألومنيوم معقدات ثابتة في الوسط الحمضي مع مجموعة الكربونيل، وهيدروكسيلاات المواقع 3 أو 5، ومعقدات غير ثابتة مع جملة أورثو ثنائي الهيدروكسيل مثل 3، 4 كما هو موضح في الشكل (4).

والجدول (3) يبيّن أهم الانزياحات الملاحظة بإضافة مجموعة من المتفاعلات على الحزمتين I

و II [94، 96، 97].



الشكل (4) : المعقدات الثابتة وغير الثابتة بين الفلافونيد و AlCl<sub>3</sub>

قبل وبعد إضافة HCl

الطريقة العملية: لتسجيل أطياف الأشعة فوق البنفسجية لمركب فلافونيدي، يتم قياس وتسجيل الطيف الميثانولي لكل مرحلة.

المرحلة 1 : بعد تسجيل طيف الإمتصاص في الميثانول يضاف لخلية المركب قطرات من NaOH بتركيز 0.5 عياري ثم يسجل الطيف مباشرة، وبعد مرور 5 دقائق يعاد تسجيل نفس الطيف.

المرحلة 2 : يعاد تحضير الخلية الحاوية على المركب، ويضاف إليه بعض القطرات من AlCl<sub>3</sub> بتركيز 1% في الميثانول، ثم يسجل طيف الإمتصاص بعدها تضاف قطرات من HCl (4 عياري) ثم يسجل الطيف .

المرحلة 3: تحضر خلية جديدة للمركب المدروس ويضاف لها NaOAc (الصلب) حتى التشبع ثم يسجل الطيف، لتضاف بعدها إلى نفس الخلية قطرات من حمض البوريك  $H_3BO_3$  المحضر في الماء بتركيز 1% ثم يسجل طيف الإمتصاص.

الجدول (3) : يوضح أهم الانزياحات الملاحظة بإضافة مجموعة من التفاعلات

التحليل الموجه	الإزاحة الملاحظة بـ (nm)		المفاعلات
	الحزمة II	الحزمة I	
فلافون فلافونول OR في الموضع 3	280-250	350-304	MeOH
	280-250	385-352	
	280-250	357-328	
إيزوفلافون	275-245	320 <sup>Ep</sup>	
OH في 4' OR في 4'، OH في 3		45+ إلى 65+	NaOMe (NaOH)
		1- استقرار الشدة الضوئية/MeOH 2- نقصان الشدة الضوئية/MeOH	
OH في 3، 4' أو Orthodi-OH على الحلقة A مثلاً 7، 6 أو 8، 7 أو Orthodi-OH على الحلقة B		استمرار النقص في الشدة الضوئية، طيف يتحلل مع الوقت	
Tri OH في 3، 4'، 3 أو Tetra OH في 3، 3'، 4'، 5'		استمرار النقص في شدة الامتصاص مع تفكك سريع للطيف	
OH في 7		عصابة جديدة بين 320-335	
OH في 7 مع ملاحظة أن هذا الانزياح يتراجع في وجود مستبدلات 6 أو 8	5+ إلى 20+		NaOAc
OR في 7	عدم وجود أي انزياح أو ظهور انزياح ضعيف		
Di OH في 7، 6 أو 8، 7 أو 4، 3 Tri OH في 7، 6، 5 أو 8، 7، 5 أو 4'، 3'، 3	طيف يتفكك بمرور الزمن		
Orthodi OH على الحلقة B		12+ إلى 36+	NaOAc + H <sub>3</sub> BO <sub>3</sub>
Orthodi OH على الحلقة A (6-7 أو 7-8) إيزوفلافون	+10 - 15		MeOH/ NaOAc + H <sub>3</sub> BO <sub>3</sub>
Orthodi OH على الحلقة B (فلافون) مع OH في 5		قمة وحيدة عند 420-430	AlCl <sub>3</sub>
Orthodi OH على الحلقة B (فلافونول) مع OH في 5		قمة وحيدة عند 440-460	

تابع للجدول (3)

التحليل الموجه	الإزاحة الملاحظة بـ (nm)		المفاعلات
	الحزمة II	الحزمة I	
5-OH مع مجموعة أكسجينية في 6		17+ إلى 20+	MeOH/ AlCl <sub>3</sub> +HCl
OH في 5 فلافون و OCH <sub>3</sub> في 3 فلافون		35+ إلى 55+	
OH في 3 مع أو عدم وجود OH في 5		50+ إلى 60+	
OH في 5 إيزوفلافون	+10-14		
Orthodi OH على الحلقة B		20- إلى 40- مع تنوء أو قمة من [360-350]	AlCl <sub>3</sub> / (AlCl <sub>3</sub> +HCl)
إمكانية وجود Orthodi OH على الحلقة A أكثر من Orthodi OH على الحلقة B أو Tri OH على الحلقة B		20- إلى 25-	

(+) : باتوكروم ؛ (-) : هيسوكروم ؛ / : بالنسبة ؛ Ep : تنوء

ب-3-3- مطيافية الرنين النووي المغناطيسي للبروتون <sup>1</sup>H N.M.R :

يعتمد التحليل الطيفي للرنين النووي المغناطيسي على الخواص المغناطيسية لأنوية بعض الذرات مثل الهيدروجين <sup>1</sup>H، الكربون <sup>13</sup>C، الفلور <sup>19</sup>F، الفوسفور <sup>31</sup>P. ويمثل <sup>1</sup>H N.M.R حوالي 80% من دراسات الرنين النووي المغناطيسي وذلك لما لهذه الأنوية من خواص مغناطيسية قوية وإنتشار واسع في الطبيعة.

ففي الرنين النووي المغناطيسي للبروتون توضع الجزيئات تحت تأثير مجال مغناطيسي خارجي، فيحدث انفصال لمستويات الطاقة الفردي الخاص بالحركة المغزلية لأنوية ذرات الهيدروجين إلى مستويين، ويزداد الفرق في الطاقة (δE) بين هذه المستويات بزيادة شدة المجال المغناطيسي الخارجي، كما أن هذا الفرق في الطاقة لكل نوع من أنوية الهيدروجين يتوقف على الظروف الإلكترونية المحيطة بكل نواة والتي تحدد بنوع الرابطة ونوع الذرات الأخرى المرتبطة بهذه النواة، فلأنوية ذرات الهيدروجين تمتص طاقة الأشعة الكهرومغناطيسية على ترددات مختلفة وهو ما يعبر عنه بالإنتقال

الكيميائي (δ)، فتظهر عدة إمتصاصات يتوقف عددها على عدد أنوية الهيدروجين المختلفة في الجزئ .

كثافة الإمتصاص لكل نوع من الهيدروجين تتناسب مع عدد الذرات الموجودة في هذا النوع . و بالتالي يمكن تحديد العدد النسبي لذرات الهيدروجين في الجزئ وكذا عددها في كل مجموعة . يلاحظ أيضا حدوث إنقسامات داخلية في كل إمتصاص رئيسي ويتوقف عدد هذه الانقسامات على عدد ذرات الهيدروجين المجاورة، والفرق في الطاقة بين هذه الانقسامات بوحدة التردد يسمى ثابت التزاج (J) [98].

تستعمل هذه التقنية في التحليل الكيفي للفلافونيدات لمعرفة درجة تأكسد الحلقات A، B، C، وكذا عدد ومواقع المجموعات الميتوكسيلية وعدد وطبيعة السكريات الموجودة في المركب . ولتحقيق هذه التقنية تستخدم الكثير من المذيبات أشهرها :  $CDCl_3$  ديوتروكلوروفورم الذي يعطي نتائج جيدة مع الفلافونيدات غير القطبية، و  $DMSO-d_6$  (Hexadeuterodimethyl sulfoxide) الذي يستخدم في حالة الفلافونيدات الجليكوزيدية خاصة وكذا الأجليكونات [2، 99]، تظهر بروتونات الفلافونيدات في المجال (0-9 ppm)، وتوزع في مجموعات محددة، وفيما يلي جداول (4-6) تبين الانزياح الكيميائي لمختلف بروتونات الحلقتين A، B [96، 100].

#### الجدول (4) : الانزياح الكيميائي لبروتونات الحلقة A

H-8	H-7	H-6	H-5	نوع الفلافونيد
d(J=2.5 Hz) 6.5 –6.3 ppm	-	d(J=2.5 Hz) 6.2 –6.0 ppm	-	5,7-OH
d(J=2.5 Hz) 6.4 –6.1 ppm	-	d(J=2.5 Hz) 6.1 –5.9 ppm	-	5-OH,7-OR (R=Glc)
6.3 ppm (S)	-	-	-	5,6,7-OR (R=H, Glc)
-	-	6.3 ppm (S)	-	5,7,8-OR (R=Glc,H)
d(J=2.5 Hz) 7 –6.7 ppm	-	d,d(9 Hz, 2.5 Hz) 7.1 –6.7 ppm	d(J=9 Hz) 8,0 ppm	7-OR (R=H, Glc)

الجدول (5) : الانزياح الكيميائي لبروتونات الحلقة B في حالة  $C_4' = OR$

H-6' , H2' d(J = 8.5 Hz)	H-5' , H3' d(J = 8.5 Hz)	الفلافونيد
7.,9 – 7.7 ppm	7.1 – 6.5 ppm	فلافون
8.1 – 7.9 ppm	7.1 – 6.5 ppm	فلافونول

الجدول (6) : الإزاحة الكيميائية للبروتونات 2'، 6' للحلقة B

H-6' dd(J= 8.5; 2.5 Hz)	H2' d(J = 2.5 Hz)	نوع الفلافونيد
7.5 – 7.3 ppm	7,3 - 7,2 ppm	Flavone (3',4' OH; 3' OMe, 4' OH; 3'-OH, 4' OMe)
7.9 – 7.6 ppm	7,7 - 7,5 ppm	Flavonol (3',4' OH; 2'-OH, 4' OMe)
7.6 – 7.4 ppm	7,8 - 7,6 ppm	Flavonol (3',4' OH; 3' OMe, 4'-OH)

بروتونات الحلقة C :

يتأثر بروتون  $C_3$  في الفلافون بمسبديلات كلتا الحلقتين العطريتين، ويعطي إشارة أحادية في

المنطقة (6.2-6.4 ppm) تتداخل مع إشارة برتوني الحلقة A (H8, H6) [100].

يعطي بروتون  $C_2$  في الإيزوفلافون إشارة أحادية حادة في حدود 8-8.5 ppm [100].

بروتونات الميتوكسيل :

تظهر بروتونات الميتوكسيل في المجال 3.8-4.5 ppm [100].

بروتونات السكريات :

يمكن التعرف على نوع السكر من خلال بروتونه الأنوميري، ذو انزياح كيميائي يعتمد

أساسا على طبيعة الفلافونيد وموقع ونوع الرابطة بين السكر والأجليكون، والجدول (7) يعطي

قيم الانزياح الكيميائي للبروتون الأنوميري  $H_1''$  لبعض الفلافونيدات أحادية السكر.

الجدول (7) : يبين قيم الانزياح الكيميائي لـ  $H_1''$  لبعض الفلافونيدات أحادية السكر

$\delta H_1''$ ppm	الفلافونيد
5.2 – 4.8	7-O-glucosyl flavonol
6.0 – 5.7	3-O-glucosyl flavonol
5.3 – 5.1	7-O-rhamnosyl flavonol
5.1 – 5.0	3-O-rhamnosyl flavonol



يمكن التعرف على نوع الرابطة  $\alpha$  أو  $\beta$  بين السكر والأجليكون من خلال ثابت الاقتران لـ " $H_1$ "، " $H_2$ " حيث يمتاز الجليكوز بالرابطة  $\beta$  ويظهر " $H_1$ " بإشارة ثنائية بثابت تزاوج ( $J=7$  Hz) ناتج عن تزاوج ثنائي محور ي (diaxial) مع " $H_2$ ". كما يمتاز الراموز برابطة قد تكون  $\alpha$  بإشارة ثنائية لـ " $H_1$ " بثابت تزاوج ( $J=2$  Hz) نتيجة الاقتران استوائي-استوائي. [96].

### ب-3-4- مطيافية الرنين النووي المغناطيسي للكربون $^{13}C$ N.M.R :

نظرا لإنخفاض طاقة الامتصاص للكربون  $^{13}C$  بالإضافة إلى نسبة وجوده في الطبيعة 1.1% فإن كثافة الإمتصاص الناتج عن  $^{13}C$  تكون حوالي 0.01% بالنسبة لإمتصاص البروتون، لذلك فإن معظم التقديرات الخاصة بـ  $^{13}C$  تجري باستخدام FTNMR(Fourier Transformation NMR) للتغلب على الحساسية المنخفضة للكربون، ومن ناحية أخرى فإنه لا يحدث ازدواج بين ذرة الكربون  $^{13}C$  و  $^{12}C$  أخرى لأن احتمال وجود ذرتي كربون  $^{13}C$  متجاورتين ضعيف جدا حوالي 1 لكل  $10^4$  ذرة، لكن في نفس الوقت يحدث ازدواج بين  $^{13}C$  و ذرات الهيدروجين المجاورة، وقد يصل مدى الإزدواج ليشمل أربع روابط كيميائية، فيكون الطيف المتحصل عليه معقدا للغاية. وللتغلب على هذا الإزدواج تستخدم طريقة إزالة الإزدواج Sping decoupling و ذلك بإشعاع العينة بحزم من أشعة الراديو، تحتوي على جميع الترددات الخاصة بأنوية البروتونات في العينة .

وتحت هذه الظروف فإن طيف الرنين النووي المغناطيسي لـ  $^{13}C$  يظهر في صورة إمتصاصات فودية، ويعبر كل امتصاص عن ذرة كربون واحدة في ظروف إلكترونية معينة. وباستخدام هذه التقنية يمكن الحصول على صورة واضحة عن الهيكل الكربوني العام للجزيء، كما يمكن الكشف عن بعض المجموعات الكيميائية مثل  $C=O$ ,  $OCH_3$ ,  $C=NR$  وغيرها [98].

### ب-3-5- مطيافية الرنين النووي المغناطيسي ثنائية البعد:

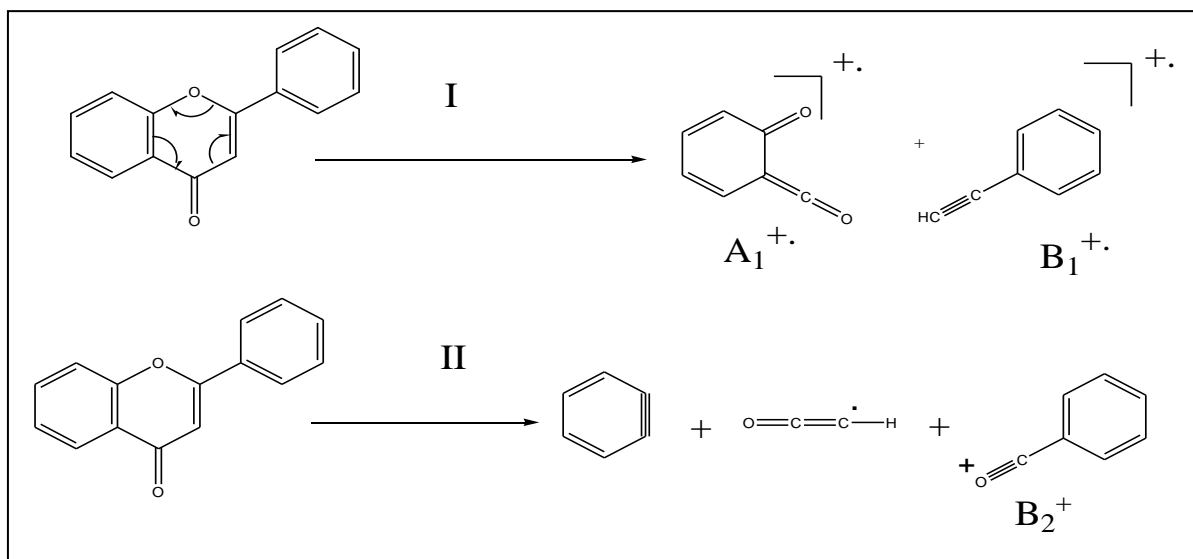
قد تعجز كل من مطيافية الرنين النووي المغناطيسي للبروتون  $^1H$  N.M.R و للكربون  $^{13}C$  N.M.R على تحديد موضع الإستبدال بالدقة اللازمة فنلجئ إلى مطيافية الرنين النووي المغناطيسي ثنائية البعد، التي تعطي تعلقات بين:

- أنويه متجانسة مثل  $^1H-^1H$  Cosy والتي تظهر نقاط تعلق بين البروتونات المتزاوجة فيما بينها أي المفصولة برابطتين أو ثلاث  $J^2, J^3$  .

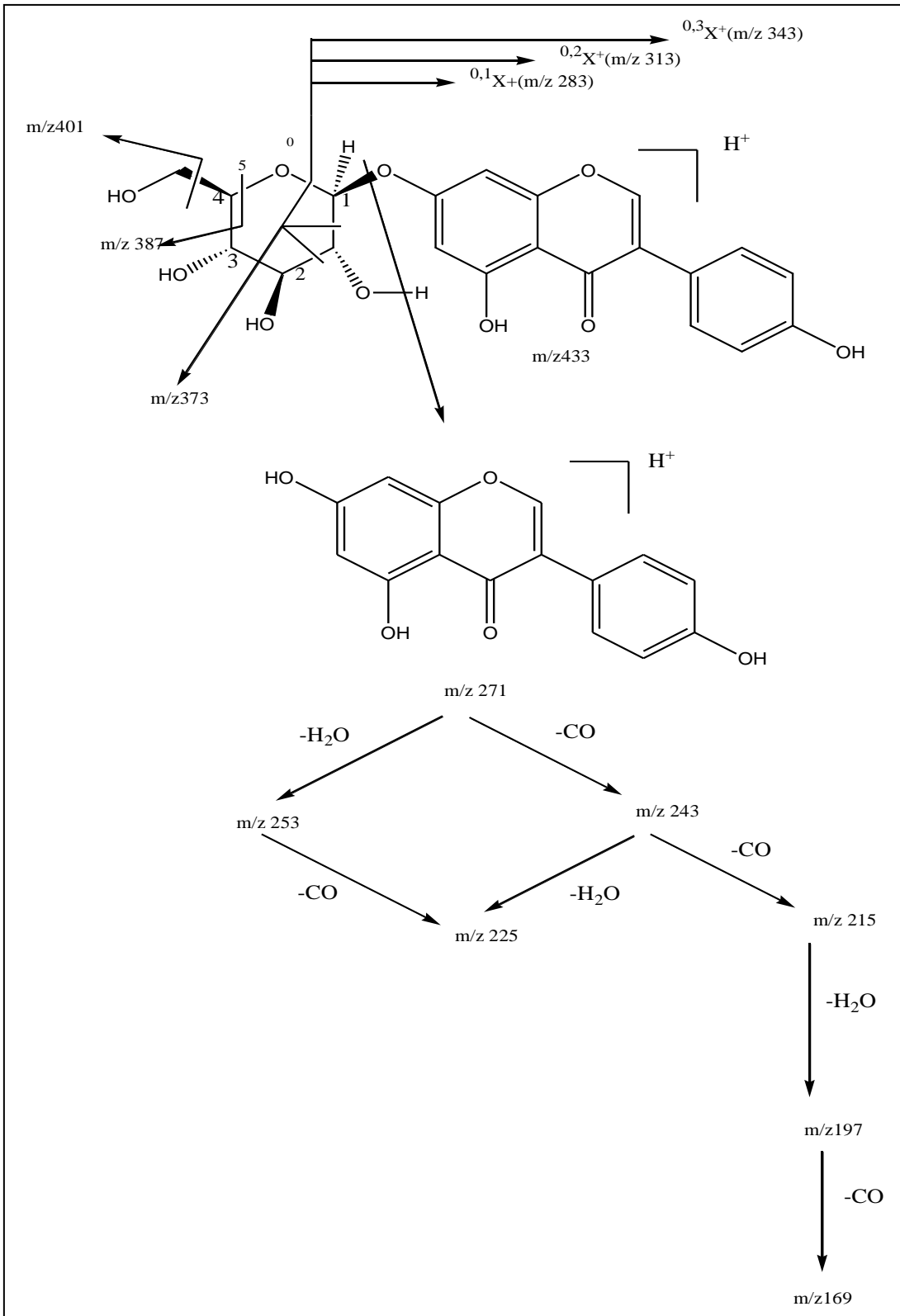
• أنوية غير متجانسة مثل HSQC والتي تعطي نقاط تعلق بين كل بروتون و الكربون الحامل له، ولكن هذه الأخيرة لا تسمح بمعرفة الكربونات الرباعية . فتستعمل تقنية HMBC التي تعطي تعلقات بعيدة المدى تصل إلى الكربونات الرباعية، فيتم تحديدها [98].

ب - 3 - 6 - **مطيافية الكتلة**: تقدم مطيافية الكتلة خدمة واسعة للتعرف على البنى الفلافونيدية، خاصة كونها لا تتطلب كمية كبيرة من المركب إذ يكفي جزء من ملغ، فمن خلالها يمكن معرفة الوزن الجزيئي وبالتالي معرفة الصيغة المحتملة للمركب الذي يبين نوعية المستبدلات ميتوكسيلية كانت أو هيدروكسيلية، كما تمكن قيم الشظايا من معرفة توزيع هذه المستبدلات على الحلقتين B و A. وتعتمد هذه التقنية على عدة طرق أهمها: طريقة القذف الإلكتروني (IE) [101] التي تكون صالحة خاصة مع الأجليكونات . فالشكل (5) يوضح الإنشطارات الواقعة على الحلقة C عبر الطريقتين I و II.

مع تطور مطيافية الكتلة ظهرت تقنيات جديدة، كتقنية الإلكتروسبراي Electro-spray، وتقنية القذف بالذرات المسرعة FAB، والتي تتميز بتأين المركبات السهلة الانكسار بالحرارة دون تسخين، كالجليكوزيدات مما يسمح بثباتها ودراستها [102، 103]، وتؤدي هاتان التقنيتان إلى تكوين أيونات شبه جزيئية مثل  $(M+Na)^+$ ،  $(M+Ca)^+$ ،  $(M+H)^+$ ،  $(M-H)^-$ .... فالشكل (6) يوضح تقنية تشظية المركب genistein 7-O-β-D-glucose بإستعمال طريقة  $(Es^+)$  [104]



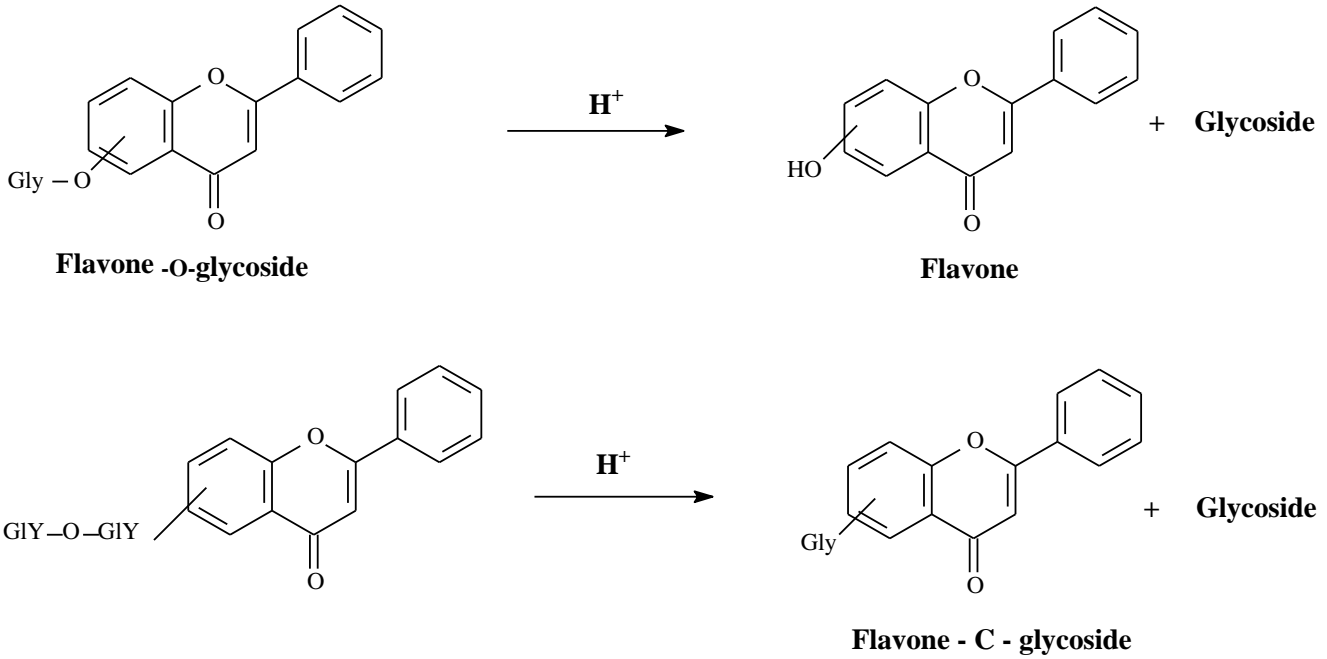
الشكل (5): الإنشطارات الواقعة على الحلقة C عبر الطريقتين I و II.



الشكل (6) : أهم الانشطارات الملاحظة على *genistein 7-O-β-D-glucoside*

ب-3-7-الإماهة الحمضية :

بالإضافة إلى التقنيات السابقة يمكن الاستعانة بالتميه الحمضي للتعرف على عدد ونوع السكريات الموجودة في المركبات الجليكوزيدية إذ تعمل هذه التقنية على تحطيم الرابطة (كربون-أكسجين) الجامعة بين السكر والأجليكون . والشكل (7) يبين الإماهة الحمضية للفلافونيدات الجليكوزيدية في حالة O-جليكوزيل و C-جليكوزيل [105].



الشكل (7) : الإماهة الحمضية للفلافونيدات الجليكوزيدية

تم عملية التمييه الحمضي في أنبوب اختبار بأخذ كمية قليلة من الجليكوزيد مذاب في حوالي (1 مل) من الميثانول ويضاف له (1 مل) من حمض كلور الماء (4N) HCl ثم يسخن في حمام مائي 100 م° لمدة 15 إلى 120 دقيقة.

بعد تبريد الأنبوب يعمد إلى استخلاص من نوع سائل /سائل بدءاً بإيثير الإيثيل (éthylic ether) بعد الرج الجيد يترك الأنبوب للراحة لتفصل بعدها الطبقة العضوية عن المائية، تكرر العملية مرة أخرى مع أسيتات الإيثيل (éthyl acétate) ثم البيوتانول العادي (n-butanol).

تركز الطبقة العضوية الحاوية على الأجليكون الذي يمكن التعرف عليه بتسجيل طيف (UV) وكذا بإجراء كروماتوغرافي (TLC) مع شواهد أجليكونية، أما الجزء السكري من الجليكوزيد فيبقى مذاباً في الطبقة المائية التي يتم تجفيفها ثم يعاد غسلها بالماء لتجفف من جديد تكرر هذه العملية عدة مرات للتخلص من HCl وأخيراً تغسل بالميثانول للتخلص من آثار الطبقة العضوية ثم يعاد إذابتها في الماء لتكون جاهزة للتحليل، وللتعرف على نوع السكر المنفصل يعمد إلى تحضير ألواح كروماتوغرافية من silica gel 60F<sub>254</sub> ترش بمحلول (0,2M) NaH<sub>2</sub>PO<sub>4</sub> تترك لتجف في الهواء ثم توضع في فرن تحت درجة حرارة 100 م° لمدة ساعة كاملة.

بعدها توضع نقطة من الطبقة المائية الحاوية على الجزء السكري بالموازاة مع بعض الشواهد السكرية المعروفة، يغمس اللوح الكروماتوغرافي في المملص : أستون : ماء (90 : 10)، بعد هجرة البقع السكرية يستخرج اللوح الكروماتوغرافي ليحجف في الهواء لمدة ساعة بعدها يرش بكاشف مالونات الأنيلين ويسخن عند 100° لمدة 5 دقائق حيث تبدأ بقع السكريات بالظهور بلون داكن وتأخذ اللون الأصفر تحت (UV). والجدول (8) يبين قيم Rf لبعض السكريات الشائعة [94].

#### الجدول (8) : قيم Rf لبعض السكريات الشائعة

السكريات الشواهد	Rf
α(L) rhamnose	0,88
D(+)-xylose	0,79
L(+)-arabinose	0,66
b-D(+)-glucose	0,53
D(+)-galactose	0,33

## المراجع

- [1] Ribereau-Gayou, J.B. (1968). The phenolic compounds of vegetals, Dundo, Paris.
- [2] El hazimi, H. (1995). Natural product, 149-190.
- [3] Guignard, J.L., Cosson, L., henzy, M.J. (1985). Abrégé de phytochimie, Paris, New york, Barcelone.
- [4] Bruneton, J. (1999). Pharmacognosie phytochimie plantes médicinales, ed. 3, lavoisier, Paris.
- [5] Eyton, W.B., Ollis, W.D., Sutherland, I.O., Gottlieb, O.R., Tavira Magalhaes, M. (1965). Proc. Tetrahedron, 21, 2683.
- [6] Reinsch, H., Repert. (1842). Pharm. 26, 12-31. Reinsch, H., Repert. (1842). Pharm. 28, 18-25.
- [7] Andersen, M.Ø. (2006). In Flavonoids, chemistry, Biochemistry and Application, Andersen, M.Ø. and Markham, K. RCRC Press, Boca raton, pp.1129-1197.
- [8] De Laire, G., Tiemann, F. (1893). Iridin, the glucoside of the iris root, J. Am. Chem. Soc. 15, 400-411.
- [9] Lapčič, O. (2007). Isoflavonoids in non-leguminous taxa: Ararity or a rule?, Phytochemistry, 68, 2909-2916.
- [10] Ingham, J.L. (1983). Prog. Chem. Org. Nat. Prod. 43, 1-266.
- [11] Ilyas, M., Parveen, M. and Khan, M.S. (1994). J. Chem. Res. (M), 601-617.
- [12] Shafiullah, P. M., Kamil, M. and Ilyas, M. (1995). Fitoterapia, 66, 439-441.
- [13] Veitch N.C. (2007). Isoflavonoids of the leguminosae, Nat. Prod. Rep. 24, 417-464.
- [14] Dixon, R.A. (1999). In Comprehensive Natural Products Chemistry, ed. Barton, D., Nakanishi, K. and Meth-Cohn, Elsevier, O. Amsterdam, vol. 1, pp.773-823 .
- [15] Aoki, T., Akashi, T. and Ayabe, S.I. (2000) J. Plant Res. 113, 475-488.
- [16] Dixon, R.A. and Steele, C.L. (1999). Trends Plant , Sci. 4, 394-400.
- [17] Mann, J. (1987). Secondary metabolism, ed. 2, Clarendon press, Oxford.
- [18] Cronquist, A. (1988). Anintegrated System of Classification of Flawring Plants, 2<sup>nd</sup> ed. New york, Botanical Garden.
- [19] Thorne, R.F. (1992). Classification and Geography of Flawring Plants, Bot. Rev. 58, 225-348.
- [20] Harbone, J.B. (1973). In Phytochemistry, Lawrence, P.L.ed. vol. 2.
- [21] Wollenweber, E. and Dietz, V.H. (1980). Biochem. Syst. Eco. 8,21.
- [22] Havsteen, B. (1983). Flavonoids, a class of natural products of high pharmacological potency. Biochem .Pharmacol, 32, 1141-1148.
- [23] Tereschuk, M.L., Riera, M.V., Castro, G.R. and Abdala, L.R. (1997). Antimicrobial activity of flavonoids from leaves of *Tagetes minuta*, J. Ethnopharmacol , 56, 227-232.
- [24] Tsao, T.F., Newman, M.G., Kwok, Y.Y. and Horikoshi ,A.K. (1982). Effect of Chinese and western antimicrobial agents on selected oral bacteria, J. Dent. Res. 61, 1103-1106.
- [25] Grange, J.M. and Davey, R.W. (1990). Antibacterial properties of propolis (bee glue). J. R. Soc. Med. 83, 159-160.
- [26] Bosio, K. Avanzini, C., D'Avolio, A., Ozino , O. and Savoia, D. (2000). In vitro activity of propolis against *Streptococcus pyogenes*, Lett. Appl. Microbiol, 31, 174-177.

- [27] Hegazi, A.G., Abd El Hady, F.K. and Abd Allah, F.A. (2000). Chemical composition and antimicrobial activity of European propolis, *Z. Naturforsch*, 55, 70–75.
- [28] Pepeljnjak, S., Jalsenjak, I. and Maysinger, D. (1982). Growth inhibition of *Bacillus subtilis* and composition of various propolis extracts, *Pharmazie*, 37, 864–865.
- [29] Dall'Agno, R., Ferraz, A. and Bernardi, A.P. et al. (2003). Antimicrobial activity of some *Hypericum* species, *Phytomedicine*, 10, 511–516.
- [30] El-Abyad, M.S., Morsi, N.M., Zaki, D.A. and Shaaban, M.T. (1990). Preliminary screening of some Egyptian weeds for antimicrobial activity, *Microbios*, 62, 47–57.
- [31] Khanna, P., Sharma, O.P. and Sehgal, M. et al. (1980). Antimicrobial principles from tissue culture of some plant species, *Indian, J. Pharm. Sci.* 42, 113–117.
- [32] Palacios, P., Gutkind, G., Rondina, R.V. De torres, R. and Coussio, J.D. (1983). Genus *Baccharis*, II. Antimicrobial activity of *B. crispa* and *B. notoserigila*, *Planta, Med.* 49, 128.
- [33] Oksuz, S., Ayyildiz, H. and Johansson, C. (1984). 6-Methoxylated and C-glycosyl flavonoids from *Centaurea* species, *J. Nat. Prod.* 47, 902–903.
- [34] Ohemeng, K.A., Schwender, C.F., Fu, K.P. and Barrett, J.F. (1993). DNA gyrase inhibitory and antibacterial activity of some flavones (1), *Bioorg. Med. Chem. Lett.* 3, 225–230.
- [35] Bashir, A.K., Abdalla, A.A., Wasfi, I.A., Hassan, E.S., Amiri, M.H. and Crabb, T.A. (1994). Flavonoids of *Limonium axillare*, *Int. J. Pharmacogn.* 32, 366–372.
- [36] Aljancic, I., Vajs, V. and Menkovic, N. et al. (1999). Flavones and sesquiterpene lactones from *Achillea atrata* subsp. *Multifida*, antimicrobial activity, *J. Nat. Prod.* 62, 909–911.
- [37] Basile, A., Giordano, S., Lopez-Saez, J.A. and Cobianchi, R.C. (1999). Antibacterial activity of pure flavonoids isolated from mosses, *Phytochemistry*, 52, 1479–1482.
- [38] Basile, A., Sorbo, S. and Giordano, S. et al. (2000). Antibacterial and allelopathic activity of extract from *Castanea sativa* leaves, *Fitoterapia*, 71, 110–116.
- [39] Sato, Y., Suzaki, S., Nishikawa, T., Kihara, M., Shibata, H. and Higuti, T. (2000). Phytochemical flavones isolated from *Scutellaria barbata* and antibacterial activity against methicillin-resistant *Staphylococcus aureus*, *J. Ethnopharmacol.* 72, 483–488.
- [40] Afolayan, A.J. and Meyer, J.J. (1997). The antimicrobial activity of 3,5,7-trihydroxyflavone isolated from the shoots of *Helichrysum aureonitens*, *J. Ethnopharmacol.* 57, 177–181.
- [41] Nishino, C., Enoki, N., Tawata, S., Mori, A., Kobayashi, K. and Fukushima, M. (1987). Antibacterial activity of flavonoids against *Staphylococcus epidermidis*, a skin bacterium, *Agric. Biol. Chem.* 51, 139–143.
- [42] Pepeljnjak, S. and Kosalec, I. (2004). Galangin expresses bactericidal activity against multiple-resistant bacteria, MRSA, *Enterococcus* spp. and *Pseudomonas aeruginosa*, *FEMS Microbiol. Lett.* 240, 111–116.
- [43] Fukui, H., Goto, K. and Tabata, M. (1988). Two antimicrobial flavanones from the leaves of *Glycyrrhiza glabra*, *Chem. Pharm. Bull. (Tokyo)* 36, 4174–4176.
- [44] Hufford, C.D. and Lasswell, W.L. (1978). Antimicrobial activities of constituents of *Uvaria chamae*, *Lloydia*. 41, 156–160.
- [45] Bae, E.A., Han, M.J. and Kim, D.H. (1999). In vitro anti-*Helicobacter pylori* activity of some flavonoids and their metabolites, *Planta. Med.* 65, 442–443.

- [46] Cottiglia, F., Loy, G. and Garau, D. et al. (2001). Antimicrobial evaluation of coumarins and flavonoids from the stems of *Daphne gnidium* L, *Phytomedicine*, 8, 302–305.
- [47] Sakagami, Y., Mimura, M. and Kajimura, K. et al. (1998). Anti-MRSA activity of sophoraflavanone G and synergism with other antibacterial agents, *Lett. Appl. Microbiol.* 27, 98–100.
- [48] Rauha, J.P., Remes, S. and Heinonen, M. et al. (2000). Antimicrobial effects of Finnish plant extracts containing flavonoids and other phenolic compounds. *Int. J. Food. Microbiol.* 56, 3–12.
- [49] Stapleton, P.D., Shah, S. and Hamilton-Miller, J.M.T. et al. (2004). Anti-*Staphylococcus aureus* activity and oxacillin resistance modulating capacity of 3-O-acyl-catechins, *Int. J. Antimicrob Agents*, 24, 374–380.
- [50] Arima, H. and Danno, G. (2002). Isolation of antimicrobial compounds from guava (*Psidium guajava* L.) and their structural elucidation, *Biosci. Biotechnol. Biochem.* 66, 1727–1730.
- [51] El-Lakany, A.M., Abdel-Kader, M.S., Hammada, H.M., Ghazy, N.M. and Mahmoud, Z.F. (1997). A new flavone glycoside with antimicrobial activity from *Carduus pycnocephalus* L, *Pharmazie*, 52, 78–79.
- [52] Verma, D.K., Singh, S.K. and Tripathi, V. (1997). A rare antibacterial flavone glucoside from *Lantana camara*, *Indian. Drugs.* 34, 32–35.
- [53] Chacha, M., Bojase-Moleta, G. and Majinda, R.R. (2005). Antimicrobial and radical scavenging flavonoids from the stem wood of *Erythrina latissima*, *Phytochemistry*, 66, 99–104.
- [54] Deng, Y., Lee, J.P. Tianasoa-Ramamonjy, M. et al. (2000). New antimicrobial flavanones from *Physena madagascariensis*, *J. Nat. Prod.* 63, 1082–1089.
- [55] Osawa, K., Yasuda, H., Maruyama, T., Morita, H., Takeya, K. and Itokawa, H. (1992). Isoflavanones from the heartwood of *Swartzia polyphylla* and their antibacterial activity against cariogenic bacteria, *Chem. Pharm. Bull. (Tokyo)* 40, 2970–2974.
- [56] Hamilton-Miller, J.M.T. and Shah, S. (2000). Activity of the tea component epicatechin gallate and analogues against methicillin-resistant *Staphylococcus aureus*, *Antimicrob. J. Chemother.* 46, 852–853.
- [57] Stapleton, P.D., Shah, S., Anderson, J.C., Hara, Y., Hamilton-Miller, J.M.T. and Taylor, P.W. (2004). Modulation of beta-lactam resistance in *Staphylococcus aureus* by catechins and Gallates, *Int. J. Antimicrob. Agents*, 23, 462–467.
- [58] Arima, H., Ashida, H. and Danno, G. (2002). Rutin-enhanced antibacterial activities of flavonoids against *Bacillus cereus* and *Salmonella enteritidis*, *Biosci. Biotechnol. Biochem.* 66, 1009–1014.
- [59] Bozdog-Dundar, O., Tuncbilek, M., Altanlar, N. and Ertan, R. (2003). Synthesis and antimicrobial activity of flavone-3-carboxaldehyde oxime ether derivatives, *Arzneimittelforschung*, 53, 522–525.
- [60] Wang, S.X., Zhang, F.J., Feng, Q.P. and Li, Y.L. (1992). Synthesis, characterization, and antibacterial activity of transition metal complexes with 5-hydroxy-7,4-dimethoxyflavone, *J. Inorg. Biochem.* 46, 251–257.
- [61] Ward, F.E., Garling, D.L., Buckler, R.T., Lawler, D.M. and Cummings, D.P. (1981). Antimicrobial 3-methylene flavanones, *J. Med. Chem.* 24, 1073–1077.
- [62] Vijaya, K. and Ananthan, S. (1996). Therapeutic efficacy of medicinal plants against experimentally induced shigellosis in guinea pigs, *Indian. J. Pharm. Sci.* 58, 191–193.



- [63] Dastidar, S.G., Manna, A. and Kumar, K.A. et al. (2004). Studies on the antibacterial potentiality of isoflavones, *Int .J. Antimicrob. Agents.* 23, 99–102.
- [64] Harborne, J.B. and Williams, C.A. (2000). Advances in flavonoid research since 1992, *Phytochemistry*, 55, 481–504.
- [65] Wachter, G.A., Hoffmann, J.J., Furbacher, T., Blake, M.E. and Timmermann, B.N. (1999). Antibacterial and antifungal flavanones from *Eysenhardtia texana*, *Phytochemistry*, 52, 1469–1471.
- [66] Valsaraj, R., Pushpangadan, P. and Smitt, U.W. et al. (1997). New anti-HIV-1, antimalarial, and antifungal compounds from *Terminalia bellerica*, *J .Nat .Prod .* 60, 739–742.
- [67] Afolayan, A.J. and Meyer, J.J. (1997). The antimicrobial activity of 3,5,7-trihydroxyflavone isolated from the shoots of *Helichrysum aureonitens*, *J. Ethnopharmacol.* 57, 177–181.
- [68] Ono, K., Nakane, H., Fukushima ,M., Chermann, J.C. and Barre-Sinoussi, F. (1989). Inhibition of reverse transcriptase activity by a flavonoid compound, 5,6,7- Trihydroxyflavone, *Biochem. Biophys .Res .Commun.* 160, 982–987.
- [69] Lin, Y.M., Anderson, H. and Flavin, M.T. et al. (1997). *In vitro* anti-HIV activity of biflavonoids isolated from *Rhus succedanea* and *Garcinia multiflora*, *J. Nat. Prod.* 60, 884–888.
- [70] Critchfield, J.W., Butera, S.T. and Folks, T.M. (1996). Inhibition of HIV activation in latently infected cells by flavonoid compounds, *AIDS. Res. Hum .Retroviruses*, 12, 39–46.
- [71] Hu, C.Q., Chen, K., Shi, Q., Kilkuskie, R.E., Cheng, Y.C. and Lee, K.H. (1994) Anti-AIDS agents, 10. Acacetin-7-O-beta-D-galactopyranoside, an anti-HIV principle from *Chrysanthemum morifolium* and a structure–activity correlation with some related Flavonoids, *J. Nat. Prod.* 57, 42–51.
- [72] Middleton, J.E. and Chithan, K. ( 1993). The impact of plant flavonoids on mammalian biology: implications for immunity, inflammation and cancer. In, Harborne, J.B. Editor, *The flavonoids, advances in research since (1986)*. London, UK. Chapman and Hall.
- [73] Selway, J.W.T. (1986). Antiviral activity of flavones and flavans. In, Cody, V. Middleton, E. Harborne, J.B. editors. *Plant flavonoids in biology and medicine, biochemical, pharmacological, and structure–activity relationships*, New York, NY, Alan R. Liss. Inc.
- [74] Cheng, P.C. and Wong, G. (1996). Honey bee propolis, prospects in medicine, *Bee. World.* 77, 8–15.
- [75] Meyer, J.J., Afolayan , A.J., Taylor, M.B. and Erasmus, D. (1997). Antiviral activity of galangin isolated from the aerial parts of *Helichrysum aureonitens*, *J. Ethnopharmacol.* 56, 165–169.
- [76] Amoros, M., Simoes, C.M., Girre, L., Sauvager, F. and Cormier, M. ( 1992). Synergistic effect of flavones and flavonols against herpes simplex virus type 1 in cell culture, Comparison with the antiviral activity of propolis, *J. Nat. Prod .* 55, 1732–1740.
- [77] Mucsi, I., Gyulai, Z. and Beladi, I. (1992). Combined effects of flavonoids and acyclovir against herpesviruses in cell cultures, *Acta. Microbiol. Hung.* 39, 137–147.
- [78] Wagner, H. Wirer, M., Bauer, R. (1986). *Planta Med.* 184-187.
- [79] Pietta, P.G. (2000). Flavonoids as antioxidants, *J. Nat. Prod.* 63, 1035-1042.
- [80] Sim, G.S., Lee, B.C., Cho, H.S. et al. (2007). Structure activity relationship of Antioxidative propriety of flavonoids and inhibitory effect on matrix

- metalloproteinase activity in UVA-Irradiated human dermal fibroblast, Arch. Pharm. Res. Vol.30, No.3, 290-298.
- [81] Bors, W., Heller, W., Michel, C. and Saran, M. (1990). Flavonoids as antioxidants, determination of radical scavenging efficiencies methods enzymol, 186, 343-355.
- [82] Rice-Evans, C.A., Miller, N.J. and Paganga, G. (1996). Structure-antioxidant activity relationship of flavonoids and phenolic acids, Free Radi. Biol. Med. 20, 933-956.
- [83] VanAcker, S.A.B.E., van den Berg, D.J., Tromp, M.N.J.L., Griffioen, D.H.V., Bennekom, W.P., Van der Vijgh, W.J.F. and Bast, A. (1996). Structural aspects of antioxidant activity of flavonoids, Free Radi. Biol. Med. 20, 331-342.
- [84] Heijnen, C.G.M., Haenen, G.R.M.M., Van Acker, F.A.A., Van der Vijgh, W.J.F. and Bast, A. (2001). Flavonoids as peroxynitrite scavengers, the role of the hydroxyl groups, Toxicol. In vitro, 5, 3-6.
- [85] Elber, G. and Wagner, H. (1992). Planta Med. 57, 137-141.
- [86] Middleton, E.J.R. and Kandasuwami, C. (1992). Biochem. Pharmacol. 43, (6), 1167-1179.
- [87] Nakajima, T. Manishi, M.I., Yamamoto, K. Cyong, J.C. and Hirai, K. (2001). Inhibitory effects of baicalein, A Flavonoid in Scutellaria Root, on Eotascin production by human Dermal Fibroblasts, planta Med. 67, 132-135.
- [88] Emin, J.A., Oliveira, A.B. and Lapa, A.J. (1994). Pharmacological evaluation of the anti-inflammatory activity of acitrus Bioflavonoids, Hesperidin, and the isoflavonoids, Duartin and Clausse quinone in rats and mice, J.Pharm. Pharmacol. 46, 118-122.
- [89] Sankawa, U. and Chum, Y.T. (1985). Advances in Chinese.
- [90] Matsuda, H. Yano, M., Kubo, M., Linuma, M., Oyama, M. and Mizuno, M. (1991). Pharmacological study on citrus fruits unshiu markovich (2) on flavonoid components, Yakugata Zasshi, 111, 193-198.
- [91] Murakami, N. Mostaqul, H.M., Tamura, S. Itagak, S. and Horü, T.T. (2001). A new anti-malarial flavonol glycoside from hydrangeae dulcis folium (Hydrangea macrophylla) Bivorg. Med. Chem. Lett. 11, 2445-2447.
- [92] Hammerstone, J.F., lazarus, S., Mitchell, A., Rucker, R. and Schmitz, H. (1999). Identification of procyanidir (Theobroma cacao) and chocolate using high-performance liquid chromatography/mass, sp. Agric. Food chem. 47, 490-496.
- [93] Samejima, K., Kanazawa, K., Ashida, H. and Danno, G. (1995). Journal of Agricultural and Food Chemistry, 43, 410-414.
- [94] Markham, K.R. (1982). Technique of flavonoid identification, Academic press, London.
- [95] Jurd, L. and Horowitz, R. (1962). Spectral properties of flavonoid compounds, pergamon press, Oxford, 107-2055.
- [96] Mabry, T.J., Markham, K. R. and Thomas, M.B. (1970). The systimatic identification of flavonoids, Springer, New york, 45-126.
- [97] Wollenweber, E. (1982). Occurrence and localization of flavonoid aglycones, In the flavonoids-Advances in Research (Harborne, J.B. and Mabry, J.J. eds. Chapman and Hall, London, New York).
- [98] Silverstein, R.M., Webster, F.X. and Kiemle, D.J. (2007). Identification spectrométrique de composes organiques, ed.2, De Boeck Université.
- [99] Lacaille-Dubois, M.A. and Wagner, H. (1992). 20<sup>ème</sup> Aniversaire du groupe polyphenols(book of abstacks) vol I(16), 217, 13-16.

- [100] Markham, K.R. and Geiger, H. (1994). <sup>1</sup>HMRN spectroscopy of flavonoids and their glycosides in hexadeuteurodimethyl-sulfoxide, In the flavonoids, edited by Harborne, J.B. (1993). Chapman and Hall, London.
- [101] Audier, H. (1966). Etude des composés flavoniques par spectrométrie de masse.
- [102] Constantin, E. and Schenelle, A. (1986). Spectrométrie de masse principe et application. Lavoisier, Paris.
- [103] Williams, D.H., Bradley, O., Bojesen, G. Santikarn, S. and Taylor, C.E. (1981). Fast Atom Bombardement mass spectrometry, J. Am. Chem. Soc. 103, 5700-5704.
- [104] March, R.E., Miao, X.S., Metcalfe, C.D., Stobiecki, M. and Marczak, L. (2004). A fragmentation study of isoflavone glycoside , genistein 7-O- glucoside , using electrospray quadropole time –of-flight mass spectrometry at high mass resolution, international journal of mass spectrometry, 232, 171-183.
- [105] Gonnet, J.F. (1973). A propos de la photographie en couleur de chromatographie sur couches minces en lumière de Wood. J. of cromato. 86, 192.

الفصل الثاني  
الدراسة التيمائية للفتتين:

*Retama sphaerocarpa*

و

*Ammoides atlantica*

## II - أ - الدراسة الكيميائية لنبات *Retama sphaerocarpa*

### II - أ - 1 - التصنيف النظامي للنبات حسب Messaili [1]

Embranchement	Spermaphytes	الفرع
Sous embranchement	Angiospermes	تحت الفرع
Classe	Dicotylédones	الصف
Sous classe	Diapétales	تحت الصف
Série	Caliciflores	السلسلة
Ordre	Rosales	الرتبة
Famille	Fabacées	العائلة
Sous famille	Papilionacées	تحت العائلة
Tribu	Genisteae	القبيلة (الفصيلة)
Genre	Retama	الجنس
Espèce	Sphaerocarpa	الرووع

### II - أ - 2 - وصف النوع :

*Retama sphaerocarpa* عبارة عن شجيرة إبرية بأغصان صلبة رطبة الملمس، يبلغ طولها من 1 إلى 2 م، ذات أوراق صغيرة ملساء، السفلى تكون ثلاثية الوريقة أما الأخرى فأحادية الوريقة، سهلة السقوط، ذات أزهار صفراء صغيرة جدا (5 - 6 ملم) تتجمع في عناقيد جانبية تحوي من 8 إلى 15 زهرة متوضعة على الفروع حسب الشكل (1).



الشكل (1) : صور فوتوغرافية للنباتة *Retama sphaerocarpa*

تمتاز هذه الأزهار بكأس ثنائي الشفة أو الشق، ذو شفة علوية ثنائية السن من الأسفل، أما التويج فيحوي 5 بتلات ملتحمة بالأنبوب السدائي، فالبتلة الخلفية هي أكبر البتلات وتُعرف بالعلم والبتلتان الجانبيتان تُعرفان بالجنّاحين، أما البتلتان الأماميتان فملتحمتان التحاماً خفيفاً على شكل زورق، مع وجود 10 أسدية ملتحمة الخيوط مشكّلة حزمة واحدة، أما الثمار فهي عبارة عن قرون كروية وحيدة أو ثنائية البذرة، ذات ملمس ناعم ولون أصفر داكن [2]. تتميز هذه الشجيرة بجذور عميقة تفوق 20م، بحثاً عن المياه الجوفية بحكم نموها في المناطق الجافة والشبه الجافة [3].

## II - أ - 3 - توزّع النوع :

تتوزّع *Retama sphaerocarpa* في المناطق الجافة وشبه الجافة [4] خاصة قرب المناطق الملحية فهي تتواجد في :

- إفريقيا [5] في كل من الجزائر والمغرب وتونس (أصلية).

- أوروبا [5, 6] في كل من البرتغال وإسبانيا (أصلية) وبلغاريا (منقولة).

- جنوب أمريكا [7] في الأرجنتين (منقولة).

أما على المستوى الجزائري فهي تتوزّع في قطاع التل القسنطيني وتحت قطاع مرتفعات هضاب الجزائر العاصمة ووهران [2].

## II - أ - 4 - المسح البيولوجي للنبته :

يستخدم الرتم في الطب الشعبي لأغراض شتى ، إذ يستعمل منقوعه المائي ضد داء الكلب، كما يعهد إلى أغصانه علاج الروماتيزم وتستعمل الأوراق والسيقان في التخفيف من السمّنة، كما يستخدم في الطب الشعبي الإسباني في علاج الأورام الغديّة (الثؤلول) [8].

كما أثبتت الدراسات الدور الفعال الذي تلعبه هذه الشجيرة في المناطق الجافة والشبه الجافة، إذ تعمل على تلطيف الجو من رطوبة ودرجة حرارة ، كما أنها تساعد على تخصيب التربة بإغنائها بالمواد العضوية وتشبيتها للأزوت . فهي تخلق وسطاً تحت مجموعها الخضري ملائماً لتوزع وتنوع حشائش دائمة وحولية، وهذه الأخيرة توفر سماداً كافياً لبقاء الشجيرة [9].

كما أظهرت التحاليل السمية التأثير التثبيطي لكل من مستخلص  $\text{CHCl}_3$  و AcOEt و BuOH على كل من خلايا سرطان الثدي (MCF-7) وسرطان الكلى renal adenocarcinoma (TK-10) وسرطان الجلد melanoma(UACC-62) كما تعمقت هذه الأبحاث في تفسير إختلاف التأثير البيولوجي لهذه المستخلصات بإعادة نفس التجارب على المركبات الفلافونيدية المفصولة من كل مستخلص .

فالتأثير التثبيطي لمستخلص البيوتانول على خلايا MCF-7 ا راجع لاحتوائه على الفلافونيدات الميتوكسيلية 7,6,5 أما بالنسبة لخلايا UACC-62, TK-10 فتتأثر بمستخلص الأسيتات الغني بالإيزوفلافون genistin أكثر منه بمستخلص الكلورفورم

الفعل التثبيطي للمركب 2 أكثر من 3 راجع لوجود OH في الموقع 5 بالنسبة للمركب 2 وهذا يؤكد كون  $\text{C}_5\text{-OH}$  هو المسؤول عن الفعالية السمية للإيزوفلافون عند كل الخلايا السرطانية .

كما تعزى الفعالية السمية للأجليكونات على غرار جليكوزيدات عند الثلاث أنواع من الخلايا السرطانيا، وهذا راجع إلى الطبيعة الهيدروفيلية أو إلى الحجم الكبير لهذه الجليكوزيدات الذي يعيق إختراقها للجدار الخلوي .

ويعود التأثير التثبيطي للمركبات 7, 6,5, 1 و etoposide على خلايا MCF-7 إلى الفعل التثبيطي الإنتقائي لمجموعة الميتوكسيل لهذا النوع من الخلايا السرطانيا [10].

جدول يوضح النسب المتوية للمركبات المفصولة من كل مستخلص [10].

	$\text{CHCl}_3$	AcOEt	ButOH
6-methoxypseudobaptigenin-7- $\beta$ -o-gllucoside(1)	1%	4.5%	-
Genistin(2)	0.2%	5%	-
Daidzin(3)	0.2%	-	-
Orientin(4)	--	0.2%	-
Rhamnazin-triglycoside(5)	-	-	0.3%
Rhamnazin-diglycoside(6)	-	-	1.3%
Rhamnazin(7)	-	-	0.3%



جدول يوضح التراكيز بـ  $\mu\text{g/ml}$  للمستخلصات والمركبات المفصولة منها المثبطة لنصف عدد الخلايا السرطانية  $\text{IC}_{50}$ :

	TK-10	MCF-7	UACC-62
$\text{CHCl}_3$	87	76	42
AcOEt	49	52	36
BuOH	>250	51	65
<b>Isoflavones</b>			
6-methoxypseudobaptigenin-7- $\beta$ -O-glycoside(1)	>100	62	>100
Genistin(2)	27	69	27
Daidzin(3)	>100	>100	57
<b>Flavone</b>			
Orientin(4)	>100	>100	57
<b>Flavonols</b>			
Rhamnazin-triglycoside(5)	>100	62	50
Rhamnazin-diglycoside(6)	>100	49	73
Rhamnazin(7)	52	9.7	17
<b>Positive controls</b>			
Etoposide	6.1	0.42	1
Genistein	5.9	6.9	4.1

كما أظهرت دراسة أخرى لـ Lopez l'azaro و مساعديه فعالية كل من المركبين 6،5 ضد الخلايا السرطانية، وذلك بتنظيم عمل الإنزيم Topoisomerase I وبالتالي الحد من الانقسام العشوائي غير المنتظم لـ DNA الخاص بالخلايا السرطانية [11].

قد أظهرت تحاليل سمية أخرى التأثير التثبيطي للمستخلص المائي لـ *R. sphaerocarpa* بجرعة تقدر بـ  $30 \mu\text{g/ml}$  يكون بنسبة 34.2% لخلايا النمو Hep2 المأخوذة من ورم سرطان الحنجرة (epidermoide carcinoma de larynx) مقارنة بـ 6-mercaptopurine الذي يمتاز بنسبة تثبيط تقدر بـ 54.2% علاوة على ذلك فهي تبدي سمية في التحارب الحيوية للإقريديس الملحي تقدر بـ  $\text{LC}_{50} = 454 \mu\text{g/ml}$  [8] مع العلم أن  $\text{LC}_{50} < 1000 \mu\text{g/ml}$  يعتبر عاملاً فعالاً حسب Meyer [12].

أما بالنسبة للنسيج النباتي فيعمل المستخلص المائي بتركيز (1%) على تثبيط كامل (100%) لعامل الانقسام الخلوي MI (Index mitotique) لنوع من البصل (*Allium cepa*) خلال 48 ساعة، كما يعمل على تثبيط يقدر بـ 24% للبقع القرشية للبطاطا المعاملة بنوع من البكتيريا الزراعية الممرضة (*Agrobacterium tumefaciens*) [8، 13].

## II - أ - 5 - المسح الكيميائي للنبتة :

أكد المسح البيليوغرافي الكيميائي للنبتة *R. sphaerocarpa* احتوائها على كل من الفلافونيدات و القلاويدات مما جعلها مؤخرًا محل بحث عدد من الباحثين .

فقد تمّ التعرف على ثمان قلاويدات كينوليزيدينية (quinolizidine) وقلويد واحد

بيبردين (bipiperidine) : Ammodendrine ، Déhydrolupanine ، Oxospartéine ، Lupanine ،

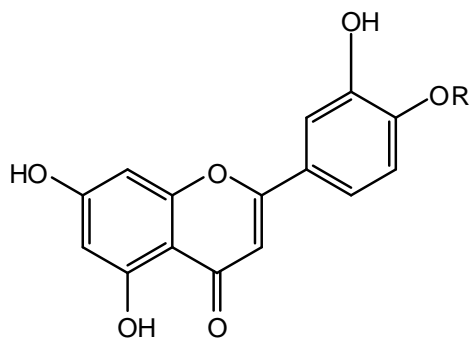
Spartéine ، Génistéine ، Retamine [14] و Cytisine ، Méthyl cytisine [15].

أما عن الفلافونيدات ونظرًا لكونها محل بحثنا فإننا ندرج ما فصل منها في جنس *Retama* في

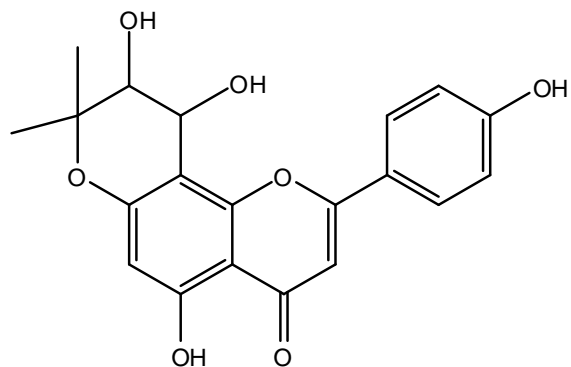
الجدول (1)

الجدول (1): الفلافونيدات المفصولة من الجنس *Retama*

نوع النبتة	اسم المركب	الصيغة الجزيئية	رقم الصيغة	رقم المرجع
<i>Retama raetam</i>	Luteolin 4'-O-neohesperidoside	C <sub>27</sub> H <sub>30</sub> O <sub>15</sub>	1	[16]
	5, 4'-dihydroxy-(3'',4''-dihydro-3'',4''-dihydroxy)-2'',2''-dimethylpyrano-(5'',6'' : 7,8)-flavone	C <sub>20</sub> H <sub>18</sub> O <sub>7</sub>	2	[17,16]
	Genistein	C <sub>15</sub> H <sub>10</sub> O <sub>5</sub>	3a	[17]
	Genistin	C <sub>21</sub> H <sub>20</sub> O <sub>10</sub>	3b	
	6 hydroxy genistein	C <sub>15</sub> H <sub>10</sub> O <sub>6</sub>	3c	
	6 hydroxy apigenin	C <sub>21</sub> H <sub>20</sub> O <sub>11</sub>	4	
	Luteolin	C <sub>21</sub> H <sub>20</sub> O <sub>11</sub>	5	
	Kaempferol	C <sub>15</sub> H <sub>10</sub> O <sub>6</sub>	6	
	Biochanin A	C <sub>16</sub> H <sub>12</sub> O <sub>5</sub>	7a	
	Pratensein	C <sub>16</sub> H <sub>12</sub> O <sub>6</sub>	7b	
3'-methylobol	C <sub>16</sub> H <sub>12</sub> O <sub>6</sub>	7c		
<i>Retama sphaerocarpa</i> <i>Boissier</i>	Rhamnazin-3-O-β-glucopyranosyl-(1→5)- α-arabinofuranoside	C <sub>28</sub> H <sub>32</sub> O <sub>16</sub>	8a	[18]
	7-hydroxy-6'-methoxy-3',4'-methylenedioxyisoflavone-7-O-β-glucoside	C <sub>23</sub> H <sub>22</sub> O <sub>11</sub>	9	[19]
	Genistein 7-O-β-glucoside	C <sub>21</sub> H <sub>20</sub> O <sub>10</sub>	3b	
	Daidzein 7-O-β-glucoside	C <sub>21</sub> H <sub>20</sub> O <sub>9</sub>	10	
	Orientin ou Lutexin (8-β-D-glucopyranosyl luteolin)	C <sub>21</sub> H <sub>20</sub> O <sub>11</sub>	11	[10]
	Rhamnazin-3-O-β-D-glucopyranosyl-(1→5)-[ β-D-apiofirranosyl-(1→2)] α-L-arabinofuranoside	C <sub>33</sub> H <sub>40</sub> O <sub>20</sub>	8b	
	Rhamnazin	C <sub>17</sub> H <sub>14</sub> O <sub>7</sub>	12	
	Vitexin	C <sub>21</sub> H <sub>20</sub> O <sub>10</sub>	13	[20]
	Vicenin-2	C <sub>27</sub> H <sub>30</sub> O <sub>15</sub>	14	
	Quercetin 3,7-di-O-β-glucoside	C <sub>27</sub> H <sub>29</sub> O <sub>17</sub>	15	

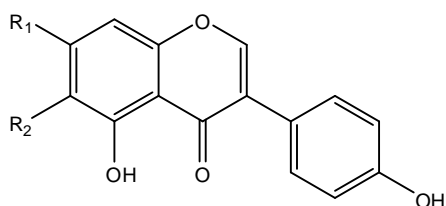


1

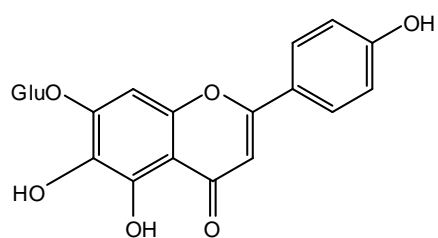


2

R=neohesperidosyl

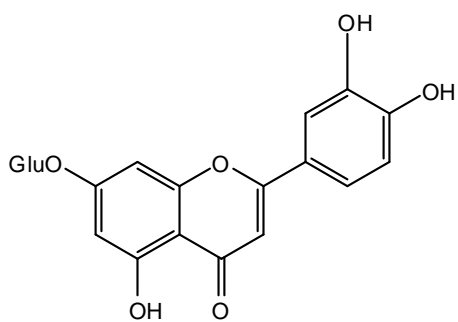


3

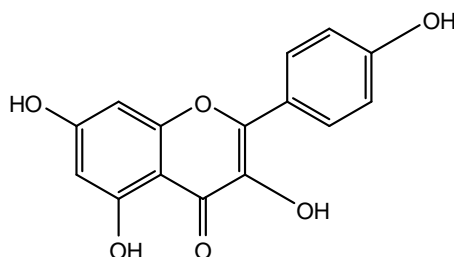


4

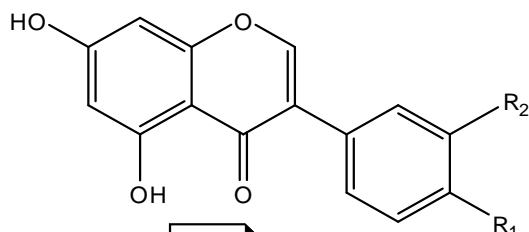
	R1	R2
a	OH	H
b	OGlu	H
c	OH	OH



5

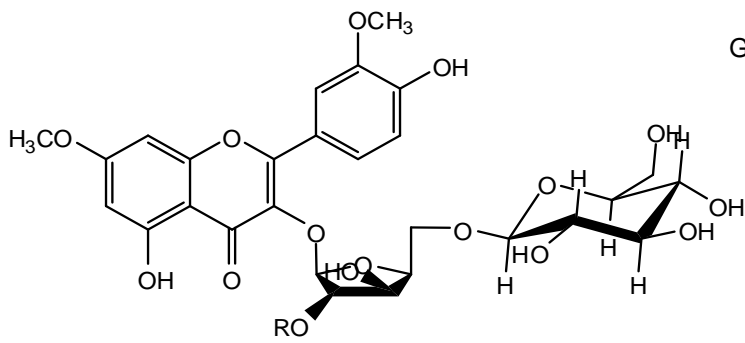


6



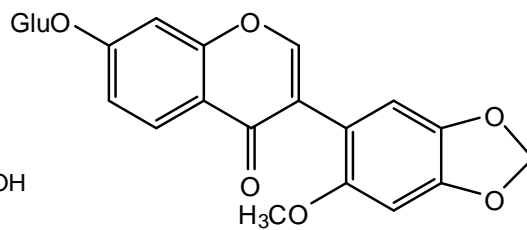
7

	R1	R2
a	OCH3	H
b	OCH3	OH
c	OH	OCH3

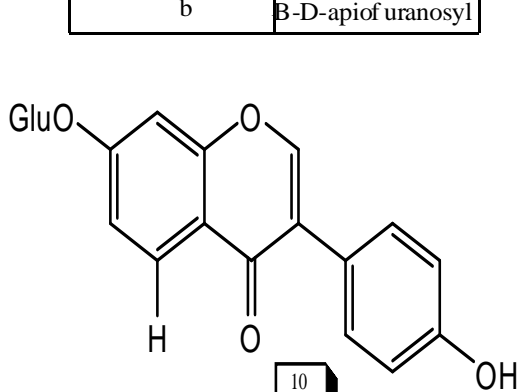


8

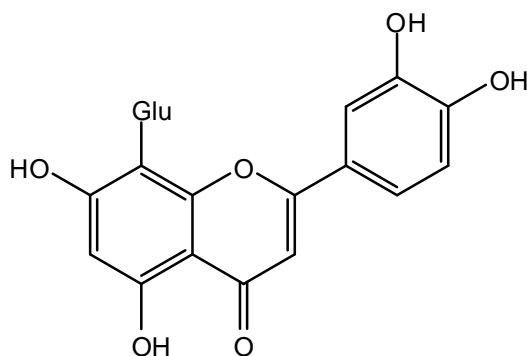
	R
a	H
b	B-D-apiof uranosyl



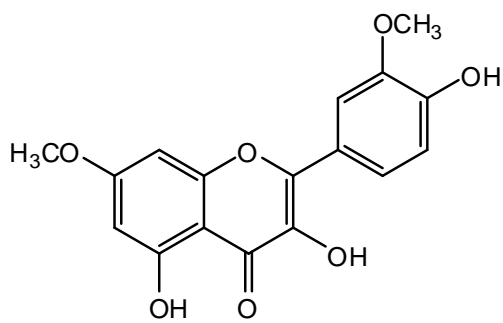
9



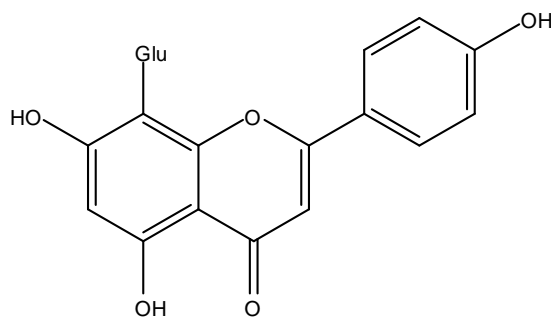
10



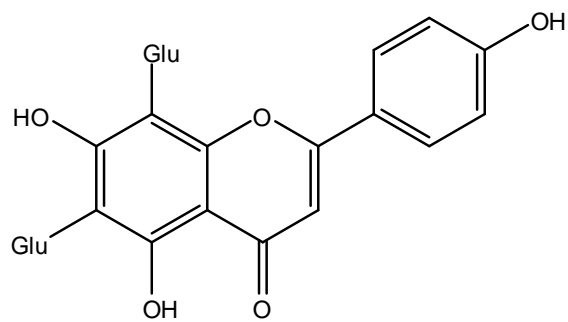
11



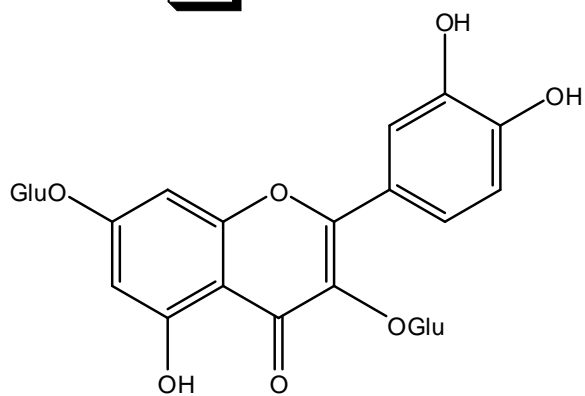
12



13



14



15

## II - ب - الدراسة الكيميائية لنبات *Ammoides atlantica*

### II - ب - 1 - التصنيف النظامي للنبته :

Embranchement	Spermaphytes	الفرع
Sous embranchement	Angiospermes	تحت الفرع
Classe	Dicotylédones	الصف
Sous classe	Rosida	تحت الصف
Ordre	Apiales	الرتبة
Famille	Apiaceae	العائلة
Sous famille	Apioidae	تحت العائلة
Genre	<i>Ammoides</i>	الجنس
Espèce	<i>Ammoides atlantica</i>	النوع

### II - ب - 2 - وصف النوع :

*Ammoides atlantica* : نبات حولي أو معمّر ذات حزم كثيفة فقيرة إلى الوريدات في الأوراق القاعدية .

سيقانها أقل تشعباً مقارنة بالنوع الأخر *Ammoides pusilla* ، تتميز بحيمات ذات 3 إلى 6 أشعة ، أما الثمار فذات شعاع بيضوي بطول 2-2.5 ملم ، تنمو بالجبال في المرتفعات الأكثر من 1000 م و هي نبتة أصلية بالجزائر . [2]



الشكل (2) : صورة فوتوغرافية للنبته *Ammoides atlantica*

## II - ب - 3 - المسح البيولوجي للجنس *Ammoides* :

تستعمل كل من نوعي *Ammoides* : *A.pusilla* و *A.atlantica* في الطب الشعبي كمضاد للبكتيريا والإسهال . كما تستعمل *A.pusilla* لمعالجة الحمى، الإنفلونزة و تداوي أوجاع الرأس كما تنقع في الكحول أو حمض الخل وتمزج مع الحناء لمعالجة التخلف العقلي لدى الأطفال، بالإضافة إلى استعمالها كتوابل في الأطعممة [21] وقد ذكرها ابن البيطار في كتابه الجامع لمفردات الأدوية والأغذية باسم أطريلال وهي كلمة بربرية تعني رجل طائر ، يعرف بالديار المصرية برجل الغراب و بعضهم يسمونه بجزر الشيطان، وقد نوه بعضهم فائدتها في علاج البرص . وأول ما ظهر استعمال هذه النبتة كان عند قبيلة بربرية تعرف ببني أبي شعيب من بني وجهان من بجاية [22] .

كما يستعمل المستخلص المائي لهذه النبتة في الطب الشعبي شرق المغرب كعلاج لداء السكري وهذا ما أثبتته التحاليل البيولوجية التي أجريت بطريقتي: OGTT (Oral glucose Tolerance Test) و IVGTT (Injection vasculaire glucose Tolerance Test) والتي أثبتت التأثير التثبيطي للمستخلص المائي للنبتة *A.pusilla* على إمتصاص السكر بنسبة 28.5% بجرعة 250 mg/Kg وقد طمأنت التحاليل السمية من عدم وجود مضاعفات أو مخاطر من إستعمال هذه النبتة [23] .

كما أثبت حسين لعور وفرقه التأثير التثبيطي للزيت الطيار لـ *A.pusilla* على كل من نوعي البكتيريا الممرضة :

*Pseudomonas syringae* pv. *syringae* و *Pseudomonas syringae* pv. *morsprunorum* [24]

كما أظهر هذا الزيت فعالية ضد ميكروبية معتبرة على كل من السلالات :

*Serratia marcescens*, *Salmonilla enteritidis*, *Escherichia coli*(ATCC25922), *Pseudomonas aeruginosa*(ATCC27853), *Staphylococcus aureus*(ATCC25923), *Klebsiella pneumoniae*, *Pseudomonas syringae* pv.*morsprunorum*, *Pseudomonas syringae* pv.*syringae*, *Aspergillus niger* , *Candida albicans* [21]

أما بالنسبة للنوع الثاني *A.atlantica* فقد أظهر التشخيص البيولوجي لزيته الطيار فعالية ضد

ميكروبية على كل من الأنواع : *Escherichia coli*(ATCC25922),

*Staphylococcus aureus*(ATCC25923) و *Enterococcus faecalis* (ATCC29212)

كما سجل هذا الزيت تأثيرا تثبيطيا جد فعال على النوع النباتي *Bacillus subtilis*(ATCC6633)

بمقدار أقل من 6.25mg/l [25] .

II - ب - 4 - المسح الكيميائي للجنس *Ammoides* :

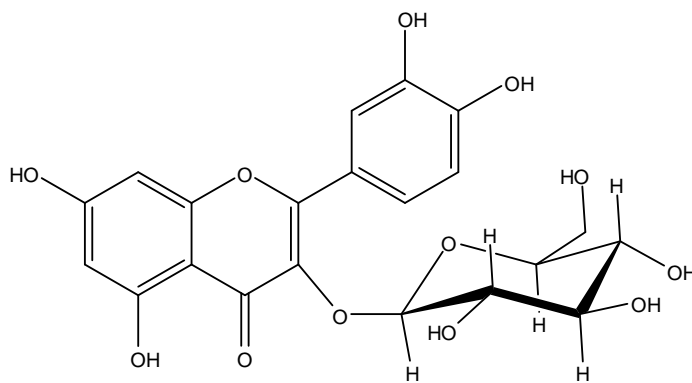
باستعمال GC/MS, GC للزيت الطيار لكل من *A. pusilla* [21] و *A. atlantica* [25] أثبت إحتوائها على نفس المركبات الأعظمية و بنسب متقاربة كما هو موضح في الجدول التالي:

المركبات الأعظمية	Thymol	$\gamma$ -terpinene	p-cymene
<i>A. atlantica</i>	53.2%	19.4%	10.6%
<i>A. pusilla</i>	44.5%	32.9%	13.5%

وبالنسبة للمركبات الفلافونيدية لم تحض *A. atlantica* بأي دراسة مسبقة على هذا النوع من مركبات الأيض الثانوي .

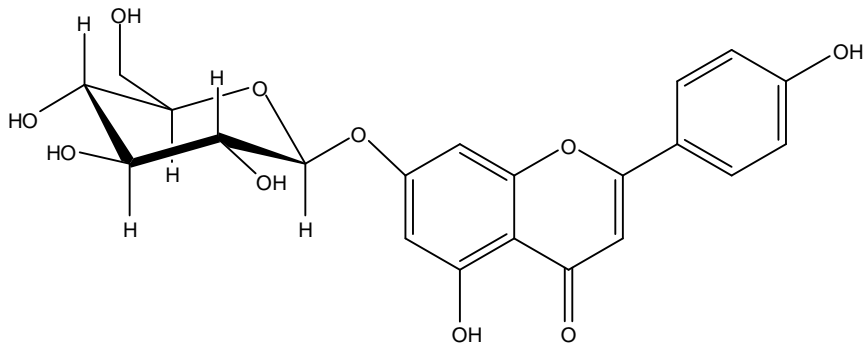
أما عن *A. pusilla* فكل ما تم فصله مدرج في الجدول التالي :

اسم المركب	الصيغة الجزيئية	رقم الصيغة	رقم المرجع
Quercetin 3 -O- $\beta$ -glucoside	$C_{21}H_{20}O_{12}$	16	[26]
Apigénine 7-O- $\beta$ -glucoside	$C_{21}H_{20}O_{10}$	17	
Luteoline 7-O-Rhamnoglucoside	$C_{27}H_{30}O_{15}$	18b	
Luteoline 7-O- $\beta$ -glucoside	$C_{21}H_{20}O_{11}$	18a	[27]
Quercetin 3 -O- $\beta$ -glucuronide.	$C_{21}H_{18}O_{13}$	19	

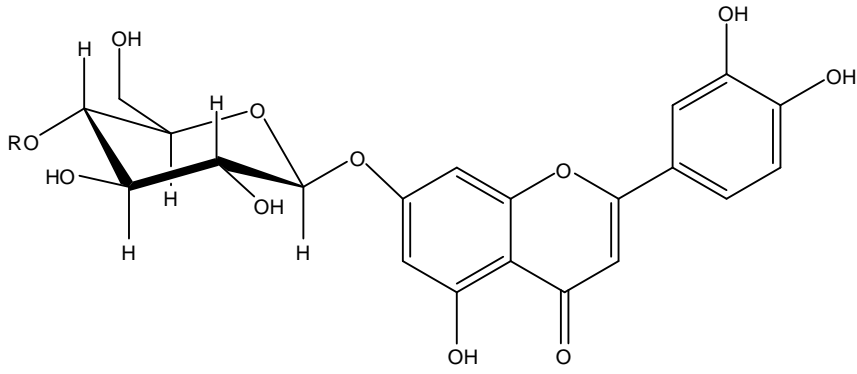


16



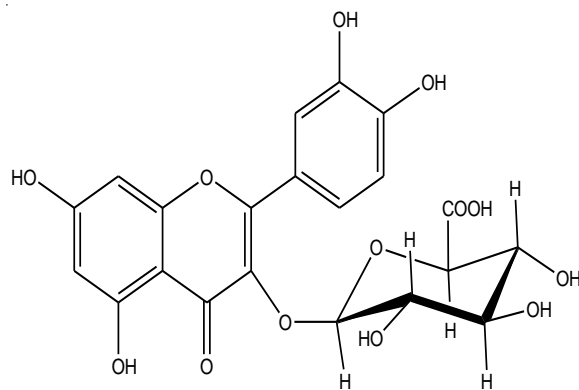


17



18

	R
a	H
b	Rhamnosyl



19

## المراجع

- [1] Messaili, B. (1995). Systématique des spermaphytes, ed. office des publications universitaires, Alger, 75.
- [2] Quezel, P. and Santa, S. (1963). Nouvelle flore de l'Algérie et des régions désertiques méridionales.
- [3] Haas, P., Pugnaire, F.I., Fernandez, E.M., Puigdefabregas, J., Clark, S.C. and Incoll, L.D. (1996). Investigation of rooting depth in the semi aride shrub *Retama sphaerocarpa*(L)Boiss. by lablling of ground water with a chemical tracer, Journal of Hydrology ,177,23-31.
- [4] Shokri Ibrahim, S. (1994). The Flower plants, 173.
- [5] Greuter, W. and al. (1989). (eds). Med-Chencklist, vol.4 (published).
- [6] Heywood, V.H. (1968). Leguminosae in Flora Europaea, Heywood, V.H. Burges, N.A., Moore, D.M., Valentine, D.H., Walters, S.M., Webb, D.A. (Eds). Cambridge University press, London, 101.
- [7] Burkart, A. (1952). Acme Agency, Buenons Aires, Las Leguminosas argentinas, 569.
- [8] Martin-Cordero, Saeng, M.T. Augusto, M.J. (1995). Cytotoxic activity of *Retama sphaerocarpa*, Fitoterapia, vol. LXVI, N° .6.
- [9] Moro, M.J., Pugnaire,F.I., Haas,P. and Puigdefàbregas,J. (1997). Effect of the canopy of *Retama sphaerocarpa* on its understorey in semiarid environment, Functional Ecology,11,425-431.
- [10] Lopez l'azaro, M., Martin-Cordero, C.,Cortés,F.,Piñero,J. and Jesús Ayuso, M. (2000).Cytotoxic activity of flavonoids and extracts from *Retama sphaerocarpa* Boisie,Verlag der Zeitschrift für Naturforschung, 55c, 40-43.
- [11]Lopez l'azaro, M., Martin-Cordero, C. and Jesús Ayuso, M. (2000). Two new flavonol glycosides as DNA topoisomeraseI poisons,Verlag der Zeitschrift für Naturforschung, 55c, 898-902.
- [12]Meyer, B.N., Ferrigni, N.R., Putnam, J.E., Jacobsen, L.B., Nichols, D.E. and Melauhlin, J.L. (1982). Planta Med. 45, 31.
- [13]Ferrigni, N.R., Putnam, J.E., Aderson, B.J., Jacobsen, L.B., Nichols, D.E., Moore, D.S. and Mclaughlin, J.L. (1982). J. Nat. prod. 45, 679.
- [14]Martin-Cordero, C., Gil-serrano, A.M. and Ayuso Gonzalez, M.J. (1991). Plantas med. Et phytother. 25, 157.
- [15]Ribas, I. and Vega, J. (1953). – Ion. 13, 140, 148.
- [16]Kassem, M., Mosharrafa, S.A., Saleh, N.A.M.and Abdel-Wahab, S.M. (2000). Two new flavonoids from *Retama raetam* Fitoterapia, 71, 649-654.
- [17]Djeddi, S., Karioti, A. and Skaltsa, H.(2008). Flavonoids of *Retama raetam*Webb. from Algeria , Planta Med.74.
- [18]Martin-Cordero, C., L'opez Lazàro, M., Gil-Serrano, A., Rodriguez Carvajal, M.A. and Ayuso Gonzàlez, M.J. (1999). Novel flavonol glycoside from *Retama sphaerocarpa* Boissier, Phytochemistry, 51, 1129-1131.
- [19]L'opez Lazaro, M., Martin-Cordero, C., Iglesias-Guerra, F. and Ayuso Gonzàlez, M.J. (1998). An isoflavone glucoside from *Retama sphaerocarpa* Boissier, Phytochemistry, vol. 48 N° . 2, 401-402.
- [20]Louaar, S., Akkal, S., Bousetla, A., Medjroubi, K., Djarri, L. and Seguin, E. (2005). Phytochemical study of *Retama sphaerocarpa*, Chemistry of natural compound, Vol. 41, No.1.

- [21] Laouer, H., Zerroug, M.M., Sahli, F., Chaker, A.N., Valentini, G., Ferretti, G., Grande, M. and Anaya, J. (2003). Composition and antimicrobial activity of *Ammoides pusilla* (Brot.) Breistr. essential oil, *Journal of Essential Oil Research*, 15(2), 135-138.
- [22] IbnAlbitar, Dam. (1874). *Aljame Li-Mofradat al adwiyah wal aghthiyah* (The collection of medical and food items), Dar Sader Publishing, Beirut, Lebanon (in Arabic), Vol.1.
- [23] Bnouham, M., Merhfour, F. Z., Legssyer, A., Mekhfi, H., Maallem, S. and Ziyat, A. (2007). Antihyperglycemic activity of *Arbutus unedo*, *Ammoides pusilla* and *Thymelaea hirsute* *Pharmazie*, 62(8), 630-632.
- [24] Laouer, H., Zerroug, M. M., Chaker, A. N. and Bouzerzour, H. (2004). Study of the effect of *Ammoides pusilla* (Brot.) Breist, essential oil against *Pseudomonas sp.*, *Communications in Agricultural and Applied Biological Sciences*, 69(4), 619-624.
- [25] Laouer, H., Boulaacheb, N., Akkal, S., Singh, G., Marimuthu, P., de Heluani, C., Catalan, C. and Baldovini, N. (2008). Composition and antibacterial activity of the essential oil of *Ammoides atlantica* (Coss. et Dur.) Wolf., *Journal of Essential Oil Research*, 20(3), 266-269.
- [26] Boussetla, A., Akkal, S., Medjroubi, K., Louaar, S., Azouzi, S., Djarri, L., Zaabat, N., Laouer, H., Chosson, E. and Seguin, E. (2005). Flavonoid glycosides from *Ammoides pusilla*, *Chemistry of Natural Compounds*, 41(1), 95-96.
- [27] Nabel, A.M.S., Sabry, I.E.N., Mohamed, N.EH. and Hasnaa, A.H. (1983). Comparative study of the flavonoids of some local members of the umbelliferae, *Phytochemistry*, Vol.22, N<sup>o</sup>.6, pp.1417-1420.

الفصل الثاني  
الدراسة التيمائية للفتتين:

*Retama sphaerocarpa*

و

*Ammoides atlantica*

## II - أ - الدراسة الكيميائية لنبات *Retama sphaerocarpa*

### II - أ - 1 - التصنيف النظامي للنبات حسب Messaili [1]

Embranchement	Spermaphytes	الفرع
Sous embranchement	Angiospermes	تحت الفرع
Classe	Dicotylédones	الصف
Sous classe	Diapétales	تحت الصف
Série	Caliciflores	السلسلة
Ordre	Rosales	الرتبة
Famille	Fabacées	العائلة
Sous famille	Papilionacées	تحت العائلة
Tribu	Genisteae	القبيلة (الفصيلة)
Genre	Retama	الجنس
Espèce	Sphaerocarpa	الرووع

### II - أ - 2 - وصف النوع :

*Retama sphaerocarpa* عبارة عن شجيرة إبرية بأغصان صلبة رطبة الملمس، يبلغ طولها من 1 إلى 2 م، ذات أوراق صغيرة ملساء، السفلى تكون ثلاثية الوريقة أما الأخرى فأحادية الوريقة، سهلة السقوط، ذات أزهار صفراء صغيرة جدا (5 - 6 ملم) تتجمع في عناقيد جانبية تحوي من 8 إلى 15 زهرة متوضعة على الفروع حسب الشكل (1).



الشكل (1) : صور فوتوغرافية للنباتة *Retama sphaerocarpa*

تمتاز هذه الأزهار بكأس ثنائي الشفة أو الشق، ذو شفة علوية ثنائية السن من الأسفل، أما التويج فيحوي 5 بتلات ملتحمة بالأنبوب السدائي، فالبتلة الخلفية هي أكبر البتلات وتُعرف بالعلم والبتلتان الجانبيتان تُعرفان بالجنّاحين، أما البتلتان الأماميتان فملتحمتان التحاماً خفيفاً على شكل زورق، مع وجود 10 أسدية ملتحمة الخيوط مشكّلة حزمة واحدة، أما الثمار فهي عبارة عن قرون كروية وحيدة أو ثنائية البذرة، ذات ملمس ناعم ولون أصفر داكن [2].

تتميز هذه الشجيرة بجذور عميقة تفوق 20م، بحثا عن المياه الجوفية بحكم نموها في المناطق الجافة والشبه الجافة [3].

## II - أ - 3 - توزّع النوع :

تتوزّع *Retama sphaerocarpa* في المناطق الجافة وشبه الجافة [4] خاصة قرب المناطق الملحية فهي تتواجد في :

- إفريقيا [5] في كل من الجزائر والمغرب وتونس (أصلية).

- أوروبا [5, 6] في كل من البرتغال وإسبانيا (أصلية) وبلغاريا (منقولة).

- جنوب أمريكا [7] في الأرجنتين (منقولة).

أما على المستوى الجزائري فهي تتوزّع في قطاع التل القسنطيني وتحت قطاع مرتفعات هضاب الجزائر العاصمة ووهران [2].

## II - أ - 4 - المسح البيولوجي للنبته :

يستخدم الرتم في الطب الشعبي لأغراض شتى ، إذ يستعمل منقوعه المائي ضد داء الكلب، كما يعهد إلى أغصانه علاج الروماتيزم وتستعمل الأوراق والسيقان في التخفيف من السمنة، كما يستخدم في الطب الشعبي الإسباني في علاج الأورام الغديّة (الثؤلول) [8].

كما أثبتت الدراسات الدور الفعال الذي تلعبه هذه الشجيرة في المناطق الجافة والشبه الجافة، إذ تعمل على تلطيف الجو من رطوبة ودرجة حرارة ، كما أنها تساعد على تخصيب التربة بإغنائها بالمواد العضوية وتشبيتها للأزوت . فهي تخلق وسطا تحت مجموعها الخضري ملائما لتوزع وتنوع حشائش دائمة وحولية، وهذه الأخيرة توفر سمادا كافيا لبقاء الشجيرة [9].

كما أظهرت التحاليل السمية التأثير التثبيطي لكل من مستخلص  $CHCl_3$  و AcOEt و BuOH على كل من خلايا سرطان الثدي (MCF-7) وسرطان الكلى renal adenocarcinoma (TK-10) وسرطان الجلد melanoma(UACC-62) كما تعمقت هذه الأبحاث في تفسير إختلاف التأثير البيولوجي لهذه المستخلصات بإعادة نفس التجارب على المركبات الفلافونيدية المفصولة من كل مستخلص .

فالتأثير التثبيطي لمستخلص البيوتانول على خلايا MCF-7 ا راجع لاحتوائه على الفلافونيدات الميتوكسيلية 7,6,5 أما بالنسبة لخلايا UACC-62, TK-10 فتتأثر بمستخلص الأسيتات الغني بالإيزوفلافون genistin أكثر منه بمستخلص الكلورفورم

الفعل التثبيطي للمركب 2 أكثر من 3 راجع لوجود OH في الموقع 5 بالنسبة للمركب 2 وهذا يؤكد كون  $C_5-OH$  هو المسؤول عن الفعالية السمية للإيزوفلافون عند كل الخلايا السرطانية .

كما تعزى الفعالية السمية للأجليكونات على غرار جليكوزيداتها عند الثلاث أنواع من الخلايا السرطانيا، وهذا راجع إلى الطبيعة الهيدروفيلية أو إلى الحجم الكبير لهذه الجليكوزيدات الذي يعيق إختراقها للجدار الخلوي .

ويعود التأثير التثبيطي للمركبات 7, 6,5, 1 و etoposide على خلايا MCF-7 إلى الفعل التثبيطي الإنتقائي لمجموعة الميتوكسيل لهذا النوع من الخلايا السرطانيا [10].

جدول يوضح النسب المتوية للمركبات المفصولة من كل مستخلص [10].

	$CHCl_3$	AcOEt	ButOH
6-methoxypseudobaptigenin-7- $\beta$ -o-gllucoside(1)	1%	4.5%	-
Genistin(2)	0.2%	5%	-
Daidzin(3)	0.2%	-	-
Orientin(4)	--	0.2%	-
Rhamnazin-triglycoside(5)	-	-	0.3%
Rhamnazin-diglycoside(6)	-	-	1.3%
Rhamnazin(7)	-	-	0.3%



جدول يوضح التراكيز بـ  $\mu\text{g/ml}$  للمستخلصات والمركبات المفصولة منها المثبطة لنصف عدد الخلايا السرطانية  $\text{IC}_{50}$ :

	TK-10	MCF-7	UACC-62
$\text{CHCl}_3$	87	76	42
AcOEt	49	52	36
BuOH	>250	51	65
<b>Isoflavones</b>			
6-methoxypseudobaptigenin-7- $\beta$ -O-glycoside(1)	>100	62	>100
Genistin(2)	27	69	27
Daidzin(3)	>100	>100	57
<b>Flavone</b>			
Orientin(4)	>100	>100	57
<b>Flavonols</b>			
Rhamnazin-triglycoside(5)	>100	62	50
Rhamnazin-diglycoside(6)	>100	49	73
Rhamnazin(7)	52	9.7	17
<b>Positive controls</b>			
Etoposide	6.1	0.42	1
Genistein	5.9	6.9	4.1

كما أظهرت دراسة أخرى لـ Lopez l'azaro و مساعديه فعالية كل من المركبين 6،5 ضد الخلايا السرطانية، وذلك بتنظيم عمل الإنزيم Topoisomerase I وبالتالي الحد من الانقسام العشوائي غير المنتظم لـ DNA الخاص بالخلايا السرطانية [11].

قد أظهرت تحاليل سمية أخرى التأثير التثبيطي للمستخلص المائي لـ *R. sphaerocarpa* بجرعة تقدر بـ  $30 \mu\text{g/ml}$  يكون بنسبة 34.2% لخلايا النمو Hep2 المأخوذة من ورم سرطان الحنجرة (epidermoide carcinoma de larynx) مقارنة بـ 6-mercaptopurine الذي يمتاز بنسبة تثبيط تقدر بـ 54.2% علاوة على ذلك فهي تبدي سمية في التحارب الحيوية للإقريدس الملحي تقدر بـ  $\text{LC}_{50} = 454 \mu\text{g/ml}$  [8] مع العلم أن  $\text{LC}_{50} < 1000 \mu\text{g/ml}$  يعتبر عاملاً فعالاً حسب Meyer [12].

أما بالنسبة للنسيج النباتي فيعمل المستخلص المائي بتركيز (1%) على تثبيط كامل (100%) لعامل الانقسام الخلوي MI (Index mitotique) لنوع من البصل (*Allium cepa*) خلال 48 ساعة، كما يعمل على تثبيط يقدر بـ 24% للبقع القرعية للبطاطا المعاملة بنوع من البكتيريا الزراعية الممرضة (*Agrobacterium tumefaciens*) [8، 13].

## II - أ - 5 - المسح الكيميائي للنبتة :

أكد المسح البيليوغرافي الكيميائي للنبتة *R. sphaerocarpa* احتوائها على كل من الفلافونيدات و القلاويدات مما جعلها مؤخرًا محل بحث عدد من الباحثين .

فقد تمّ التعرف على ثمان قلاويدات كينوليزيدينية (quinolizidine) وقلويد واحد

بيبردين (bipiperidine) : Ammodendrine ، Déhydrolupanine ، Oxospartéine ، Lupanine ،

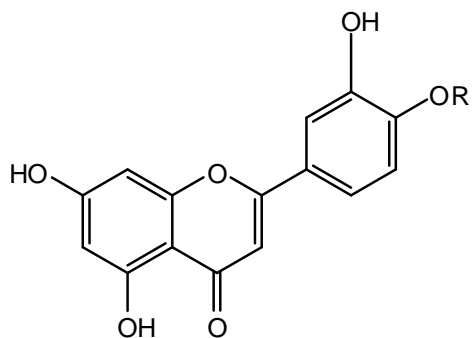
Spartéine ، Génistéine ، Retamine [14] و Cytisine ، Méthyl cytisine [15].

أما عن الفلافونيدات ونظرًا لكونها محل بحثنا فإننا ندرج ما فصل منها في جنس *Retama* في

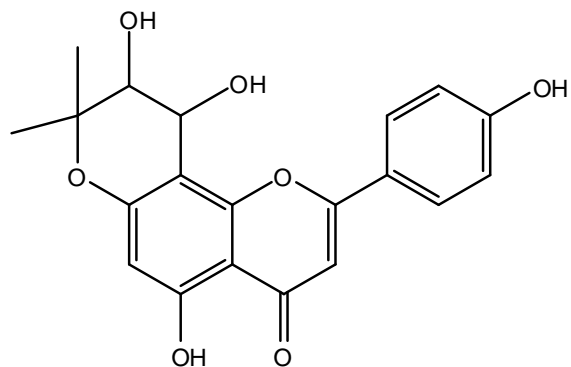
الجدول (1)

الجدول (1): الفلافونيدات المفصولة من الجنس *Retama*

نوع النبتة	اسم المركب	الصيغة الجزيئية	رقم الصيغة	رقم المرجع
<i>Retama raetam</i>	Luteolin 4'-O-neohesperidoside	C <sub>27</sub> H <sub>30</sub> O <sub>15</sub>	1	[16]
	5, 4'-dihydroxy-(3'',4''-dihydro-3'',4''-dihydroxy)-2'',2''-dimethylpyrano-(5'',6'' : 7,8)-flavone	C <sub>20</sub> H <sub>18</sub> O <sub>7</sub>	2	[17,16]
	Genistein	C <sub>15</sub> H <sub>10</sub> O <sub>5</sub>	3a	[17]
	Genistin	C <sub>21</sub> H <sub>20</sub> O <sub>10</sub>	3b	
	6 hydroxy genistein	C <sub>15</sub> H <sub>10</sub> O <sub>6</sub>	3c	
	6 hydroxy apigenin	C <sub>21</sub> H <sub>20</sub> O <sub>11</sub>	4	
	Luteolin	C <sub>21</sub> H <sub>20</sub> O <sub>11</sub>	5	
	Kaempferol	C <sub>15</sub> H <sub>10</sub> O <sub>6</sub>	6	
	Biochanin A	C <sub>16</sub> H <sub>12</sub> O <sub>5</sub>	7a	
	Pratensein	C <sub>16</sub> H <sub>12</sub> O <sub>6</sub>	7b	
3'-methylobol	C <sub>16</sub> H <sub>12</sub> O <sub>6</sub>	7c		
<i>Retama sphaerocarpa</i> <i>Boissier</i>	Rhamnazin-3-O-β-glucopyranosyl-(1→5)- α-arabinofuranoside	C <sub>28</sub> H <sub>32</sub> O <sub>16</sub>	8a	[18]
	7-hydroxy-6'-methoxy-3',4'-methylenedioxyisoflavone-7-O-β-glucoside	C <sub>23</sub> H <sub>22</sub> O <sub>11</sub>	9	[19]
	Genistein 7-O-β-glucoside	C <sub>21</sub> H <sub>20</sub> O <sub>10</sub>	3b	
	Daidzein 7-O-β-glucoside	C <sub>21</sub> H <sub>20</sub> O <sub>9</sub>	10	
	Orientin ou Lutexin (8-β-D-glucopyranosyl luteolin)	C <sub>21</sub> H <sub>20</sub> O <sub>11</sub>	11	[10]
	Rhamnazin-3-O-β-D-glucopyranosyl-(1→5)-[ β-D-apiofuranosyl-(1→2)] α-L-arabinofuranoside	C <sub>33</sub> H <sub>40</sub> O <sub>20</sub>	8b	
	Rhamnazin	C <sub>17</sub> H <sub>14</sub> O <sub>7</sub>	12	
	Vitexin	C <sub>21</sub> H <sub>20</sub> O <sub>10</sub>	13	[20]
	Vicenin-2	C <sub>27</sub> H <sub>30</sub> O <sub>15</sub>	14	
	Quercetin 3,7-di-O-β-glucoside	C <sub>27</sub> H <sub>29</sub> O <sub>17</sub>	15	

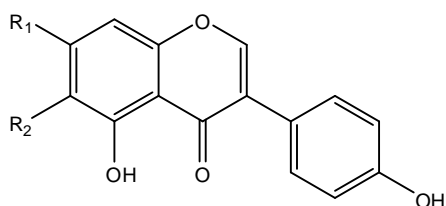


1

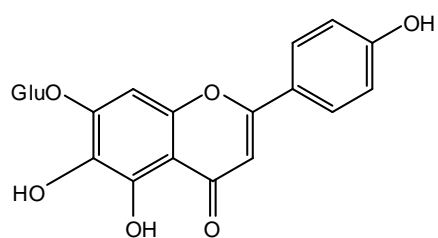


2

R=neohesperidosyl

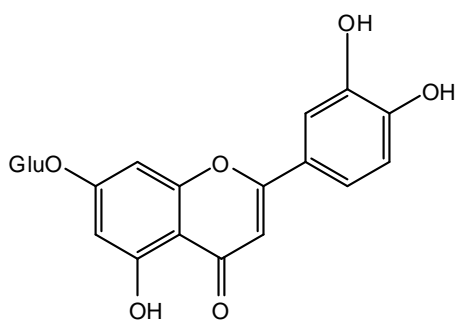


3

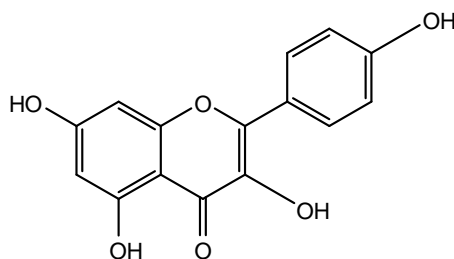


4

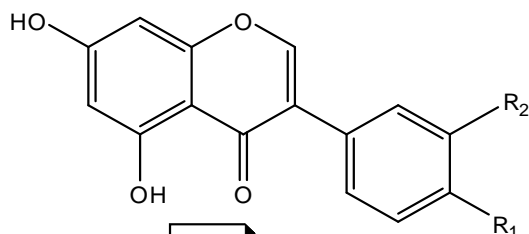
	R1	R2
a	OH	H
b	OGlu	H
c	OH	OH



5

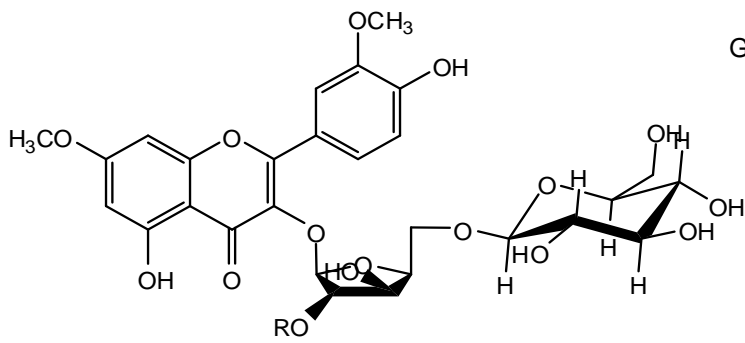


6



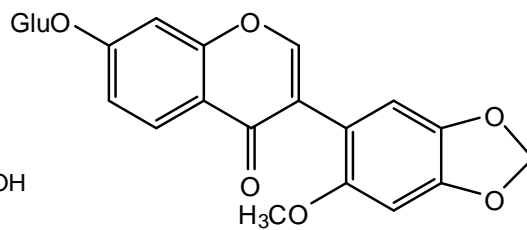
7

	R1	R2
a	OCH3	H
b	OCH3	OH
c	OH	OCH3

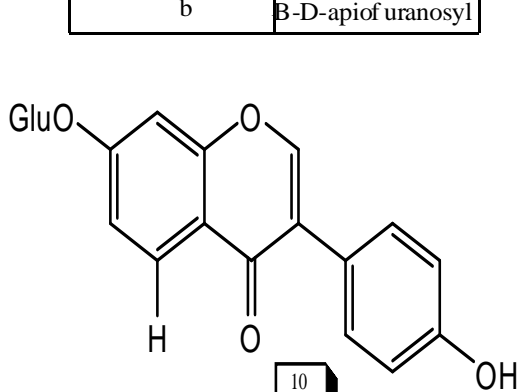


8

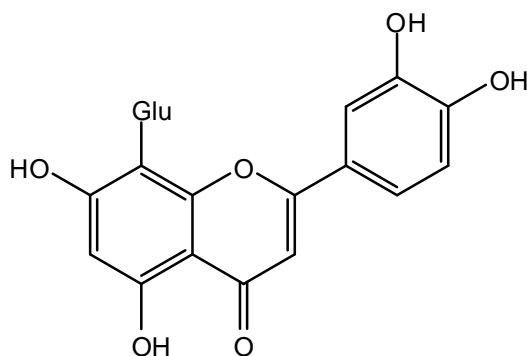
	R
a	H
b	B-D-apiof uranosyl



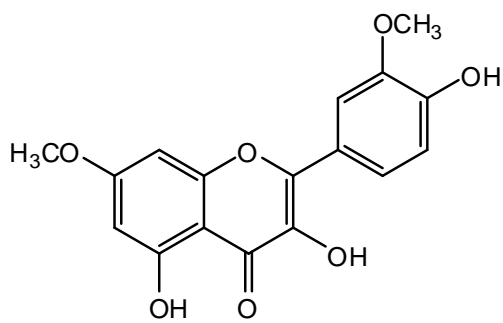
9



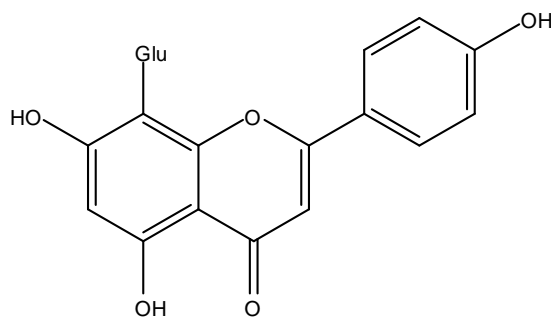
10



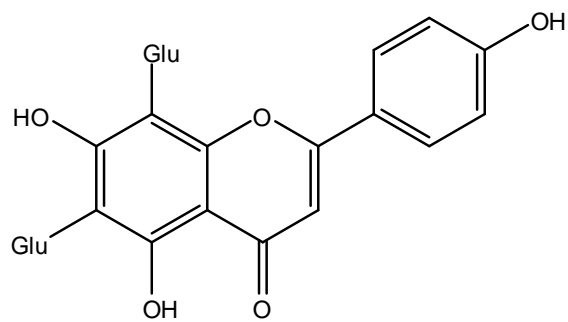
11



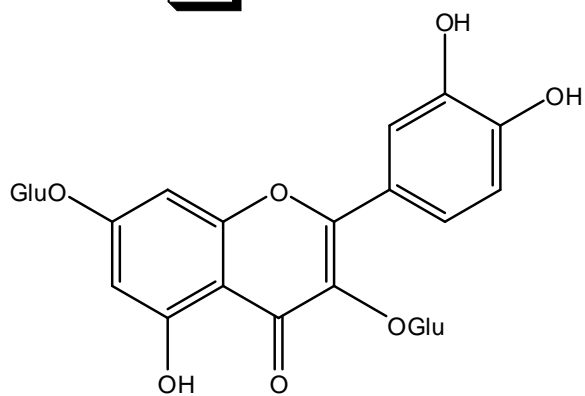
12



13



14



15

## II - ب - الدراسة الكيميائية لنبات *Ammoides atlantica*

### II - ب - 1 - التصنيف النظامي للنبات :

Embranchement	Spermaphytes	الفرع
Sous embranchement	Angiospermes	تحت الفرع
Classe	Dicotylédones	الصف
Sous classe	Rosida	تحت الصف
Ordre	Apiales	الرتبة
Famille	Apiaceae	العائلة
Sous famille	Apioidae	تحت العائلة
Genre	<i>Ammoides</i>	الجنس
Espèce	<i>Ammoides atlantica</i>	النوع

### II - ب - 2 - وصف النوع :

*Ammoides atlantica* : نبات حولي أو معمّر ذات حزم كثيفة فقيرة إلى الوريدات في الأوراق القاعدية .

سيقانها أقل تشعباً مقارنةً بالنوع الآخر *Ammoides pusilla* ، تتميز بحيمات ذات 3 إلى 6 أشعة ، أما الثمار فذات شعاع بيضوي بطول 2-2.5 ملم ، تنمو بالجبال في المرتفعات الأكثر من 1000 م و هي نبتة أصلية بالجزائر . [2]



الشكل (2) : صورة فوتوغرافية للنبات *Ammoides atlantica*

## II - ب - 3 - المسح البيولوجي للجنس *Ammoides* :

تستعمل كل من نوعي *Ammoides* : *A.pusilla* و *A.atlantica* في الطب الشعبي كمضاد للبكتيريا والإسهال . كما تستعمل *A.pusilla* لمعالجة الحمى، الإنفلونزة و تداوي أوجاع الرأس كما تنقع في الكحول أو حمض الخل وتمزج مع الحناء لمعالجة التخلف العقلي لدى الأطفال، بالإضافة إلى استعمالها كتوابل في الأطعمة [21] وقد ذكرها ابن البيطار في كتابه الجامع لمفردات الأدوية والأغذية باسم أطريلال وهي كلمة بربرية تعني رجل طائر ، يعرف بالديار المصرية برجل الغراب و بعضهم يسمونه بجزر الشيطان، وقد نوه بعضهم فائدتها في علاج البرص . وأول ما ظهر استعمال هذه النبتة كان عند قبيلة بربرية تعرف ببني أبي شعيب من بني وجهان من بجاية [22] .

كما يستعمل المستخلص المائي لهذه النبتة في الطب الشعبي شرق المغرب كعلاج لداء السكري وهذا ما أثبتته التحاليل البيولوجية التي أجريت بطريقتي: OGTT (Oral glucose Tolerance Test) و IVGTT (Injection vasculaire glucose Tolerance Test) والتي أثبتت التأثير التثبيطي للمستخلص المائي للنبتة *A.pusilla* على إمتصاص السكر بنسبة 28.5% بجرعة 250 mg/Kg وقد طمأنت التحاليل السمية من عدم وجود مضاعفات أو مخاطر من إستعمال هذه النبتة [23] .

كما أثبت حسين لعور وفرقه التأثير التثبيطي للزيت الطيار لـ *A.pusilla* على كل من نوعي البكتيريا الممرضة :

*Pseudomonas syringae* pv. *syringae* و *Pseudomonas syringae* pv. *morsprunorum* [24]

كما أظهر هذا الزيت فعالية ضد ميكروبية معتبرة على كل من السلالات :

*Serratia marcescens*, *Salmonilla enteritidis*, *Escherichia coli*(ATCC25922), *Pseudomonas aeruginosa*(ATCC27853), *Staphylococcus aureus*(ATCC25923), *Klebsiella pneumoniae*, *Pseudomonas syringae* pv.*morsprunorum*, *Pseudomonas syringae* pv.*syringae*, *Aspergillus niger* , *Candida albicans* [21]

أما بالنسبة للنوع الثاني *A.atlantica* فقد أظهر التشخيص البيولوجي لزيته الطيار فعالية ضد

ميكروبية على كل من الأنواع : *Escherichia coli*(ATCC25922),

*Staphylococcus aureus*(ATCC25923) و *Enterococcus faecalis* (ATCC29212)

كما سجل هذا الزيت تأثيرا تثبيطيا جد فعال على النوع النباتي *Bacillus subtilis*(ATCC6633)

بمقدار أقل من 6.25mg/l [25] .

II - ب - 4 - المسح الكيميائي للجنس *Ammoides* :

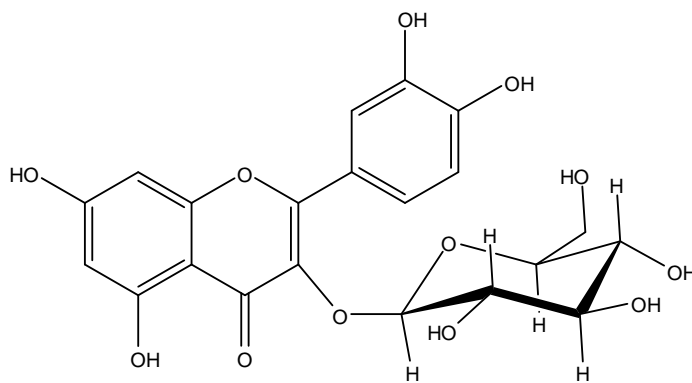
باستعمال GC/MS, GC للزيت الطيار لكل من *A. pusilla* [21] و *A. atlantica* [25] أثبت إحتوائها على نفس المركبات الأعظمية و بنسب متقاربة كما هو موضح في الجدول التالي:

المركبات الأعظمية	Thymol	$\gamma$ -terpinene	p-cymene
<i>A. atlantica</i>	53.2%	19.4%	10.6%
<i>A. pusilla</i>	44.5%	32.9%	13.5%

وبالنسبة للمركبات الفلافونيدية لم تحض *A. atlantica* بأي دراسة مسبقة على هذا النوع من مركبات الأيض الثانوي .

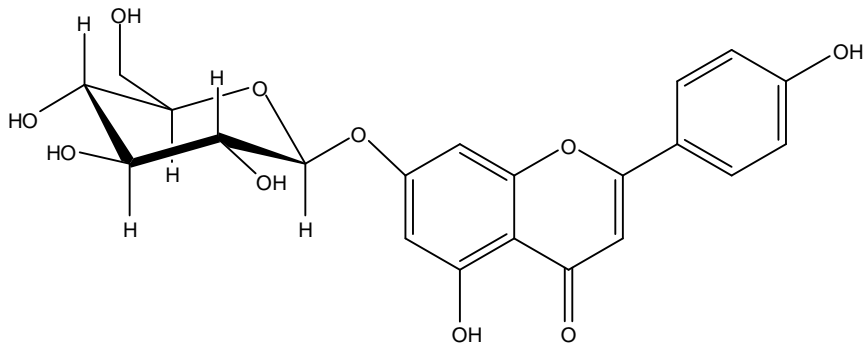
أما عن *A. pusilla* فكل ما تم فصله مدرج في الجدول التالي :

اسم المركب	الصيغة الجزيئية	رقم الصيغة	رقم المرجع
Quercetin 3 -O- $\beta$ -glucoside	$C_{21}H_{20}O_{12}$	16	[26]
Apigénine 7-O- $\beta$ -glucoside	$C_{21}H_{20}O_{10}$	17	
Luteoline 7-O-Rhamnoglucoside	$C_{27}H_{30}O_{15}$	18b	
Luteoline 7-O- $\beta$ -glucoside	$C_{21}H_{20}O_{11}$	18a	[27]
Quercetin 3 -O- $\beta$ -glucuronide.	$C_{21}H_{18}O_{13}$	19	

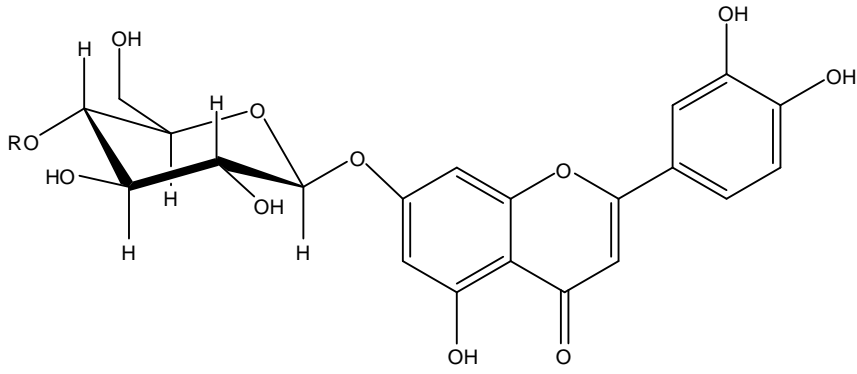


16



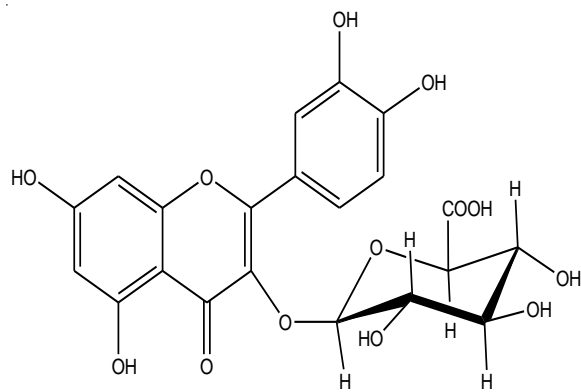


17



18

	R
a	H
b	Rhamnosyl



19

## المراجع

- [1] Messaili, B. (1995). Systématique des spermaphytes, ed. office des publications universitaires, Alger, 75.
- [2] Quezel, P. and Santa, S. (1963). Nouvelle flore de l'Algérie et des régions désertiques méridionales.
- [3] Haas, P., Pugnaire, F.I., Fernandez, E.M., Puigdefabregas, J., Clark, S.C. and Incoll, L.D. (1996). Investigation of rooting depth in the semi aride shrub *Retama sphaerocarpa*(L)Boiss. by lablling of ground water with a chemical tracer, Journal of Hydrology ,177,23-31.
- [4] Shokri Ibrahim, S. (1994). The Flower plants, 173.
- [5] Greuter, W. and al. (1989). (eds). Med-Chencklist, vol.4 (published).
- [6] Heywood, V.H. (1968). Leguminosae in Flora Europaea, Heywood, V.H. Burges, N.A., Moore, D.M., Valentine, D.H., Walters, S.M., Webb, D.A. (Eds). Cambridge University press, London, 101.
- [7] Burkart, A. (1952). Acme Agency, Buenons Aires, Las Leguminosas argentinas, 569.
- [8] Martin-Cordero, Saeng, M.T. Augusto, M.J. (1995). Cytotoxic activity of *Retama sphaerocarpa*, Fitoterapia, vol. LXVI, N° .6.
- [9] Moro, M.J., Pugnaire,F.I., Haas,P. and Puigdefàbregas,J. (1997). Effect of the canopy of *Retama sphaerocarpa* on its understorey in semiarid environment, Functional Ecology,11,425-431.
- [10] Lopez l'azaro, M., Martin-Cordero, C.,Cortés,F.,Piñero,J. and Jesús Ayuso, M. (2000).Cytotoxic activity of flavonoids and extracts from *Retama sphaerocarpa* Boisie,Verlag der Zeitschrift für Naturforschung, 55c, 40-43.
- [11]Lopez l'azaro, M., Martin-Cordero, C. and Jesús Ayuso, M. (2000). Two new flavonol glycosides as DNA topoisomeraseI poisons,Verlag der Zeitschrift für Naturforschung, 55c, 898-902.
- [12]Meyer, B.N., Ferrigni, N.R., Putnam, J.E., Jacobsen, L.B., Nichols, D.E. and Melauhlin, J.L. (1982). Planta Med. 45, 31.
- [13]Ferrigni, N.R., Putnam, J.E., Aderson, B.J., Jacobsen, L.B., Nichols, D.E., Moore, D.S. and Mclaughlin, J.L. (1982). J. Nat. prod. 45, 679.
- [14]Martin-Cordero, C., Gil-serrano, A.M. and Ayuso Gonzalez, M.J. (1991). Plantas med. Et phytother. 25, 157.
- [15]Ribas, I. and Vega, J. (1953). – Ion. 13, 140, 148.
- [16]Kassem, M., Mosharrafa, S.A., Saleh, N.A.M.and Abdel-Wahab, S.M. (2000). Two new flavonoids from *Retama raetam* Fitoterapia, 71, 649-654.
- [17]Djeddi, S., Karioti, A. and Skaltsa, H.(2008). Flavonoids of *Retama raetam*Webb. from Algeria , Planta Med.74.
- [18]Martin-Cordero, C., L'opez Lazàro, M., Gil-Serrano, A., Rodriguez Carvajal, M.A. and Ayuso Gonzàlez, M.J. (1999). Novel flavonol glycoside from *Retama sphaerocarpa* Boissier, Phytochemistry, 51, 1129-1131.
- [19]L'opez Lazaro, M., Martin-Cordero, C., Iglesias-Guerra, F. and Ayuso Gonzàlez, M.J. (1998). An isoflavone glucoside from *Retama sphaerocarpa* Boissier, Phytochemistry, vol. 48 N° . 2, 401-402.
- [20]Louaar, S., Akkal, S., Bousetla, A., Medjroubi, K., Djarri, L. and Seguin, E. (2005). Phytochemical study of *Retama sphaerocarpa*, Chemistry of natural compound, Vol. 41, No.1.

- [21] Laouer, H., Zerroug, M.M., Sahli, F., Chaker, A.N., Valentini, G., Ferretti, G., Grande, M. and Anaya, J. (2003). Composition and antimicrobial activity of *Ammoides pusilla* (Brot.) Breistr. essential oil, *Journal of Essential Oil Research*, 15(2), 135-138.
- [22] IbnAlbitar, Dam. (1874). *Aljame Li-Mofradat al adwiyah wal aghthiyah* (The collection of medical and food items), Dar Sader Publishing, Beirut, Lebanon (in Arabic), Vol.1.
- [23] Bnouham, M., Merhfour, F. Z., Legssyer, A., Mekhfi, H., Maallem, S. and Ziyat, A. (2007). Antihyperglycemic activity of *Arbutus unedo*, *Ammoides pusilla* and *Thymelaea hirsute* *Pharmazie*, 62(8), 630-632.
- [24] Laouer, H., Zerroug, M. M., Chaker, A. N. and Bouzerzour, H. (2004). Study of the effect of *Ammoides pusilla* (Brot.) Breist, essential oil against *Pseudomonas sp.*, *Communications in Agricultural and Applied Biological Sciences*, 69(4), 619-624.
- [25] Laouer, H., Boulaacheb, N., Akkal, S., Singh, G., Marimuthu, P., de Heluani, C., Catalan, C. and Baldovini, N. (2008). Composition and antibacterial activity of the essential oil of *Ammoides atlantica* (Coss. et Dur.) Wolf., *Journal of Essential Oil Research*, 20(3), 266-269.
- [26] Boussetla, A., Akkal, S., Medjroubi, K., Louaar, S., Azouzi, S., Djarri, L., Zaabat, N., Laouer, H., Chosson, E. and Seguin, E. (2005). Flavonoid glycosides from *Ammoides pusilla*, *Chemistry of Natural Compounds*, 41(1), 95-96.
- [27] Nabel, A.M.S., Sabry, I.E.N., Mohamed, N.EH. and Hasnaa, A.H. (1983). Comparative study of the flavonoids of some local members of the umbelliferae, *Phytochemistry*, Vol.22, N<sup>o</sup>.6, pp.1417-1420.

## الفصل الثالث

المادة النباتية: الإستخلاص، الفصل، التنقية و الدراسة البيولوجية

### III - أ - الدراسة الكيميائية للنبتة *Retama sphaerocarpa*

#### 1\_ المادة النباتية :

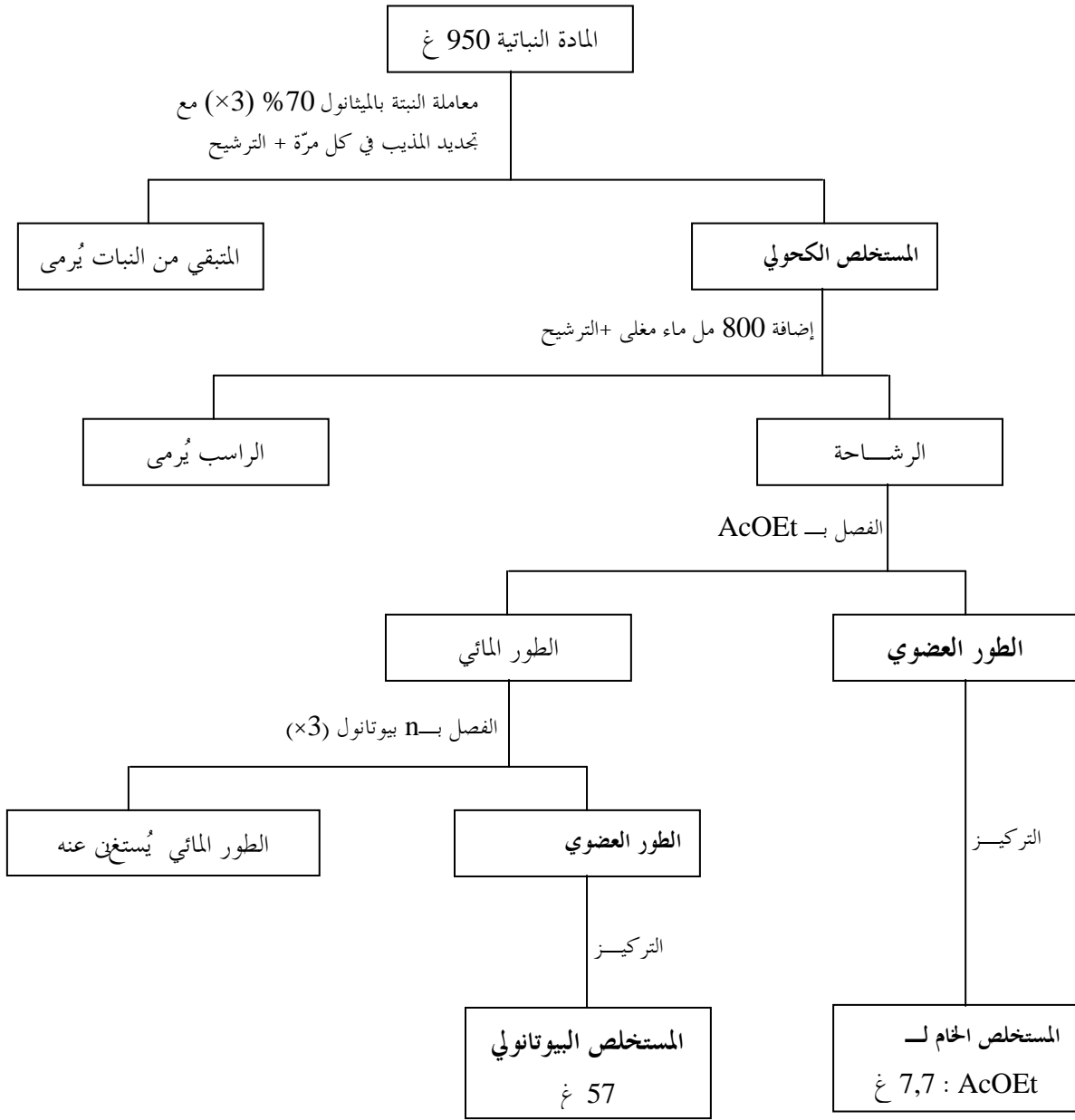
تم جمع *R. sphaerocarpa* في الأشهر ماي، جوان، جويلية 2002 من جبال سوق نعمان ولاية أم البواقي بالشرق الجزائري حيث تم جمع الجزء الهوائي من النباتة وهي في مرحلة الإزهار في شهر ماي ثم مرحلة الإثمار في شهر جويلية . أجريت عملية تجفيف النباتة في أماكن خاصة تحت الظلّ وبعيدا عن الرطوبة حيث كان الوزن المستعمل من مجموع خضري وثمارٍ وأزهار 950 غ.

#### 2\_ الاستخلاص :

بعد تجفيف النباتة اكتفينا بأخذ الأوراق والأزهار والثمار مع الفروع الدقيقة دون السيقان الغليظة وبعد تقطيعها إلى قطع صغيرة جدًا تم نقع المادة النباتية في محلول كحولي (MeOH :H<sub>2</sub>O / 30:70) ساخن إلى درجة الغليان وتركت لمدة 48 ساعة، رشح المحلول واستقبل المترشح الكحولي في دورق . تم تكرير العملية مرتين أخريين لمدة 24 ساعة، وبعد الترشيح جمعت المستخلصات الكحولية وركّزت عند درجة حرارة 40 °C للتخلص من الكحول بعدها أذيت في 800 ملل من الماء المقطر عند درجة الغليان ثم تركت للراحة ليلة كاملة بعدها رشحت للتحصل من الأتربة وبعض المركبات الليبوفيلية (كلوروفيل، دهون نباتية... الخ).

في الخطوة الثانية وضعت الرشاحة في قمع فصل وأضيف لها 340 ملل من خلات الإثيل (AcOEt) وبعد الرج الجيد تُركت للراحة لمدة 24 ساعة بعدها فصلت الطبقة العضوية عن المائية ثم أعيدت نفس العملية للمرة الثانية على الطبقة المائية، وبعدها ركّز المستخلص العضوي لطور AcOEt فكان وزنه 7,7 غ. الطبقة المائية السابقة أضيف لها مذيب جديد وهو البيوتانول النظامي بحجم 345 ملل وبعد الرج الجيد تركت لمدة 24 ساعة بعدها فصلت الطبقة العضوية عن المائية ثم أعيدت العملية مرتين أخريين مع تركها للراحة 3 ساعات فقط ثم ركّز الطور العضوي للبيوتانول فكان وزنه 57 غ.

كلا المستخلصين يذاب في القليل من الميثانول للتخلص من أثار البيوتانول والأسيتات ويمثل الشكل (1) مختلف الخطوات المتبعة في عملية الاستخلاص.



الشكل (1) : مختلف الخطوات المتبعة في عملية الاستخلاص

### 3 - طرق الفصل والتقية :

قبل شرونا في عمليات الفصل أآرنا بعض الفحوص التحليلية على كل من المستخلص البيوتانولي ومستخلص الأستيات، باستعمال كروماتوغرافيا الطبقة الرقيقة من متعدد الأمد DC<sub>6</sub> ثنائي البعد :

البعد الأول : 4:3:3 - ميثانول : ميثيل إيثيل سيتون : طوليان.

البعد الثاني : 13:3:3:1 - أستيل أسيتون : ميثيل إيثيل سيتون : ميثانول : الماء.

من خلال مقارنة التح اليل المبنية في الكروماتوغرام (I) و (II) اتضح أنه لا توجد فوارق تستدعي دراسة مقارنة لكل من المستخلصين، فللحصول على أكبر عدد ممكن من المركبات الفلافونيدية عمدنا إلى جمع المستخلصين.

زيادة على كروماتوغرافيا الطبقة الرقيقة قمنا بإنجاز كروماتوغرافيا سائلة عالية الكفاءة (HPLC) لكل من مستخلص الأستيات والبيوتانول باستعمال : عمود Kromasil C18 100 A° (250 x 4.6 mm) وجملة مملصة تتكوّن من مذيبين :

المذيب A : الماء / حمض الخل : 20/1000.

المذيب B : أسيتونتريل / الماء / حمض الخل : 20/200/800.

حيث يغيّر المملص آليا، ويتم التمليص تحت طول موجة مقدارها  $\lambda = 350 \text{ nm}$ .

نظرا لما يبينه الكروماتوغرام III و IV من غنى النبتة بالمكونات الفلافونيدية ومدى تداخلها لجأنا إلى فصل أولي بكرماتوغرافيا العمود لـ (15,11 غ من خليط المستخلصين مستعملين لهذا الغرض متعدد الأمد (SC<sub>6</sub> polycaprolactone) كطور ثابت.

قد تم تحضير المستخلص بإذابة الكمية المراد فصلها في القليل من الميثانول مع إضافة

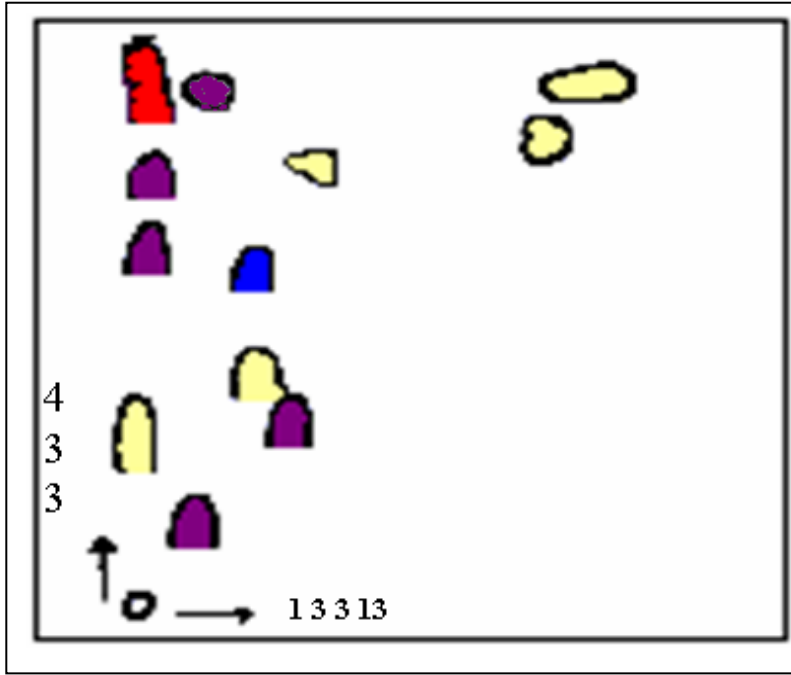
حوالي 2 غ من متعدد الأمد SC<sub>6</sub> وبعد التركيز والتجفيف الجيد وضع المسحوق المتحصل عليه

بجذر كبير في أعلى العمود الذي كان قد غُسل جيّداً بالطوليان وتُرك للراحة ليلية كاملة، وقد

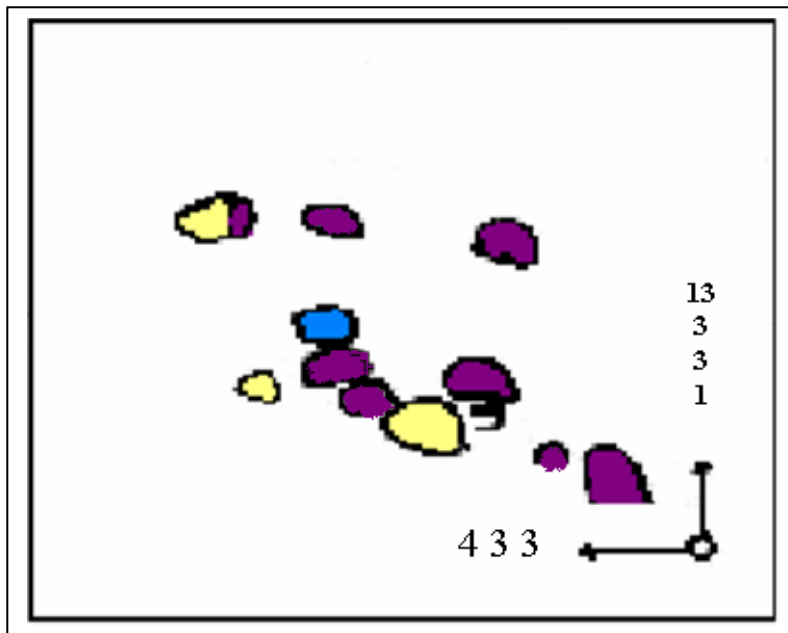
استعمل التولوين كملص مع تغير القطبية بالإضافة التدريجية للميثانول إلى غاية الوصول إلى

100% ميثانول وتم مراقبة الحزم النازلة باستعمال مصباح الأشعة فوق البنفسجية والكسور المحصل

عليها مدونة في الجدول (1).

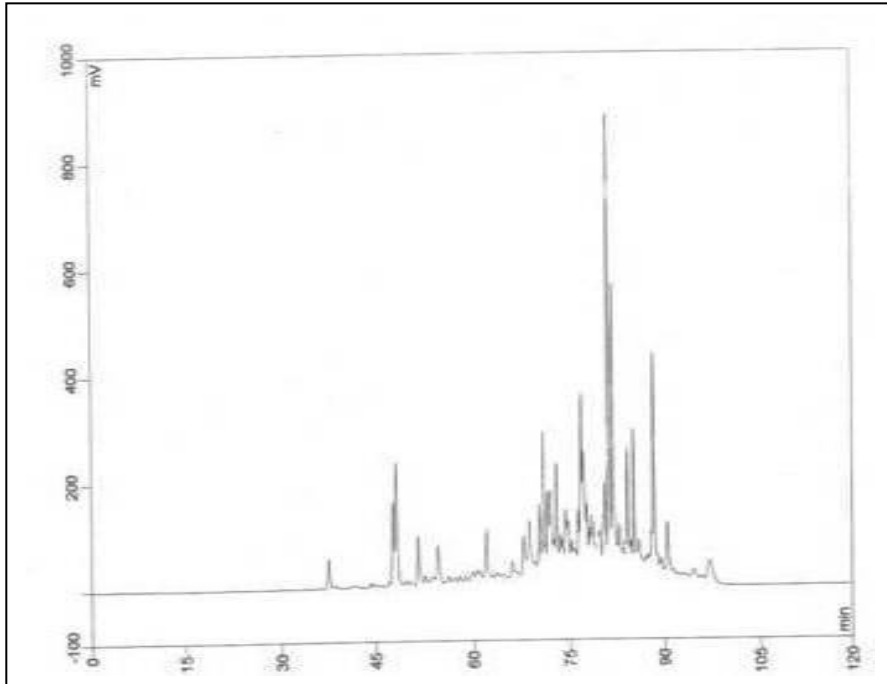


كروماتوغرام (I) ثنائي البعد لمستخلص الأسيتات لنبات *Retama sphaerocarpa*

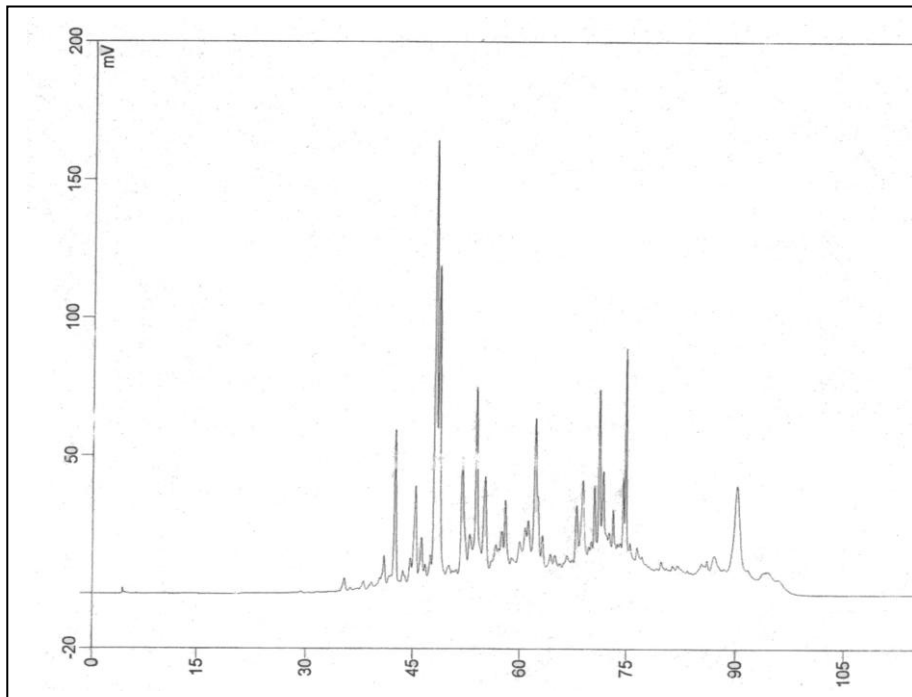


كروماتوغرام (II) ثنائي البعد لمستخلص البيوتانول لنبات *Retama sphaerocarpa*





كروماتوغرام (III) لطور الأسيتات (H.P. LC.)



كروماتوغرام (IV) لطور البيوتانول (H.P. L C.)

الجدول (1) : الكسور المتحصل عليها من العمود الكروماتوغرافي

الملاحظة	الميثانول %	الطوليان %	رقم الكسر
F <sub>1</sub> ظهور مركب في شكل راسب أبيض	0	100	<b>1</b>
	2	98	<b>2</b>
	5	95	<b>3</b>
F <sub>2</sub> خليط لم يعالج	5	95	<b>4</b>
	7	93	<b>5</b>
	10	90	<b>6</b>
F <sub>3</sub> ظهور مركب نقي في شكل راسب أبيض يختلف عن المركب السابق	10	90	<b>7</b>
	15	85	<b>8</b>
	20	80	<b>9</b>
F <sub>4</sub> خليط لم يعالج مع ظهور الراسب F <sub>3</sub>	20	80	<b>10</b>
F <sub>5</sub> خليط لم يعالج	20	80	<b>11</b>
	25	75	<b>12</b>
F <sub>6</sub> ظهور مركب نقي في شكل راسب أبيض	25	75	<b>13</b>
F <sub>7</sub> خليط لم يعالج	25	75	<b>14</b>
F <sub>8</sub> خليط	30	70	<b>15</b>
F <sub>9</sub> خليط	30	70	<b>16</b>
F <sub>10</sub> خليط	40	60	<b>17</b>
	50	50	<b>18</b>
F <sub>11</sub> خليط	50	50	<b>19</b>
F <sub>12</sub> خليط	50	50	<b>20</b>
	100	0	<b>21</b>

تم جمع الكسور المتشابهة باستعمال كروماتوغرافيا الورق (Whatman N°3) ذات البعد الواحد بواسطة نظامين مختلفين :

S<sub>1</sub> : حمض الخل 15%.

S<sub>2</sub> : الطبقة العضوية لـ BAW (4:1:5) .

فتم الحصول على الكسور الجديدة (F<sub>1</sub> ← F<sub>12</sub>).

قمنا باختيار F<sub>1</sub>, F<sub>3</sub>, F<sub>9</sub>, F<sub>10</sub> من بين الكسور المتبقية من العمل المنجز خلال رسالة الماجستير ، لسهولة فصلها مقارنة بالكسور الأخرى . إذ تم معالجة F<sub>10</sub>, F<sub>9</sub> بواسطة كروماتوغرافيا الورق (Whatman N°1, 3) التحضيرية مستخدمينا حمض الخل 15% كملص، لتتبع بعدها بكروماتوغرافيا الطبقة الرقيقة TLC لمتعدد الأמיד DC<sub>6</sub> مع النظام S<sub>3</sub> : 1 : 3 : 3 : 13 أستيل أسيتون : ميثيل إيثيل سيتون : ميثانول : الماء.

تنقي المركبات المحصل عليها تمت باستعمال عمود كروماتوغرافي صغير من متعدد الأמיד SC<sub>6</sub> وذلك بالاستعانة بالطوليان كمذيب وإغنائاه بالميثانول، كما استعملنا أيضا عمود صغير من السيفاداكس (Sephadex LH20) باستخدام الميثانول كمذيب . لنخلص أخيرا إلى المركبين النقيين F<sub>10G</sub>, F<sub>9</sub>.

أما الكسران F<sub>1</sub> و F<sub>3</sub> فكانا يحويان راسين أبيضين تم غسلهما بومضات متتالية من الميثانول البارد لنحصل على المركبين الأعظميين في صورتهم النقية F<sub>1</sub>, F<sub>3</sub> .

#### 4 - الفعالية ضد بكتيرية :

● **سلالات الاختبار:** تم الحصول على الأنواع البكتيرية , *Staphylococcus aureus* ATCC 29213 و *Staphylococcus aureus* ATCC 43300 و *Echerichia Coli* ATCC 25922 من مخبر علم البكتيريا و الطفيليات بالمستشفى الجامعي بسطيف .

● **الاختبار البيولوجي:** تمت دراسة الفعالية ضد بكتيرية باستعمال تقنية الأقراص كما هو معمول به في إدارة الغذاء و الدواء بالولايات المتحدة الأمريكية [1]، زراعة البكتيريا تمت باستعمال محلول ملحي معقم للحصول على اضطراب أو غباشة (turbidity) مساوية للكثافة الضوئية 0.08-0.1 عند طول الموجة 625 nm.

تستعمل أقراص ورق واتمان رقم 1 بقطر 6mm مشبعة بـ 10µl من كل تخفيف من المستخلصات المحضرة بتركيز 1.25g/1 ، بعد التخفيف توضع الأقراص على سطح أطباق

بتري الحاوية على الأجار المغذي بسمك 4mm المزروع بمخ تلف أنواع البكتيريا المحضرة من مزرعة فتية (18 ساعة )، وذلك باستعمال طريقة المسح . و يستعمل gentamycin و الإيثانول كشاهد، تحضن الأطباق في درجة حرارة 37 °C .

بعد 18 ساعة من التحضين تسجل النتائج بقياس متوسط قطر منطقة التثبيط حول كل قرص كما هو موضح في الجدول (2). ولمعرفة مدى تأثير المستخلصات على البكتيريا تأخذ عينات من منطقة التثبيط لتوضع في وسط مغذي ليعاد حضنها في الدرجة 37 °C لمدة 18 ساعة. من خلال النتائج المحصل عليها نلاحظ التأثير القاتل للمستخلص البيوتانولي في حين أبدى مستخلص الأسيتات تأثيرا تثبيطيا على النوع *S. aureus* ATCC 43300 في حين لم تتأثر *E. coli* ATCC 25922 بأي مستخلص أي أن هذه المستخلصات ذات فعالية على البكتيريا موجبة الغرام .

الجدول (2): يوضح قطر التثبيط لمستخلصي النبتة *Retama sphaerocarpa*

سلالات الإختبار	المستخلص	منطقة التثبيط بـ (mm)							
		1/5v/v			1/10v/v			ethanol	Gent.
		R1	R2	R3	R1	R2	R3		
<i>S. aureus</i> ATCC 43300	A	12S	11S	12S	8S	7S	8S	-	16
	B	20C	20C	20C	15C	15C	15C	-	16
<i>S. aureus</i> ATCC 29213	A	11S	11S	13S	8S	7S	8S	-	35
	B	11S	10S	11S	9S	9S	8S	-	35
<i>E. coli</i> ATCC 25922	A	-	-	-	-	-	-	-	30
	B	-	-	-	-	-	-	-	30

B:butanolic extract

A: AcOEt extract

R1= repetition n°1, R2= repetition n°2, R3= repetition n°3.

Gent.= Gentamycin

S= Bacteriostatic C= Bactericidal .

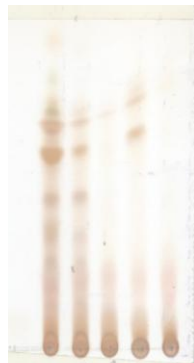
### III-ب -الدراسة الكيميائية للنبته *Ammoides atlantica*

1-المادة النباتية:جمعت النبتة من ضواحي ولاية سطيف بالشرق الجزائري (جبل مغرس) في جوان 2004 وخلال تجميع النبتة تم تخلصها من كل الشوائب العالقة بها , بعدها تمت عملية التجفيف في الظل بعيدا عن الرطوبة .

#### 2 - الاستخلاص:

بعد قطع النبتة إلى أجزاء دقيقة (700 غ) تم نقعها في محلول كحولي (MeOH :H<sub>2</sub>O / 30 :70) ساخن إلى درجة الغليان وتركت لمدة 24 ساعة .رشح المحلول واستقبل المرشح في دورق وبغية الحصول على مستخلص كاف ومعتبر أعيدت العملية ثلاث مرات و في كل مرة يعاد تجفيد المذيب .بعدها جمعت المستخلصات الكحولية وركزت عند 35°C - 50°C حتى الجفاف للتخلص نهائي من الكحول ليعاد إذابتها في حوالي 600 ملل ماء ملغى . ثم تركت للراحة لمدة ليلة كاملة بعدها رشحت للتخلص من الأتربة و الشوائب. قمنا بالاستخلاص من نوع سائل \_ سائل في قمع الفصل واستخدمنا لهذا الغرض مذيبين عديمي الإمتزاز مع الماء هما على التوالي أسيتات الإيثيل [5×200ملل] و البيوتانول العادي [3×200ملل] ليتم بعدها تجفيف المستخلصات تحت ضغط منخفض لتذاب في كميات ضعيفة من الميثانول، بعدها أجريت بعض التحاليل الكروماتوغرافية على المستخلصات الخمسة للأسيتات، باستعمال كروماتوغرافيا الطبقة الرقيقة من السيليكاجل فتبين تشابهها حسب كروماتوغرام (V) وقصد زيادة كميتها تم جمعها فكان وزنها بعد التجفيف 3.5 غ وبنفس الطريقة تم جمع مستخلصات البيوتانول فكان وزنها 22.77 غ.و الشكل (2) يمثل مختلف خطوات الإستهلاص .

AcOET :MeOH  
9 :1



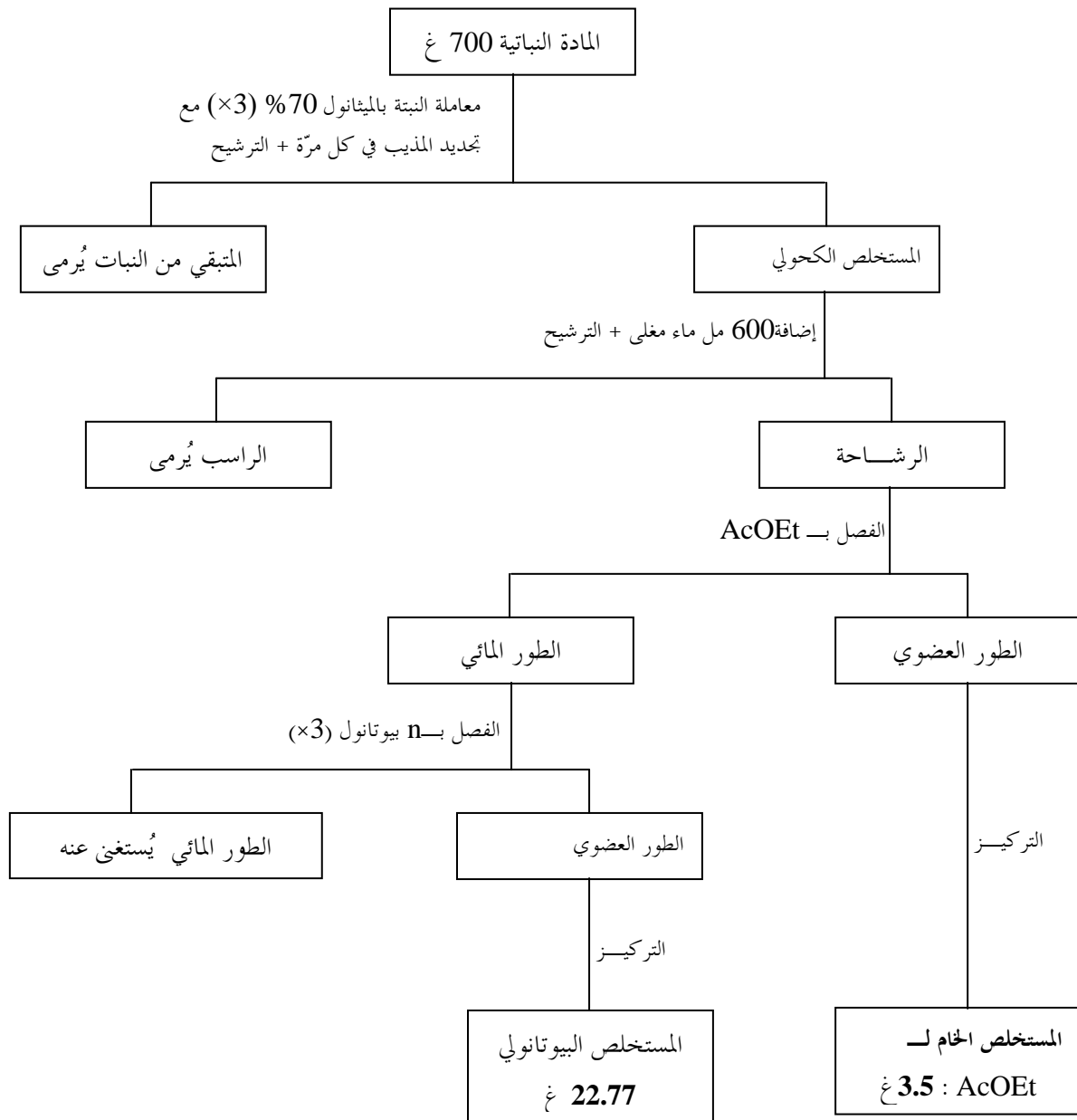
1 2 3 4 5

AcOET :MeOH  
8 :2



1 2 3 4 5

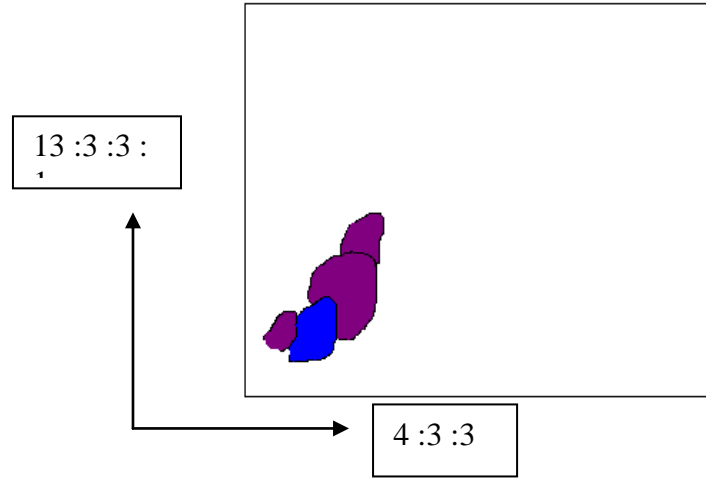
كروماتوغرام (V) الطبقة الرقيقة المستخلص الأسيتات لنبات *Ammoides atlantica*



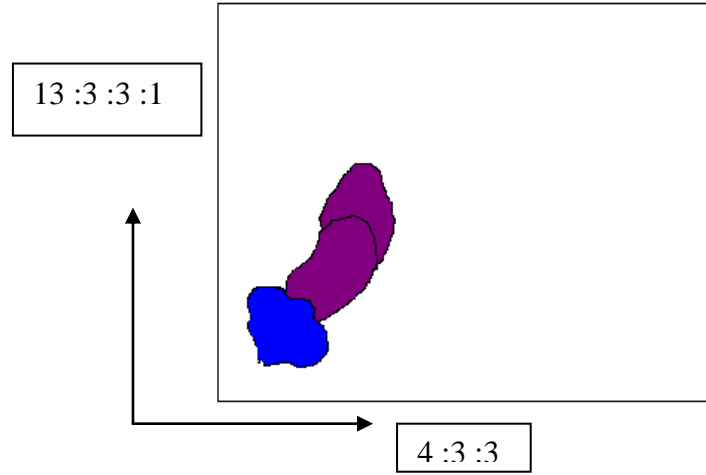
الشكل (2): مختلف الخطوات المتبعة في عملية الاستخلاص

### 3- طرق الفصل والتنقية :

قبل شروعا في عمليات الفصل قمنا بإجراء فحوصات تحليلية أولية لكل من مستخلص الأسيتات و البيوتانول وذلك بإستعمال الجماق الكروماتوغرافية التالية :  
كروماتوغرافيا الطبقة الرقيقة من متعدد الأميد DC<sub>6</sub> ثنائي البعد :  
البعد الأول : 4:3:3 - ميثانول : ميثيل إيثيل سيتون : طوليان.  
البعد الثاني : 13:3:3:1 - أستيل أسيتون : ميثيل إيثيل سيتون : ميثانول : الماء.



كروماتوغرام (VI) ثنائي البعد لمستخلص الأسيتات لنبات *Ammoides atlantica*



كروماتوغرام (VII) ثنائي البعد لمستخلص البيوتانول لنبات *Ammoides atlantica*

نلاحظ تشابه كبير بين الكروماتوغرامين (VI) و(VII) مما يعني عدم الجدوى من دراسة مقارنة كما نلاحظ فقر النبتة للمركبات الفلافونيدية و على الرغم من ذلك قررنا دراسة هذه النبتة لأصالتها, ومن خلال الكروماتوغرام (V) نلاحظ أن هذا النظام مناسب لفصل أكبر قدر ممكن من مركبات النبتة, ولذلك عمدنا إلى إجراء عمود كروماتوغرافي لـ 3.5 غ من طور الأسيتات مستعينين بـ سليكا جال (60; 0.04-0.063 nm Merk) كدعامة و الهكسان العادي كمملص ورفع القطبية بأسيئات الإثيل ليليها الميثانول .

وتم إستقبال الحزم النازلة في دوارق سعتها 100ملل ليتم جمع المتشابه منها بالاعتماد على كروماتوغرافيا الطبقة الرقيقة التحليلية (أوراق الألمنيوم 60F<sub>254</sub>Merk, gel de silice بسمك 0.2 ملم) والنتائج المحصل عليها مدونة في الجدول(3):

**الجدول (3) : الكسور المتحصل عليها من العمود الكروماتوغرافي**

رقم الكسر	الهكسان %	أسيئات الإثيل %	الملاحظة
<b>1-3</b>	100	0	لا شيء
<b>4-5</b>	95	5	<b>F<sub>1</sub></b> خليط لم يعالج
<b>6-10</b>	90	10	
<b>11-14</b>	85	15	<b>F<sub>2</sub></b> خليط لم يعالج
<b>15-17</b>	80	20	
<b>18-24</b>	80	20	<b>F<sub>3</sub></b> خليط لم يعالج
<b>24-27</b>	75	15	
<b>28-44</b>	75	15	<b>F<sub>4</sub></b> خليط لم يعالج
<b>45-59</b>	70	30	<b>F<sub>5</sub></b> خليط لم يعالج
<b>60-79</b>	65	35	<b>F<sub>6</sub></b> ظهور راسب أصفر نقي
<b>80-92</b>	60	40	
<b>93-97</b>	60	40	<b>F<sub>7</sub></b>



F <sub>7</sub> خليط ممكن الفصل	50	50	98-103
	50	50	104-108
F <sub>8</sub> خليط صعب الفصل	50	50	109-115
	60	40	116-123
F <sub>9</sub> خليط لم يعالج	60	40	124-141
	70	30	142-171
	80	20	172-174
F <sub>10</sub> ظهور مركب نقي	80	20	175-177
	90	10	178-209
F <sub>11</sub> خليط يظهر على شكل راسب	100	0	210-217
F <sub>12</sub> ظهور مركب نقي	100	0	218-250
	أسيتات الإثيل %	الميثانول %	رقم الكسر
	95	5	251-263
F <sub>13</sub> خليط بحري المركب السابق	90	10	264-269

خلال جمع هذه الكسور لاحظنا ظهور رواسب في البعض منها، ليتم غسلها بالميثانول البارد ثم يعاد بلورتها في الميثانول الساخن لنحصل على (32mg) من المركب AF<sub>10</sub> على شكل بلورات صفراء، نقية جدا، وعالي AF<sub>11</sub>(40mg) و AF<sub>6</sub> (10mg) في شكل مساحيق صفراء نقية . أما الراسب الذي يظهر في الكسر F<sub>12</sub> فتم غسله بالميثانول لنحصل على بلورات بيضاء ذوابة في الماء AF<sub>12</sub> (15mg).

إخترنا الكسر F<sub>7</sub> للدراسة لكميته المتوفرة، ولاحظنا أنه على مركب أعظمي AF<sub>7</sub> والمركب السابق AF<sub>6</sub>، فكان النظام المستعمل (5:5) n-hexane : ethyl acetate، لتتم تنقيته بعد ذلك بإستعمال عمود صغير من السيفاداكس (Sephadex LH20)، باستخدام الميثانول كمصلص . أما الكسور المتبقية فهي جد معقدة وتتواجد بكميات ضعيفة لا جدوى من دراستها .

## المرجع

- [1] Lennette , H.E., Balows, A., Hausler J.W., Shadomy H.J. (1985) . Manual of clinical microbiology. 4<sup>th</sup> ed. American Society for microbiology, Washington DC.

## الفصل الثالث

المادة النباتية: الإستخلاص، الفصل، التنقية و الدراسة البيولوجية

### III - أ - الدراسة الكيميائية للنبته *Retama sphaerocarpa*

#### 1\_ المادة النباتية :

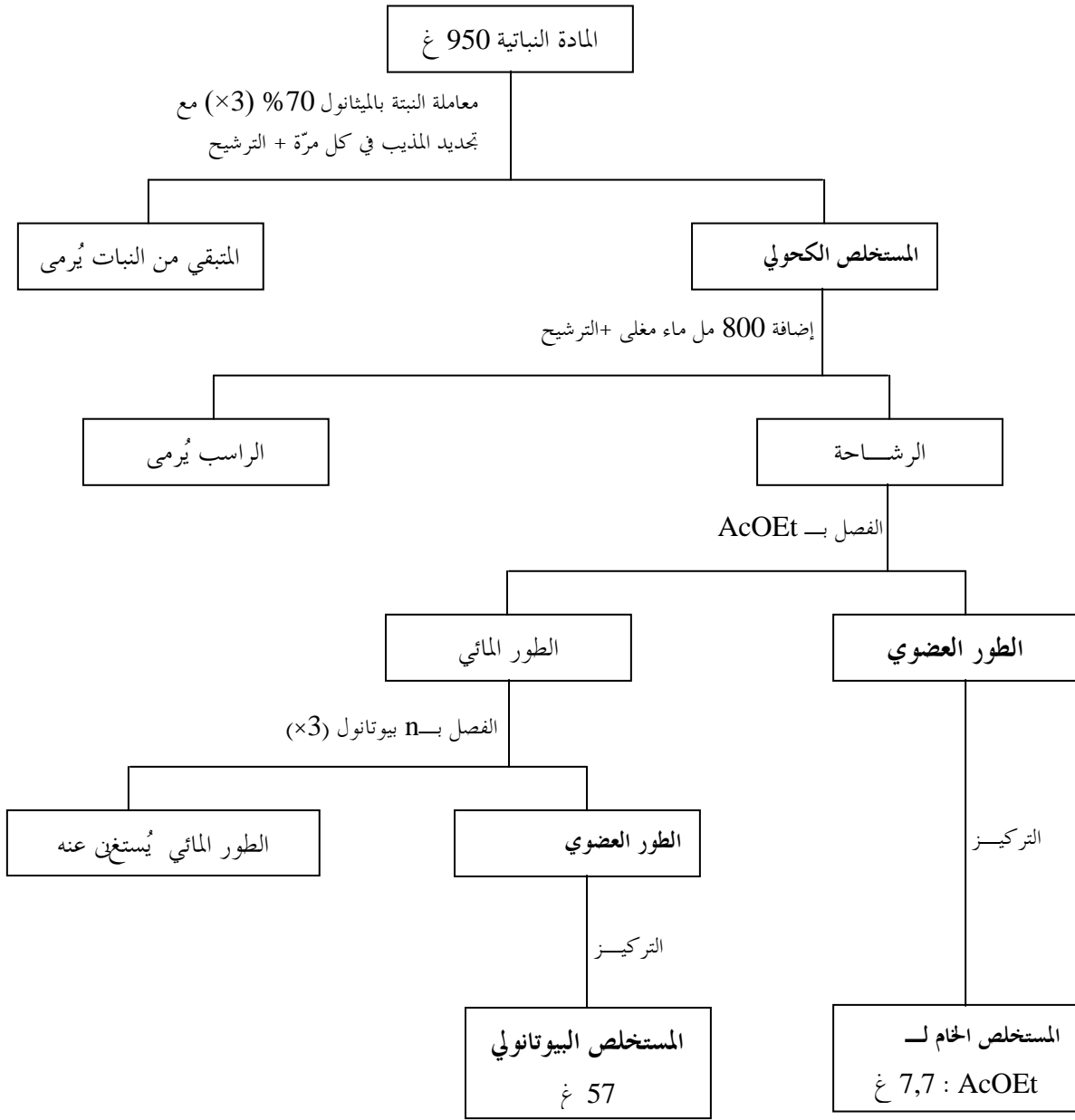
تم جمع *R. sphaerocarpa* في الأشهر ماي، جوان، جويلية 2002 من جبال سوق نعمان ولاية أم البواقي بالشرق الجزائري حيث تم جمع الجزء الهوائي من النبتة وهي في مرحلة الإزهار في شهر ماي ثم مرحلة الإثمار في شهر جويلية . أجريت عملية تجفيف النبتة في أماكن خاصة تحت الظلّ وبعيدا عن الرطوبة حيث كان الوزن المستعمل من مجموع خضري وثمارٍ وأزهار 950 غ.

#### 2\_ الاستخلاص :

بعد تجفيف النبتة اكتفينا بأخذ الأوراق والأزهار والثمار مع الفروع الدقيقة دون السيقان الغليظة وبعد تقطيعها إلى قطع صغيرة جدًا تم نقع المادة النباتية في محلول كحولي (MeOH :H<sub>2</sub>O / 30 :70) ساخن إلى درجة الغليان وتركت لمدة 48 ساعة، رشح المحلول واستقبل المترشح الكحولي في دورق . تم تكرير العملية مرتين أخريين لمدة 24 ساعة، وبعد الترشيح جمعت المستخلصات الكحولية وركّزت عند درجة حرارة 40 °C للتخلص من الكحول بعدها أذيت في 800 ملل من الماء المقطر عند درجة الغليان ثم تركت للراحة ليلة كاملة بعدها رشحت للتحصل من الأتربة وبعض المركبات الليبوفيلية (كلوروفيل، دهون نباتية... الخ).

في الخطوة الثانية وضعت الرشاحة في قمع فصل وأضيف لها 340 ملل من خلات الإثيل (AcOEt) وبعد الرج الجيد تُركت للراحة لمدة 24 ساعة بعدها فصلت الطبقة العضوية عن المائية ثم أعيدت نفس العملية للمرة الثانية على الطبقة المائية، وبعدها ركّز المستخلص العضوي لطور AcOEt فكان وزنه 7,7 غ. الطبقة المائية السابقة أضيف لها مذيب جديد وهو البيوتانول النظامي بحجم 345 ملل وبعد الرج الجيد تركت لمدة 24 ساعة بعدها فصلت الطبقة العضوية عن المائية ثم أعيدت العملية مرتين أخريين مع تركها للراحة 3 ساعات فقط ثم ركّز الطور العضوي للبيوتانول فكان وزنه 57 غ.

كلا المستخلصين يذاب في القليل من الميثانول للتخلص من أثار البيوتانول والأسيتات ويمثل الشكل (1) مختلف الخطوات المتبعة في عملية الاستخلاص.



الشكل (1) : مختلف الخطوات المتبعة في عملية الاستخلاص

### 3 - طرق الفصل والتقية :

قبل شرونا في عمليات الفصل أجريننا بعض الفحوص التحليلية على كل من المستخلص البيوتانولي ومستخلص الأستيات، باستعمال كروماتوغرافيا الطبقة الرقيقة من متعدد الأמיד DC<sub>6</sub> ثنائي البعد :

البعد الأول : 4:3:3 - ميثانول : ميثيل إيثيل سيتون : طوليان.

البعد الثاني : 13:3:3:1 - أستيل أسيتون : ميثيل إيثيل سيتون : ميثانول : الماء.

من خلال مقارنة التح اليل المبنية في الكروماتوغرام (I) و (II) اتضح أنه لا توجد فوارق تستدعي دراسة مقارنة لكل من المستخلصين، فللحصول على أكبر عدد ممكن من المركبات الفلافونيدية عمدنا إلى جمع المستخلصين.

زيادة على كروماتوغرافيا الطبقة الرقيقة قمنا بإنجاز كروماتوغرافيا سائلة عالية الكفاءة (HPLC) لكل من مستخلص الأستيات والبيوتانول باستعمال : عمود Kromasil C18 100 A° (250 x 4.6 mm) ومجملة مملصة تتكوّن من مذيبين :

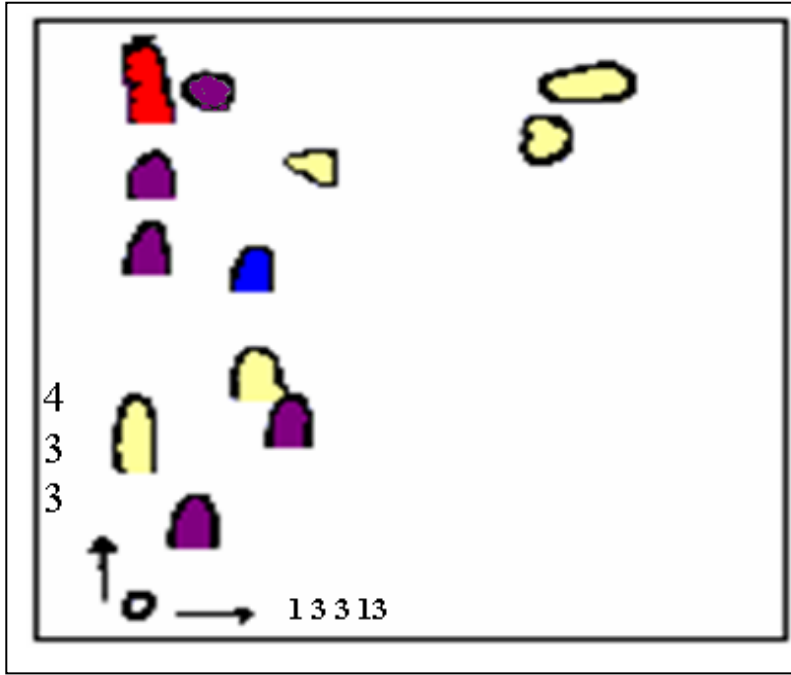
المذيب A : الماء / حمض الخل : 20/1000.

المذيب B : أسيتونتريل / الماء / حمض الخل : 20/200/800.

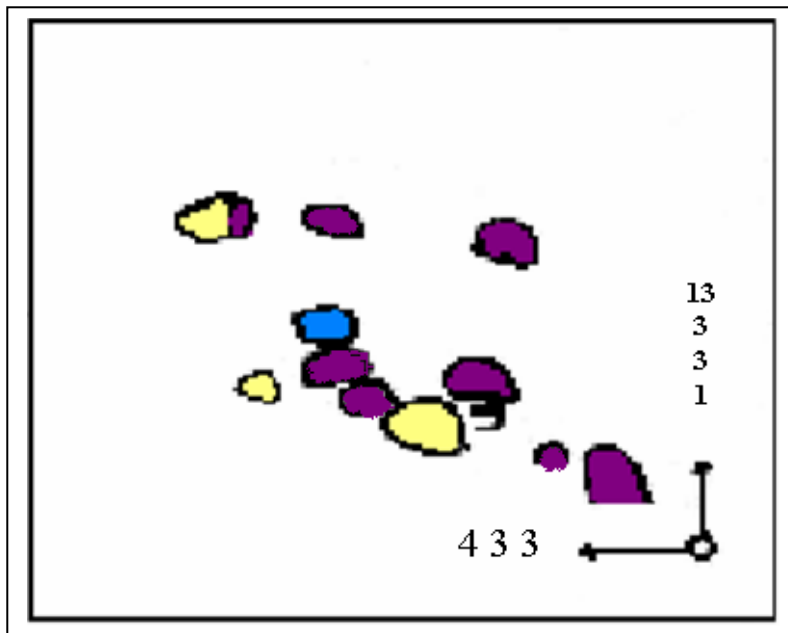
حيث يغيّر المملص آليا، ويتم التمليص تحت طول موجة مقدارها  $\lambda = 350 \text{ nm}$ .

نظرا لما يبينه الكروماتوغرام III و IV من غنى النبتة بالمكونات الفلافونيدية ومدى تداخلها لجأنا إلى فصل أولي بكروماتوغرافيا العمود لـ (15,11 غ من خليط المستخلصين مستعملين لهذا الغرض متعدد الأמיד (SC<sub>6</sub> polycaprolactone) كطور ثابت.

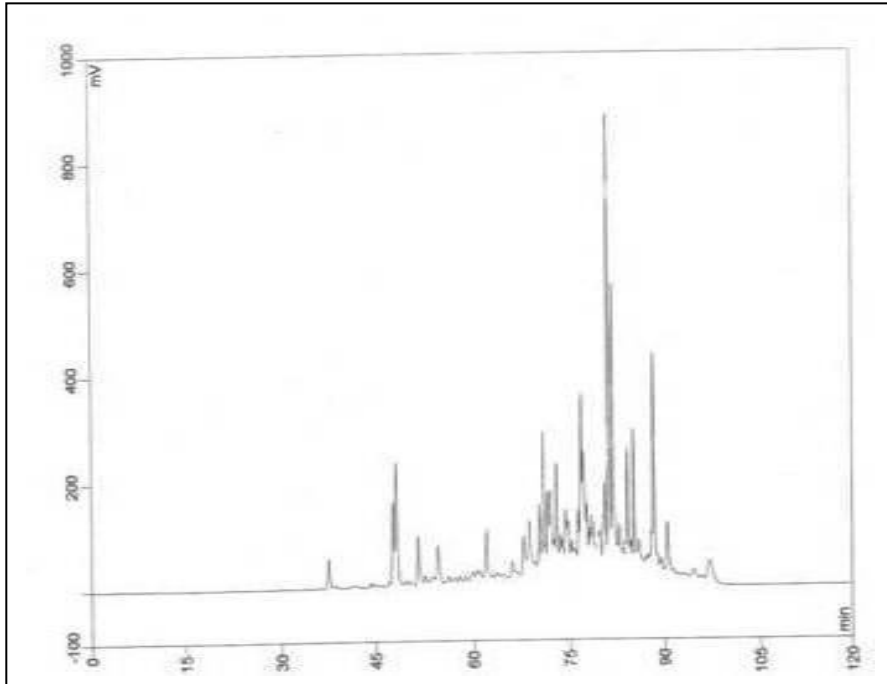
قد تم تحضير المستخلص بإذابة الكمية المراد فصلها في القليل من الميثانول مع إضافة حوالي 2 غ من متعدد الأמיד SC<sub>6</sub> وبعد التركيز والتجفيف الجيد وضع المسحوق المتحصل عليه بحذر كبير في أعلى العمود الذي كان قد غُسل جيّداً بالطوليان وتُرك للراحة ليلية كاملة، وقد استعمل التولوين كمملص مع تغير القطبية بالإضافة التدريجية للميثانول إلى غاية الوصول إلى 100% ميثانول وتم مراقبة الحزم النازلة باستعمال مصباح الأشعة فوق البنفسجية والكسور المحصل عليها مدونة في الجدول (1).



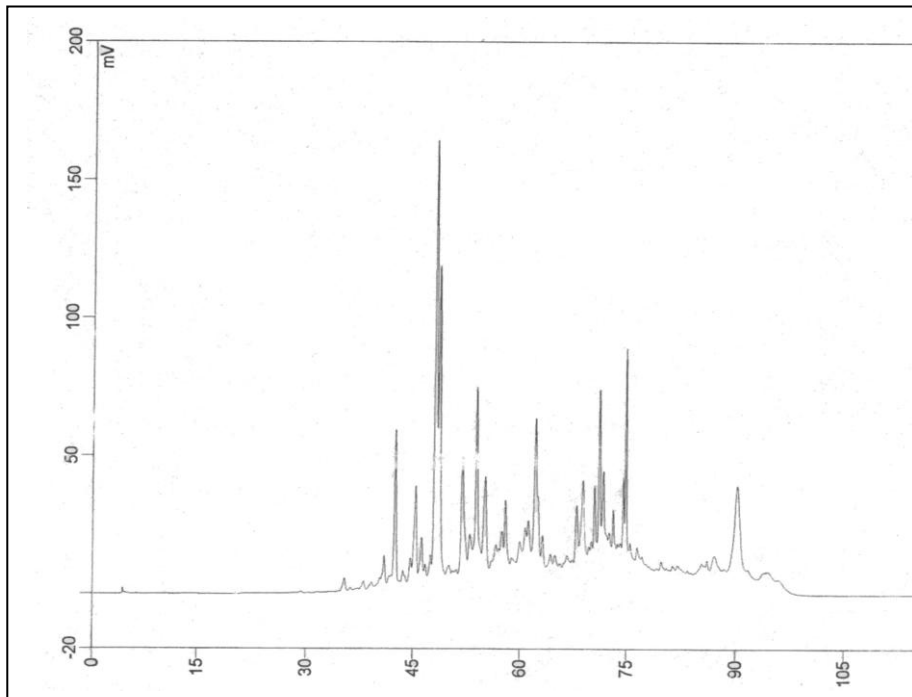
كروماتوغرام (I) ثنائي البعد لمستخلص الأسيتات لنبات *Retama sphaerocarpa*



كروماتوغرام (II) ثنائي البعد لمستخلص البيوتانول لنبات *Retama sphaerocarpa*



كروماتوغرام (III) لطور الأسيتات (H.P. LC.)



كروماتوغرام (IV) لطور البيوتانول (H.P. L C.)



الجدول (1) : الكسور المتحصل عليها من العمود الكروماتوغرافي

الملاحظة	الميثانول %	الطوليان %	رقم الكسر
F <sub>1</sub> ظهور مركب في شكل راسب أبيض	0	100	<b>1</b>
	2	98	<b>2</b>
	5	95	<b>3</b>
F <sub>2</sub> خليط لم يعالج	5	95	<b>4</b>
	7	93	<b>5</b>
	10	90	<b>6</b>
F <sub>3</sub> ظهور مركب نقي في شكل راسب أبيض يختلف عن المركب السابق	10	90	<b>7</b>
	15	85	<b>8</b>
	20	80	<b>9</b>
F <sub>4</sub> خليط لم يعالج مع ظهور الراسب F <sub>3</sub>	20	80	<b>10</b>
F <sub>5</sub> خليط لم يعالج	20	80	<b>11</b>
	25	75	<b>12</b>
F <sub>6</sub> ظهور مركب نقي في شكل راسب أبيض	25	75	<b>13</b>
F <sub>7</sub> خليط لم يعالج	25	75	<b>14</b>
F <sub>8</sub> خليط	30	70	<b>15</b>
F <sub>9</sub> خليط	30	70	<b>16</b>
F <sub>10</sub> خليط	40	60	<b>17</b>
	50	50	<b>18</b>
F <sub>11</sub> خليط	50	50	<b>19</b>
F <sub>12</sub> خليط	50	50	<b>20</b>
	100	0	<b>21</b>

تم جمع الكسور المتشابهة باستعمال كروماتوغرافيا الورق (Whatman N°3) ذات البعد الواحد بواسطة نظامين مختلفين :

S<sub>1</sub> : حمض الخل 15%.

S<sub>2</sub> : الطبقة العضوية لـ BAW (4:1:5) .

فتم الحصول على الكسور الجديدة (F<sub>1</sub> ← F<sub>12</sub>).

قمنا باختيار F<sub>1</sub> , F<sub>3</sub> , F<sub>9</sub>, F<sub>10</sub> من بين الكسور المتبقية من العمل المنجز خلال رسالة الماجستير , لسهولة فصلها مقارنة بالكسور الأخرى . إذ تم معالجة F<sub>9</sub>, F<sub>10</sub> بواسطة كروماتوغرافيا الورق (Whatman N°1, 3) التحضيرية مستخدمينا حمض الخل 15% كملص، لتتبع بعدها بكروماتوغرافيا الطبقة الرقيقة TLC لمتعدد الأמיד DC<sub>6</sub> مع النظام S<sub>3</sub> : 1 : 3 : 3 : 13 أستيل أسيتون : ميثيل إيثيل سيتون : ميثانول : الماء.

تنقية المركبات المحصل عليها تمت باستعمال عمود كروماتوغرافي صغير من متعدد الأמיד SC<sub>6</sub> وذلك بالاستعانة بالطوليان كمذيب وإغنائاه بالميثانول، كما استعملنا أيضا عمود صغير من السيفاداكس (Sephadex LH20) باستخدام الميثانول كمذيب . لنخلص أخيرا إلى المركبين النقيين F<sub>9</sub>, F<sub>10G</sub>.

أما الكسران F<sub>1</sub> و F<sub>3</sub> فكانا يحويان راسين أبيضين تم غسلهما بومضات متتالية من الميثانول البارد لنحصل على المركبين الأعظميين في صورتهم النقية F<sub>1</sub> , F<sub>3</sub> .

#### 4 - الفعالية ضد بكتيرية :

● **سلالات الاختبار:** تم الحصول على الأنواع البكتيرية , *Staphylococcus aureus* ATCC 29213 و *Staphylococcus aureus* ATCC 43300 و *Echerichia Coli* ATCC 25922 من مخبر علم البكتيريا و الطفيليات بالمستشفى الجامعي بسطيف .

● **الاختبار البيولوجي:** تمت دراسة الفعالية ضد بكتيرية باستعمال تقنية الأقراص كما هو معمول به في إدارة الغذاء و الدواء بالولايات المتحدة الأمريكية [1]، زراعة البكتيريا تمت باستعمال محلول ملحي معقم للحصول على اضطراب أو غباشة (turbidity) مساوية للكثافة الضوئية 0.08-0.1 عند طول الموجة 625 nm.

تستعمل أقراص ورق واتمان رقم 1 بقطر 6mm مشبعة بـ 10µl من كل تخفيف من المستخلصات المحضرة بتركيز 1.25g/1 ، بعد التخفيف توضع الأقراص على سطح أطباق

بتري الحاوية على الأجار المغذي بسمك 4mm المزروع بمخ تلف أنواع البكتيريا المحضرة من مزرعة فتية (18 ساعة )، وذلك باستعمال طريقة المسح . و يستعمل gentamycin و الإيثانول كشاهد، تحضن الأطباق في درجة حرارة 37 °C .

بعد 18 ساعة من التحضين تسجل النتائج بقياس متوسط قطر منطقة التثبيط حول كل قرص كما هو موضح في الجدول (2). ولمعرفة مدى تأثير المستخلصات على البكتيريا تأخذ عينات من منطقة التثبيط لتوضع في وسط مغذي ليعاد حضنها في الدرجة 37 °C لمدة 18 ساعة. من خلال النتائج المحصل عليها نلاحظ التأثير القاتل للمستخلص البيوتانولي في حين أبدى مستخلص الأسيتات تأثيرا تثبيطيا على النوع *S. aureus* ATCC 43300 في حين لم تتأثر *E. coli* ATCC 25922 بأي مستخلص أي أن هذه المستخلصات ذات فعالية على البكتيريا موجبة الغرام .

الجدول (2): يوضح قطر التثبيط لمستخلصي النبتة *Retama sphaerocarpa*

سلالات الإختبار	المستخلص	منطقة التثبيط بـ (mm)							
		1/5v/v			1/10v/v			ethanol	Gent.
		R1	R2	R3	R1	R2	R3		
<i>S. aureus</i> ATCC 43300	A	12S	11S	12S	8S	7S	8S	-	16
	B	20C	20C	20C	15C	15C	15C	-	16
<i>S. aureus</i> ATCC 29213	A	11S	11S	13S	8S	7S	8S	-	35
	B	11S	10S	11S	9S	9S	8S	-	35
<i>E. coli</i> ATCC 25922	A	-	-	-	-	-	-	-	30
	B	-	-	-	-	-	-	-	30

B:butanolic extract

A: AcOEt extract

R1= repetition n°1, R2= repetition n°2, R3= repetition n°3.

Gent.= Gentamycin

S= Bacteriostatic C= Bactericidal .

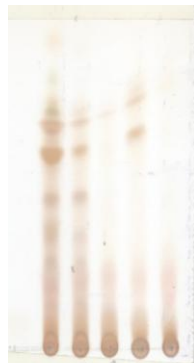
### III-ب -الدراسة الكيميائية للنبتة *Ammoides atlantica*

1-المادة النباتية:جمعت النبتة من ضواحي ولاية سطيف بالشرق الجزائري (جبل مغرس) في جوان 2004 وخلال تجميع النبتة تم تخليصها من كل الشوائب العالقة بها , بعدها تمت عملية التجفيف في الظل بعيدا عن الرطوبة .

#### 2 - الاستخلاص:

بعد قطع النبتة إلى أجزاء دقيقة (700 غ) تم نقعها في محلول كحولي (MeOH :H<sub>2</sub>O / 30 :70) ساخن إلى درجة الغليان وتركت لمدة 24 ساعة .رشح المحلول واستقبل المرشح في دورق وبغية الحصول على مستخلص كاف ومعتبر أعيدت العملية ثلاث مرات و في كل مرة يعاد تجفيد المذيب .بعدها جمعت المستخلصات الكحولية وركزت عند 35°C - 50°C حتى الجفاف للتخلص نهائي من الكحول ليعاد إذابتها في حوالي 600 ملل ماء ملغى . ثم تركت للراحة لمدة ليلة كاملة بعدها رشحت للتخلص من الأتربة و الشوائب. قمنا بالاستخلاص من نوع سائل \_ سائل في قمع الفصل واستخدمنا لهذا الغرض مذيبين عديمي الإمتزاز مع الماء هما على التوالي أسيتات الإيثيل [5×200ملل] و البيوتانول العادي [3×200ملل] ليتم بعدها تجفيف المستخلصات تحت ضغط منخفض لتذاب في كميات ضعيفة من الميثانول، بعدها أجريت بعض التحاليل الكروماتوغرافية على المستخلصات الخمسة للأسيتات، باستعمال كروماتوغرافيا الطبقة الرقيقة من السيليكاجل فتبين تشابهها حسب كروماتوغرام (V) وقصد زيادة كميتها تم جمعها فكان وزنها بعد التجفيف 3.5 غ وبنفس الطريقة تم جمع مستخلصات البيوتانول فكان وزنها 22.77 غ.و الشكل (2) يمثل مختلف خطوات الإستخلاص .

AcOET :MeOH  
9 :1



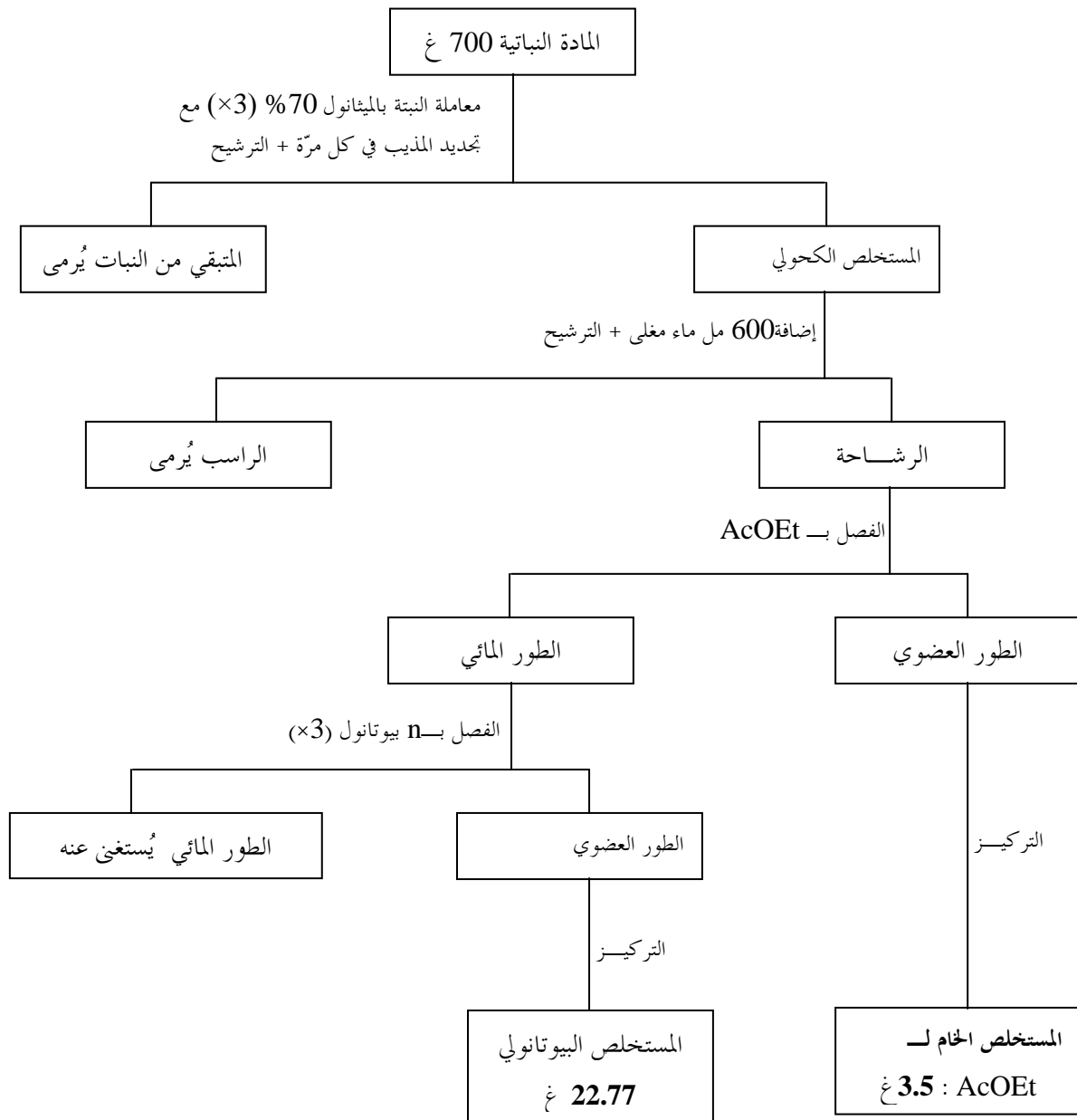
1 2 3 4 5

AcOET :MeOH  
8 :2



1 2 3 4 5

كروماتوغرام (V) الطبقة الرقيقة المستخلص الأسيتات لنبات *Ammoides atlantica*



الشكل (2): مختلف الخطوات المتبعة في عملية الاستخلاص

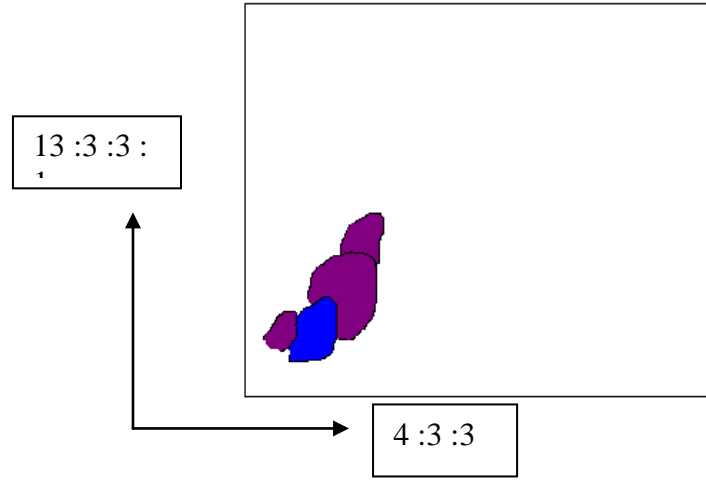
### 3- طرق الفصل والتنقية :

قبل شروعا في عمليات الفصل قمنا بإجراء فحوصات تحليلية أولية لكل من مستخلص الأسيتات و البيوتانول وذلك بإستعمال الجماق الكروماتوغرافية التالية :

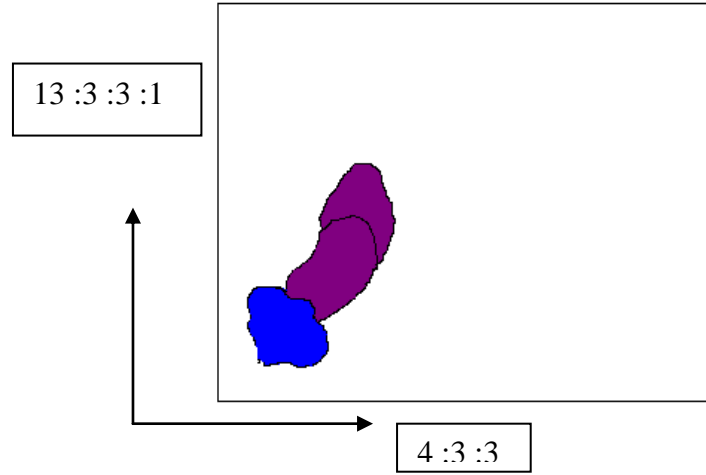
كروماتوغرافيا الطبقة الرقيقة من متعدد الأميد DC<sub>6</sub> ثنائي البعد :

البعد الأول : 4:3:3 - ميثانول : ميثيل إيثيل سيتون : طوليان.

البعد الثاني : 13:3:3:1 - أستيل أسيتون : ميثيل إيثيل سيتون : ميثانول : الماء.



كروماتوغرام (VI) ثنائي البعد لمستخلص الأسيتات لنبات *Ammoides atlantica*



كروماتوغرام (VII) ثنائي البعد لمستخلص البيوتانول لنبات *Ammoides atlantica*

نلاحظ تشابه كبير بين الكروماتوغرامين (VI) و(VII) مما يعني عدم الجدوى من دراسة مقارنة كما نلاحظ فقر النبتة للمركبات الفلافونيدية و على الرغم من ذلك قررنا دراسة هذه النبتة لأصالتها, ومن خلال الكروماتوغرام (V) نلاحظ أن هذا النظام مناسب لفصل أكبر قدر ممكن من مركبات النبتة, ولذلك عمدنا إلى إجراء عمود كروماتوغرافي لـ 3.5 غ من طور الأسيتات مستعينين بـ سليكا جال (60; 0.04-0.063 nm Merk) كدعامة و الهكسان العادي كملص و رفع القطبية بأسيئات الإثيل ليليها الميثانول .

وتم إستقبال الحزم النازلة في دوارق سعتها 100ملل ليتم جمع المتشابه منها بالاعتماد على كروماتوغرافيا الطبقة الرقيقة التحليلية (أوراق الألمنيوم 60F<sub>254</sub>Merk, gel de silice بسمك 0.2 ملم) والنتائج المحصل عليها مدونة في الجدول(3):

**الجدول (3) : الكسور المتحصل عليها من العمود الكروماتوغرافي**

رقم الكسر	الهكسان %	أسيئات الإثيل %	الملاحظة
<b>1-3</b>	100	0	لا شيء
<b>4-5</b>	95	5	<b>F<sub>1</sub></b> خليط لم يعالج
<b>6-10</b>	90	10	
<b>11-14</b>	85	15	<b>F<sub>2</sub></b> خليط لم يعالج
<b>15-17</b>	80	20	
<b>18-24</b>	80	20	<b>F<sub>3</sub></b> خليط لم يعالج
<b>24-27</b>	75	15	
<b>28-44</b>	75	15	<b>F<sub>4</sub></b> خليط لم يعالج
<b>45-59</b>	70	30	<b>F<sub>5</sub></b> خليط لم يعالج
<b>60-79</b>	65	35	<b>F<sub>6</sub></b> ظهور راسب أصفر نقي
<b>80-92</b>	60	40	
<b>93-97</b>	60	40	<b>F<sub>7</sub></b>

F <sub>7</sub> خليط ممكن الفصل	50	50	98-103
	50	50	104-108
F <sub>8</sub> خليط صعب الفصل	50	50	109-115
	60	40	116-123
F <sub>9</sub> خليط لم يعالج	60	40	124-141
	70	30	142-171
	80	20	172-174
F <sub>10</sub> ظهور مركب نقي	80	20	175-177
	90	10	178-209
F <sub>11</sub> خليط يظهر على شكل راسب	100	0	210-217
F <sub>12</sub> ظهور مركب نقي	100	0	218-250
	أسيتات الإثيل %	الميثانول %	رقم الكسر
	95	5	251-263
F <sub>13</sub> خليط بحري المركب السابق	90	10	264-269

خلال جمع هذه الكسور لاحظنا ظهور رواسب في البعض منها، ليتم غسلها بالميثانول البارد ثم يعاد بلورتها في الميثانول الساخن لنحصل على (32mg) من المركب AF<sub>10</sub> على شكل بلورات صفراء، نقية جدا، وعالي AF<sub>11</sub>(40mg) و AF<sub>6</sub> (10mg) في شكل مساحيق صفراء نقية . أما الراسب الذي يظهر في الكسر F<sub>12</sub> فتم غسله بالميثانول لنحصل على بلورات بيضاء ذوابة في الماء AF<sub>12</sub> (15mg).

إخترنا الكسر F<sub>7</sub> للدراسة لكميته المتوفرة، ولاحظنا أنه على مركب أعظمي AF<sub>7</sub> والمركب السابق AF<sub>6</sub>، فكان النظام المستعمل (5:5) n-hexane : ethyl acetate، لتتم تنقيته بعد ذلك بإستعمال عمود صغير من السيفاداكس (Sephadex LH20) باستخدام الميثانول كمصلص . أما الكسور المتبقية فهي جد معقدة وتتواجد بكميات ضعيفة لا جدوى من دراستها .



## المرجع

- [1] Lennette , H.E., Balows, A., Hausler J.W., Shadomy H.J. (1985) . Manual of clinical microbiology. 4<sup>th</sup> ed. American Society for microbiology, Washington DC.

# الفصل الرابع

التعيين البنيوي للمركبات المفصولة

IV - أ- التعيين البنيوي للمركبات المفصولة من النبتة *Retama sphaerocarpa* :

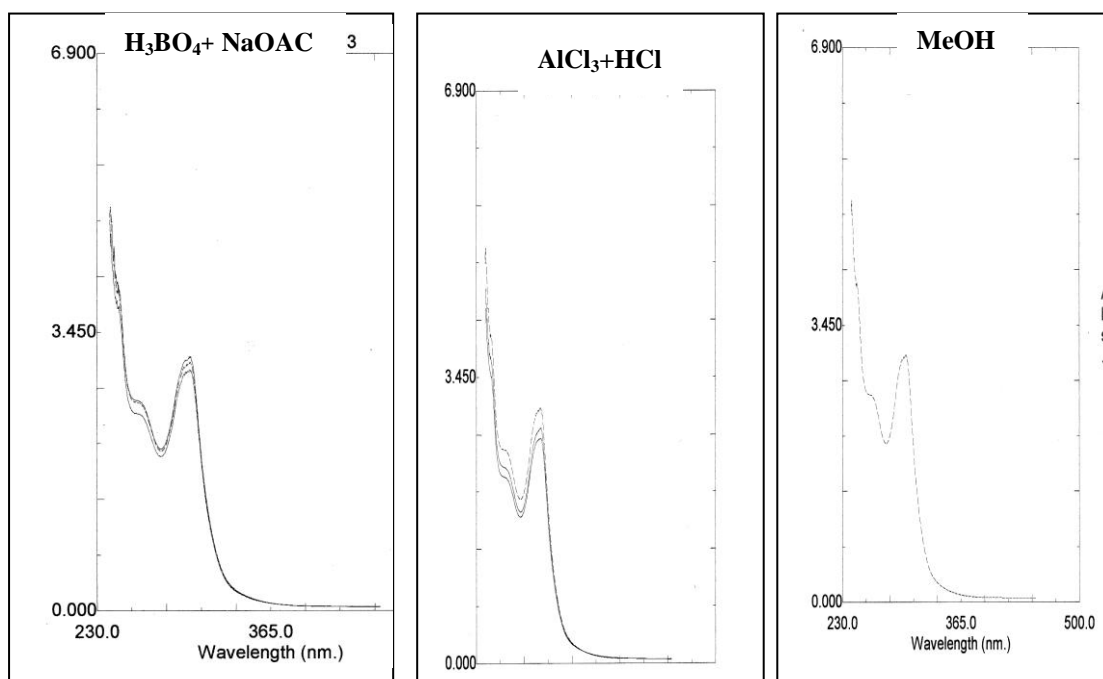
بالإضافة إلى المركبات الأربعة المكتشفة خلال رسالة الماجستير فقد تم التعرف على أربع أخرى، وذلك بالاستعانة بالسلوك الكروماتوغرافي وكذا المعطيات الطيفية (UV),  $NMR^1H$ ,  $NMR^{13}C$ , HSQC, HMBC, Ms, Cosy .

أ - 1 - التحليل البنيوي للمركب  $F_3$

- السلوك الكروماتوغرافي :

$S_1 = CH_3COOH$  (15%)  
 $S_2 = BAW$   
 $S_3 = 13 : 3 : 3 : 1$

$S_3$	$S_2$	$S_1$	الجملة
50	37	78	<b>Rfx100</b>
أصفر			اللون الاستشعاعي



الشكل (1) مطيافية الأشعة فوق البنفسجية والمرئية UV-Vis للمركب  $F_3$

طيف الأشعة فوق البنفسجية المسجل في الميثانول كما هو موضح في الشكل (1) يكشف على كون المركب  $F_3$  عبارة عن إيزوفلافون .  
غياب الإزاحة الباتوكرومية للحزمة II :

عند مقارنة طيف NaOAc بطيف MeOH دليل على غياب OH في الموقع 7.  
وعند مقارنة طيف NaOAc+H<sub>3</sub>BO<sub>4</sub> بطيف MeOH دليل على غياب أورثو ثنائي هيدروكسيل على الحلقة A .

عند مقارنة طيف AlCl<sub>3</sub>+HCl بطيف MeOH دليل على غياب OH في الموقع 5

أما مطيافية الرنين النووي المغناطيسي للبروتون حسب الشكل (2) فتظهر:

إشارة أحادية عند  $\delta = 8,25$  ppm موافقة لـ H<sub>2</sub> و المميزة للإيزوفلافون.

وإشارة ثنائية (J = 8,9 Hz) عند  $\delta = 8,00$  ppm موافقة لـ H<sub>5</sub>.

وإشارة ثنائية (J = 2,3 Hz) عند  $\delta = 7,25$  ppm موافقة لـ H<sub>8</sub>.

إشارة ثنائي ثنائي (J = 8,9-2,3 Hz) عند  $\delta = 7,15$  ppm موافقة لـ H<sub>6</sub>.

إشارة أحادية عند  $\delta = 6,87$  ppm موافقة لـ H<sub>5'</sub>.

إشارة أحادية عند  $\delta = 6,82$  ppm موافقة لـ H<sub>2'</sub>.

إشارة أحادية عند  $\delta = 6,00$  ppm موافقة لـ OCH<sub>2</sub>O.

إشارة أحادية عند  $\delta = 3,7$  ppm موافقة لـ OCH<sub>3</sub> .

وإشارة ثنائية (J = 7,5Hz) عند  $\delta = 5,12$  ppm موافقة للبروتون الأنوميري H<sub>1''</sub> للجليكوزالذي تم التعرف عليه من خلال الإماهة الحمضية لهذا المركب و المطابقة الكروماتوغرافية للسكر المتحرر مع الشواهد المعروفة حسب الشكل (19)

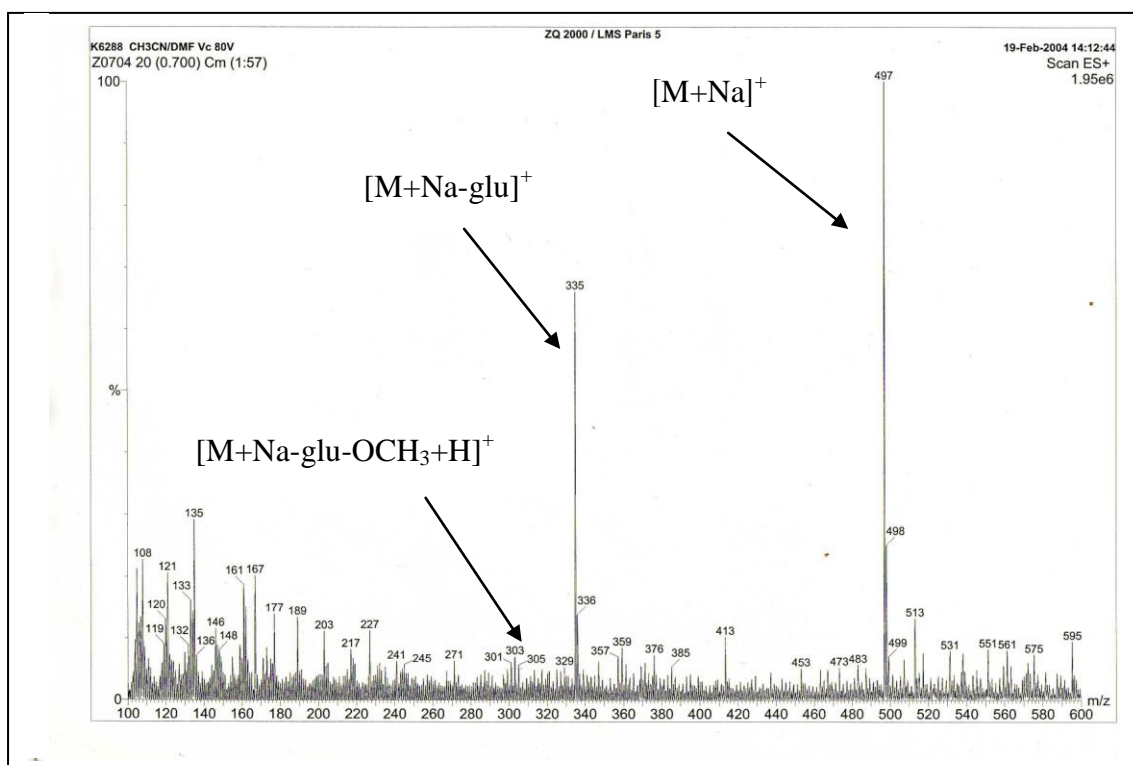
أما مطيافية الكتلة ES<sup>+</sup> قأعطت قيمة عظمى عند 497 ممثلة لـ [M+Na]<sup>+</sup> بنسبة 100% توافق الصيغة

المحملة C<sub>23</sub>H<sub>22</sub>O<sub>11</sub>، و قيمة عند 335 موافقة لـ [M+Na-glu]<sup>+</sup> و قيمة عند 305 موافقة لـ

[M+Na-glu-OCH<sub>3</sub>+H]<sup>+</sup> وهي قيمة مميزة للإيزوفلافونات الحاملة لمجموعة OCH<sub>3</sub> في الموقع 6'

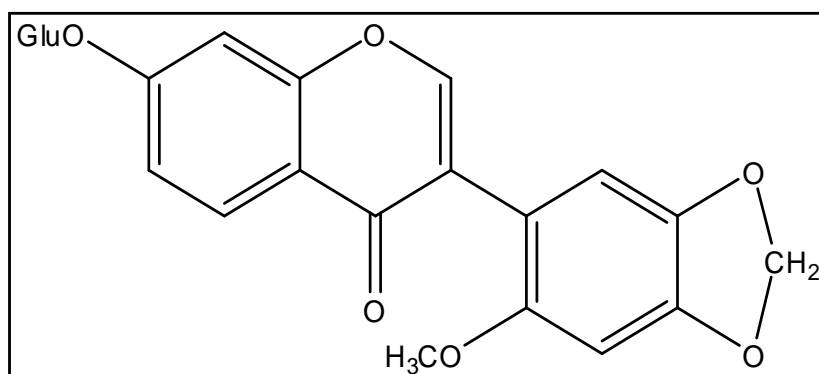
على الحلقة B [1] كما هو موضح في الشكل (5)



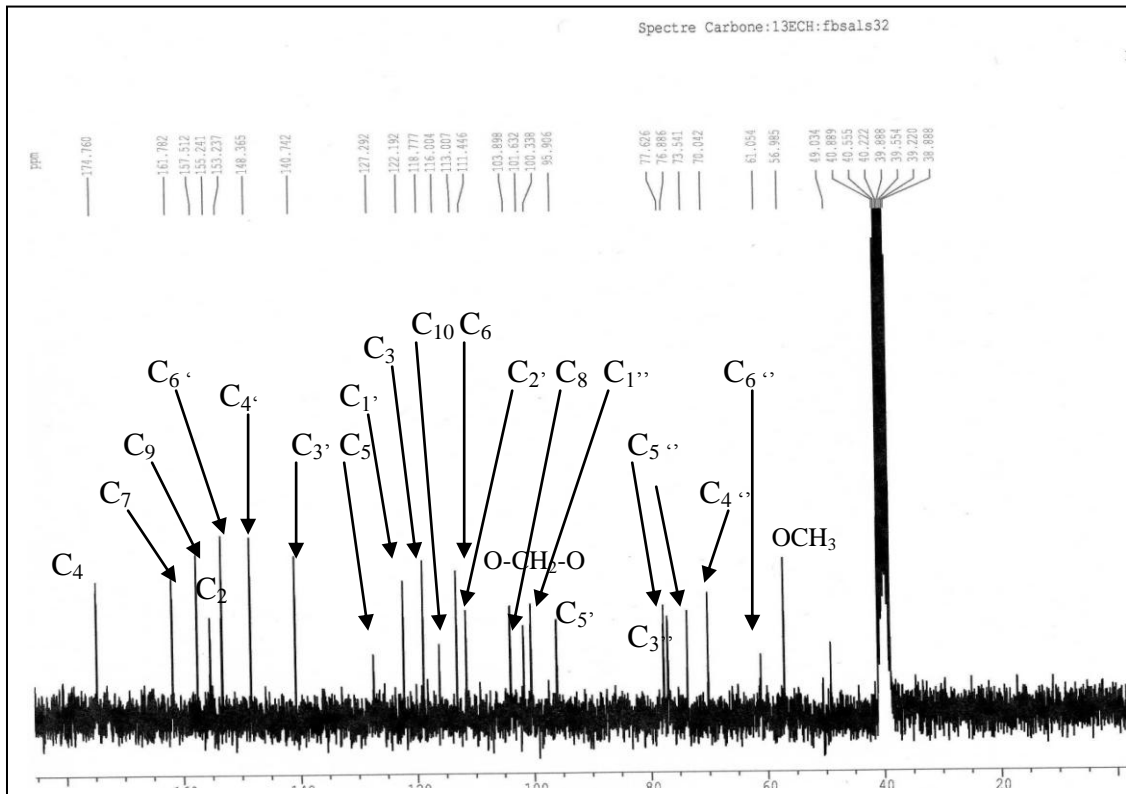


الشكل (4) طيف الكتلة (ES<sup>+</sup>) للمركب F<sub>3</sub>

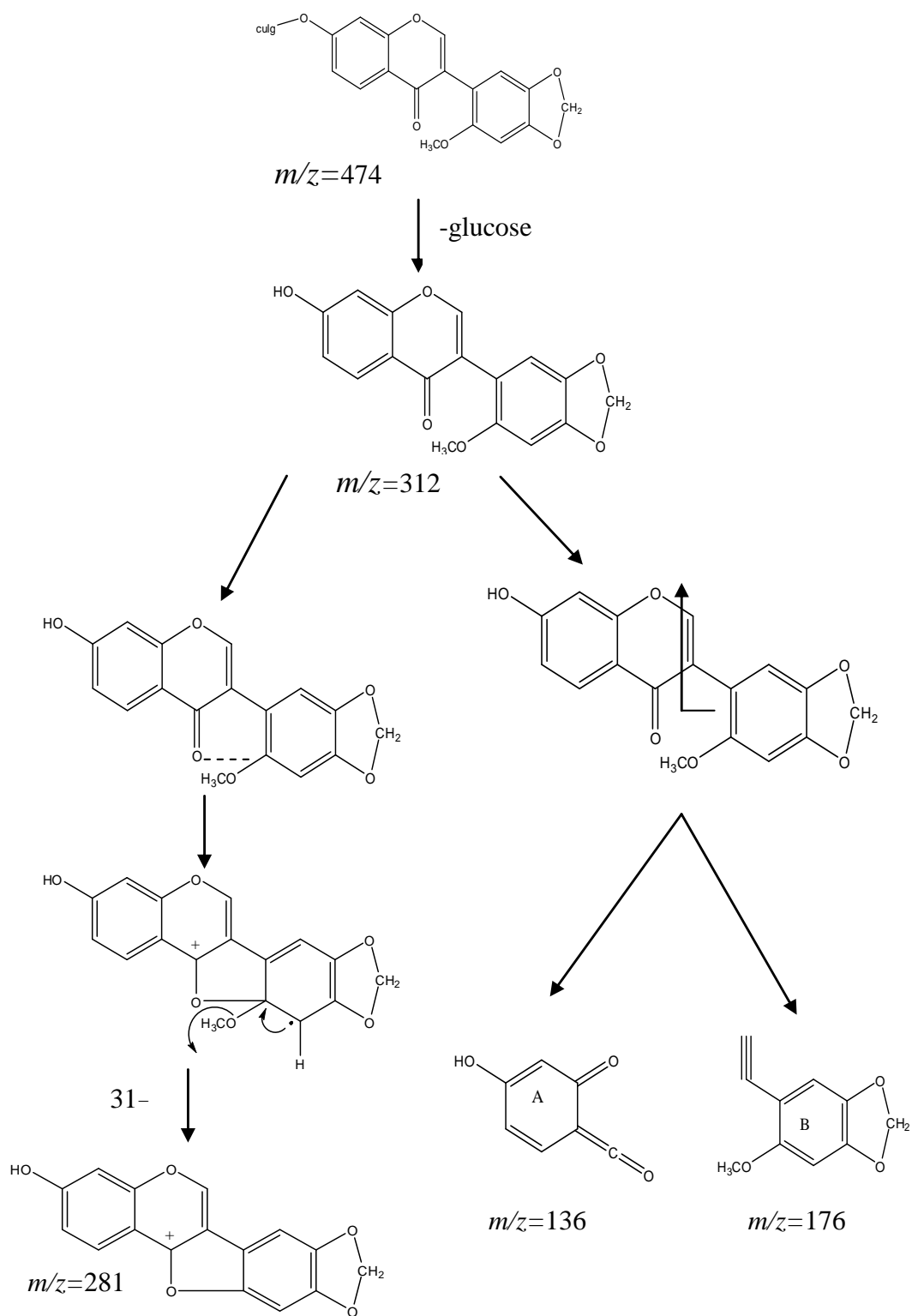
وجاءت نتائج مطيافية الرنين النووي المغناطيسي للكربون <sup>13</sup>C NMR كما هو موضح في الشكل (3) مؤكدة وموافقة للنتائج السابقة، ومطابقة للنتائج البليوغرافية [2]. و عليه يمكن إقتراح صيغة المركب F<sub>3</sub> كالتالي:



6'-methoxypseudobaptigenin 7-O-β-glucoside : 7-hydroxy-6'-methoxy-3',4'-methylenedioxyisoflavone 7-O-β-glucoside.



الشكل (3) مطيافية الرنين النووي المغناطيسي للكربون في (DMSO-d<sub>6</sub> 250MHz) للمركب F<sub>3</sub>



الشكل (5): آلية تنشيط المركب  $F_3$  حسب طيف  $(SM ES^+)$



الجدول (1) نتائج مطيافية الأشعة فوق البنفسجية والمرئية UV-Vis

الحزمة II	الحزمة I	المفاعلات
270	302	MeOH
270	302	NaOAc
270	302	H <sub>3</sub> BO <sub>4</sub>
270	302	AlCl <sub>3</sub>
270	302	AlCl <sub>3</sub> +HCl

جدول (2) - نتائج مطيافية الرنين النووي المغناطيسي للبروتون للمركب F<sub>3</sub>

الهيدروجين الموافق	التعددية	التكامل	δ(ppm)
H <sub>2</sub>	S	1H	8,25
H <sub>5</sub>	d(J=8,9)	1H	8
H <sub>8</sub>	d(J=2,3)	1H	7,25
H <sub>6</sub>	dd(J=8,9-2,3)	1H	7,15
H <sub>5</sub> '	S	1H	6,87
H <sub>2</sub> '	S	1H	6,82
O-CH <sub>2</sub> -O	S	2H	6,00
O-CH <sub>3</sub>	S	1H	3.7
H <sub>1</sub> ''	d(J=7,5)	1H	5,12

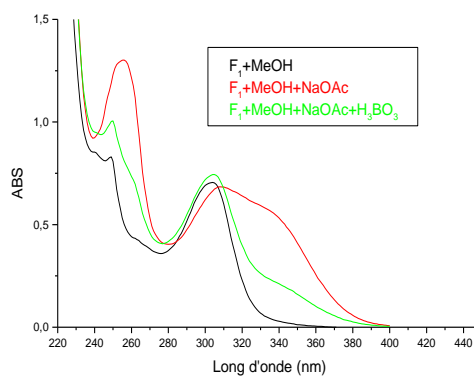
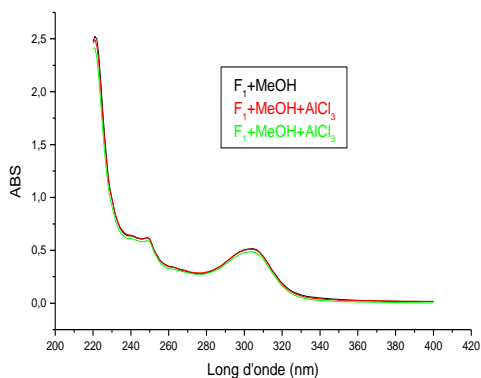
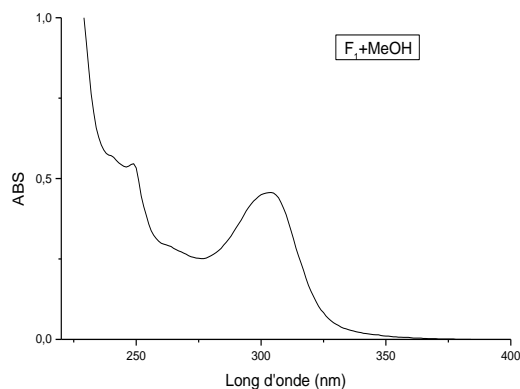
جدول (3) - نتائج مطيافية الرنين النووي المغناطيسي للكربون (في DMSO-d<sub>6</sub>) للمركب F<sub>3</sub>

الكربون الموافق	δ(ppm)	الكربون الموافق	δ(ppm)
C <sub>2</sub>	155.24	C <sub>4</sub> '	148.36
C <sub>3</sub>	118.77	C <sub>5</sub> '	95.91
C <sub>4</sub>	174.76	C <sub>6</sub> '	153.24
C <sub>5</sub>	127.29	C <sub>1</sub> ''	100.34
C <sub>6</sub>	113.00	C <sub>2</sub> ''	73.54
C <sub>7</sub>	161.78	C <sub>3</sub> ''	77.63
C <sub>8</sub>	103.89	C <sub>4</sub> ''	70.04
C <sub>9</sub>	157.51	C <sub>5</sub> ''	76.88
C <sub>10</sub>	116.00	C <sub>6</sub> ''	61.05
C <sub>1</sub> '	122.19	O-CH <sub>2</sub> -O	101.63
C <sub>2</sub> '	111.45	O-CH <sub>3</sub>	56.98
C <sub>3</sub> '	140.74		

## أ - 2 - التحليل البنيوي للمركب F<sub>1</sub>

S<sub>2</sub> = BAW  
S<sub>3</sub> = 13 : 3 : 3 : 1  
S<sub>4</sub> = 4:3:3

S <sub>4</sub>	S <sub>3</sub>	S <sub>2</sub>	الجملة
86	10	90	<b>Rfx100</b>
أصفر			اللون الاستشعاعي

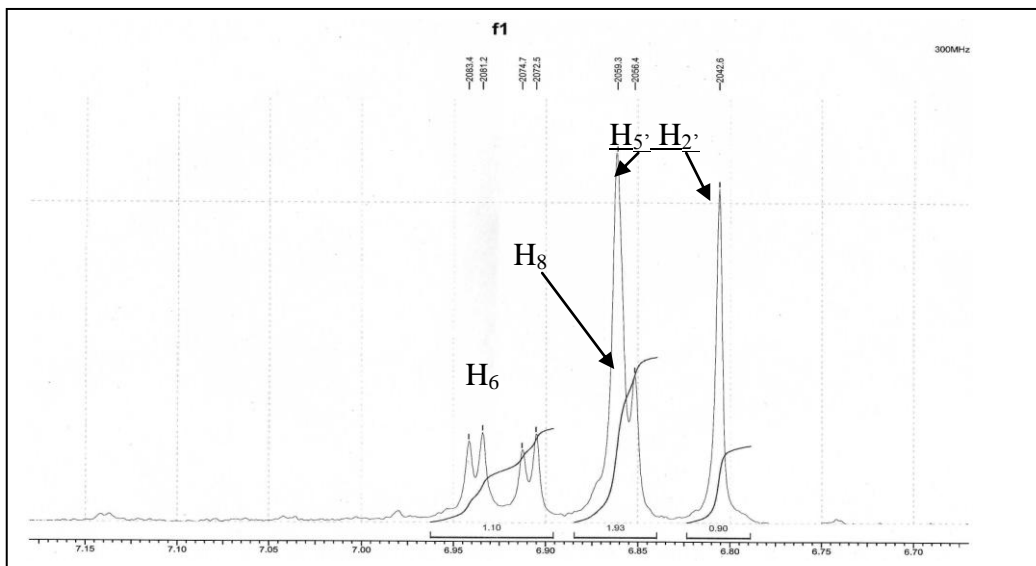
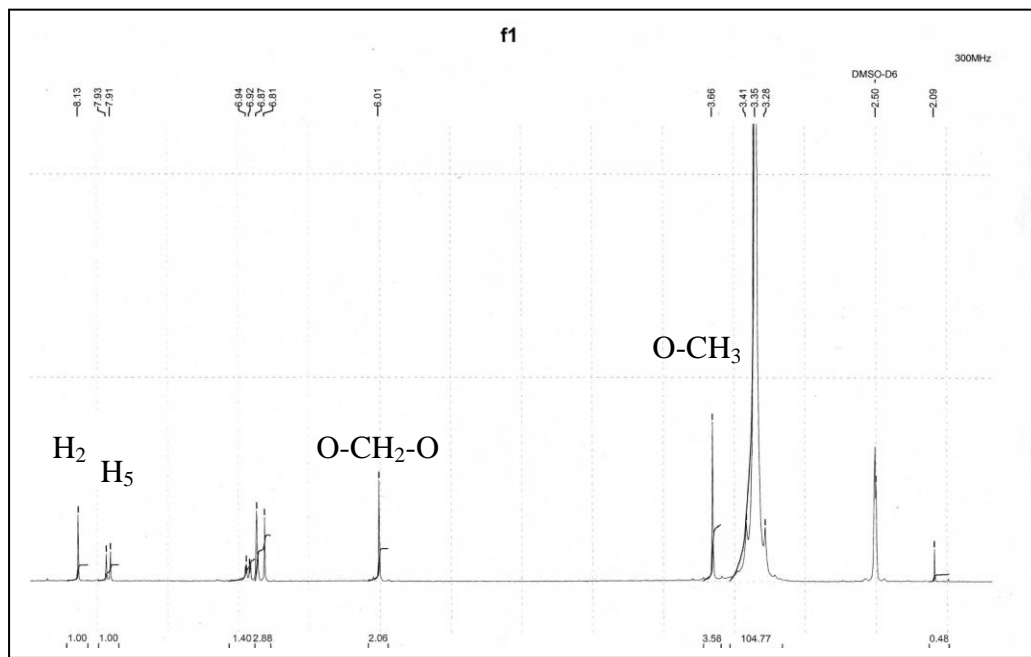


### الشكل (6) مطيافية الأشعة فوق البنفسجية والمرئية UV-Vis للمركب F<sub>1</sub>

طيف الأشعة فوق البنفسجية المسجل في الميثانول يكشف على كون المركب F<sub>3</sub> عبارة عن إيزوفلافون .

الإزاحة الباتوكرومية للحزمة II عند مقارنة طيف NaOAc بطيف MeOH دليل على وجود OH في الموقع 7.

غياب الإزاحة الباتوكرومية للحزمة II عند مقارنة طيف NaOAc+H<sub>3</sub>BO<sub>4</sub> بطيف MeOH دليل على غياب أورثو ثنائي هيدروكسيل على الحلقة A . كما نستدل على غياب OH في الموقع 5 بغياب الإزاحة الباتوكرومية للحزمة II عند مقارنة طيف AlCl<sub>3</sub>+HCl بطيف MeOH .



الشكل (7) مطيافية الرنين النووي المغناطيسي للبروتون للمركب F<sub>1</sub> (300MHz,DMSO-d<sub>6</sub>)

تبين لنا مطيافية الرنين النووي المغناطيسي للبروتون كما هو موضح في الشكل (7) أن المركب F<sub>1</sub> عبارة عن إيزوفلافون والمميز بالإشارة الأحادية عند 8.13 ppm الموافقة لـ H<sub>2</sub>. و نلاحظ تطابق تقريبي لكل الإشارات مع المركب السابق F<sub>3</sub> مع غياب الإشارات الخاصة بالسكر إذ تظهر:

إشارة ثنائية (J = 8,70 Hz) عند  $\delta = 7.9$  ppm موافقة لـ H<sub>5</sub>.

إشارة ثنائي ثنائي (J = 8,70-2,2 Hz) عند  $\delta = 6.9$  ppm موافقة لـ H<sub>6</sub>.

وإشارة ثنائية (J = 2.2Hz) عند  $\delta = 6.87$  ppm موافقة لـ H<sub>8</sub>

إشارة أحادية عند  $\delta = 6.87$  ppm موافقة لـ H<sub>5'</sub>.

إشارة أحادية عند  $\delta = 6.81$  ppm موافقة لـ H<sub>2'</sub>.

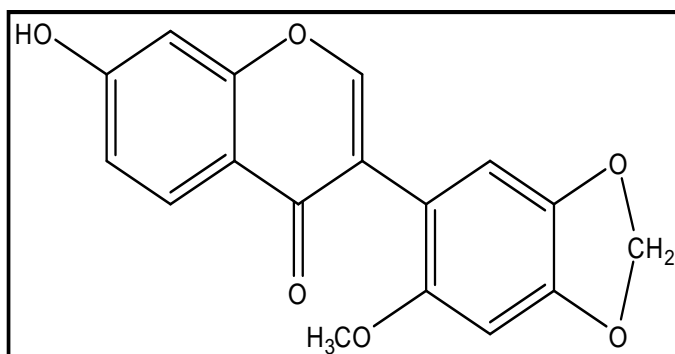
إشارة أحادية ثنائية التكامل عند  $\delta = 6.01$  ppm موافقة لـ OCH<sub>2</sub>O.

إشارة أحادية ثلاثية التكامل عند  $\delta = 3.66$  ppm موافقة لـ OCH<sub>3</sub>.

وبالتالي يمكن القول أن المركب F<sub>1</sub> عبارة عن أجليكون للمركب F<sub>3</sub> فنخلص إلى كون

هذا المركب عبارة عن: 7hydroxy-6'-methoxy-3',4'-methylenedioxy isoflavone.

والذي تم إكتشافه لأول مرة في النبتة *Tephrosia maxima* [1].



7hydroxy-6'-methoxy-3',4'-methylenedioxy isoflavone.

الجدول (1) نتائج مطيافية الأشعة فوق البنفسجية والمرئية UV-Vis

الحزمة II		الحزمة I	المفاعلات
249		303	MeOH
255	308	336	NaOAc
249		305	H <sub>3</sub> BO <sub>4</sub>
249		303	AlCl <sub>3</sub>
249		303	AlCl <sub>3</sub> +HCl

جدول (4) - نتائج مطيافية الرنين النووي المغناطيسي للبروتون للمركب F<sub>1</sub>

الهيدروجين الموافق	التعددية	التكامل	δ(ppm)
H <sub>2</sub>	S	1H	8,13
H <sub>5</sub>	d(J=8,7)	1H	7.90
H <sub>6</sub>	dd(J=8,7-2,2)	1H	6.90
H <sub>8</sub>	d(J=2.2)	1H	6.87
H <sub>5</sub> '	S	1H	6,87
H <sub>2</sub> '	S	1H	6,81
O-CH <sub>2</sub> -O	S	2H	6,01
O-CH <sub>3</sub>	S	3H	3.66

أ - 3 - التحليل البنيوي للمركب F<sub>9</sub> :

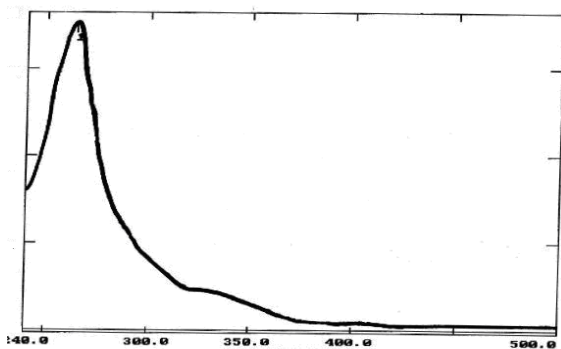
- السلوك الكروماتوغرافي :

S <sub>4</sub>	S <sub>3</sub>	S <sub>1</sub>	الجملة
30	32	68	Rfx100
بنفسجي			اللون الاستشعاعي

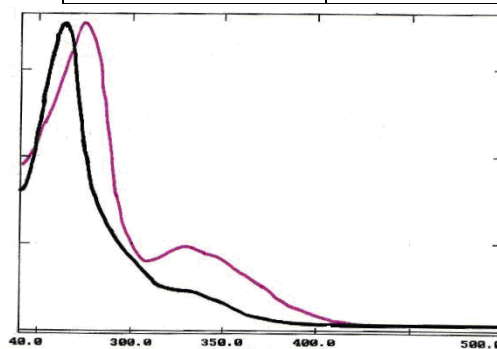
$$S_1 = \text{CH}_3\text{COOH} (15\%)$$

$$S_3 = 13 : 3 : 3 : 1$$

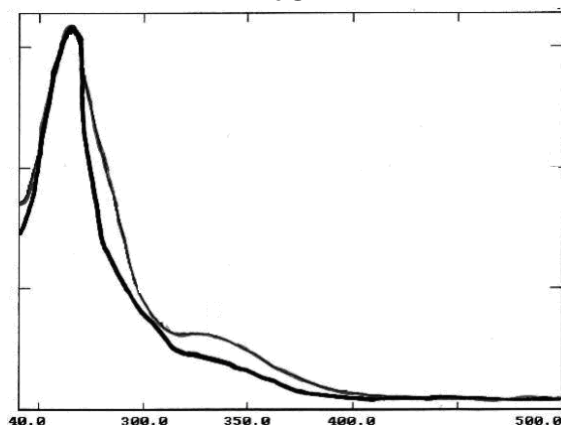
$$S_4 = 4:3:3$$



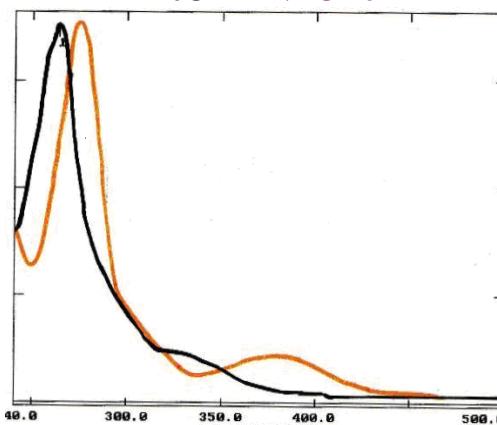
MeOH



MeOH + NAOAc



MeOH + (NAOAc + H<sub>3</sub>BO<sub>3</sub>)



MeOH + (AlCl<sub>3</sub> + HCl)

الشكل (7) مطيافية الأشعة فوق البنفسجية والمرئية UV-Vis للمركب F<sub>9</sub>

طيف الأشعة فوق البنفسجية المسجل في الميثانول يكشف على كون المركب F<sub>9</sub> عبارة عن إيزوفلافون، ويدل سلوكه الكروماتوغرافي في الأنظمة القطبية على كونه إتيروزي أحادي السكر الإزاحة الباتوكرومية للحزمة II ب :

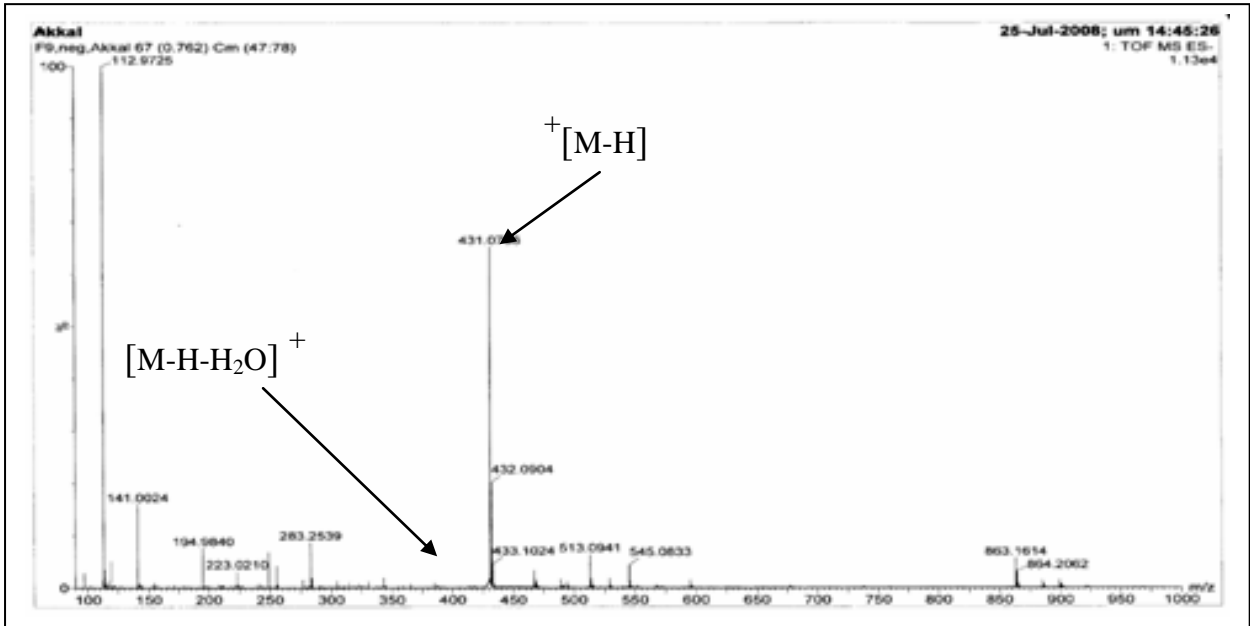
Δλ<sub>2</sub>=11nm عند مقارنة طيف MeOH بطيف NaOAc دليل على وجود OH في الموقع 7.

Δλ<sub>2</sub>=13nm عند مقارنة طيف AlCl<sub>3</sub>+HCl بطيف MeOH إشارة لوجود OH في الموقع 5.

والذي تؤكد الإشارة الأحادية عند 13.2 ppm بإعادة تسجيل طيف <sup>1</sup>H RMN في DMSO.

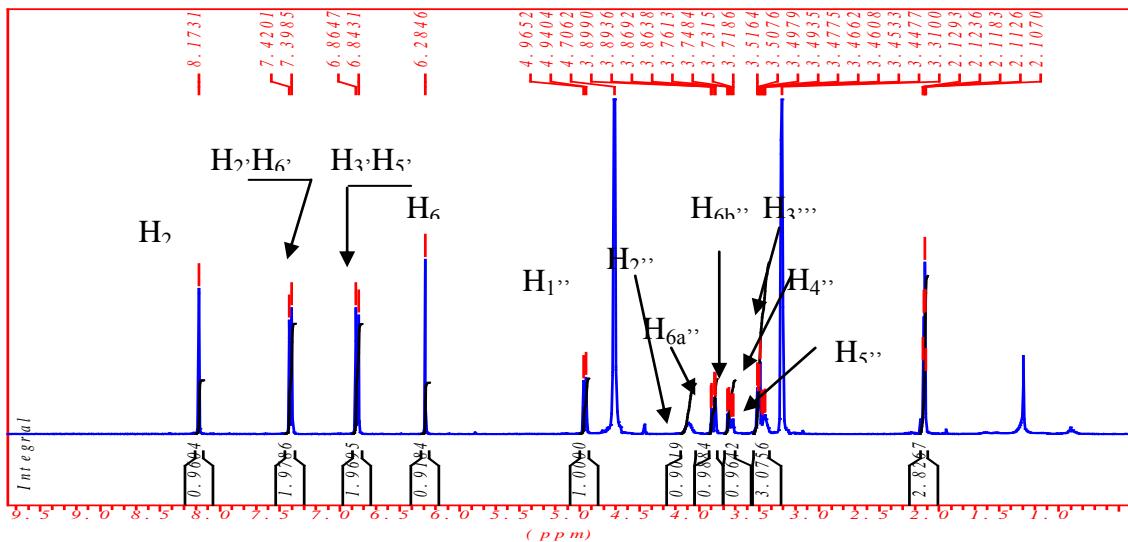
غياب أرثو ثنائي الهيدروكسيل على الحلقة A تترجمه الإزاحة الباتوكرومية الضعيفة Δλ<sub>2</sub>=2nm

عند مقارنة طيف MeOH بطيف NaOAc + H<sub>3</sub>BO<sub>3</sub>.



الشكل (8) طيف الكتلة (ES<sup>-</sup>) للمركب F<sub>9</sub>

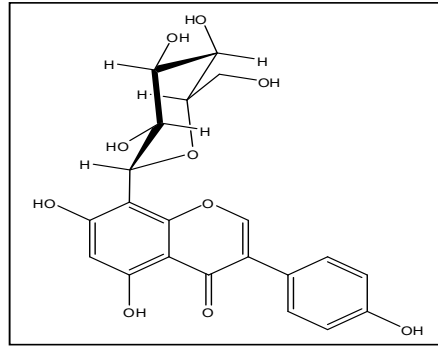
أعطت مطيافية الكتلة قيمة للأيون الجزيئي عند  $m/z = 432$  موافقة للصيغة الجحلمة  $C_{21}H_{20}O_{10}$  وكذا القيمة  $m/z = 431$  الموافقة لـ  $[M-H]^+$  و بالتالي يتأكد وجود السكر ولك ن عدم تأثر المركب بالإماهة الحمضية يؤكد الإرتباط C-glycose. أما الظهور الضعيف للإشارة  $m/z = 413$  الموافقة لفقدان الماء  $[M-H-H_2O]^+$  يعزز إحتمال إرتباطه بـ C-8 [3].



الشكل (9) : مطيافية الرنين النووي المغناطيسي للبروتون للمركب F<sub>9</sub> في (DC<sub>3</sub>OD, 400MHz).

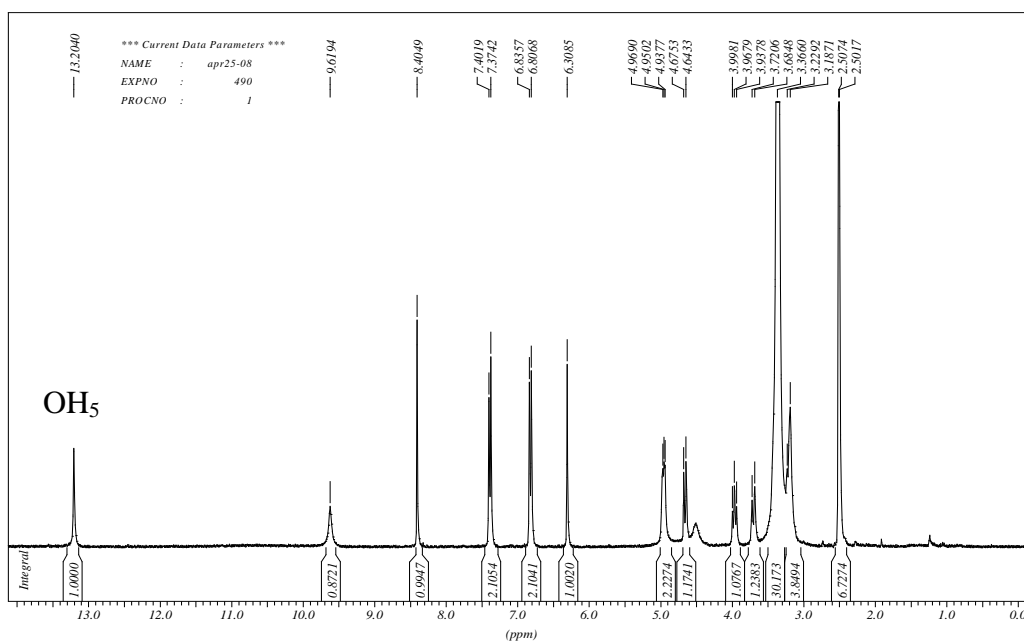
فمطيافية الرنين النووي المغناطيسي للبروتون تظهر إشارة أحادية عند 8.17 ppm وإشارة ثنائية عند 4.95ppm بثابت تزاوج  $J=9.9Hz$  موافقة لـ  $H_2$  ,  $H_1$  على التوالي مميزة لإيزوفلافون مستبدل  $\beta$ -C-glucoside ، من خلال HMBC كلا البروتونين يظهران تعالقا مع  $C_9$  عند 157ppm كما يظهر  $H_1$  تعالق ب  $C_7$  عند 164ppm وكذا بـ  $C_8$  عند 105ppm وبالتالي يتأكد إستبدال الإيزوفلافون في الموقع 8 بـ C-glucose ، في حين يتعالق البروتون  $H_6$  الذي يظهر على شكل أحادي عند 6.28ppم بـ  $C_{10}$  عند 105.9ppm وبـ  $C_5$  عند 163ppm وكذا بـ  $C_7$  . وفيما يخص الحلقة C، فيظهر البروتون  $H_2$  تعالقا بـ  $C_4$  عند 181.6ppm وبـ  $C_3$  عند 121ppm وبـ  $C_1$  عند 122ppm .

أما الحلقة B فيظهر البروتونين  $H_2, H_6$  تعلقا بالكربونين الحاملين لهما عند 130.5ppm كما يظهران تعالقا بـ  $C_1$  وبـ  $C_4$  عند 158 ppm كما يتعالق البروتونين  $H_3, H_5$  بالكربونين الحاملين لهما عند 115.5ppm وبـ  $C_4$  وكذا  $C_1$  . وبالتالي تقود معطيات  $^{13}C$  RMN ,  $^1H$  RMN جدول وتعالقات (Cosy H-H), (HMBC, HMQC) في الجدولين (6,7) على التوالي إلى إستنتاج البنية النهائية للمركب  $F_9$  على أنها :

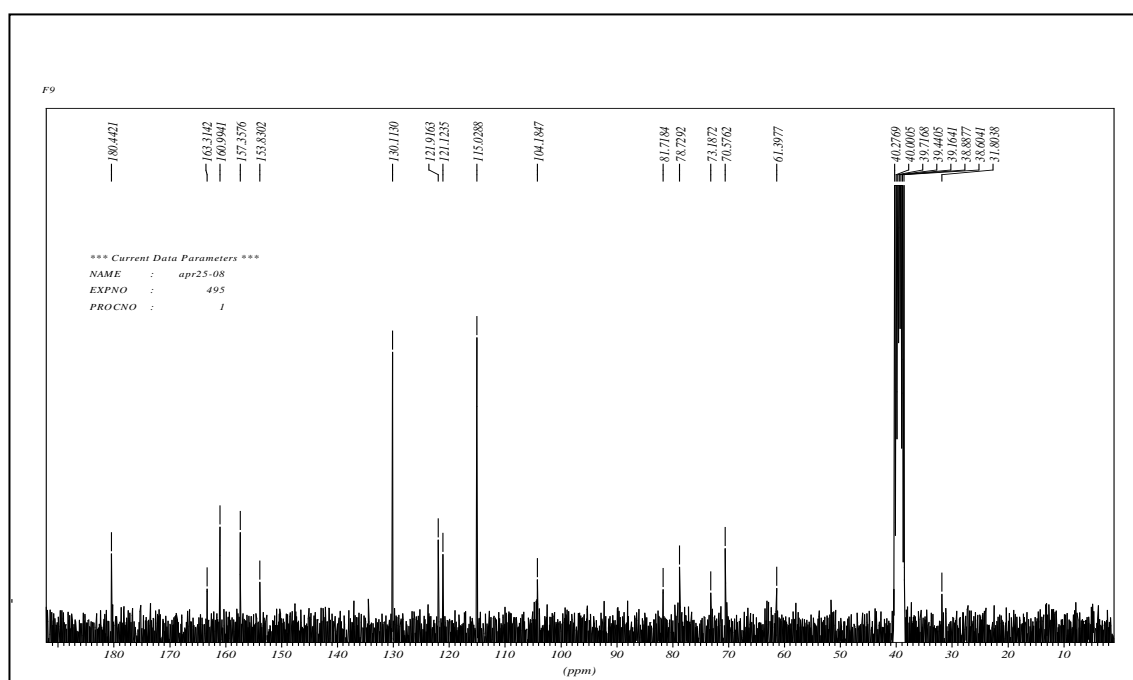


**5,7,4'-Tri hydroxy isoflavone-8-C-glucoside**

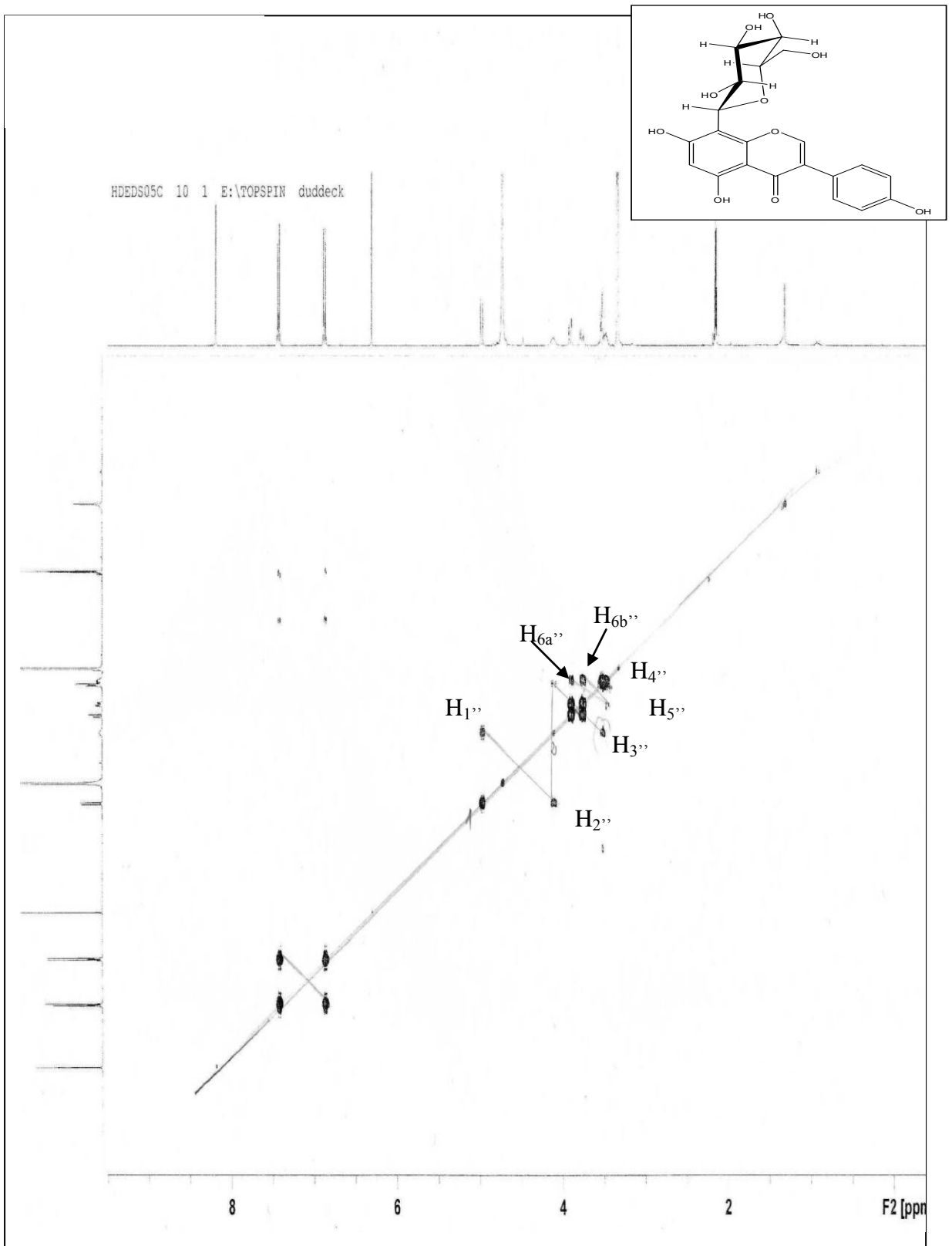




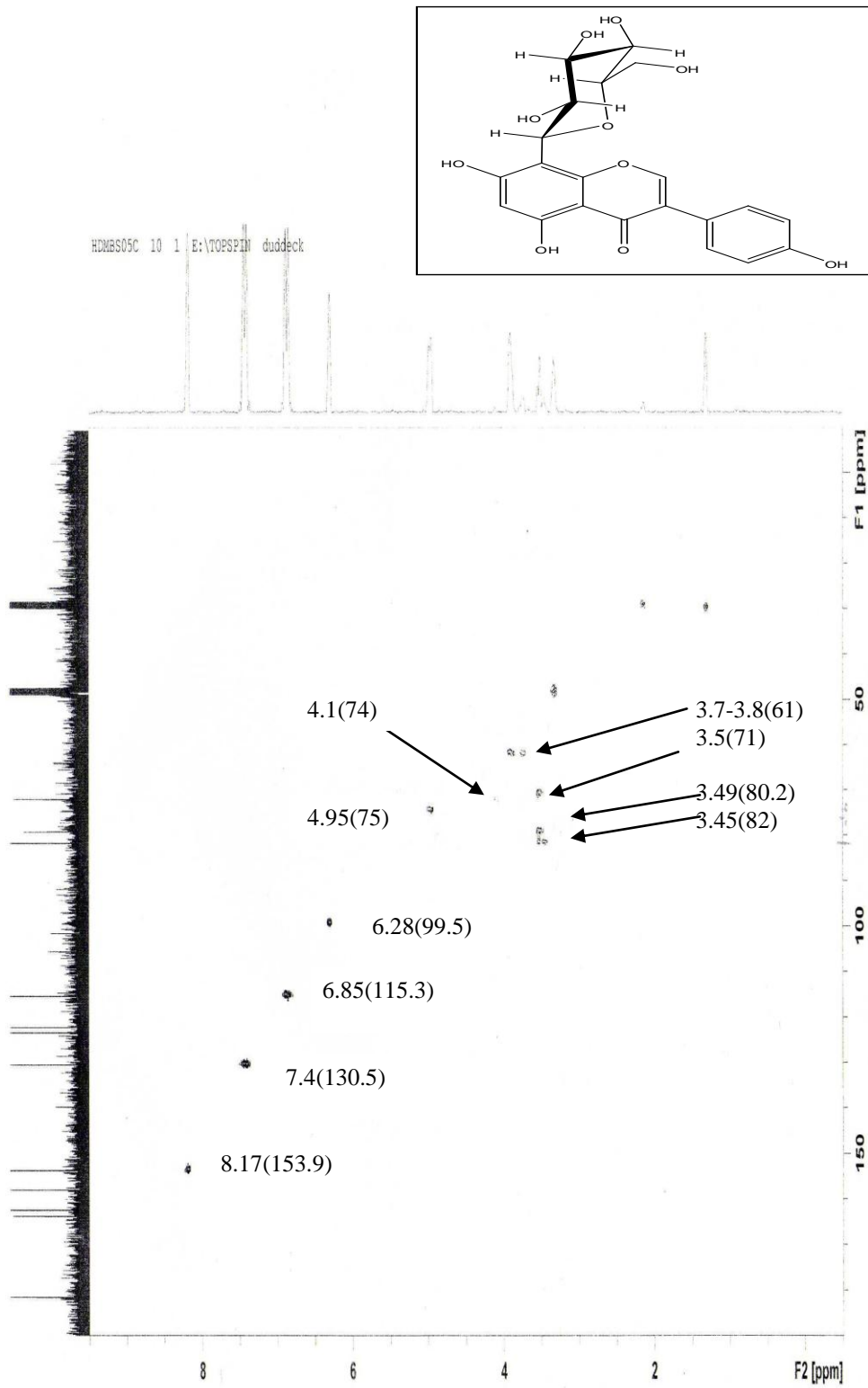
الشكل (10) : مطيافية الرنين النووي المغناطيسي للبروتون للمركب F<sub>9</sub> في (DMSO).



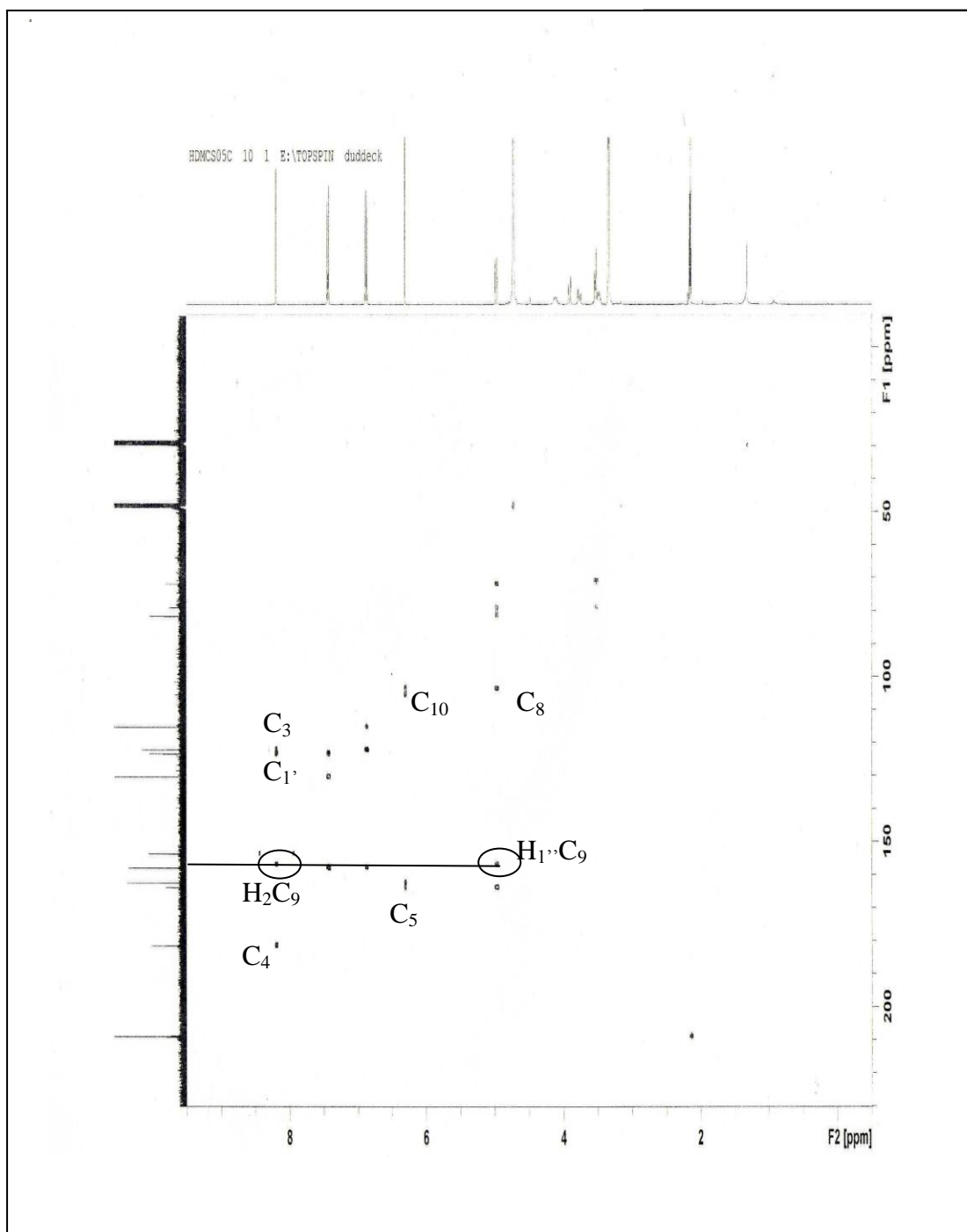
الشكل (11) : مطيافية الرنين النووي المغناطيسي للكربون للمركب F<sub>9</sub> في (300MHz,DMSO)



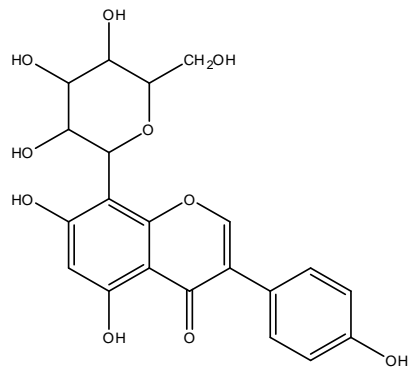
الشكل (12) طيف (cosy) للمركب F<sub>9</sub>



الشكل (14) طيف ( HMQC ) للمركب F<sub>9</sub>

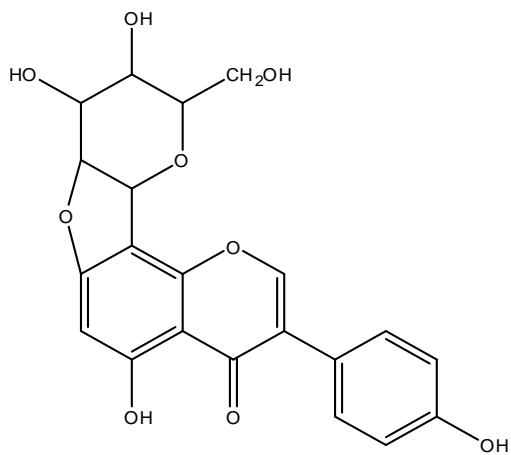


الشكل (15) طيف (HMBC) للمركب  $F_9$

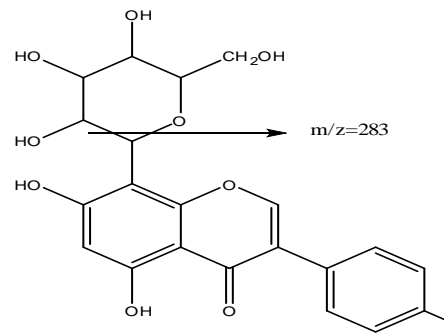


$m/z=432$

$-H_2O$



$m/z=413$



$m/z=283$

الشكل (16) أهم شظايا المركب F<sub>9</sub>

الجدول (5) نتائج مطيافية الأشعة فوق البنفسجية والمرئية UV-Vis:

الحزمة II	الرتوء	الحزمة I	المفاعلات
262	331		MeOH
272.8	311,378.6		AlCl <sub>3</sub>
275	311,378.8		AlCl <sub>3</sub> +HCl
273	333		NaOAc
264	332.8		NaOAc+H <sub>3</sub> BO <sub>3</sub>

الجدول (6) تفاعلات Cosy H-H (CD<sub>3</sub>OD 400 MHz) للمركب F<sub>9</sub>

proton	δ(ppm)	Signal J(Hz)	Cosy
2	8.17	s	2
2',6'	7.41	d(8.6)	2',6',3',5'
3',5'	6.85	d(8.6)	2',6',3',5'
6	6.28	s	6
1''	4.95	d(9.9)	1'',2''
2''	4.1	m	1'',2'',3''
3''	3.50	m	2'',3'',4''
4''	3.49	m	3'',4'',5''
5''	3.45	m	4'',5'',6''a
6''a	3.88	dd(11.9,2.2)	5'', 6''a,6''b
6''b	3.74	dd(11.9,5.16)	5'', 6''a,6''b

الجدول (7) تفاعلات HMQC, HMBC (CD<sub>3</sub>OD 400 MHz) للمركب F<sub>9</sub> مع الإزاحة الكيميائية

الموافقة لكل كربون δ(ppm)

proton	HMBC	HMQC
2	C <sub>3</sub> (122), C <sub>4</sub> (181.6), C <sub>9</sub> (-)	C <sub>2</sub> (153.9)
2',6'	C <sub>1'</sub> (121), C <sub>4'</sub> (158),	C <sub>2'</sub> , C <sub>6'</sub> (130.5)
3',5'	C <sub>4'</sub> , C <sub>1'</sub>	C <sub>3'</sub> , C <sub>5'</sub> (115.3)
6	C <sub>5</sub> (163), C <sub>7</sub> (164), C <sub>8</sub> (105), C <sub>10</sub> (105.9)	C <sub>6</sub> (99.5)
1''	C <sub>8</sub> , C <sub>7</sub> , C <sub>9</sub> , C <sub>2''</sub> , C <sub>3''</sub>	C <sub>1''</sub> (75)
2''	-	C <sub>2''</sub> (74)
3''	C <sub>1''</sub> , C <sub>5''</sub>	C <sub>3''</sub> (71)
4''	C <sub>1''</sub> , C <sub>5''</sub>	C <sub>4''</sub> (80.2)
5''	-	C <sub>5''</sub> (82)
6''		C <sub>6''</sub> (61)

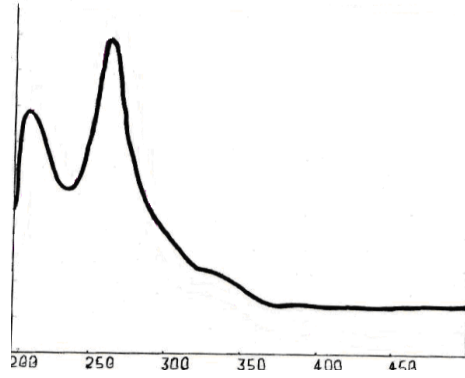
أ- 4 - التحليل البنيوي للمركب  $F_{10}G$  :

السلوك الكروماتوغرافي :

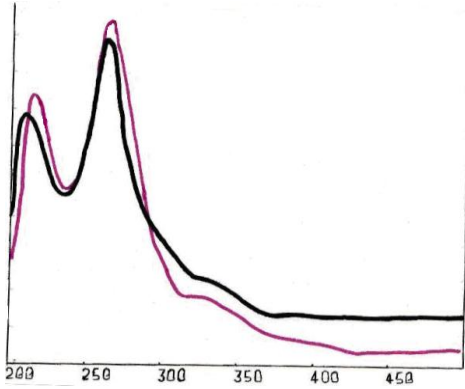
$S_1 = CH_3COOH$  (15%)  
 $S_2 = BAW$   
 $S_3 = 13 : 3 : 3 : 1$

$S_3$	$S_2$	$S_1$	الجملة
64	54	68	<b>Rf</b>
			اللون الاستشعاعي

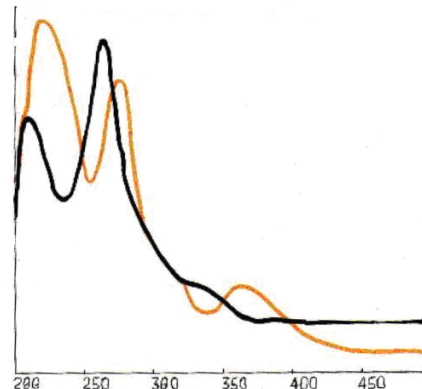
تدل قيمة Rf في الأنظمة القطبية أن المركب  $F_{10}G$  أكثر قطبية من  $F_9$  وهذا يعني احتمال وجود سكر إضافي .



MeOH



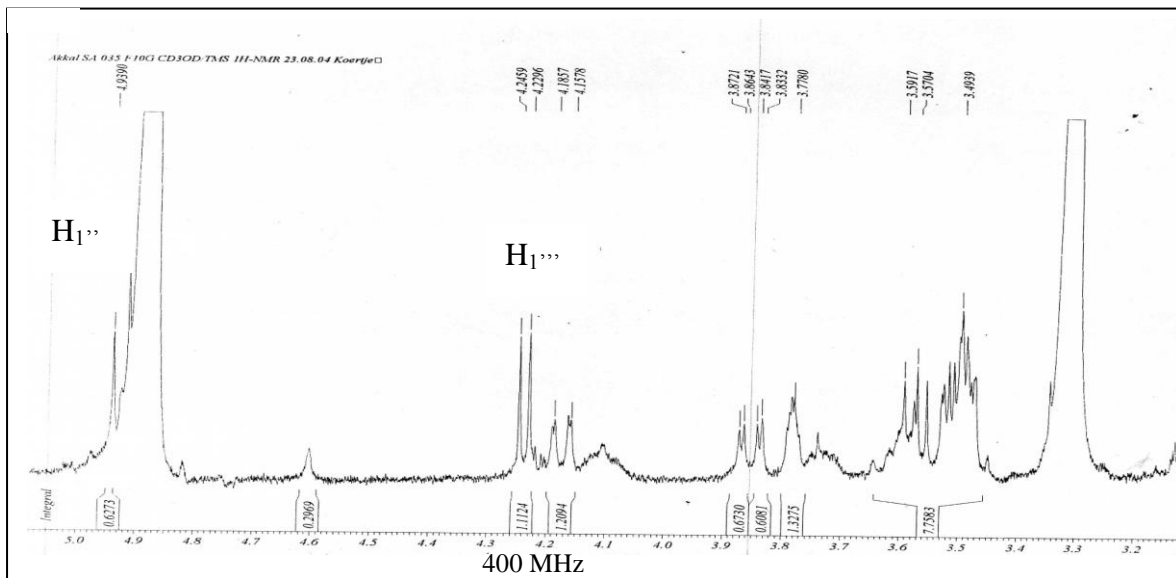
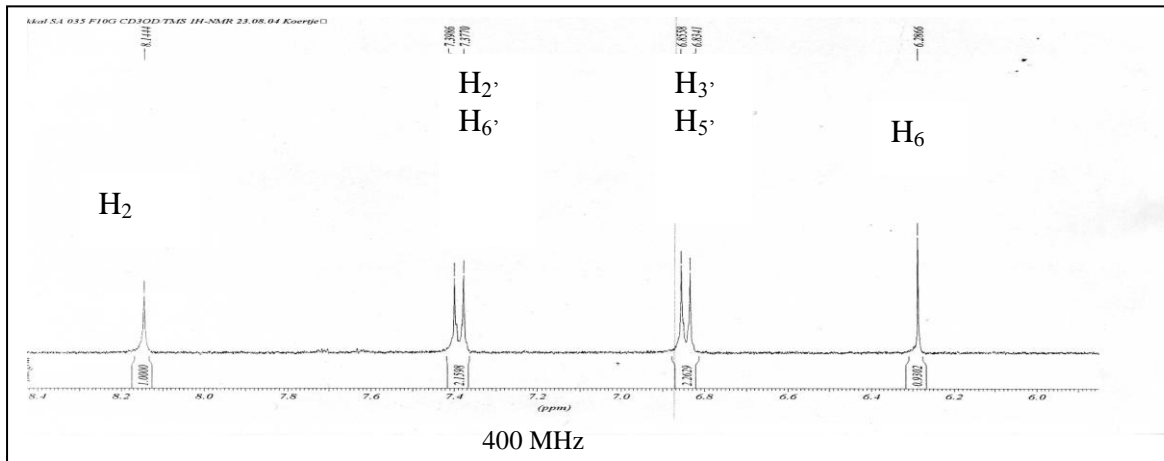
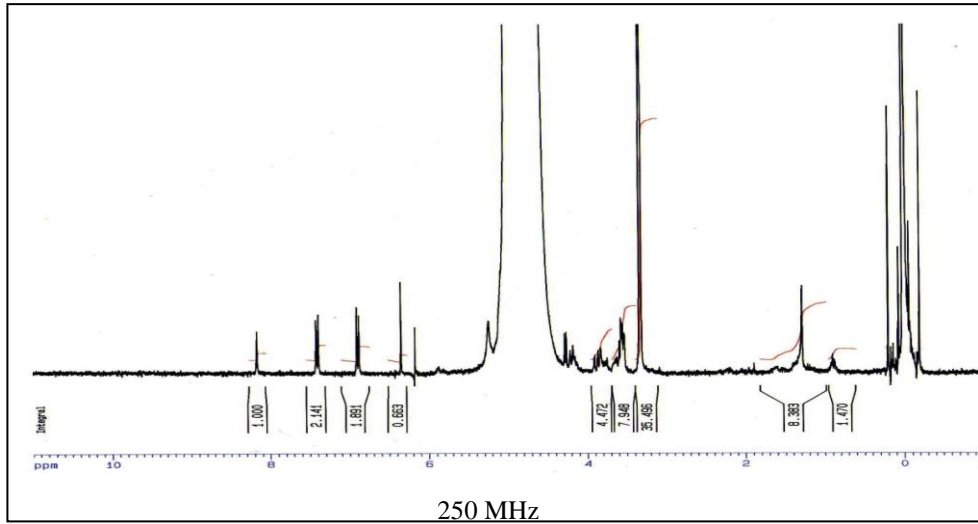
MeOH + NaOAc



MeOH + (AlCl<sub>3</sub> + HCl)

الشكل (16) مطيافية الأشعة فوق البنفسجية والمرئية UV-Vis للمركب  $F_9$

من خلال طيف الأشعة فوق البنفسجية المسجل في الميثانول يتبين كون المركب  $F_{10}G$  عبارة عن إيزوفلافون . غياب الإزاحة الباتوكرومية للحزمة II عند مقارنة طيف NaOAc بطيف MeOH دليل على غياب OH في الموقع 7 ونستدل على وجود OH في الموقع 5 بالإزاحة الباتوكرومية للحزمة II عند مقارنة طيف  $AlCl_3 + HCl$  بطيف MeOH .  $\Delta\lambda_2 = 11nm$



الشكل (17) : مطيافية الرنين النووي المغناطيسي للبروتون للمركب  $F_{10}G$



عند مقارنة طيف  $^1\text{H}$  NMR للمركب  $\text{F}_{10}\text{G}$  بـ  $\text{F}_9$  نلاحظ تطابق كل الإشارات. مع وجود أخرى إضافية في المجال  $[4.3-3.5\text{ppm}]$  هذا إن دل على شيء إنما يدل على وجود سكر ثاني، يكون قد حددت مطيافة الأشعة فوق البنفسجية موضعه، بغياب OH في الموقع 7. وللتعرف

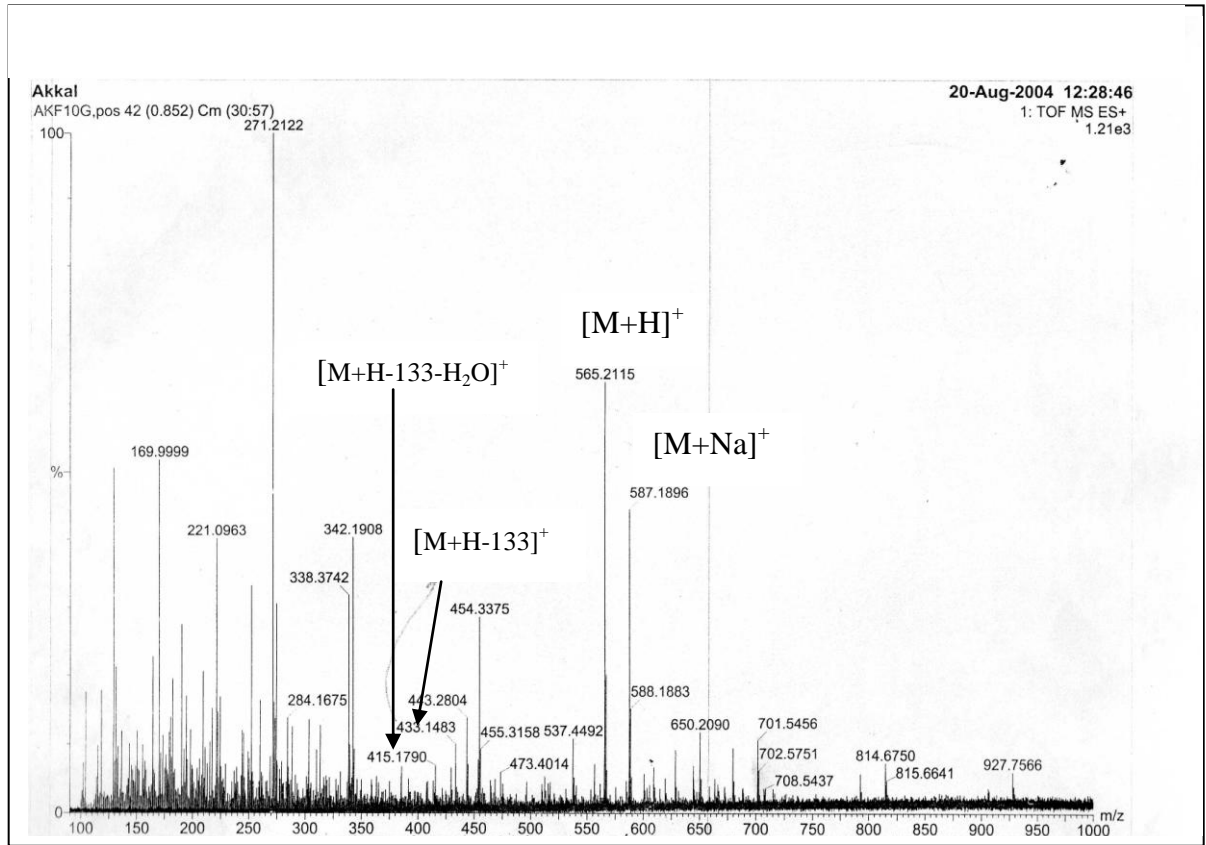
على طبيعته لجأنا إلى الإماهة الحمضية التي حررتة بسهولة بحكم ارتباطه ب C-O R وبمقارنته كروماتوغرافيا بالسكريات المعروفة يتأكد كونه Xylose. أما الشق العضوي الناتج عن

هذا المركب بعد الإماهة الحمضية، فيتطابق كروماتوغرافيا مع المركب  $\text{F}_9$ .

جاءت مطيافية الكتلة  $\text{ES}^+$  (MS) لتؤكد النتائج السابقة، إذ تعطي القيمة  $m/z=587$  موافقة لـ

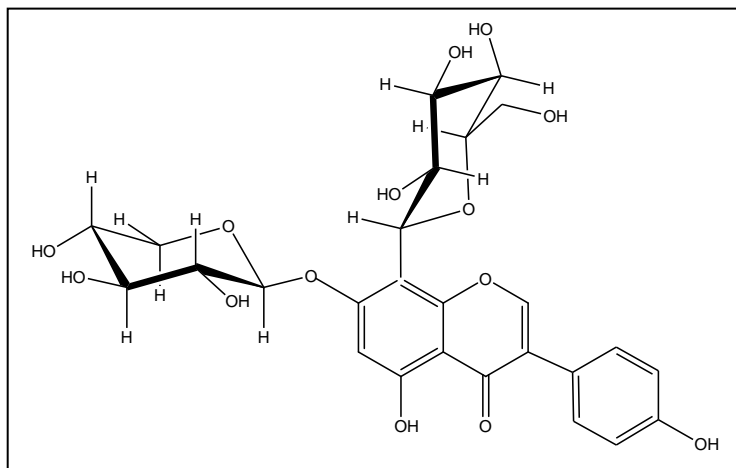
$[\text{M}+\text{Na}]^+$  و  $m/z=565$  موافقة لـ  $[\text{M}+\text{H}]^+$  والتي تؤكد الصيغة الجحمة  $\text{C}_{26}\text{H}_{28}\text{O}_{14}$ ، أما

الشضية  $m/z=433$  فتؤكد نوعية السكر فهي موافقة لـ  $[\text{M}-133(\text{Xylose})+\text{H}]^+$



الشكل (18) طيف الكتلة ( $\text{ES}^+$ ) للمركب  $\text{F}_{10}\text{G}$

ومن خلال ما توصلنا إليه من نتائج و مقارنتها مع البيلوغرافيا [4] يمكن التعرف على بنية المركب F<sub>10</sub>G على أنه:



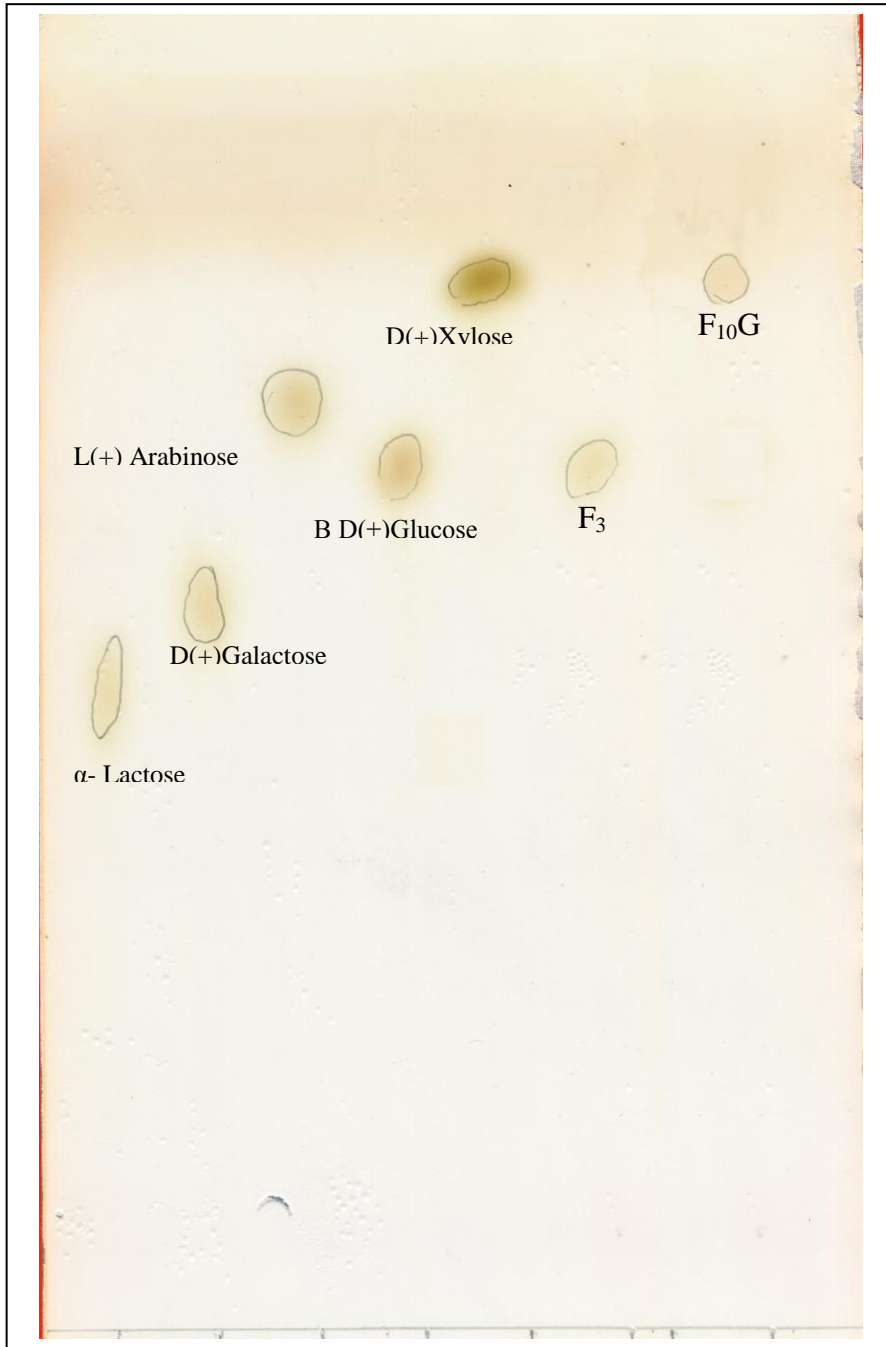
genistein 7-O-xylosyl 8-C-glucoside

الجدول (8) نتائج مطيافية الأشعة فوق البنفسجية والمرئية UV-Vis:

الحزمة II	النتوء	الحزمة I	المفاعلات
263	324		MeOH
273	307		AlCl <sub>3</sub>
274	364,307		AlCl <sub>3</sub> +HCl
263	327		NaOAc

جدول (9) نتائج مطيافية الرنين النووي المغناطيسي للبروتون للمركب F<sub>10</sub>G:

المواقع الهيدروجين الموافق	التعددية Hz	التكامل	δ(ppm)
H <sub>2</sub>	S	1H	8,2
H <sub>2</sub> , H <sub>6</sub> '	d(J=8,6)	2H	7.40
H <sub>3</sub> ' H <sub>5</sub> '	d (J=8,6)	2H	6.85
H <sub>6</sub>	S	1H	6.28
H <sub>1</sub> '(glucose)	d (J=9.9)	1H	4.9
H <sub>1</sub> '(Xylose)	d (J=6.6)	1H	4.2
بروتونات Xylose+glucose	-	11H	3.4-4.16



الشكل (19) : كروماتوغرام يبين السكريات الناتجة عن الإمهاء الحمضية مع بعض الشواهد المعروفة.

IV- ب - التعيين البنيوي للمركبات المفصولة من النبتة *Ammoides atlantica* :

إستطعنا خلال دراسة مستخلص الأسيتات لهذه النبة من فصل وتحديد أربع مركبات فلافونيدية، وهي مركبات أعظمية في الطور البيوتانولي ، لذا لم نجد جدوى من فصل مركباته. وهذا دليل على مدى فقر هذه النبتة لمثل هذا النوع من مركبات الأيض الثانوي .وقد إستعنا بالسلوك الكروماتوغرافي وكذا المعطيات الطيفية (UV) و  $NMR^1H$  و  $NMR^{13}C$  .Ms لتحديد بني هذه المركبات .

ب - 1 - التحليل البنيوي للمركب  $AF_6$  :

السلوك الكروماتوغرافي :

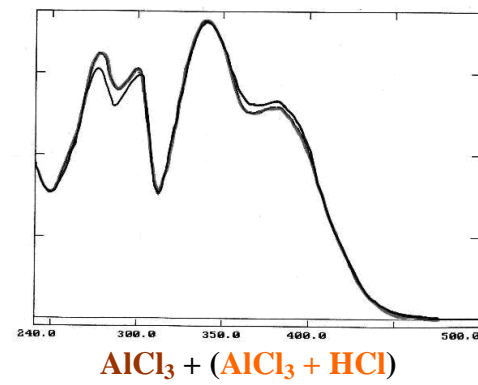
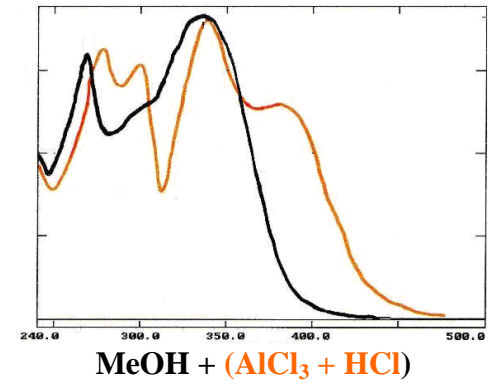
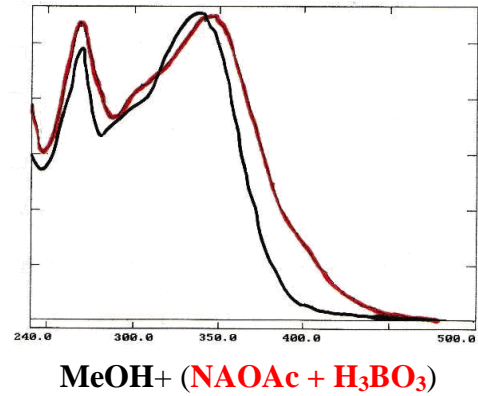
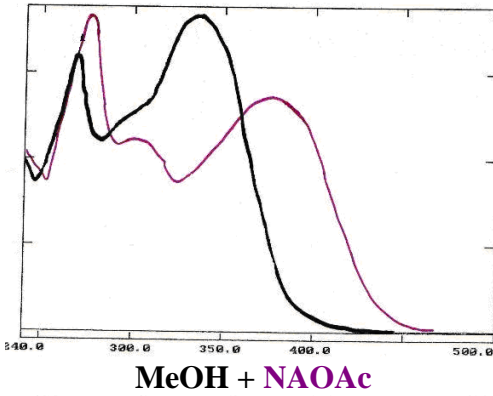
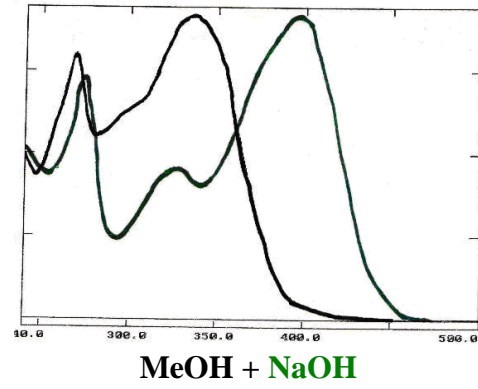
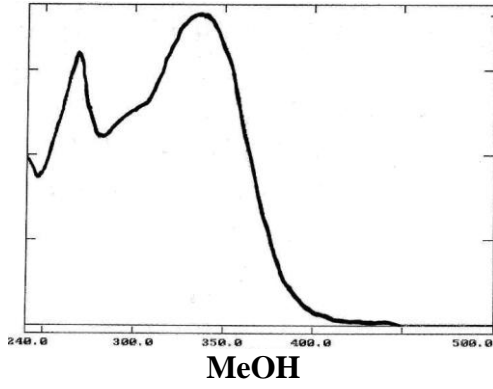
$$S_1 = CH_3COOH (15\%)$$

$$S_3 = 13 : 3 : 3 : 1$$

$$S_4 = 4:3:3$$

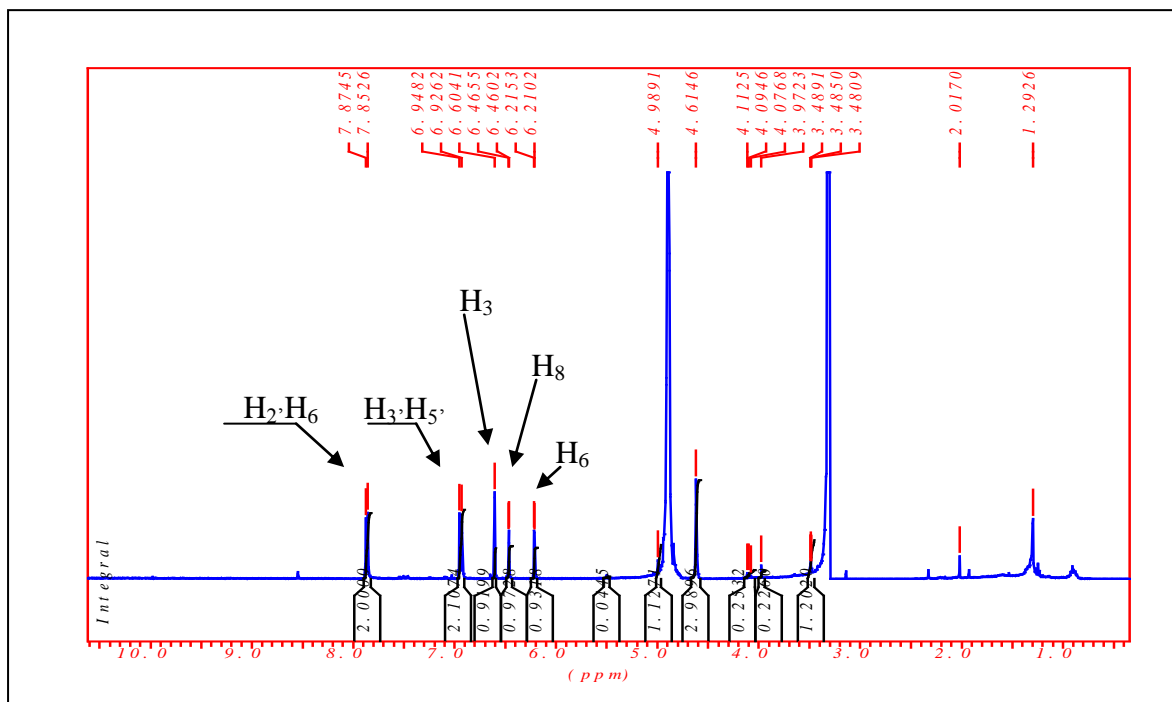
S <sub>4</sub>	S <sub>3</sub>	S <sub>1</sub>	الجملة
65.7	1.7	7.8	<b>Rfx100</b>
بنفسجي			اللون الاستشعاعي

يدل طيف إمتصاص الأشعة فوق البنفسجية و المرئية المسجلة في الميثانول على كون هذا المركب عبارة عن فلافونويد. والسلوك الكروماتوغرافي يشير إلى كونه أحليكونا. أما اللون البنفسجي وطول العصابة  $\lambda_1=336nm$  تشير إلى كون المركب  $AF_6$  عبارة عن فلافون أي غياب OH في الموضع 3.



الشكل (21) مطيافية الأشعة فوق البنفسجية والمرئية UV-Vis للمركب AF<sub>6</sub>

الإزاحة الباتوكرومية للحزمة I  $\Delta\lambda_1 = 63\text{nm}$  الناتجة عن إضافة الكاشف NaOH مع إستقرار الشدة الضوئية دليل على وجود OH حر في الموضع 4، مع ظهور نتوء جديد عند 325nm يدل على وجود OH في الموضع 7 والذي يتأكد بالإزاحة الباتوكرومية للعصابة II بمقدار  $\Delta\lambda_{II} = 6\text{ nm}$  الناتجة عن إضافة الكاشف NaOAc. غياب الإزاحة الهيسوكرومية للعصابة I عند مقارنة طيف  $\text{AlCl}_3$  بـ  $\text{AlCl}_3 + \text{HCl}$  دليل على غياب أرثو ثنائي هيدروكسيل الحلقة B. أما الإزاحة الباتوكرومية للعصابة I  $\Delta\lambda_1 = 45\text{nm}$  الناتجة عن المقارنة الطيفية لـ  $\text{AlCl}_3 + \text{HCl}$  بـ MeOH دليل على وجود OH في الموضع 5 .



الشكل (22) : مطيافية الرنين النووي المغناطيسي للبروتون للمركب AF<sub>6</sub> في (DC<sub>3</sub>OD,400MHz).

وتأتي مطيافية الرنين النووي المغناطيسي للبروتون لتؤكد النتائج السابقة حيث تظهر :

إشارة ثنائية (J=8.8 Hz) عند  $\delta = 7.86$  ppm موافقة لـ H<sub>2</sub>·H<sub>6</sub>.

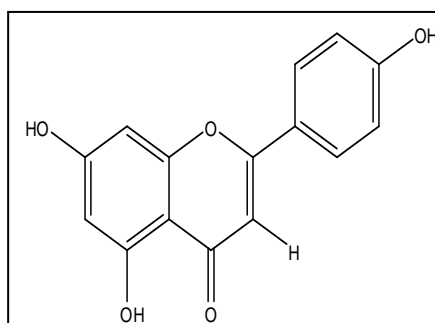
والأخرى بنفس ثابت التزاوج عند  $\delta = 6.93$  ppm موافقة لـ H<sub>3</sub>·H<sub>5'</sub>

وإشارة أحادية عند  $\delta = 6.60$  ppm موافقة لـ H<sub>3</sub>. وإشارتين ثنائيتين عند 6.46 ppm و 6.21 ppm

بثابت تزاوج (J=2.1 Hz) موافقتين لـ H<sub>6</sub> و H<sub>8</sub> على الترتيب .

كما نلاحظ إختفاء البروتونات الخاصة بالسكر وبالتالي يمكن الخلاص إلى الصيغة

التالية. 5,7,4'Trihydroxy flavone.



(Apigénine)

الجدول (11) نتائج مطيافية الأشعة فوق البنفسجية والمرئية (UV-Vis) للمركب AF<sub>6</sub>

الحزمة II			الحزمة I	المفاعلات
269			336	MeOH
275	325		399	NaOH
276	301	341	381	AlCl <sub>3</sub>
277	300	339	381	AlCl <sub>3</sub> +HCl
275	301		371	NaOAc
269			341	NaOAc+H <sub>3</sub> BO <sub>3</sub>

جدول (12) - نتائج مطيافية الرنين النووي المغناطيسي للبروتون للمركب AF<sub>6</sub> في (DC<sub>3</sub>OD).

الهيدروجين الموافق	التعددية Hz	التكامل	δ(ppm)
H <sub>2</sub> , H <sub>6</sub> '	d(J=8.8)	2H	7.86
H <sub>3</sub> , H <sub>5</sub> '	d(J=8.8)	2H	6.93
H <sub>3</sub>	S	1H	6.6
H <sub>8</sub>	d(J=2.1)	1H	6.46
H <sub>6</sub>	d(J=2.1)	1H	6.21

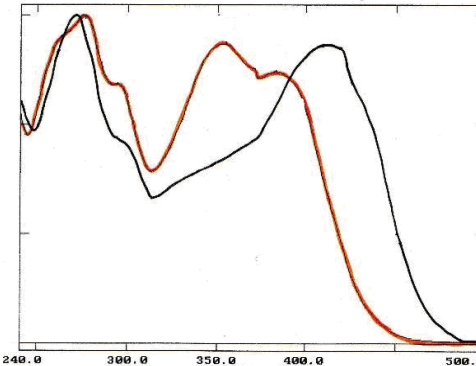
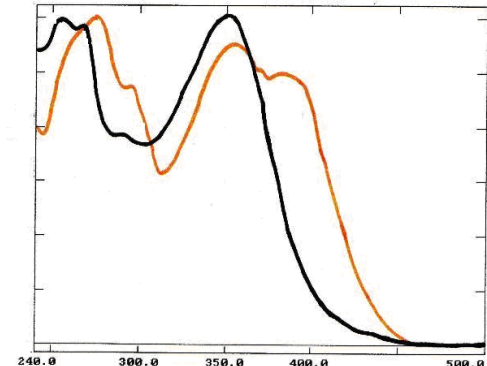
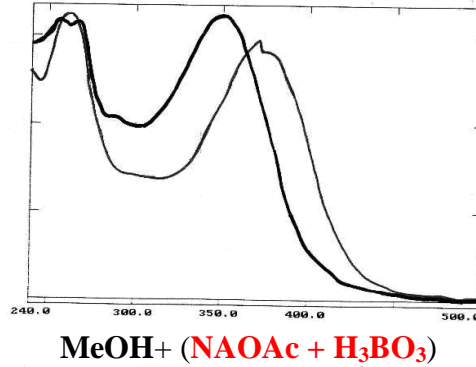
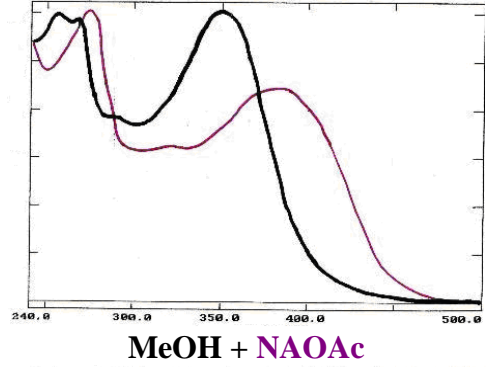
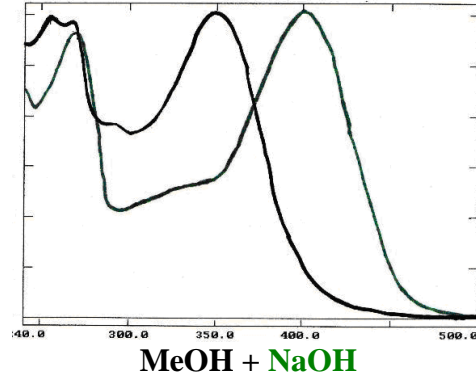
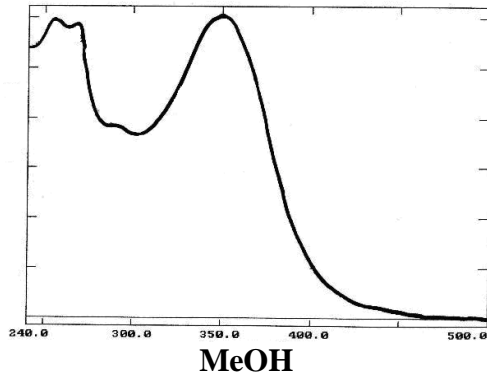
ب - 2 - التحليل البنيوي للمركب AF<sub>7</sub> :

السلوك الكروماتوغرافي :

S<sub>1</sub> = CH<sub>3</sub>COOH (15%)  
S<sub>3</sub> = 13 : 3 : 3 : 1  
S<sub>4</sub> = 4:3:3

S <sub>4</sub>	S <sub>3</sub>	S <sub>1</sub>	الجملة
26.4	2.3	4.7	Rf X100
بنفسجي			اللون الاستشعاعي

بالنظر إلى طيف إمتصاص الأشعة فوق البنفسجية و المرئية المسجلة في الميثانول يمكن تصنيف هذا المركب ضمن الفلافونيدات، و يدل سلوكه الكروماتوغرافي على كونه أحليكونا، أما لونه البنفسجي وطول العصابة  $\lambda_1=351\text{nm}$  فيشيران إلى كونه فلافون أي غياب OH في الموقع 3.

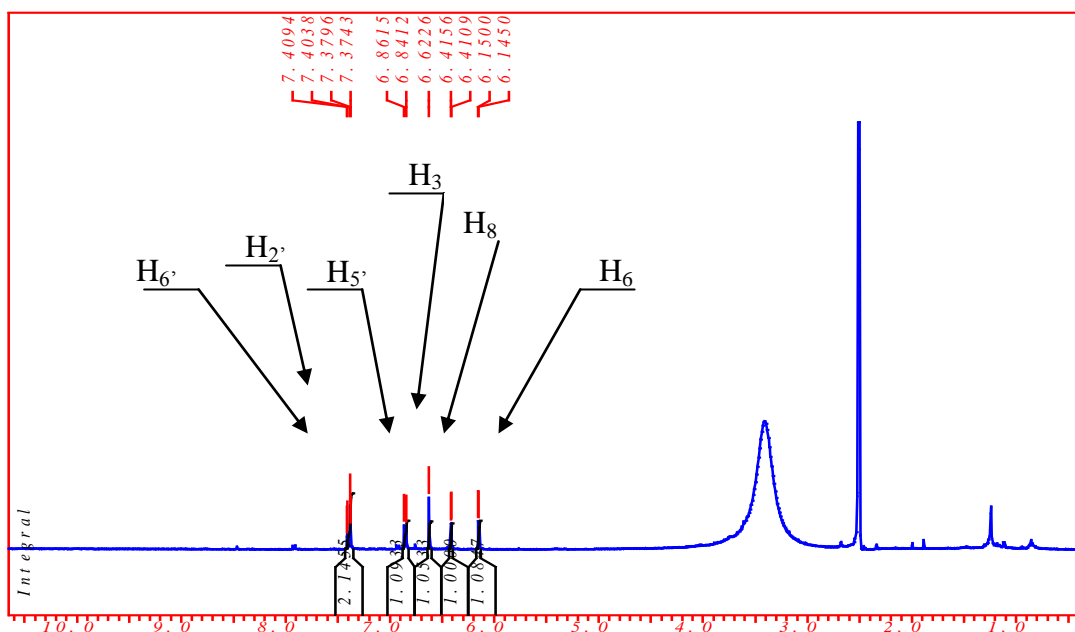


الشكل (23) مطيافية الأشعة فوق البنفسجية والمرئية UV-Vis للمركب AF<sub>7</sub>



الإزاحة الباتوكرومية للحزمة I  $\Delta\lambda_1 = 50\text{nm}$  الناتجة عن إضافة الكاشف NaOH مع إستقرار الشدة الضوئية دليل على وجود OH حر في الموضع 4، مع ظهور نتوء جديد عند 329 nm يدل على وجود OH في الموضع 7 والذي يتأكد بالإزاحة الباتوكرومية للعصابة II بمقدار 18 nm  $\Delta\lambda_{II}$  الناتجة عن إضافة الكاشف NaOAC .

ظهور الإزاحة المهبسوكرومية للعصابة I  $\Delta\lambda_1 = -27\text{nm}$  عند مقارنة طيف  $\text{AlCl}_3$  بـ  $\text{AlCl}_3+\text{HCl}$  مع ظهور نتوء عند 354nm دليل على وجود أورثو ثنائي هيدروكسيل على الحلقة B. في حين تؤكد الإزاحة الباتوكرومية للعصابة I  $\Delta\lambda_1 = 32\text{nm}$  وجود OH في الموضع 5. عند مقارنة طيف  $\text{AlCl}_3+\text{HCl}$  بطيف MeOH .



الشكل (24) : مطيافية الرنين النووي المغناطيسي للبروتون للمركب  $\text{AF}_7$  في (DMSO,400MHz).

وبفضل معطيات مطيافية الرنين النووي المغناطيسي للبروتون التي جاءت مكملة للنتائج السابقة حيث تظهر:

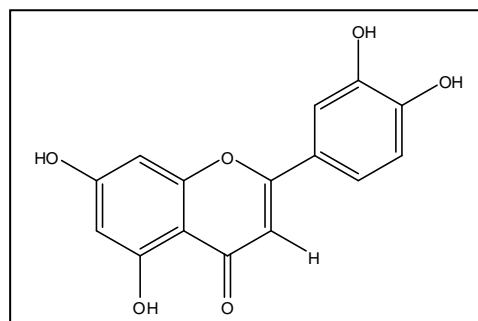
إشارة ثنائي ثنائي (J= 8.1-2.2Hz) عند  $\delta = 7.39\text{ppm}$  موافقة لـ  $\text{H}_6'$ .

وإشارة ثنائي (J=2.2 Hz) عند  $\delta = 7.37\text{ ppm}$  موافقة لـ  $\text{H}_2'$  والأخرى ثنائية أيضا (J=8,1 Hz)

عند  $\delta = 6.85\text{ppm}$  موافقة لـ  $\text{H}_5'$  ، كما نلاحظ إشارتين ثنائيتين عند 6.41 ppm و 6.14ppm

بنفس ثابت التزاوج (J=2 Hz) موافقتين لـ  $\text{H}_6$  و  $\text{H}_8$  على التوالي.

وتكون صيغة المركب من خلال كل هذه المعطيات عبارة عن 5,7,3',4'-Tetrahydroxy flavone.



بنية المركب AF<sub>7</sub> (Luteoline)

الجدول (13) نتائج مطيافية الأشعة فوق البنفسجية والمرئية UV-Vis:

المفاعلات	الحزمة I		الحزمة II
MeOH	351	268	255
NaOH	401	329	269
AlCl <sub>3</sub>	410		270
AlCl <sub>3</sub> +HCl	383	354	276
NaOAc	384	371	273

جدول (14) - نتائج مطيافية الرنين النووي المغناطيسي للبروتون للمركب AF<sub>7</sub>:

الموقع	التعددية Hz	التكامل	δ(ppm)
H <sub>6'</sub>	dd(J=8.1-2.2)	1H	7.39
H <sub>2'</sub>	d(J=2.2)	1H	7.37
H <sub>5'</sub>	d(J=8.1)	1H	6.85
H <sub>3</sub>	S	1H	6.62
H <sub>8</sub>	d(J=2)	1H	6.41
H <sub>6</sub>	d(J=2)	1H	6.14

ب - 3 - التحليل البنيوي للمركب AF<sub>10</sub> :

- السلوك الكروماتوغرافي :

S<sub>1</sub> = CH<sub>3</sub>COOH (15%)

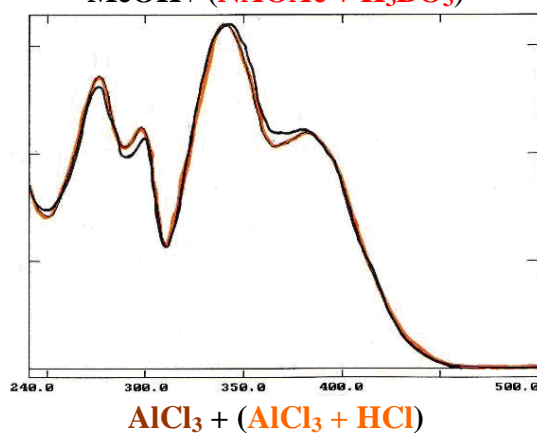
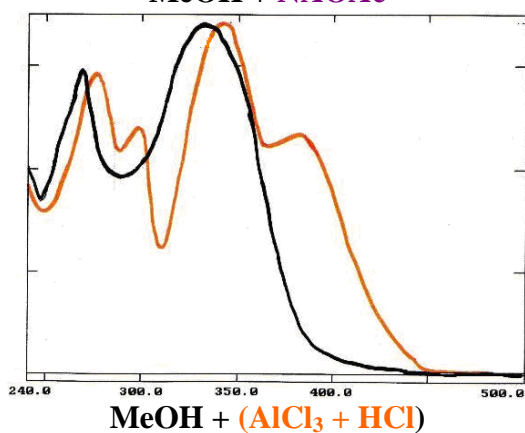
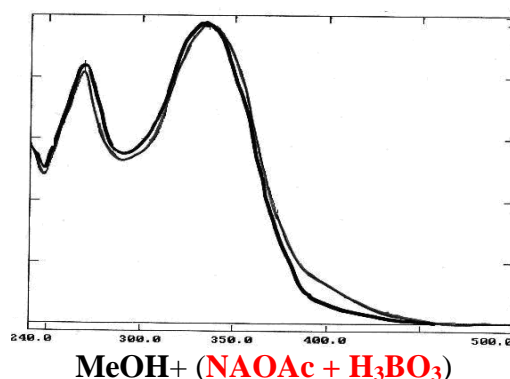
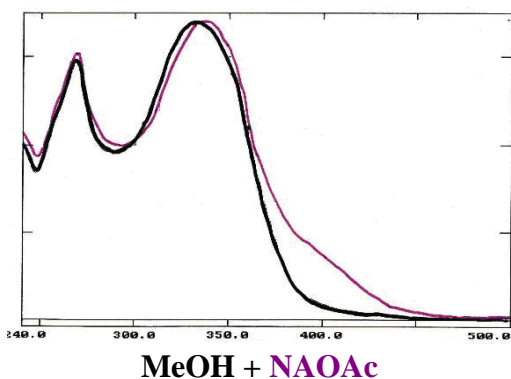
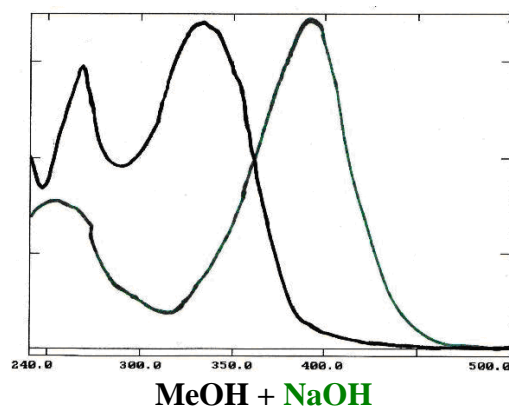
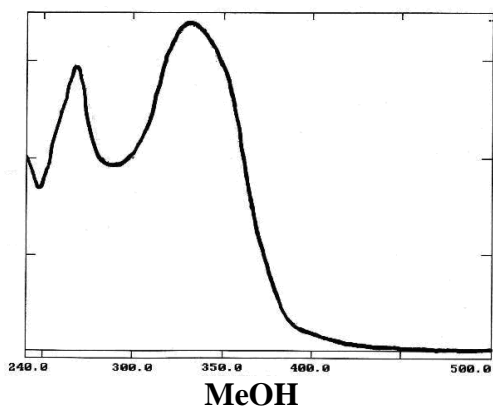
S<sub>3</sub> = 13 : 3 : 3 : 1

S<sub>4</sub> = 4:3:3

S <sub>4</sub>	S <sub>3</sub>	S <sub>1</sub>	الجملة
42.7	18	20.6	<b>Rfx100</b>
بنفسجي			اللون الاستشعاعي

اللون البنفسجي القاتم و طول الحزمة  $\lambda_1 = 333 \text{ nm}$  المأخوذة في الميثانول يؤكداً كون المركب

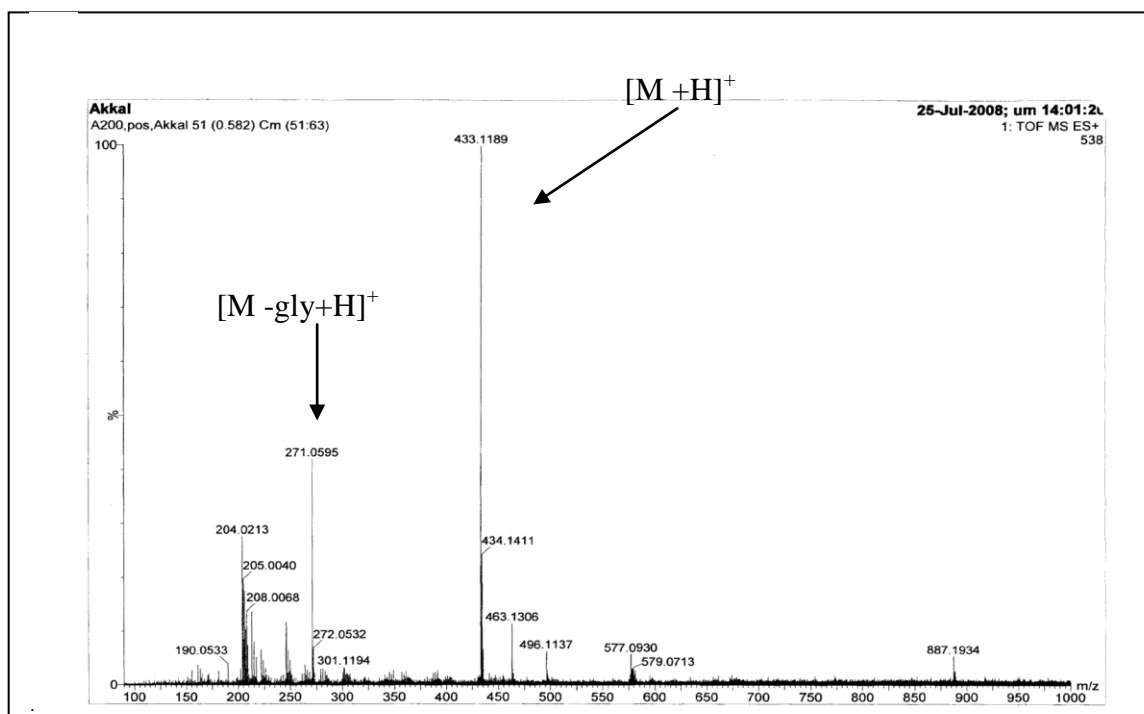
AF<sub>10</sub> عبارة عن فلافون والسلوك الكروماتوغرافي يشير إلى كونه جليكوزيد .



الشكل (25) مطيافية الأشعة فوق البنفسجية والمرئية UV-Vis للمركب AF<sub>10</sub>

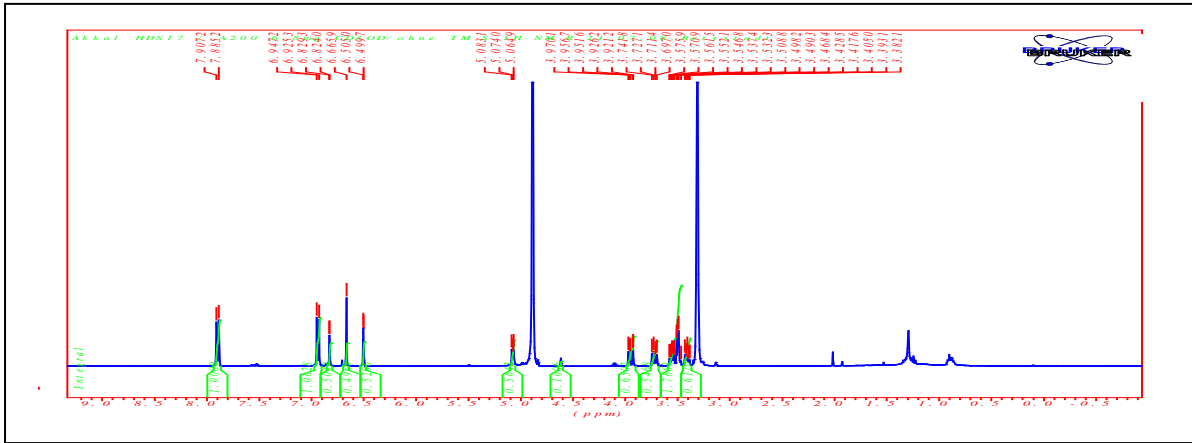
الإزاحة الباتوكرومية للحزمة I  $\Delta\lambda_1 = 58 \text{ nm}$  الناتجة عن إضافة الكاشف NaOH مع الزيادة في الشدة الضوئية دليل على وجود OH حر في الموضع 4، مع غياب نتوء جديد بين 335-320nm دليل على غياب OH في الموضع 7 وهذا ما تؤكد غيابه الإزاحة الباتوكرومية للعصبة II عند مقارنة طيف NaOAc. بطيف MeOH.

غياب الإزاحة الهبسوكرومية للعصبة I عند مقارنة طيف  $\text{AlCl}_3$  بد  $\text{AlCl}_3+\text{HCl}$  دليل على غياب أرثو ثنائي هيدروكسيل الحلقة B. و الإزاحة الباتوكرومية للحزمة I بمقدار  $\Delta\lambda_1 = 48 \text{ nm}$  عند مقارنة طيف  $\text{AlCl}_3+\text{HCl}$  بطيف MeOH تعني وجود OH في الموضع 5.

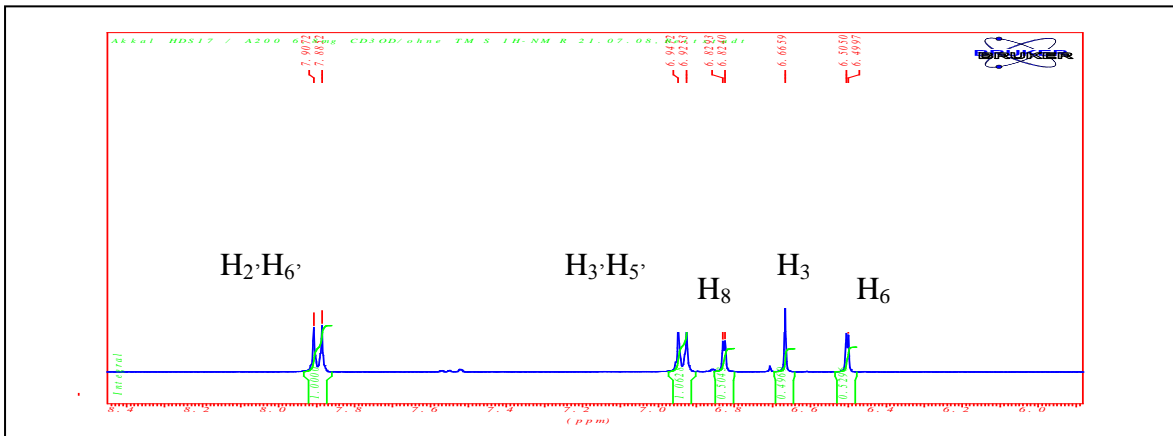


الشكل (26) طيف الكتلة ( $\text{ES}^+$ ) للمركب  $\text{AF}_{10}$

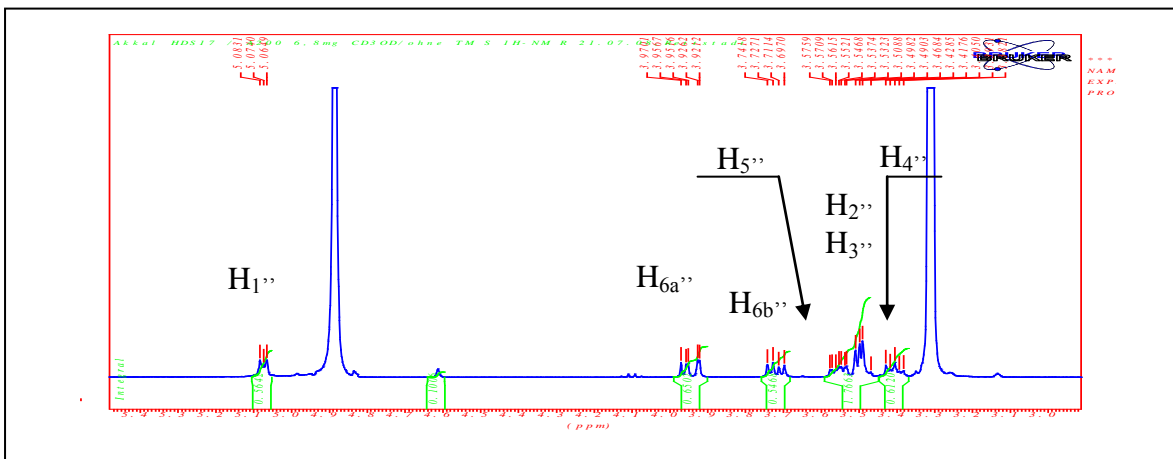
من جهة أخرى مطيافية الكتلة أعطت قيمة للأيون الجزئي عند  $m/z = 433$  موافقة للصيغة الجزيئية  $\text{C}_{21}\text{H}_{20}\text{O}_{10}$  التي تدل على وجود هيكل فلافونيدي مستبدل بسكر لا يمكن أن يكون إلا في الموقع 7 كما أشارت إليه مطيافية الأشعة فوق البنفسجية (الشكل 25) والشظية  $m/z = 271$  تدل على ذلك فهي موافقة لـ  $[\text{M-gly}+\text{H}]^+$ .



الشكل (27) : مطيافية الرنين النووي المغناطيسي للبروتون للمركب AF<sub>10</sub> في (400MHz,CD<sub>3</sub>OD).



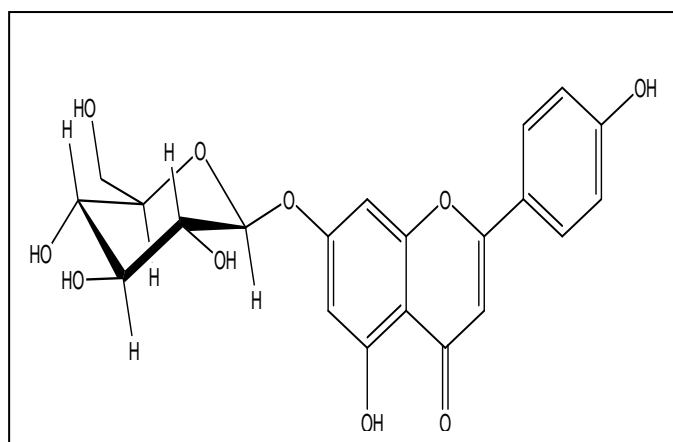
الشكل(28): تكبير المجال  $\delta=(5,59-8,4 \text{ ppm})$  للمركب AF<sub>10</sub>



الشكل (29): تكبير المجال  $\delta=(2,8-5,3 \text{ ppm})$  للمركب AF<sub>10</sub>

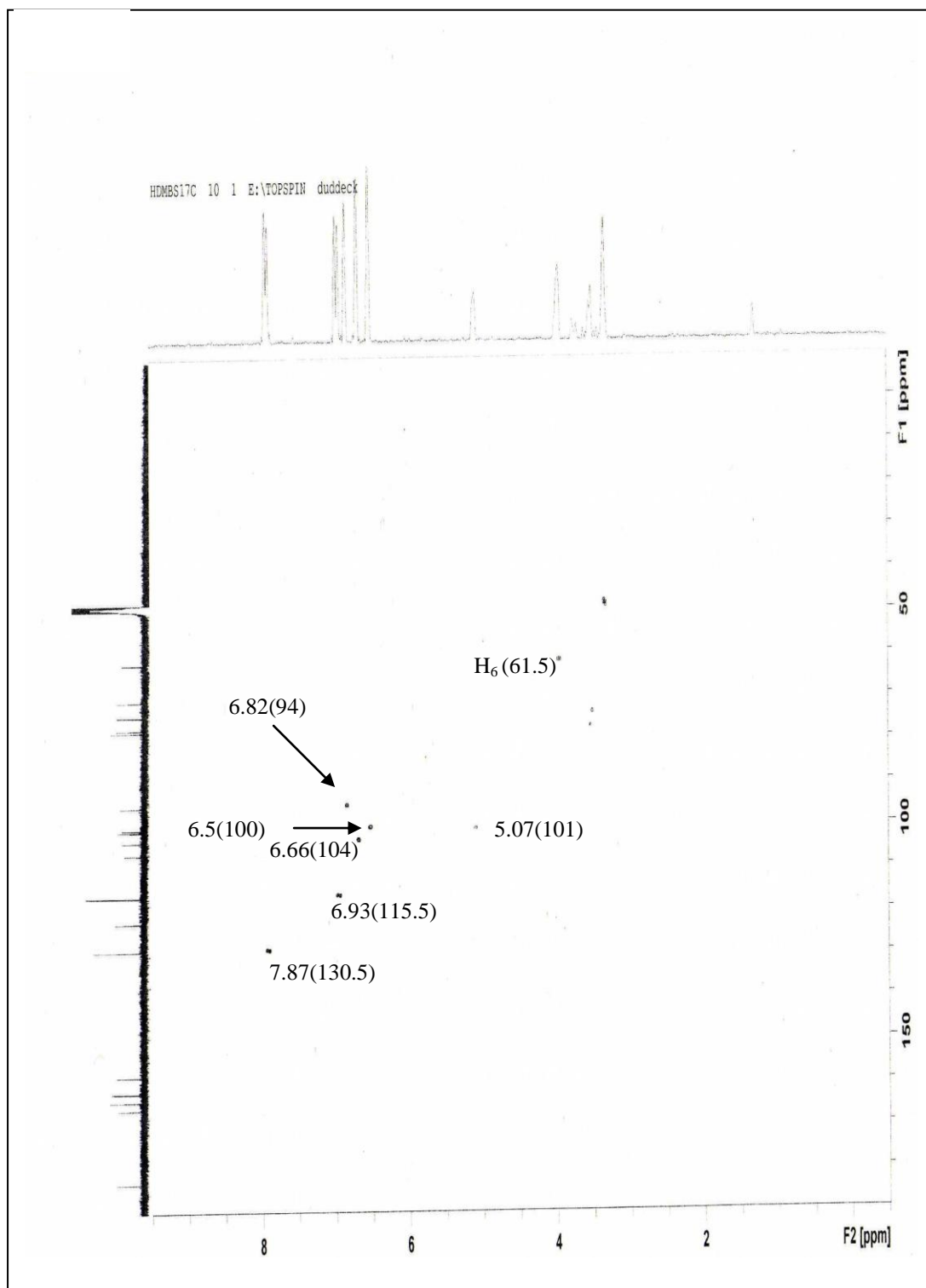
وقد تم التأكد من طبيعة السكر بالإعتماد على الإمهاء الحمضية، حيث تحرر سكر الجلوكوز الذي تم التعرف عليه من خلال المطابقة الكروماتوغرافية مع الشواهد المعروفة الشكل (39) إلى جانب الأجليكون الذي يظهر بلون بنفسجي وثابت إنحباس  $R_f = 0.65$  قي النظام 3:3:4 والمطابق لـ apigenine .

وقد جاءت مطيافية الرنين النووي المغناطيسي للبروتون والكربون موافقة ومؤكدة للنتائج السابقة حسب الجداول (16,17) وقد تم تحديد وإرفاق البروتونات بكربوناتها الموافقة بالإعتماد على نتائج *Cosy* ، *HSQC* والنتائج البيليوغرافيا [5] .  
وبالتالي نكون قد تأكدنا من كون المركب **AF<sub>10</sub>** عبارة عن :



**Apigénine 7-O- $\beta$  glucoside(apigétrine)**





الشكل (31) طيف (HSQC) للمركب AF<sub>10</sub>



الجدول (15) نتائج مطيافية الأشعة فوق البنفسجية والمرئية UV-Vis:

الحزمة II			الحزمة I	المفاعلات
269			333	MeOH
254	269		391	NaOH
275	298	341	381	AlCl <sub>3</sub>
276	298	341	381	AlCl <sub>3</sub> +HCl
268			335	NaOAc
269			336	NaOAc+H <sub>3</sub> BO <sub>3</sub>

جدول (16) - نتائج مطيافية الرنين النووي المغناطيسي للبروتون للمركب AF<sub>10</sub>:

الهيدروجين الموافق	التعددية Hz	التكامل	δ(ppm)
H <sub>2</sub> , H <sub>6</sub> '	d(J=8.8)	2H	7.87
H <sub>3</sub> , H <sub>5</sub> '	d(J=8.8)	2H	6.93
H <sub>8</sub>	d(J=2.1)	1H	6.82
H <sub>3</sub>	S	1H	6.66
H <sub>6</sub>	d(J=2.1)	1H	6.50
H <sub>1</sub> ''	d(J=7.3)	1H	5.07
H <sub>6a</sub> ''	dd(J=12.2-2)	1H	3.95
H <sub>6a</sub> ''	dd(J=12.2-5.7)	1H	3.71
H <sub>5</sub> ''	m	1H	3.57
H <sub>2</sub> '' H <sub>3</sub> ''	m	2H	3.55
H <sub>4</sub> ''	m	1H	3.41

جدول (17) - نتائج مطيافية الرنين النووي المغناطيسي للكربون CD<sub>3</sub>OD باستخدام NMR<sup>13</sup>C

كمذيب:

الكربون الموافق	الإزاحة δ (ppm)	الكربون الموافق	الإزاحة δ (ppm)
C <sub>10</sub>	106,5	C <sub>4</sub>	182
C <sub>6</sub>	100	C <sub>5</sub>	163,43
C <sub>1</sub> ''	101	C <sub>7</sub>	162,0
C <sub>8</sub>	94	C <sub>4</sub> '	157,92
C <sub>5</sub> ''	77,60	C <sub>9</sub>	157,6
C <sub>3</sub> ''	76,816	C-2	156
C <sub>2</sub> ''	73,491	C <sub>6</sub> ' , C <sub>2</sub> '	130,5
C <sub>4</sub> ''	69,970	C <sub>3</sub>	104
C <sub>6</sub> ''	61,5	C <sub>1</sub> '	121,4
		C <sub>5</sub> ' , C <sub>3</sub> '	115,5

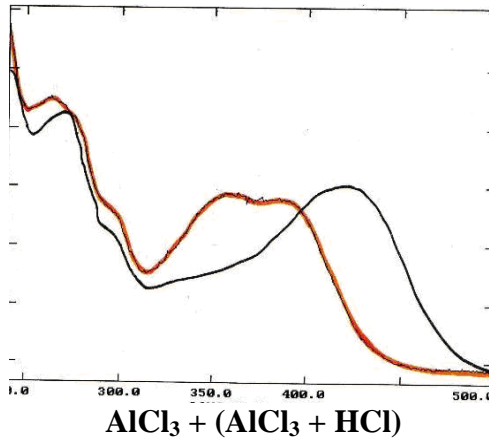
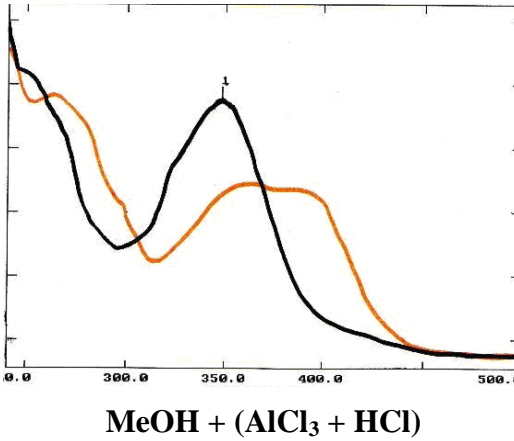
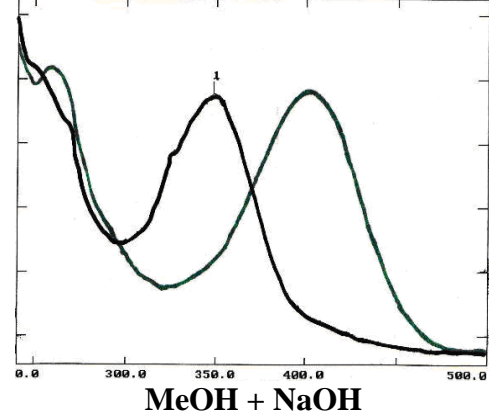
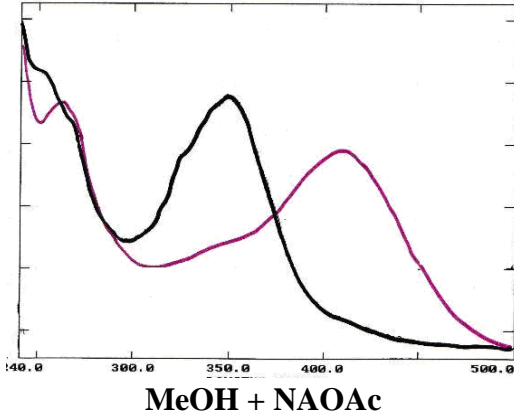
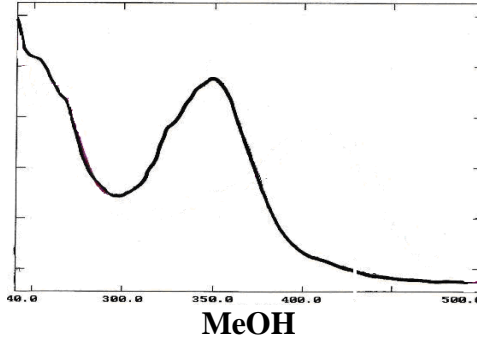
ب - 4 - التحليل البنوي للمركب AF<sub>11</sub> :

- السلوك الكروماتوغرافي :

S<sub>1</sub> = CH<sub>3</sub>COOH (15%)  
S<sub>3</sub> = 13 : 3 : 3 : 1  
S<sub>4</sub> = 4:3:3

S <sub>4</sub>	S <sub>3</sub>	S <sub>1</sub>	الجملة
22.3	18	20.6	<b>Rfx100</b>
بنفسجي			اللون الاستشعاعي

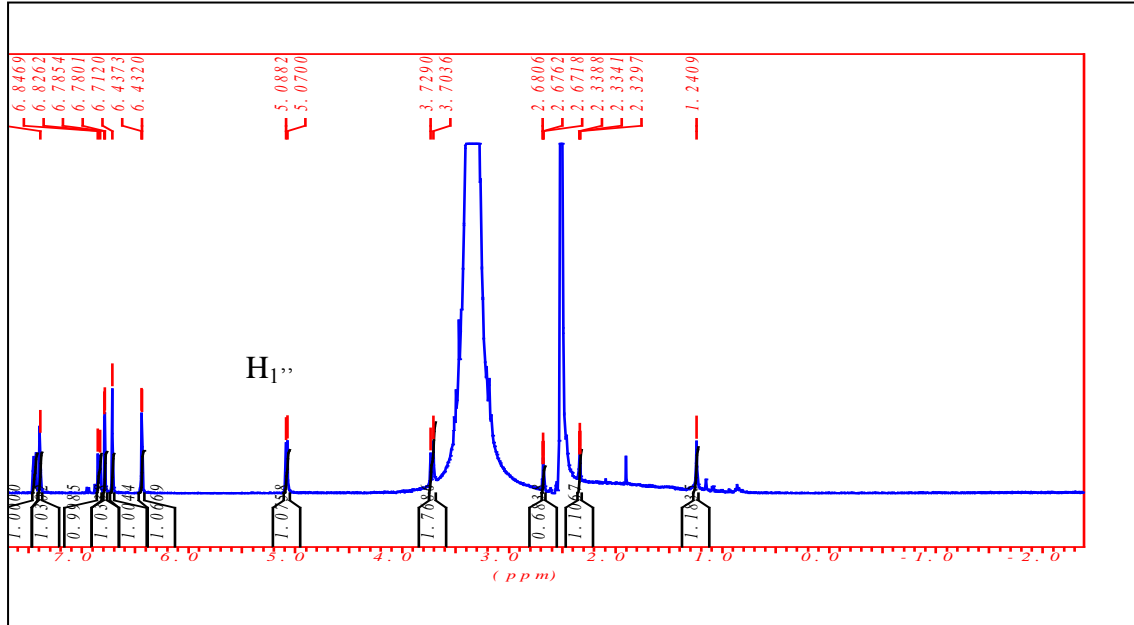
اللون البنفسجي تحت الأشعة UV و قيمة العصابة المسجلة في الميثانول  $\lambda_1 = 348\text{nm}$  يدلان على كون المركب عبارة عن فلافون .



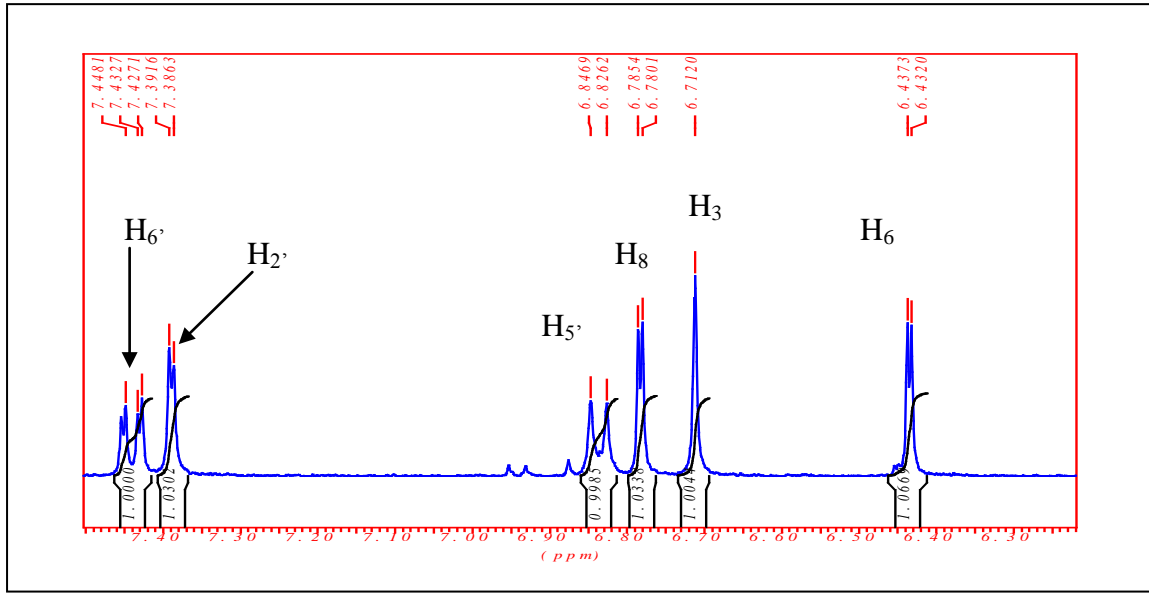
الشكل (32) مطيافية الأشعة فوق البنفسجية والمرئية للمركب AF<sub>11</sub>

الإزاحة الباتوكرومية للعصابة I  $\Delta\lambda_1 = 54 \text{ nm}$  المترتبة عن مقارنة طيف NaOH بطيف MeOH مع إستقرار الشدة الضوئية دليل على وجود OH حر في الموقع 4' وعدم ظهور حزمة جديدة بين 320-335nm ينفي وجود OH في الموقع 7، وهذا ما تؤكده غياب الإزاحة الباتوكرومية للحزمة II عند مقارنة طيف NaOAc بطيف MeOH قيمة الحزمة I  $\lambda_1 = 422\text{nm}$  في الطيف المسجل عند إضافة الكاشف  $\text{AlCl}_3$  والإزاحة الهبسوكرومية للحزمة I بـ  $\Delta\lambda_1 = -30 \text{ nm}$  عند مقارنة طيف  $\text{AlCl}_3+\text{HCl}$  بطيف  $\text{AlCl}_3$  دليل على وجود أورثو ثنائي الهيدروكسيل على الحلقة B .

الإزاحة الباتوكرومية للحزمة I بمقدار  $\Delta\lambda_1 = 44 \text{ nm}$  عند مقارنة طيف  $\text{AlCl}_3+\text{HCl}$  بطيف MeOH دليل على وجود OH في الموقع 5

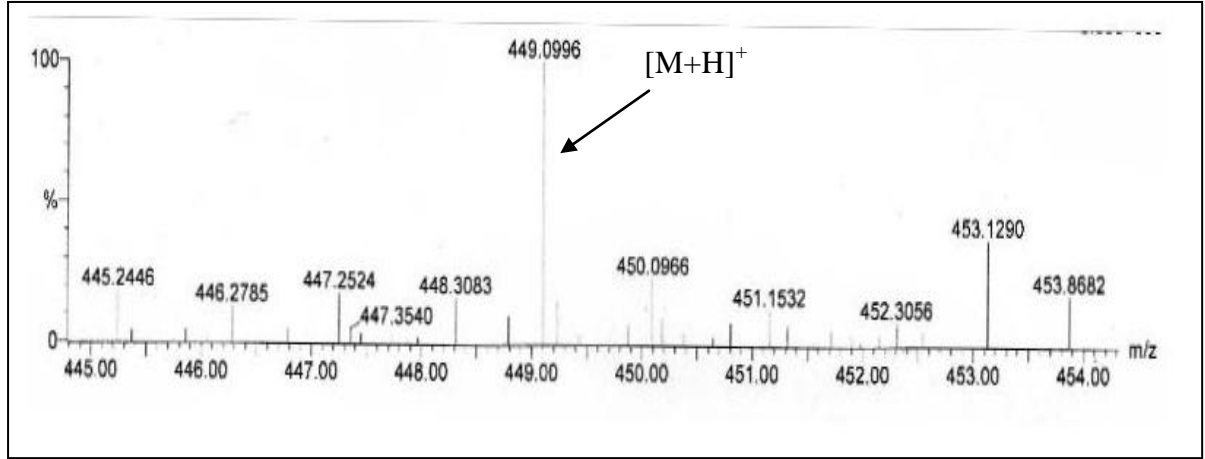


الشكل (33) مطيافية الرنين النووي المغناطيسي للبروتون للمركب  $\text{AF}_{11}$  (DMSO,400MHz)



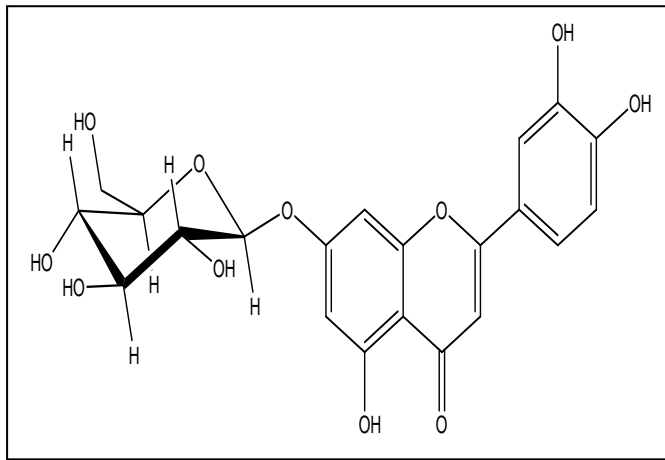
الشكل(34): تكبير المجال  $\delta=(6.3-7.5 \text{ ppm})$  للمركب AF<sub>11</sub>

من مطيافية الرنين النووي المغناطيسي للبروتون نلاحظ تطابق تقريبي لمعظم الإشارات مع المركب السابق (Luteoline)، مع وجود إشارات إضافية في المنطقة 3.5-4ppm المميزة للسكر و ظهور البروتون الأنوميري عند 5.07ppm بثابت تزاوج  $J=7.3\text{Hz}$  الخاص بسكر الجليكوز، هذا الأخير تم التأكد منه من خلال الإمهاء الحمضية و المطابقة الكروماتوغرافية للسكر الناتج مع الشواهد المعروفة الشكل (39)، وحسب ما قدمته مطيافية UV من نتائج فإن الجليكوز يحتل الموقع 7 . أما الجانب الأجليكوني الذي يظهر بلون بنفسجي وبثابت إنجباس  $R_f = 0.26$  في النظام 3:3:4 فهو مطابق لـ Luteoline



الشكل (35) طيف الكتلة ( $ES^+$ ) للمركب  $AF_{11}$

مطيافية الكتلة عالية الكفاءة لهذا المركب تظهر إشارة عند  $m/z=449$  موافقة للصيغة  $C_{21}H_{20}O_{11}$  وبالتالي نكون قد تأكدنا من كون المركب  $AF_{11}$  عبارة عن :



**Luteoline 7-O- $\beta$  glucoside**

الجدول (18) نتائج مطيافية الأشعة فوق البنفسجية والمرئية UV-Vis للمركب AF<sub>11</sub> :

الحزمة II			الحزمة I	المفاعلات
268			348	MeOH
259			402	NaOH
270	298		422	AlCl <sub>3</sub>
265	298	354	392	AlCl <sub>3</sub> +HCl
264			408	NaOAc

جدول (19) - نتائج مطيافية الرنين النووي المغناطيسي للبروتون للمركب AF<sub>11</sub> :

الهيدروجين الموافق	التعددية Hz	التكامل	δ(ppm)
H <sub>6</sub> '	dd(J=8.3-2.2)	1H	7.44
H <sub>2</sub> '	d(J=2.2)	1H	7.38
H <sub>5</sub> '	d(J=8.3)	1H	6.83
H <sub>3</sub>	S	1H	6.7
H <sub>8</sub>	d(J=2.1)	1H	6.78
H <sub>6</sub>	d(J=2.1)	1H	6.4
H <sub>1</sub> '	d(J=7.3)	1H	5.1

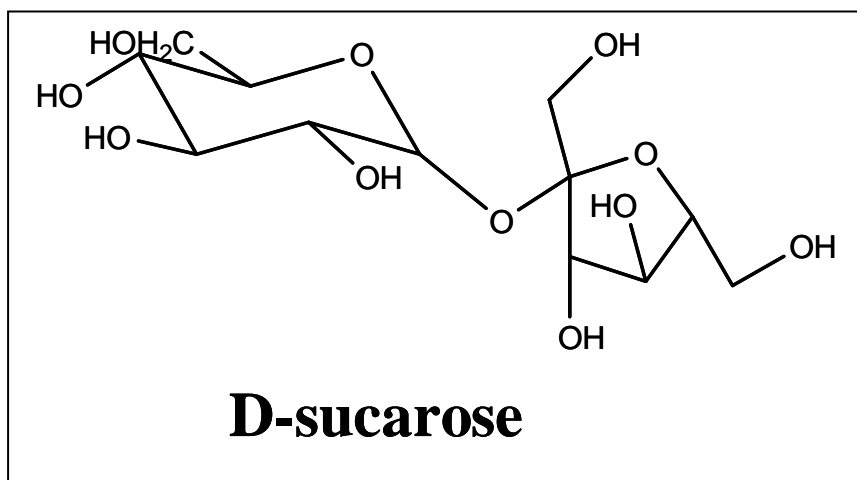
ب - 5 - التحليل البنوي للمركب AF<sub>12</sub> :

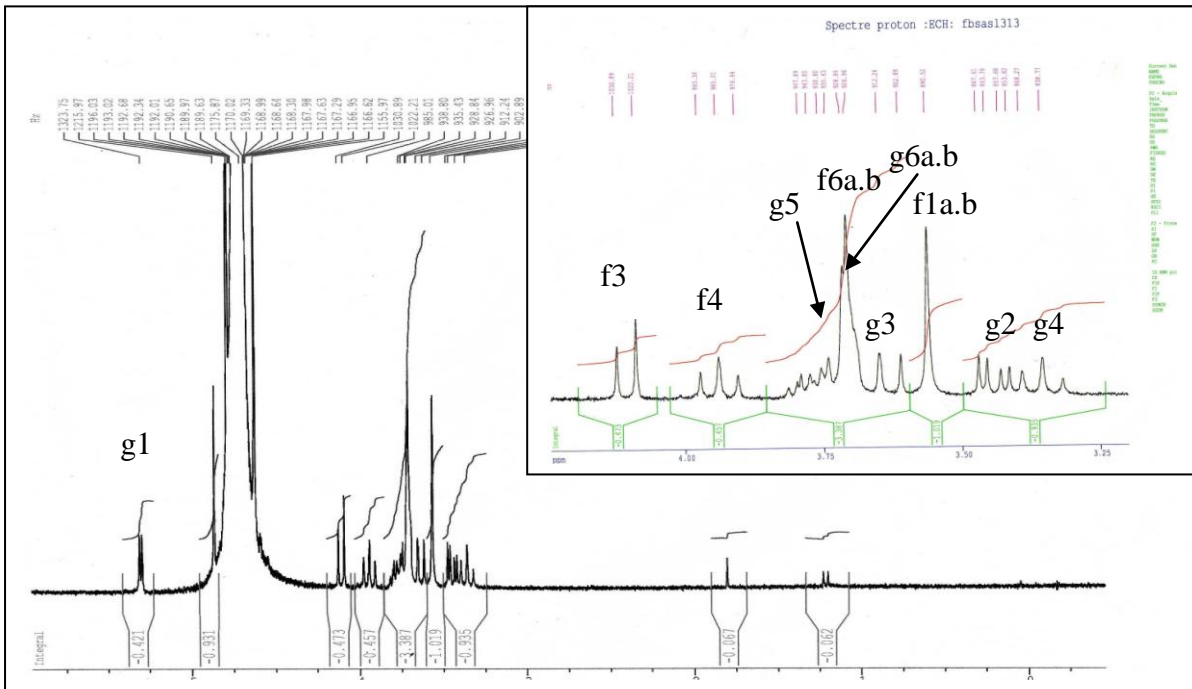
يظهر المركب AF<sub>12</sub> في صورة بلورات شفافة ضعيفة الذوبان في الميثانول، وتذوب كلية في الماء تظهر بلون أسود قاتم بعد معاملة الورقة الكروماتوغرافية بمحلول محضر من:

(H<sub>2</sub>SO<sub>4</sub>: CH<sub>3</sub>COOH: H<sub>2</sub>O/1:1:8) ثم التسخين إلى الدرجة 100<sup>0</sup>

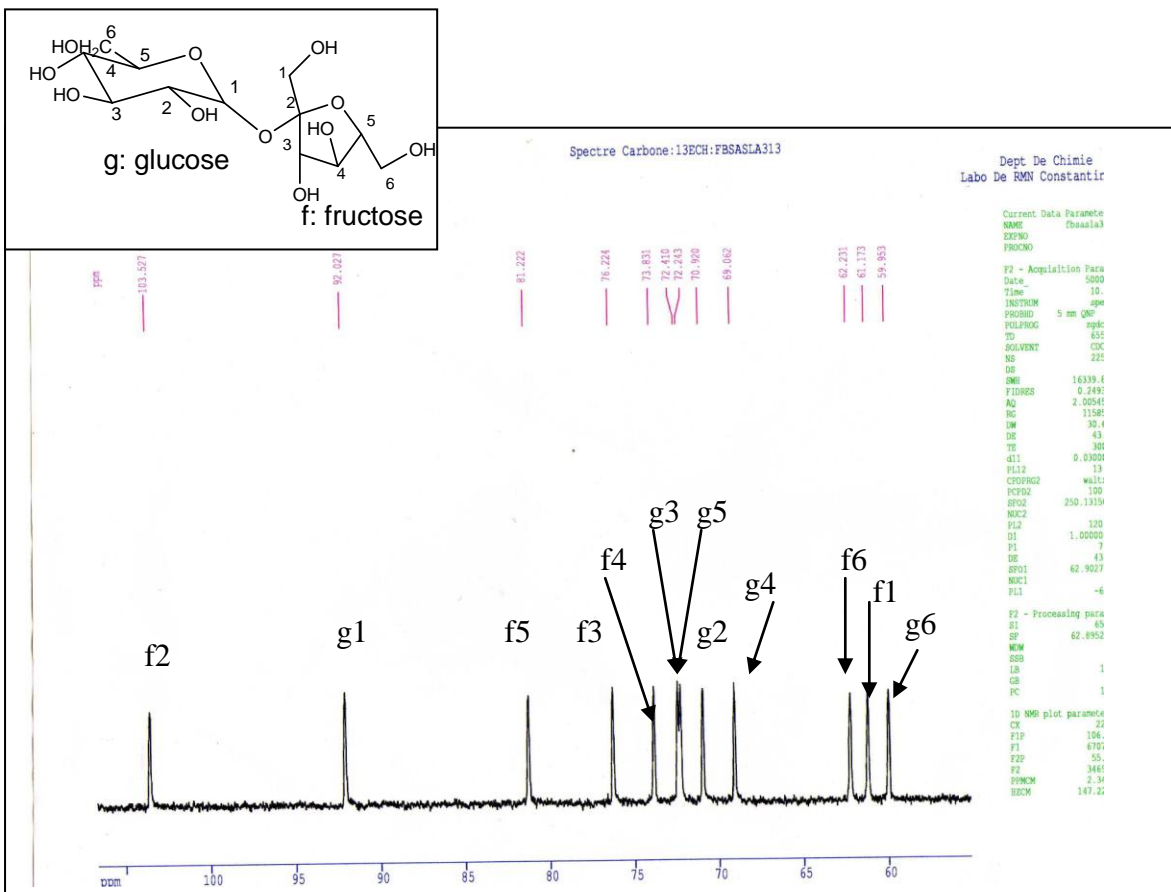
عدم رؤية هذا المركب تحت الأشعة UV ينفي كونه فلافونيد، وهذا ما أكده طيف NMR<sup>1</sup>H حيث نعدم الإشارات بين 6-9ppm المميزة للفلافونيدات. مع ظهور إشارة ثنائية عند 5.2ppm بثابت تزاوج  $J=3.8\text{ Hz}$ ، وإشارات بين 3.5-4ppm المميزة للسكر [6]. ويتأكد إرتباطها بمطيافية COSY. وفي محاولة للتعرف على طبيعة هذا السكر تم مطابقته مع الشواهد لسكرية المعروفة فكان مميز بقيمة Rf مطابقة لسكر الأرابينوز، ولكن بعد تسجيل طيف NMR<sup>13</sup>C و ظهور 12 كربون يتضح كون هذا المركب عبارة عن سكرين مرتبطين ببعض، بعد مطابقة كل من NMR<sup>1</sup>H و NMR<sup>13</sup>C مع النتائج البيليوغرافية [6] يتضح أنه:

D-sucrose (glucopyranosyl-(1→2) fructofuranoside)



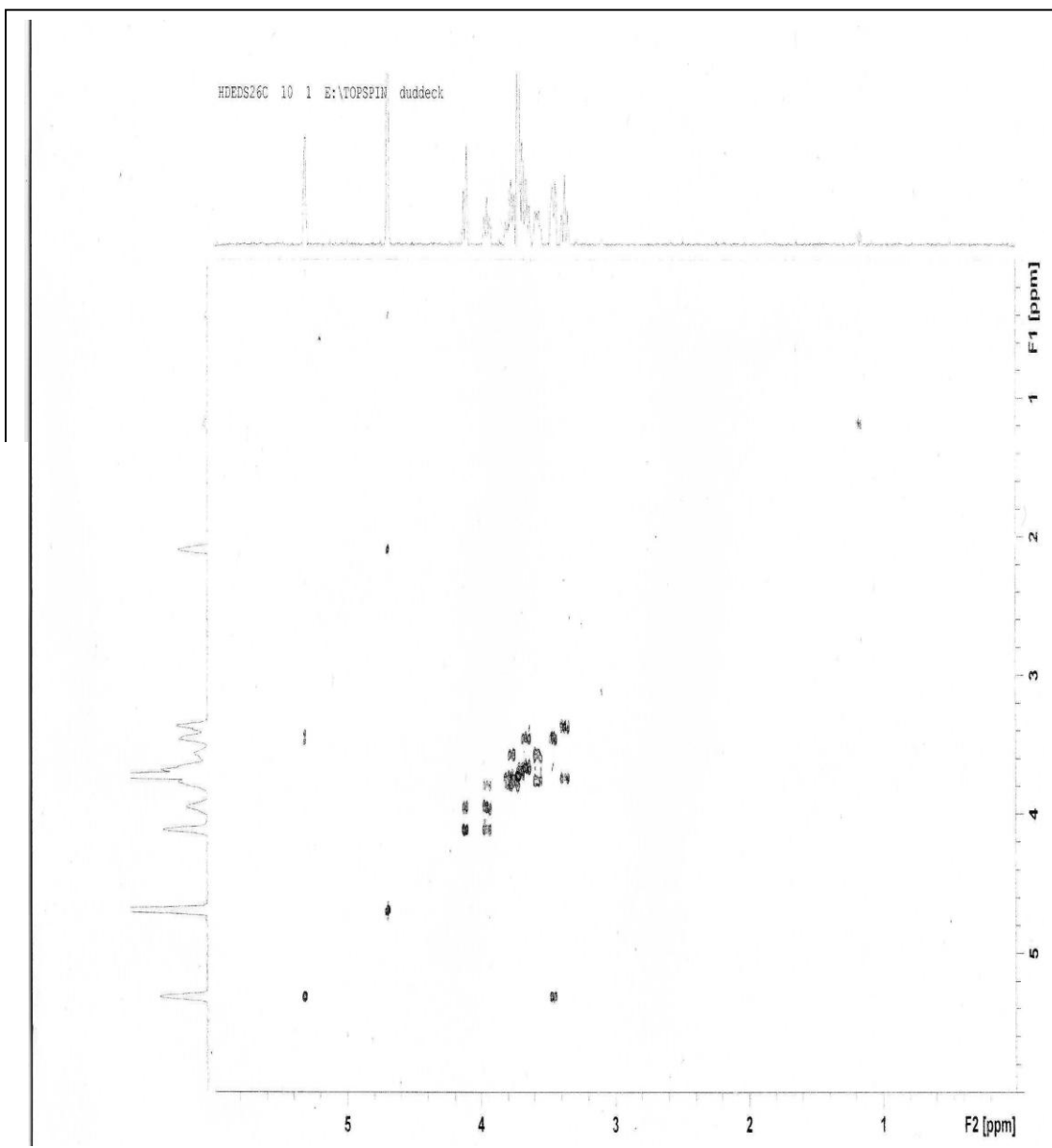


الشكل(36)مطيافية الرنين النووي المغناطيسي للبروتون للمركب (D<sub>2</sub>O) AF<sub>12</sub>

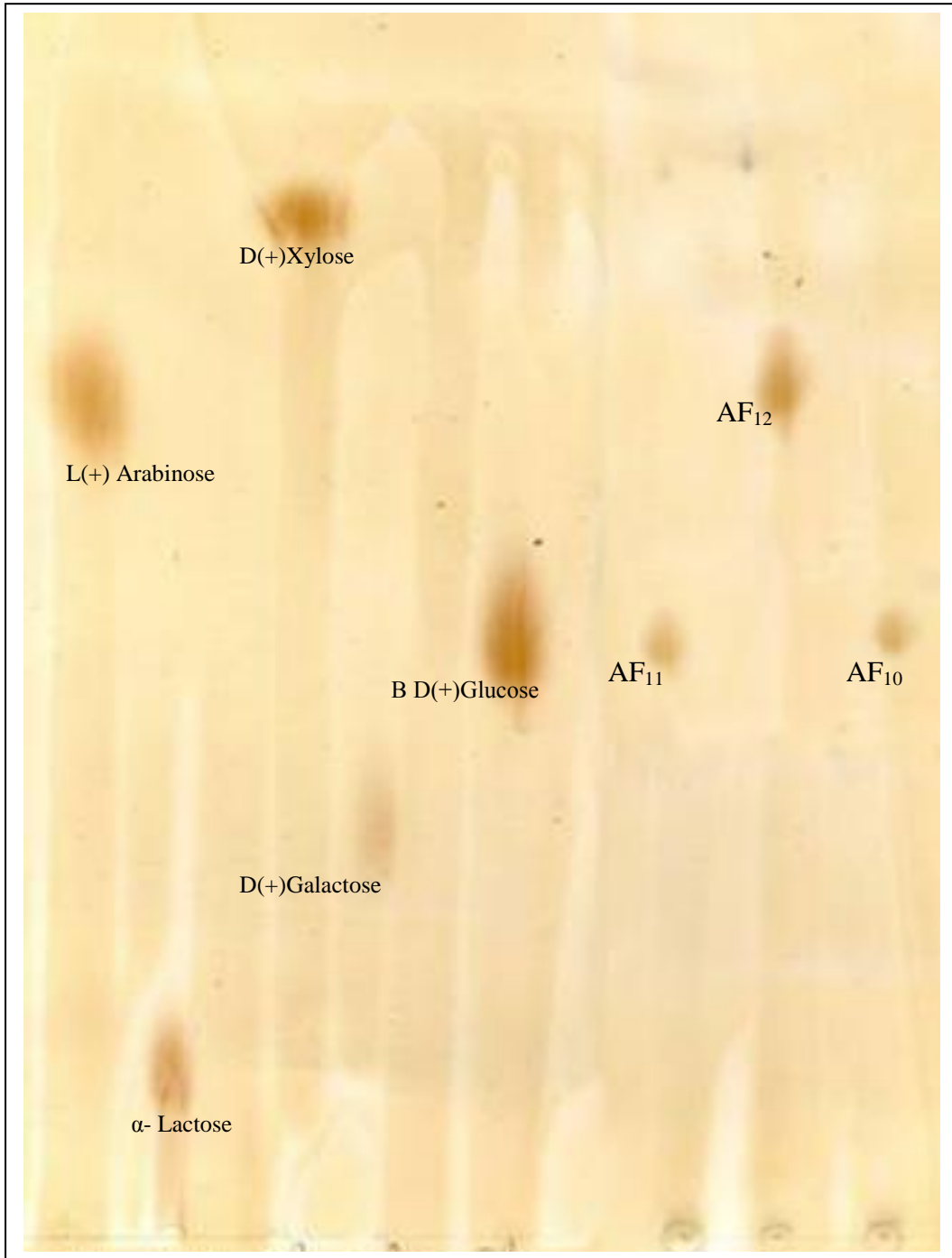


الشكل(37)مطيافية الرنين النووي المغناطيسي للكربون للمركب (D<sub>2</sub>O) AF<sub>12</sub>





الشكل (38) طيف ( COSY ) للمركب AF<sub>12</sub>



الشكل (39) : كروماتوغرام يبين السكريات الناتجة عن الإماهة الحمضية مع بعض الشواهد المعروفة

## المراجع

- [1] Venkata Rao, E., Sree, R., Murthy, M. and Ward, R.S. (1984). Nine Isoflavones from *Tiphrosia Maxima*, *Phytochemistry*, vol. 23, No. 7, 1493-1501.
- [2] Lopez L'azaro, M., Martin-Cordero, C., Iglisias-Gurra, F. and Ayuso Gonzalez, M.J. (1998). An Isoflavone Glucoside from *Retama sphaerocarpa* Boissier, *Phytochemistry*, vol. 48, No. 2, 401-402.
- [3] Cuyckens, F. and Claeys, M. (2004). Mass spectrometry in the structural analysis of flavonoids, *Journal of mass spectrometry*, 39, 1-15.
- [4] Leosvaldo, V.S.M., Marcelo, F.J.P., Maria, I.S.S., Davyson, M.E.F., Guimarães, V.E.P., Maria A.K.C. (2008). C-glycosyl flavones from *Peperomia blanda* Fitoterapia .
- [5] Mabry, T.J. Markham, K. R. and Thomas, M.B. (1970). The systematic identification of flavonoids, Springer, New York, 45-126.
- [6] Agrawal, P.K. (1992). NMR spectroscopy in the structural elucidation of oligosaccharides and glycosides, *Phytochemistry*, Vol. 31, 3307-3330.

الخاتمة

## الخلاصة

يعد هذا العمل كامتداد لبحاث بدأها مخبرنا في إطار الكشف عن المواد الفعالة للنبات الطبية الجزائرية، وقد انصب اهتمامنا حول منتجات الأيض الثانوي الفلافونيدي لما تحضى به من فعالية بيولوجية عظمية .

نهدف من خلال ه ذا البحث إلى فصل وتحديد منتجات الأيض الثانوي الفلافونيدي

للنبتين : *Retama sphaerocarpa* و *Ammoides atlantica*.

فبغية استكمال البحث حول الجنس *Ammoides* الممثل بالنوعين *A pusilla* و *A atlantica* هذه الأخيرة التي حضرت بدراسة مسبقة في مخبرنا لما تلقاه من استعمال واسع في الطب الشعبي، أما النوع الثاني فهي نبتة أصلية لذا كانت محور بحثنا، فكانت الحصيصة الفلافونيدية أربع مركبات تنحدر ضمن نظام وراثي حيوي واحد، ذو مسلك الفلافون الذي يضم هيكلين بنيويين أساسيين:

هيكل Apigénine والذي يضم Apigénine نفسه و مشتق واحد له ه و

Apigénine 7-O-β glucoside

هيكل Luteoline والذي يضم Luteoline نفسه و مشتقه Luteoline 7-O-β glucoside .

نلاحظ أن كلا المشتقين بسيطين الإستبدال فهي تضم 7-O-glucosyl وهو المستبدل الأكثر

شيوعا الراجع إلى مانح السكر UDP-Glu(glucose Uridine diphosphate) والإنزيم Glucosyl

transférase الجذ متخصص إذ يدخل في المرحلة الأخيرة في الإصطناع الحيوي لتحويل مجموعة

الهيدروكسيل إلى جليكوزيل . هذين الجليكوزيدين تم فصلهما من الجنس *Ammoides* . أما

الأجليكونين فأول مرة يتم الكشف عنهما في هذا الجنس ، على الرغم من كونهما البنية الأساسية

لتكوين مشتقاتها الجليكوزيدية . وهذا قد يرجع إلى توفرهما في هذه النبتة بنسبة عالية أو لقلة

الإنزيمات المسؤولة عن خلق مشتقات جديدة. ومن خلال ه ذه النتائج يمكن تشكيل النظام الحيوي

الوراثي لهذه النبتة حسب الشكل (1).

وكتكملة لما توصلنا إليه في رسالة الماجستير فقد تمكنا من فصل أربع إيزوفلافونات من

: *Retama sphaerocarpa*

7-hydroxy -6'-methoxy-3',4'-methylenedioxy isoflavone 7-O-β-glucoside.(F<sub>3</sub>)

7-hydroxy-6'-methoxy-3',4'-methylenedioxy isoflavone. (F<sub>1</sub>)

5,7,4 -Tri hydroxy isoflavone-8-C-glucoside. (F<sub>9</sub>)

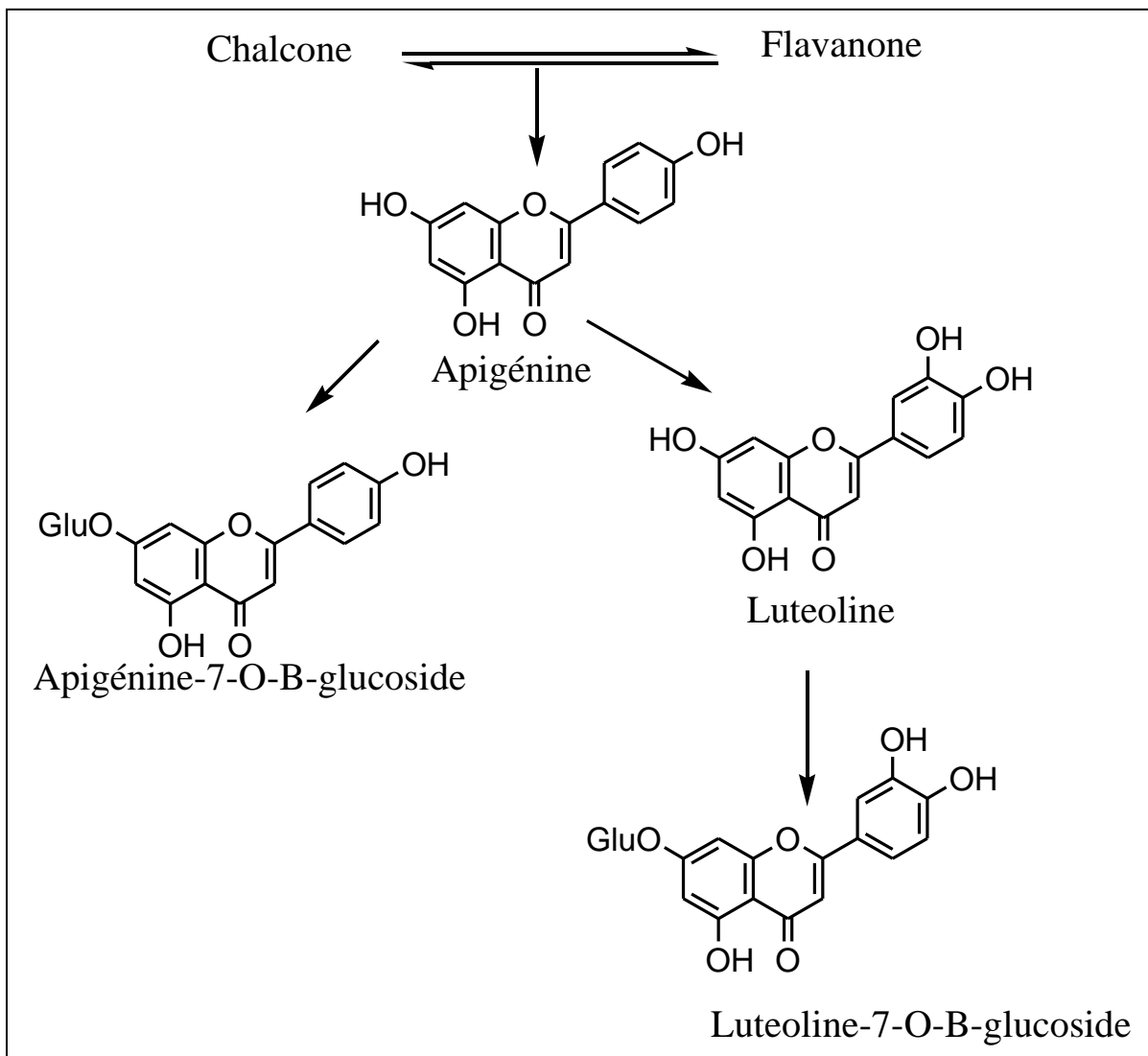
genistein 7-O-xylosyl 8-C-glucoside(F<sub>10G</sub>)

فالمركيبن F<sub>9</sub>،F<sub>1</sub> تم فصلهما لأول مرة من هذا الجنس أما المركب F<sub>10G</sub> فلم يسبق فصله.

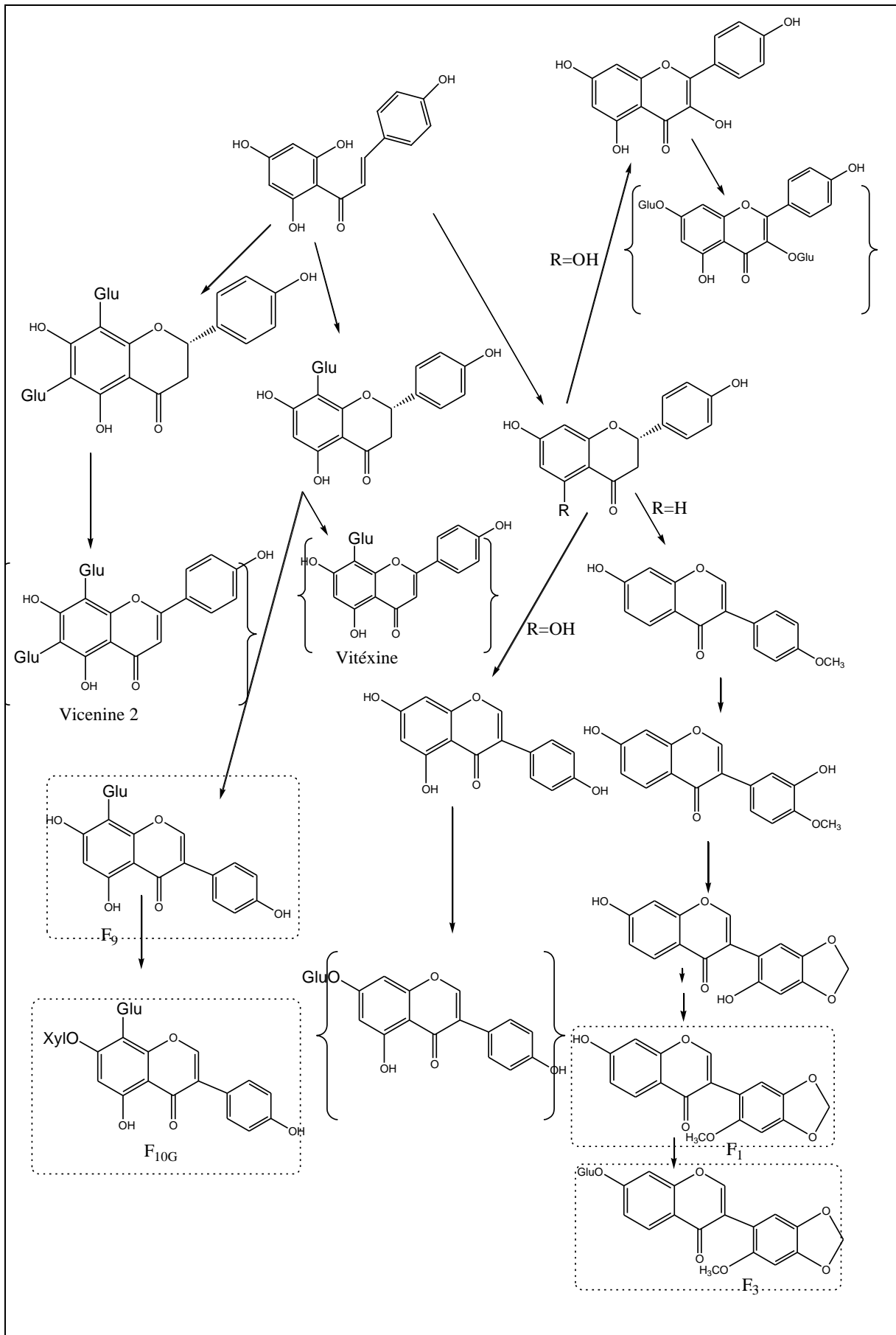
وقد جاءت هذه النتائج معززة لإنتماء النبتة إلى العائلة البقولية المشهورة بهذا النوع من المركبات، وقد تميزت هذه النبتة بصناعة المشتقات من النوع C-glu التي يتم تكوينها مباشرة بعد الشالكون [1] في كل من هيكل الفلافون [2] والإيزوفلافون بالإضافة إلى المشتقات الميتوكسيلية و الجليكوزيدية O-glycose التي يتم اشتقاقها من الفلافا نون. فالشكل يوضح المخطط الوراثي لهذه النبتة إذ تظهر المركبات المفصولة خلال رسالة الماجستير بين حاضنتين والمركبات المعني بها هذا البحث داخل مستطيل أما البنى المتبقية فلم يتم فصلها وهذا راجع لعدة أسباب ، إما لو جودها بكميات ضعيفة لم يتسنى فصلها وإما هي موجودة في الكسور المعقدة التي لم تدرس أو لكون بعض تلك الجزئيات لا تتراكم في مثل تلك الصور ، إذ بعد تكوينها تتحول مباشرة إلى إحدى مشتقاتها النيوية عن طريق تثبيت مجموعة مستبدلة .

وقد اعتمدنا في فصل هذه المركبات على تقنيات الكروماتوغرافيا بأنواعها المختلفة؛ كروماتوغرافيا العمود، كروماتوغرافيا الورق، كروماتوغرافيا الطبقة الرقيقة، وتمت تنقية المركبات المفصولة باستعمال عمود كروماتوغرافي صغير من الـ Sephadex LH20. كما تم تحديد البنى الجزئية للمركبات المفصولة باستعمال الطرق الفيزيوكيميائية : مطيافية الأشعة فوق البنفسجية (UV)، ومطيافية الرنين النووي المغناطيسي للبروتون ( $NMR^1H$ ) وللكربون ( $NMR^{13}C$ )، ومطيافية الرنين النووي المغناطيسي ثنائية البعد (Cosy, HMQC, HMBC)، ومطيافية الكتلة والإماهة الحمضية (4N) HCl .

وبغية الكشف عن مدى الفعالية البيولوجية للنبتة *Retama sphaerocarpa* أجريت بعض التحاليل ضد البكتيرية، والتي توصلت إلى فعالية المستخلص البيوتانولي على النوع البكتيري *S. aureus* ATCC 43300 وهذا يفتح المجال لدراسات أخرى لأنواع بكتيرية موجبة الغرام سواء كان على المستخلص أو على المركبات المفصولة .



الشكل (1): المخطط الحيوي الوراثةي لفلافونيدات *Ammoides atlantica*



الشكل (2): المخطط الحيوي الوراثي لفلافونيدات النبتة *Retama sphaerocarpa*



## المراجع

- [1] Louaar, S., Akkal, S., Bousetla, A., Medjroubi, K., Djarri, L. and Seguin, E. (2005). Phytochemical study of *Retama sphaerocarpa*, Chemistry of natural compound, Vol. 41, No.1.
- [2] Harbone, J.B., Mabry, T.J., Mabry, H. (1975). The Flavonoids 2<sup>nd</sup> part, Academic press, New york, Sanfrancisco

## الملخص

في إطار البحث عن المواد الفعالة عند النباتات الطبية الجزائرية ، وباعتبار أن الفلافونيدات منتج—ات طبيعية مؤهلة لدور وقائي و علاجي لم ا تتميز به من فعالية بيولوجية ، لذا كان بحثنا موجهاً نحو تمييز المحتوى الفلافونيدي للنبتين الطبيتين: (*Retama sphaerocarpa* (Fabaceae) *Ammoides atlantica* (Apiaceae) فبالاعتماد على طرق الاستخلاص و الفصل و التنقية تمكنا من فصل أربع مركبات فلافونيدية من النبتة *Ammoides atlantica* كلها من عائلة الفلافون و تم التعرف عليها بالاستعانة بالطرق الفيزيوكيميائية.

Apigénine(1) Luteoline (2) , Apigénine 7-O-β glucoside(3), Luteoline 7-O-β glucoside(4) بالإضافة إلى سكر السيكاروز.

كما تمكنا من فصل أربع إيزوفلافونات و التي جاءت معززة لانتماء النبتة *Retama sphaerocarpa* إلى العائلة البقولية

7-hydroxy-6'-methoxy-3',4'-methylenedioxy isoflavone 7-O-β-glucoside.(1)

7-hydroxy-6'-methoxy-3',4'-methylenedioxy isoflavone. (2)

5,7,4'-Tri hydroxy isoflavone-8-C-glucoside. (3)

genistein 7-O-xylosyl 8-C-glucoside(4)

فللمركبين 2 و3 تم فصلهما لأول مرة من هذا الجنس أما المركب 4 فلأول مرة يتم فصله في المملكة النباتية.

ونظراً لما لاقته النبتة *Retama sphaerocarpa* من رواج في الطب الشعبي وبغية التعرف على المركبات المسؤولة عن هذه الفعالية تم إجراء بعض التحاليل البيولوجية الضد بكتيرية فأبدى المستخلص البيوتانولي إستجابة فعالة ضد السلالة *Staphylococcus aureus* ATCC 43300 .

## Résumé

Ce travail fait partie de notre programme de recherche sur les plantes médicinales algérienne des familles Fabaceae et Apiaceae.

les flavonoides sont des substances naturelle qui jouent un rôle protecteur vu leur activités biologiques. de ce fait. Nos travaux sont orientés vers l'extraction, la séparation ,la purification et l'identification des composés flavonoidiques de deux espèces : *Retama sphaerocarpa* (Fabaceae) et une espece endémique *Ammoides atlantica* (Apiaceae).La réalisation de ce travail a nécessité l'utilisation de toute la batterie chromatographique en phase liquide ainsi que le recours aux méthodes modernes d'analyses les plus performantes notamment, la spectroscopie de résonance magnétique nucléaire (NMR<sup>1</sup>H, NMR<sup>13</sup>C, Cosy, HMQC, HMBC), la spectroscopie d'absorption ultraviolette et la spectroscopie de masse.

Toutes ces méthodes nous ont permis d'établir les structures de quatre isoflavones isolés de l'espèce *Retama sphaerocarpa* : 7-hydroxy -6'-methoxy-3',4'-methylenedioxy isoflavone 7-O-β-glucoside.(1) 7-hydroxy-6'-methoxy-3',4'-methylenedioxy isoflavone. (2) 5,7,4'-Tri hydroxy isoflavone-8-C-glucoside. (3) genistein 7-O-xylosyl 8-C-glucoside(4).Ce dernier composé a été isolé pour la premier fois, et quatre flavones et un sucre isolés de l'espece endémique *Ammoides atlantica* :Apigénine(1), Luteoline (2) , Apigénine 7-O-β glucoside(3), Luteoline 7-O-β glucoside(4) et sucrose .

L'activité anti bacterienne de l'extrait Butanolique de la plante *Retama sphaerocarpa* a donné des résultats positifs sur l'espèces *staphylococcus aureus* ATCC43300 .

Ce travail a fait l'objet de deux publications internationales .

Mots-cles : *Ammoides atlantica* , *Retama sphaerocarpa* , Flavonoides .

## Abstract

This work is a part of our research program on the Algerian medicinal plants of Fabaceae and Apiaceae families

The flavonoids are a natural substances, that play a protective role considering their Biological activity, for this reason our research was interested in the extraction, separation, purification and determination of flavonoid contents of two species *Retama sphaerocarpa* (Fabaceae) and *Ammoides atlantica* (Apiaceae), the latter one is endemic. The achievement of this work required the use of several methods in the liquid phase chromatography as well as recourse to modern methods of the most effective analysis namely the spectroscopy of nuclear magnetic resonance (NMR<sup>1</sup>H, NMR<sup>13</sup>C, Cosy, HMQC, HMBC), the ultraviolet absorption spectroscopy and the mass spectrometry. All this methods enabled the establishment the structures of four isoflavones which isolated from *Retama sphaerocarpa* specie: 7hydroxy-6'-methoxy-3',4'-methylenedioxy isoflavone 7-O- $\beta$ -glucoside.(1) 7hydroxy-6'-methoxy-3',4'-methylenedioxy isoflavone. (2) 5,7,4'-Tri hydroxy isoflavone-8-C-glucoside. (3) genistein 7-O-xylosyl 8-C-glucoside(4).this latter is new isoflavone. and four flavone has been isolated from *Ammoides atlantica* : Apigénine(1), Luteoline (2) , Apigénine 7-O- $\beta$  glucoside(3), Luteoline 7-O- $\beta$  glucoside(4) and arabinose .

Antibacterial activity was assessed using the disk diffusion method , The n-BuOH crude extract was the most active against *staphylococcus aureus* ATCC43300.

This results were published in two international journals.

Key words : *Retama sphaerocarpa*, *Ammoides atlantica*, flavonoids.